

Centar urbane kulture Sinokoša - glavni projekt (dilatacija A)

Žigo, Mario

Master's thesis / Diplomski rad

2023

Degree Grantor / Ustanova koja je dodijelila akademski / stručni stupanj:

University of Split, Faculty of Civil Engineering, Architecture and Geodesy / Sveučilište u Splitu, Fakultet građevinarstva, arhitekture i geodezije

Permanent link / Trajna poveznica: <https://urn.nsk.hr/urn:nbn:hr:123:265261>

Rights / Prava: [In copyright](#)/[Zaštićeno autorskim pravom.](#)

Download date / Datum preuzimanja: **2024-08-02**



Repository / Repozitorij:

[FCEAG Repository - Repository of the Faculty of Civil Engineering, Architecture and Geodesy, University of Split](#)



UNIVERSITY OF SPLIT



**SVEUČILIŠTE U SPLITU
FAKULTET GRAĐEVINARSTVA, ARHITEKTURE I GEODEZIJE**

DIPLOMSKI RAD

Mario Žigo

Split, 2023.

**SVEUČILIŠTE U SPLITU
FAKULTET GRAĐEVINARSTVA, ARHITEKTURE I GEODEZIJE**

Mario Žigo

**Centar urbane kulture Sinokoša –
glavni projekt (dilatacija A)**

Diplomski rad

Split, 2023.

Ovim putem želim iskazati neizmjernu zahvalu mojoj obitelji i djevojci za stalnu i bezuvjetnu podršku i vjeru u mene i moje sposobnosti. Mentoru prof. dr. sc. Alenu Harapinu od srca zahvaljujem na stručnom vodstvu i vremenu koje je ulagao u moj rad, kako tijekom nastanka ovog diplomskog rada, tako i tijekom cijelog mog visokoškolskog obrazovanja. Zahvaljujem svojim kolegama na svakoj suradnji i podršci tijekom našeg zajedničkog puta, hvala i svim prijateljima na podršci i prijateljstvu. Hvala cijelom osoblju fakulteta na pristupačnosti i angažmanu tijekom cijelog studija. Zahvaljujem i svim ostalim osobama koje su na bilo koji način bile uz mene, njihova podrška mi je bila neizmjerno važna i cijenjena. Zahvalan sam na cijelom ovom putovanju, jednom posebnom poglavlju života, i veselim se budućim prilikama u kojima ću moći podijeliti svoje znanje i iskustvo, stečeno na fakultetu, s drugima.

Centar urbane kulture Sinokoša – glavni projekt (dilatacija A)

Sažetak:

U radu je prikazan glavni projekt jedne od tri dilatacije objekta „Centar urbane kulture Sinokoša“. Objekt će se nalaziti u Makarskoj, predio Sinokoša. Glavni projekt predmetne građevine predviđen je na građevinskim česticama k. č. 3066/1, 3066/2, 3069/1 Makarska – Makar. Predmetna građevina sastoji se od tri dilatacije od kojih ona s najvećom katnosti ima šest katova nad zemljom, te tri etaže ukopane pod zemljom na kojima se nalaze garaže. Građevina je projektirana kao monolitna s armirano betonskim zidovima, stupovima i armirano betonskim pločama kao međukatnom konstrukcijom. Projekt sadrži: tehnički opis konstrukcije, opće i posebne tehničke uvjete, plan kontrole i osiguranja kvalitete, proračun nosivih konstrukcijskih elemenata i karakteristične građevinske nacрте i armaturne planove.

Ključne riječi:

stambeno – poslovna građevina, glavni projekt, monolitna izvedba

Sinokoša Urban Culture Center – main project (dilation A)

Abstract:

The paper presents the main project of one of the three expansions of the "Sinokoša Urban Culture Center" facility. The facility will be located in Sinokoša area in Makarska. The main project of the mentioned building is planned on building plots no. 3066/1, 3066/2, 3069/1 Makarska - Makar. The building consists of three expansions, with the one having the highest number of floors consisting of six floors above ground, and three underground levels containing garages. The structure is designed as a monolithic construction with reinforced concrete walls, columns, and reinforced concrete slabs as intermediate floor structures. The project includes a technical description of the structure, general and specific technical conditions, a plan for quality control and assurance, calculations of load-bearing structural elements, as well as characteristic architectural drawings and reinforcement plans.

Keywords:

residential-commercial building, main project, monolithic construction

Sadržaj

| | |
|---|----|
| 1. TEHNIČKI OPIS..... | 7 |
| 1.1. OPĆENITO (PROJEKTNI ZADATAK) | 7 |
| 1.2. NOSIVA KONSTRUKCIJA | 8 |
| 1.3. PODACI O GEOTEHNIČKIM ISTRAŽNIM RADOVIMA | 8 |
| 1.4. HORIZONTALNE NOSIVE KONSTRUKCIJE..... | 8 |
| 1.5. VERTIKALNE NOSIVE KONSTRUKCIJE | 8 |
| 1.6. OSTALE NOSIVE KONSTRUKCIJE | 9 |
| 1.7. OTPORNOST A-B KONSTRUKCIJE NA DJELOVANJE POŽARA | 9 |
| 2. PLAN KONTROLE I OSIGURANJE KVALITETE | 10 |
| 2.1. OPĆENITO | 10 |
| 2.2. OPĆI PODACI I DEFINICIJE..... | 10 |
| 2.3. KONTROLA KVALITETE | 14 |
| 2.4. MATERIJALI..... | 15 |
| 2.5. BETONSKI I ARMIRANOBETONSKI RADOVI..... | 19 |
| 2.6. IZVEDBA ZIDOVA | 26 |
| 2.7. OSTALI RADOVI I MATERIJALI..... | 26 |
| 2.8. NADZOR..... | 27 |
| 2.9. MJERE U SLUČAJU NESUKLADNOSTI..... | 28 |
| 2.10. NORME KOJE TRETIRAJU RADOVE U OVOM PROGRAMU KONTROLE..... | 29 |
| 3. POSEBNI TEHNIČKI UVJETI | 34 |
| 3.1. OPLATA I SKELE..... | 34 |
| 3.2. TRANSPORT I UGRADNJA BETONA..... | 35 |
| 3.3. BETONIRANJE PRI VISOKIM TEMPERATURAMA..... | 36 |
| 3.4. BETONIRANJE PRI NISKIM VANJSKIM TEMPERATURAMA | 37 |
| 3.5. OBAVEZE IZVOĐAČA..... | 37 |
| 3.6. NAČIN ZBRINJAVANJA GRAĐEVNOG OTPADA | 38 |
| 4. ANALIZA OPTEREĆENJA | 40 |
| 4.1. PODACI O DJELOVANJIMA NA KONSTRUKCIJU | 40 |

| | |
|--|-----|
| 4.1.1. STALNO DJELOVANJE..... | 41 |
| 4.1.2. PROMJENJIVO DJELOVANJE..... | 42 |
| 4.1.3. OPTEREĆENJE SNIJEGOM..... | 42 |
| 4.1.4. OPTEREĆENJE VJETROM..... | 43 |
| 4.1.5. IZVANREDNO OPTEREĆENJE..... | 53 |
| 5. NUMERIČKI MODEL..... | 61 |
| 6. PRIKAZ DJELOVANJA NA KONSTRUKCIJU..... | 64 |
| 7. KOMBINACIJE DJELOVANJA..... | 66 |
| 8. DIMENZIONIRANJE KARAKTERISTIČNIH ELEMENATA..... | 70 |
| 8.1. GRANIČNO STANJE UPORABLJIVOSTI..... | 71 |
| 8.1.1. OGRANIČENJE OŠTEĆENJA..... | 72 |
| 9. PRORAČUN HORIZONTALNIH ELEMENATA..... | 74 |
| 9.1. PLOČE..... | 74 |
| 9.1.1. PRIKAZ POZICIJA..... | 74 |
| 9.1.2. REZNE SILE..... | 75 |
| 9.1.3. DIMENZIONIRANJE..... | 84 |
| 9.2. STUBIŠTE..... | 86 |
| 9.3. PRIKAZ POPREČNIH PRESJEKA GREDA PO ETAŽAMA..... | 91 |
| 9.4. PRIKAZ POTREBNE ARMATURE PO POZICIJAMA..... | 93 |
| 10. PRORAČUN VERTIKALNIH ELEMENATA..... | 121 |
| 10.1. STUPOVI..... | 121 |
| 10.1.1. PRORAČUN NA POPREČNU SILU..... | 136 |
| 10.1.2. OGRANIČENJE TLAČNIH NAPREZANJA..... | 139 |
| 10.2. ZIDOVI ZASUTI TLOM..... | 142 |
| 10.3. ZIDOVI KRUTE JEZGRE U X SMJERU..... | 145 |
| 10.4. ZIDOVI KRUTE JEZGRE U Y SMJERU..... | 148 |
| 10.5. DIMENZIONIRANJE ZIDOVA NA POPREČNU SILU..... | 151 |
| 10.6. DIMENZIONIRANJE VISOKOSTJENIH NOSAČA..... | 155 |
| 11. PRORAČUN ŠIRINE PUKOTINA..... | 156 |

| | |
|---|-----|
| 11.1. KONTROLA PUKOTINA NA PLOČAMA..... | 157 |
| 11.2. KONTROLA PUKOTINA NA GREDAMA..... | 160 |
| 12. PRORAČUN TEMELJA..... | 162 |
| 12.1. PRORAČUN TEMELJNIH TRAKA..... | 162 |
| 12.2. PRORAČUN TEMELJA SAMCA..... | 164 |
| 13. DETALJI..... | 166 |
| 14. LITERATURA..... | 168 |
| 15. GRAFIČKI PRILOZI..... | 169 |

1.2. NOSIVA KONSTRUKCIJA

Osnovnu nosivu konstrukciju građevine čine armiranobetonski elementi: temeljne ploče, zidovi, stupovi, visokostijeni nosači, međukatne i krovne ploče te gredni nosači.

1.3. PODACI O GEOTEHNIČKIM ISTRAŽNIM RADOVIMA

Za predmetnu građevinu ne postoji IZVJEŠTAJ O GEOTEHNIČKIM ISTRAŽNIM RADOVIMA. Uvidom u vrstu nosivog tla na terenu utvrđeno je da je predmetna građevina temeljenana vapnenačkoj stijeni. Pretpostavljena proračunska vertikalna otpornost temeljnog tla/stijene

iznosi (uvjet graničnog stanja nosivosti):

$$\sigma_{Rd} = 500 \text{ kPa.}$$

Napomena: Sve elemente konstrukcije na tlu izvesti na podložnom betonu (debljine 10 cm).

U slučaju da se tokom izvođenja radova uspostavi da svojstva tla ne odgovaraju pretpostavljenim obavezno je konzultirati projektanta konstrukcije.

Napomena: U proračunu je kao dozvoljeno naprezanje u tlu korišteno: $\sigma_{dop,tla} = 400 \text{ kPa}$.

1.4. HORIZONTALNE NOSIVE KONSTRUKCIJE

Međukatne i krovne konstrukcije će se izvesti kao AB ploče debljine 15, 20 i 25cm, sve prema ovom projektu i planu pozicija te izraditi od betona C25/30 i armirati s armaturnim čelikom B500B.

AB grede izvesti prema proračunu i skicama koje su definirane za svaku pojedinu stavku ovog projekta. Potrebno ih je izraditi od betona C25/30 i armirati s armaturnim čelikom B500B.

1.5. VERTIKALNE NOSIVE KONSTRUKCIJE

Vertikalne nosive konstrukcije čine: ab zidovi, ab stupovi i visokostijeni nosači. Sve detaljnije označeno u planu pozicija. Sve armirano betonske vertikalne nosive konstrukcije izvesti od betona C25/30, dimenzija prema planu pozicija. Armirati ih obostrano mrežama B500B i šipkastom armaturom B500B na krajevima zidova - a sve prema proračunu iz ovog projekta.

1.6. OSTALE NOSIVE KONSTRUKCIJE

Stubište

AB krak i podeste stubišta izraditi od betona C25/30 i armirati s B500B prema skici iz proračuna. U proračunu su dane osnovne dimenzije i količine armature za pojedine konstruktivne elemente uglavnom kroz skice armature. Elementi koji nisu računati armiraju se konstruktivno ($\geq 0.1\%$ površine betonskog presjeka).

1.7. OTPORNOST A-B KONSTRUKCIJE NA DJELOVANJE POŽARA

Požarna otpornost elemenata nosive AB konstrukcije postignuta je određivanjem minimalnih zaštitnih slojeva armature. Požarna otpornost betonske konstrukcije provedena je postupkom provjere elemenata koji udovoljava standardnim zahtjevima požarne otpornosti, a koji se svodi na provjeru minimalnih dimenzija pojedinih konstruktivnih elemenata odnosno njihovih osnih razmaka (razmak od osi šipke do lica zida).

2. PLAN KONTROLE I OSIGURANJE KVALITETE

2.1. OPĆENITO

Predmetni je projekt usklađen sa sljedećim posebnim zakonima, drugim propisima i posebnimuvjetima:

- Zakon o gradnji (NN 153/13, 20/17, 39/19,125/19)
- Zakon o zaštiti na radu RH (NN 71/14,118/14,154/14,94/18, 96/18)
- Zakon o normizaciji (NN 80/13)
- Zakon o poslovima i djelatnostima prostornog uređenja i gradnje (NN 78/15, 118/18, 110/19)
- Tehnički propis o građevnim proizvodima (NN 35/18, 104/19)
- Tehnički propis za građevinske konstrukcije (NN 17/17)
- HRN EN 1990 - Eurokod 0 :Osnove projektiranja konstrukcija
- HRN EN 1991 - Eurokod 1: Osnove projektiranja i djelovanja na konstrukcije
- HRN EN 1992 - Eurokod 2: Projektiranje betonskih konstrukcija
- HRN EN 1996 - Eurokod 6: Projektiranje zidanih konstrukcija
- HRN EN 1997 - Eurokod 7: Geotehničko projektiranje
- HRN EN 1998 - Eurokod 8: Projektiranje potresne otpornosti konstrukcija
- Pravilnik o kontroli projekata (NN 32/14)
- Pravilnik o tehničkim dopuštenjima za građevne proizvode (NN 103/08)
- Pravilnik o ocjenjivanju sukladnosti, ispravama o sukladnosti i označavanju građevnih proizvoda
(NN 103/08,147/09,87/10,129/11)
- Pravilnik o nadzoru građevnih proizvoda (NN 113/08)

Sve radove trebaju obavljati za to stručno osposobljene osobe, uz stalni stručni nadzor. Prije prelaskana iduću fazu radova, nužno je odobrenje nadzornog inženjera. Za svako odstupanje od projekta, te uslučaju nepredviđenih okolnosti, potrebna je konzultacija s projektantom. Izvođač je dužan u potpunosti poštivati sve mjere osiguranja i kontrole kvalitete. Svi upotrijebljeni materijali i svi izvedeni radovi trebaju udovoljavati zahtjevima važećih normi, propisa i pravila struke. Za vrijeme izvođenja radova potrebna je stalna nazočnost nadzornog inženjera i povremeni projektantski nadzor.

Traži se razred nadzora 2+.

2.2. OPĆI PODACI I DEFINICIJE

PRIMJENA OPĆIH TEHNIČKIH UVJETA: Ovi tehnički uvjeti i program kontrole kvaliteta

(u daljnjem tekstu Tehnički uvjeti) sadrže tehničke uvjete izvođenja radova, tehnologiju izvođenja i način ocjenjivanja kvalitete. Tehnički uvjeti vrijede za radove na konstrukciji i za radove koji se naknadno odrede na gradilištu, a koji su neophodni za potpuno dovršenje predmetne građevina. Primjena ovih Tehničkih uvjeta je obavezna. Ovi tehnički uvjeti izrađeni su sukladno Zakonu ogradnji (NN. br. 153/13, 20/17, 39/19, 125/19). Svi sudionici u građenju (investitor, izvođač i dr.) dužni su se pridržavati odredbi navedenog zakona i drugih zakona, pravilnika i tehničkih propisa na koje upućuje navedeni zakon.

Investitor je dužan:

1. Projektiranje, građenje i nadzor povjeriti osobama ovlaštenim za obavljanje tih djelatnosti
2. Riješiti osiguranje zemljišta te sve imovinsko-pravne odnose.
3. Prije gradnje ishoditi građevinsku dozvolu.
4. Osigurati stručni nadzor nad građenjem.
5. Osigurati potrebni tehnološki i projektantski nadzor pri izvedbi nosive konstrukcije.
6. Osigurati provedbu kontrolnih ispitivanja ugrađenih materijala pri izvedbi nosive konstrukcije.
7. Po završetku gradnje poduzeti potrebne radnje za obavljanje tehničkog pregleda i ishođenje uporabne dozvole.
8. Pridržavati se ostalih obveza po navedenom zakonu.

Izvođač je dužan:

1. Radove izvoditi prema ugovoru u skladu s građevinskom dozvolom i drugim dokumentima.
2. Radove izvoditi prema Projektima za koje je izdana građevinska dozvola, a u skladu s tehničkim propisima i pravilima struke.
3. Organizirati kontrolu svih radova u izvedbi.
4. Radove izvoditi na način da zadovolje svojstva u smislu: pouzdanosti, mehaničke otpornosti i stabilnosti, sigurnosti za slučaj požara, zaštite zdravlja ljudi, zaštite korisnika od povreda, zaštite od buke i vibracija, toplinske zaštite i uštede energije, zaštite od korozije, te ostala funkcionalna i zaštitna svojstva.
5. Ugrađivati materijale, opremu i proizvode predviđene projektom, provjerene u praksi, a čija je kvaliteta dokazana certifikatima i tehničkim dopuštenjima sukladno važećim propisima i normama.
6. Osigurati dokaze o kvaliteti radova i ugrađenih proizvoda i opreme, statistički obrađenim rezultatima obavljenih ispitivanja i na drugi način, te certifikatima izdanim prema važećim tehničkim propisima i svim uvjetima danim u ovom poglavlju.
7. Izvođač je dužan odrediti voditelja građenja na projektiranom objektu, a prema potrebi i za pojedine vrste radova.
8. Izraditi program popravaka eventualnih oštećenja pojedinih elemenata konstrukcije i

predložiti ga nadzornom inženjeru i projektantu konstrukcije na odobrenje.

9. Izvođač osigurava ili izrađuje svu navedenu dokumentaciju u potpoglavlju "Dokumentacija koju osigurava Izvođač radova".

Dokumentacija koju osigurava Izvođač radova

Da bi se osigurao ispravan tok i kvaliteta građenja, Izvođač mora na gradilištu posjedovati odgovarajuću dokumentaciju za građenje i pridržavati se nje kako slijedi:

1. Lokacijsku dozvolu (ako je potrebna) i građevinsku dozvolu.
2. Projektu dokumentaciju potrebnu za izvođenje (glavni i izvedbeni projekt ovjeren od projektanata).
3. Projekt pripremnih radova i organizacije gradilišta.
4. Projekt tehnologije i izvođenja pojedinih radova.
5. Projekt zaštite gradilišta, radova u izgradnji, sigurnosti ljudi i zaštite na radu.
6. Zapisnik o iskolčenju objekta i način osiguranja stalnih točaka iskolčenja.
7. Uredno vođen građevinski dnevnik i građevinsku knjigu s obračunskim nacrtima.
8. Dokumentaciju kojom se dokazuje tražena kvaliteta radova, konstrukcija i ugrađenog materijala i opreme.(potvrde o sukladnosti, uvjerenja, certifikati, jamstveni listovi i sl.) a naročito:
 - Program ispitivanja kvalitete ugrađenog betona i Izvještaje o ispitivanju betona od strane ovlaštene institucije,
 - Potvrde o sukladnosti čeličnih elemenata konstrukcije te dokaze kvalitete spojeva,
 - Izvještaje o prethodnim ispitivanjima za materijale koji se ugrađuju, ako se proizvedena gradilištu,
 - Izvještaje o svim ostalim ispitivanjima koja su provedena po nalogu za ispitivanju nadzornog inženjera ili bez njegovog naloga, a koja su potrebna radi dokazivanja kvalitete izvedenih radova i ugrađenih materijala.

Kontrolna ispitivanja

O izvršenim kontrolnim ispitivanjima materijala koji se ugrađuje u građevinu mora se cijelo vrijeme građenja voditi evidencija te sačiniti izvješće o pogodnosti ugrađenih materijala sukladno projektu, ovom programu ili citiranim pravilnicima, normama i standardima.

Izvješće o pogodnosti ugrađenih materijala mora sadržavati slijedeće dijelove:

1. Naziv materijala, laboratorijsku oznaku uzorka, količinu uzoraka, namjenu materijala, mjesto i vrijeme (datum) uzimanja uzorka te izvršenih ispitivanja, podatke o proizvođaču i investitoru, podatke o građevini za koju se uzimaju uzorci odnosno vrši ispitivanje.
2. Prikaz svih rezultata, laboratorijskih, terenskih ispitivanja za koja se izdaje uvjerenje odnosno

ocjena kvalitete.

3. Ocjenu kvalitete i mišljenje o pogodnosti (uporabljivosti) materijala za primjenu na navedenoj građevini te rok do kojega vrijedi izvješće.

Uzimanje uzoraka i rezultati laboratorijskih ispitivanja moraju se upisivati u laboratorijsku i gradilišnu dokumentaciju (građevinski dnevnik). Uz dokumentaciju koja prati isporuku proizvoda ili poluproizvoda proizvođač je dužan priložiti rezultate tekućih ispitivanja koja se odnose na isporučene količine. Potrebno je provesti pregled i ispitivanje nosivih čeličnih konstrukcija glede geometrije, deformabilnosti nosive konstrukcije i vibracija sukladno važećem tehničkom propisu. Program ispitivanja potrebno je prethodno usuglasiti s nadzornim inženjerom i projektantom konstrukcije. Sva izvješća, potvrde sukladnosti, certifikati i drugi dokazi kvalitete moraju se odmah po dobivanju dostaviti i nadzornom inženjeru.

POSTIZANJE ZAHTIJEVANE GEOMETRIJE

- stalnu kontrolu geometrije svih elemenata i objekta kao cjeline
- kontrolu osiguranja svih točaka
- kontrolu postavljenih profila
- kontrolu repera i poligonalnih točaka

2.3. KONTROLA KVALITETE

Tehnička svojstva, ocjenjivanje i provjera stalnosti svojstava i dokazivanje uporabljivosti građevnih proizvoda koji se ugrađuju u građevinu te uvjete za njihovo stavljanje na tržište, distribuciju i uporabu mjeri potrebnoj za ispunjavanje bitnih zahtjeva za građevinu propisano je Zakonom o građevnim proizvodima (NN 76/13, NN 30/14, NN 130/17) i pripadajućim pravilnicima.

Tehnička svojstva građevnog proizvoda moraju biti takva da uz propisanu ugradnju sukladno namjeni građevine, uz propisano, odnosno projektom određeno održavanje podnose sve utjecaje uobičajene uporabe i utjecaja okoline, tako da građevina u koju je ugrađen tijekom projektiranog roka uporabe ispunjava bitne zahtjeve za građevinu. Proizvođač, uvoznik, ovlaštenu zastupnik i distributer dužni su poduzimanjem odgovarajućih mjera osigurati da tehnička svojstva građevnog proizvoda tijekom njegove distribucije ostanu nepromijenjena. Izvođač i druga osoba koja je preuzela građevni proizvod radi građenja dužni su poduzimanjem odgovarajućih mjera osigurati da tehnička svojstva građevnog proizvoda od njegova preuzimanja do ugradnje ostanu nepromijenjena. Građevni proizvod je uporabljiv ako su njegova tehnička svojstva sukladna tehničkoj specifikaciji. Uporabljivost građevnog proizvoda dokazuje se, ovisno o njegovoj vrsti i tehničkoj specifikaciji, izjavom o svojstvima koja se izdaje nakon provedbe, odnosno osiguranja provedbe postupka ocjenjivanja i provjere stalnosti tehničkih svojstava građevnog proizvoda s tehničkom specifikacijom te oznakom koja potvrđuje sukladnost građevnoga proizvoda s objavljenim svojstvima u odnosu na bitne značajke obuhvaćene tom specifikacijom. Isprave o stalnosti svojstava građevnog proizvoda su certifikat o stalnosti svojstava proizvoda i izjava o svojstvima.

Certifikat o stalnosti svojstava izdaje ovlaštena pravna osoba na zahtjev proizvođača, ovlaštenog zastupnika, odnosno uvoznika građevnog proizvoda, koji snosi troškove njezina izdavanja. Izjavu o svojstvima izdaje proizvođač, ovlaštenu zastupnik, odnosno uvoznik građevnog proizvoda.

Proizvođač, ovlaštenu zastupnik, odnosno uvoznik građevnog proizvoda mora prije stavljanja na tržište, odnosno uporabe građevnog proizvoda izraditi tehničke upute i proizvod označiti oznakom oznakom koja potvrđuje sukladnost građevnoga proizvoda s objavljenim svojstvima u odnosu na bitne značajke obuhvaćene tom specifikacijom. Građevni proizvod se ne smije stavljati na tržište niti distribuirati bez tehničke upute i oznake koja potvrđuje sukladnost građevnoga proizvoda s objavljenim svojstvima u odnosu na bitne značajke obuhvaćene tom specifikacijom. Tehničke upute moraju slijediti svaki građevni proizvod koji se isporučuje.

Kada se dva ili više istih građevnih proizvoda isporučuju odjednom, tehničke upute moraju slijediti svako pojedinačno pakiranje. Kod isporuke građevnog proizvoda u rasutom stanju tehničke upute moraju slijediti svaku pojedinačnu isporuku. Za građevni proizvod za koji nije donesen tehnički propis uporabljivost se dokazuje prema priznatim tehničkim pravilima.

Propisane mjere kontrole kvalitete i nadzora osiguravaju da zahtijevana kvalitete bude i dosegnuta tijekom izvođenja. Gotovi građevni proizvodi koji se ugrađuju moraju imati popratne izjave o svojstvima. Kontrola kvalitete podrazumijeva laboratorijska ispitivanja materijala, kao i ispitivanje izvedenih radova. Ispitivanje treba provoditi prema postupcima ispitivanja propisanim tehničkim specifikacijama. Provjera stalnosti svojstava je dio vanjske provjere, a provodi se da bi se utvrdilo dali su određena proizvodnja ili rad izvedeni prema ugovornim odredbama.

Sustav certificiranja o stalnosti svojstava građevnih proizvoda propisan je Pravilnikom o ocjenjivanju sukladnosti, ispravama o sukladnosti i označavanju građevnih proizvoda (NN 103/08, NN 147/09, NN87/10, NN 129/11).

2.4. MATERIJALI

Na osnovu rezultata početnih ispitivanja sastojaka i svojstava betona odabrati će se isporučiooci sastojaka. Odabrani cement, agregat i voda moraju zadovoljavati uvjete propisane u normi HRN EN 206-1 i tamo navedenim normama. Za proizvodnju betona mogu se upotrebljavati samo sastojci betona koji imaju propisanu deklaraciju i certifikat o sukladnosti s odgovarajućim specifikacijama. Vrste i učestalost nadzora/kontrole ispitivanja opreme i sastojaka betona provode se prema HRN EN206-1.

Cement

Za proizvodnju betona mogu se upotrebljavati samo cementi čija su osnovna svojstva uvjetovana propisima odgovarajućih standarda, prethodno dokazana. Prethodna ispitivanja i dokaze podobnosti cementa za betonske radove obavlja institucija ovlaštena za poslove provođenja dokaza sukladnostikvalitete cementa. Prethodni dokaz kvalitete mora se pribaviti za svaku vrstu i razred cementa pri čemu se pod vrstom cementa podrazumljeva cement određene oznake i određenog proizvođača. Naprijedlog Izvođača, odluku o vrsti cementa donosi Projektant ili Nadzorni inženjer na temelju prethodnih ispitivanja i certifikata ovlaštene ustanove. Ovim projektom zahtijeva se da cementi trebaju biti razreda tlačne čvrstoće 42,5N prema normi HRN EN 197-1.

Voda

Ako se koristi voda iz javnog vodovoda može se upotrebljavati bez potrebe dokazivanja uporabljivosti. Ako se za pripremanje betona koristi voda koja nije pitka Izvođač mora prethodno dokazati uporabljivost te vode u skladu s normom HRN EN 1008:2002, najmanje jednom svaka tri mjeseca (postojanje soli, sadržaj organskih tvari). Voda ne smije sadržavati nikakve sastojke koji bi mogli ugroziti kvalitetu ili izgled betona ili morta. Isto vrijedi za vodu za njegovanje svježeg betona. Kontrola vode za pripremu betona provodi se u centralnoj betonari (tvornici betona), u betonari pogona za proizvodnju predgotovljenih betonskih proizvoda i u betonari na gradilištu prije prve upotrebe.

Agregat

Tehnička svojstva agregata, ovisno o porijeklu, opće i posebne zahtjeve bitne za krajnju namjenu u betonu, moraju biti specificirana prema normi HRN EN 12620, normama na koje ta norma upućuje kao i odredbama TPGK. Razred kvalitete i sva svojstva agregata određena su prema normi HRN EN 206-1 "Beton -1 dio Specifikacije, svojstva, proizvodnja i sukladnost" i drugim važećim HRN normama. Potvrđivanje sukladnosti agregata provodi se prema odredbama dodatka za norme HRN EN 12620 i odredbama posebnog propisa (Pravilnik o ocjenjivanju sukladnosti, ispravama sukladnosti i označavanju građevinskih proizvoda).

Kontrola agregata prije proizvodnje betona provodi se u centralnoj betonari (tvornici betona), u betonari pogona za predgotovljene betonske proizvode i u betonari na gradilištu prema normi HRN EN 206-1.

Dodaci betonu (kemijski i mineralni)

Kontrola kemijskog i mineralnog dodatka betonu provodi se u centralnoj betonari (tvornici betona), u betonari pogona za proizvodnju predgotovljenih betonskih proizvoda i u betonari na gradilištu prema normi HRN EN 206-1 (tablica na slijedećoj stranici). Preporučuje se uzimanje uzoraka i odlaganje zasvaku isporuku.

Kemijski dodaci betonu

Opća prikladnost kemijskih dodataka utvrđuje se ispitivanjem prema HRN EN 934-2. Za konkretnu primjenu kemijskog dodatka izvođač mora pribaviti certifikat prije početka prethodnih ispitivanja. Prethodna ispitivanja: Prikladnost kemijskih dodataka za konkretnu primjenu mora se utvrditi tijekom prethodnih ispitivanja betona.

Kontrolna ispitivanja: Izvođač je dužan predočiti certifikat za svaku pošiljku svih dodataka Nadzornom inženjeru, koji odobrava upotrebu dodatka za svaku vrstu i svaki cement posebno. Zasvaku pošiljku kemijskog dodatka izvođač mora prije uporabe, u laboratoriju

gradilišta provjeriti njegovu kompatibilnost s betonom.

Mineralni dodaci betonu

Za konkretnu primjenu mineralnih dodataka izvođač mora pribaviti certifikat prije početka prethodnih ispitivanja.

Prethodna ispitivanja: Prikladnost mineralnih dodataka za konkretnu primjenu mora se utvrditi tijekom prethodnih ispitivanja betona.

Kontrolna ispitivanja: Izvođač je dužan predložiti certifikat za svaku pošiljku svih mineralnih dodataka Nadzornom inženjeru, koji odobrava upotrebu dodataka za svaku vrstu i svaki cement posebno.

Tablica 2.1. Dodaci materijalima i njihov nadzor/ispitivanje, svrha i minimalna učestalost

| Materijal | Nadzor/ispitivanje | Svrha | Minimalna učestalost |
|--|---|--|--|
| Kemijski dodaci | Kontrola otpremnice i razine u posudi* prije pražnjenja | Provjera je li isporuka prema narudžbi i je li ispravno označena | Svaka isporuka |
| | Ispitivanje radi identifikacije prema HRN EN 934-2 | Radi usporedbe s podacima proizvođača | U slučaju sumnje |
| Mineralni dodaci | Kontrola otpremnice * prije isporuke | Provjera je li isporuka prema narudžbi i iz pravog izvora | Svaka isporuka |
| | Ispitivanje gubitaka žarenjem letećeg pepela | Određivanje promjene sadržaja ugljika koje mogu utjecati na aerirani beton | Svaka isporuka namijenjena aeriranom betonu kada tu informaciju nije dao dobavljač |
| Mineralni dodaci u suspenziji | Kontrola otpremnice * prije isporuke | Provjera je li isporuka prema narudžbi i iz pravog izvora | Svaka isporuka |
| | Ispitivanje gustoće | Provjera ujednačenosti | Svaka isporuka i periodično tijekom proizvodnje betona |
| *Otpremnici treba biti priložena izjava o sukladnosti ili certifikat o sukladnosti prema odgovarajućoj normi ili propisanim uvjetima | | | |

Čelik za armiranje

Vrsta čelika za armiranje koja se upotrebljava mora biti sukladna Tehničkim propisima za građevinske konstrukcije (NN. br. 17/17, 75/20). Čelik za armiranje mora imati isprave o sukladnosti u skladu s Pravilnikom o ocjenjivanju sukladnosti, ispravama o sukladnosti i označavanju građevnih proizvoda (NN.br. 103/08, 147/09, 87/10, 129/11). Za armirano betonske konstrukcije predviđen je slijedeći čelik za armiranje prikazan u tablici 2.2.

Tablica 2.2. Čelik za armiranje armirano betonskih konstrukcija

| Konstruktivski elementi | Čelik za armiranje |
|--------------------------|--|
| Temelji, grede i stupovi | – rebraste šipke B 500 razreda duktilnosti B ($f_{yk} = 500$ MPa - karakteristična granica razvlačenja) |
| Stropne ploče | – rebraste šipke B 500 razreda duktilnosti B ($f_{yk} = 500$ MPa - karakteristična granica razvlačenja) |
| Zidovi | – rebraste šipke B 500 razreda duktilnosti B ($f_{yk} = 500$ MPa - karakteristična granica razvlačenja) – zavarene mreže B 500 razreda duktilnosti B ($f_{yk} = 500$ MPa - karakteristična granica razvlačenja) |

Svojstava čelika potrebno je dokazati sukladno normi HRN EN 10020, nizovima normi HRN EN 1130 i normi HRN EN 10080. Nastavljanje armature zavarivanjem izvoditi sukladno normama HRNEN ISO 17660-1 i HRN EN ISO 17660-2.

2.5. BETONSKI I ARMIRANOBETONSKI RADOVI

Beton i armirani beton potrebno je proizvoditi, ugrađivati i kontrolirati u skladu s HRN 1128:2007 "Beton - Smjernice za primjenu norme HRN EN 206-1", HRN EN 206-1 "Beton -1. dio: Specifikacije, svojstva, proizvodnja i sukladnost" i HRN EN 13670:2010 "Izvođenje betonskih konstrukcija", te u njima propisanim normama.

Osnovni zahtjevi po dijelovima konstrukcije su:

Tablica 2.3. Nearmirani elementi konstrukcije - podložni beton i elementi koji nemaju armaturu

| Oznaka razreda | B1 |
|---------------------------|--------|
| OSNOVNI ZAHTJEVI | |
| razred tlačne čvrstoće | C12/15 |
| razred izloženosti | X0 |
| najveće zrno agregata, mm | 16 |
| razred konzistencije | S3 |

Tablica 2.4. Elementi temeljne konstrukcije – vanjski potpuno ukopani zaštićeni armiranobetonski elementi koji nisu izloženi kloridima iz sredstava za odmrzavanje

| Oznaka razreda | B2 |
|---|------------------------------------|
| OSNOVNI ZAHTJEVI | |
| razred tlačne čvrstoće | C30/37 |
| razred izloženosti | XC4/XD1/XS1/XF3 |
| najveće zrno agregata, mm | 16 |
| razred sadržaja klorida | Cl 0,2 |
| v/c omjer, max | 0,55 |
| razred konzistencije, | S3 ili S4 |
| min. količina cementa (kg) | 320 |
| cementi koji se ne smiju koristiti za izradu betona | cementi visoke topline hidratacije |
| posebni zahtjev | - |

Tablica 2.5. Glavna nosiva konstrukcija građevine - armiranobetonski elementi zaštićeni od vanjskih utjecaja i visoke vlage –stropne ploče, grede, zidovi

| Oznaka razreda | B3 |
|---|------------------------------------|
| OSNOVNI ZAHTJEVI | |
| razred tlačne čvrstoće | C25/30 |
| razred izloženosti | XC4/XD1/XS1/XF3 |
| najveće zrno agregata, mm | 16 |
| razred sadržaja klorida | Cl 0,2 |
| v/c omjer, max | 0,55 |
| razred konzistencije, | S3 ili S4 |
| min. količina cementa (kg) | 320 |
| cementi koji se ne smiju koristiti za izradu betona | cementi visoke topline hidratacije |
| posebni zahtjev | - |

Tablica 2.6. Vanjski nezaštićeni elementi – okoliš. – vanjski nezaštićeni armiranobetonski elementi koji su izloženi kloridima iz sredstava za odmrzavanje – potporni zdovi, sabirne jame, sprinkler

| Oznaka razreda | B3 |
|---|------------------------------------|
| OSNOVNI ZAHTJEVI | |
| razred tlačne čvrstoće | C25/30 |
| razred izloženosti | XC4/XD1/XS1/XF3 |
| najveće zrno agregata, mm | 16 |
| razred sadržaja klorida | Cl 0,2 |
| v/c omjer, max | 0,55 |
| razred konzistencije, | S3 ili S4 |
| min. količina cementa (kg) | 320 |
| cementi koji se ne smiju koristiti za izradu betona | cementi visoke topline hidratacije |
| posebni zahtjev | - |

Tablica 2.7. Parkirališta, staze, pločnici i sl. – vanjski horizontalni nezaštićeni armiranobetonski elementi koji su izloženi kloridima iz sredstava za odmrzavanje

| Oznaka razreda | B4 |
|---|------------------------------------|
| OSNOVNI ZAHTJEVI | |
| razred tlačne čvrstoće | C35/45 |
| razred izloženosti | XC4/XD3/XF4 |
| najveće zrno agregata, mm | 32 ili 16 |
| razred sadržaja klorida | Cl 0,2 |
| v/c omjer, max | 0,45 |
| razred konzistencije, | S3 ili S4 |
| min. količina cementa (kg) | 340 |
| cementi koji se ne smiju koristiti za izradu betona | cementi visoke topline hidratacije |
| posebni zahtjev | vodonepropusni beton – VDP 2 |

Sastav betona određuje se na osnovu početnih ispitivanja, koja se provode u laboratoriju proizvođačabetona, a zatim s odabranim sastavima na betonari. Ukoliko se beton proizvodi na gradilištu, Izvođačradova mora sastaviti Program početnih ispitivanja betona i sastojaka i predati ga nadzornom inženjeru na odobrenje 14 dana prije početka ispitivanja. Početnim ispitivanjima moraju se dokazati sva svojstva predviđena prethodnim tablicama. Prodor vode kroz beton (vodonepropusnost) ispitati prema HRN EN 12390-8. Primijeniti sastav betona kako bi se hidratacijska toplina velikih armiranobetonskih elemenata (temeljna ploča ispod tribina) svela na minimalnu moguću razinu.

Također tehnologiju izvedbe prilagoditi kako se u betonu ne bi razvila veća temperatura od 65 °C.

SASTAV BETONSKIH MJEŠAVINA

Proizvodnja betona smije početi na temelju recepture bazirane na temelju početnih ispitivanja materijala i betona kako je navedeno u ovom poglavlju (Tehnički uvjeti izvođenja radova i programkontrola kvalitete), s time da receptura bude odobrena od Nadzornog inženjera.

ISPORUKA SVJEŽEG BETONA

Informacije korisnika betona oizvođaču

Korisnik će usuglasiti s proizvođačem:

- datum isporuke
- vrijeme i
- količinu,
 - i informirati proizvođača o:
 - posebnom transportu na gradilište,
 - posebnim postupcima ugradnje,
 - ograničenjima vozila isporuke, npr. tipa (agitirajuća ili neagitirajuća oprema), veličine, visine ili bruto težine.

Informacije proizvođača betona korisniku

Kada naručuje beton, korisnik će zahtijevati informacije o sastavu mješavine betona radi primjene pravilne ugradnje i zaštite svježeg betona i utvrđivanja razvoja čvrstoće betona. Te informacije mora na zahtjev korisnika dati proizvođač prije isporuke betona, već prema tome kako odgovara korisniku. Kad je posrijedi tvornički proizvedeni beton, informacije, kad se zatraže, mogu također biti dane i referencama proizvođačeva kataloga sastava mješavina betona, u kojima su iskazane pojedinosti o klasama čvrstoće, klasama konzistencije, težina mješavine i drugi mjerodavni podaci. Proizvođač treba informirati korisnika o zdravstvenom riziku koji se može pojaviti tijekom rukovanja betonom.

Otpremnica za gotov (tvornički proizveden) beton

Pri isporuci betona proizvođač mora dostaviti korisniku otpremnicu za svaku transportnim sredstvom isporučenu količinu betona, na kojoj su otisnute, utisnute ili upisane najmanje sljedeće informacije:

- ime tvornice betona,
- serijski broj otpremnice,
- datum i vrijeme utovara, tj. vrijeme prvog kontakta cementa i vode,
- broj vozila,
- ime kupca,
- ime i lokacija gradilišta,
- detalji ili reference uvjeta, npr. kodni broj, redni broj,
- količina betona u m³,
- deklaracija sukladnosti s referentnim uvjetima kvalitete i EN 206-1,
- ime ili znak certifikacijskog tijela ako je relevantno,

- vrijeme kad beton stiže na gradilište,
- vrijeme početka istovara,
- vrijeme završetka istovara.

Konzistencija pri isporuci

Općenito je svako dodavanje vode ili kemijskih dodataka pri isporuci zabranjeno. U posebnim slučajevima voda ili kemijski dodaci mogu biti dodani kad je to pod odgovornošću proizvođača i primjenjuje se za dobivanje uvjetovane vrijednosti konzistencije, osiguravajući da uvjetovane granične vrijednosti nisu prekoračene i da je dodatak kemijskog dodatka uključen u projekt betona. Količina svakog dodatka vode ili kemijskog dodatka dodana u vozilo (mikser) mora biti upisana u otpremni dokument u svim slučajevima.

Kontrola sukladnosti i kriteriji sukladnosti

Kontrola sukladnosti sastoji se od aktivnosti i odluka koje treba poduzeti u skladu s pravilima sukladnosti prilagođenim unaprijed radi provjere sukladnosti betona s propisanim uvjetima. Kontrola sukladnosti je integralni dio kontrole proizvodnje. Svojstva betona kojima se kontrolira sukladnost jesu ona koja se mjere odgovarajućim ispitivanjima prema normiranim postupcima. Stvarne vrijednosti svojstava betona u konstrukcijama mogu se razlikovati od tih utvrđenih ispitivanjima, npr. ovisno o dimenzijama konstrukcije, ugradnji, zbijanju, njegovanju i klimatskim uvjetima. Plan uzorkovanja i ispitivanja te kriteriji sukladnosti trebaju zadovoljavati postupke navedene u ovom poglavlju. Mjesto uzimanja uzoraka za ispitivanje sukladnosti treba odabrati tako da se mjerodavna svojstva betona i sastav betona značajnije ne mijenjaju od mjesta uzorkovanja do mjesta isporuke.

Kada su ispitivanja kontrole proizvodnje ista kao i ispitivanja uvjetovana za kontrolu sukladnosti, treba ih uzeti u obzir pri vrednovanju sukladnosti. Proizvođač može koristiti i druge rezultate ispitivanja isporučenog betona u prihvaćanju sukladnosti.

Sukladnost ili nesukladnost prosuđuje se prema kriterijima sukladnosti. Nesukladnost može voditi daljnjim akcijama na mjestu proizvodnje i na gradilištu.

Kontrola proizvodnje

Proizvođač je odgovoran za besprijekorno upravljanje proizvodnjom betona. Sav beton mora biti predmet kontrole proizvodnje. Kontrola proizvodnje obuhvaća sve mjere nužne za održavanje svojstava betona u sukladnosti s uvjetovanim svojstvima. To uključuje:

- izbor materijala,
- projektiranje betona,
- proizvodnju betona,

- preglede i ispitivanja,
- uporabu rezultata ispitivanja sastavnih materijala, svježeg i očvrslog betona i opreme,
- kontrolu sukladnosti.

Kontrola proizvodnje mora se odvijati prema načelima serije normi HRN EN ISO 9000. Sustav kontrole proizvodnje treba sadržavati odgovarajuće dokumentirani postupak i upute. Taj postupak i upute treba po potrebi utvrditi uzimajući u obzir potrebe kontrole iskazane u tablicama 22, 23 i 24 EN 206. Namjeravanu učestalost ispitivanja i nadzora treba dokumentirati. Rezultate ispitivanja i kontrola treba evidentirati izvještajima. Svi mjerodavni podaci o kontroli proizvodnje trebaju biti zapisani (sadržani u izvještajima). Izvještaje o kontroli proizvodnje treba čuvati najmanje 3 godina, ako zakonske obveze ne traže duže razdoblje.

Vrednovanje i potvrđivanje sukladnosti

Proizvođač je odgovoran za ocjenu sukladnosti betona s uvjetovanim svojstvima te mora provoditi isljedne:

- a) početno ispitivanje kad je traženo
- b) kontrolu proizvodnje
- c) kontrolu sukladnosti

Proizvođačevu kontrolu proizvodnje treba za sve betone klase iznad C16/20 vrednovati i pregledavati ovlašteno nadzorno tijelo i zatim ovjeriti ovlašteno certifikacijsko tijelo.

Proizvođač je odgovoran za održavanje sustava kontrole proizvodnje.

Betonski čelik

Armatura izrađena od čelika za armiranje prema odredbama ugrađuje se u armiranobetonsku konstrukciju prema projektu betonske konstrukcije, normi HRN EN 13670:2010 i normama na kojeta upućuje. Izvođač mora prema normi HRN EN 13670:2010 prije početka ugradnje provjeriti je li armatura u skladu sa zahtjevima iz projekta betonske konstrukcije, te je li tijekom rukovanja i skladištenja armature došlo do njezinog oštećivanja, deformacije ili druge promjene koja bi bila od utjecaja na tehnička svojstva betonske konstrukcije.

Nadzorni inženjer neposredno prije početka betoniranja mora:

- provjeriti postoji li isprava o sukladnosti za čelik za armiranje, odnosno za armaturu i jesu li iskazana svojstva sukladna zahtjevima iz projekta betonske konstrukcije.
- provjeriti je li armatura izrađena, postavljena i povezana u skladu s projektom betonske konstrukcije te u skladu s Prilozima »B« te dokumentirati nalaze svih provedenih provjera zapisom u građevinski dnevnik.

Savijanje, rezanje, prijevoz i skladištenje Čelik za armiranje betona treba rezati i savijati

premaprojektnim specifikacijama.

Pri tome:

- savijanje treba izvoditi jednolikom brzinom,
- savijanje čelika pri temperaturi ispod $-5\text{ }^{\circ}\text{C}$, ako je dopušteno projektnim specifikacijama, treba izvoditi uz poduzimanje odgovarajućih posebnih mjera osiguranja,
- savijanje armature grijanjem smije se izvoditi samo uz posebno odobrenje u projektnim specifikacijama. Promjer trna za savijanje šipki treba biti prilagođen stvarnom tipu armature.

2.6. IZVEDBA ZIDOVA

Prilikom izvođenja zidova, izvođač se mora pridržavati slijedećih mjera:

- kada se za zidanje koristi cementni malter, zidni element se prije zidanja moraju namočiti vodom ako nemaju potrebnu vlažnost
- kada se zidovi izvode od porobetonskih blokova, tada isključivo za zidanje koristiti originalni tankoslojni mort - ljepilo, prema uputama proizvođača.
- zidanje se mora izvoditi s pravilnim vezovima, s preklopima najmanje $1/3$ dužine zidanog elementa
- ako se zidanje izvodi za vrijeme zimskog perioda, treba poduzeti potrebne mjere protiv smrzavanja
- svako naknadno bušenje ili žlijebljenje zidova, koje nije predviđeno projektom, može se izvoditi samo ako je projektom konstrukcije utvrđeno da je nosivost zidova nakon bušenja zadovoljavajuća
- žbukanje zidova zgrade može se izvoditi tek kad se utvrdi da su zidovi izvedeni u skladu s tehničkim uvjetima i mjerama. Materijal od kojeg se izvode zidovi mora odgovarati važećim normama.

2.7. OSTALI RADOVI I MATERIJALI

Svi materijali i proizvodi koji se ugrađuju u objekt trebaju biti kvalitetni i trajni, uz zadovoljenje svih važećih normi, propisa i pravila struke. Za sve se upotrijebljene materijale provode tekuća i kontrolna ispitivanja, odnosno prilažu atesti isporučitelja. Izvedba svih radova treba biti ispravna, kvalitetna i pod stalnim stručnim nadzorom. Za svako odstupanje primijenjenog građiva ili gotovog proizvoda od projekta, potrebna je suglasnost Projektanta i Investitora.

Za vrijeme izvođenja radova potreban je stalni tehnički nadzor.

Preporuča se stalni kvalificirani nadzor građevinske struke koji će moći realizirati sve postavke iz ovog proračuna.

2.8. NADZOR

Pregledi i nadzor trebaju osigurati da se radovi završavaju u skladu s ovim Tehničkim uvjetima i zahtjevima projektnih specifikacija. Nadzor u ovom kontekstu odnosi se na verifikaciju (potvrđivanje) sukladnosti svojstava proizvoda i materijala koji će se upotrijebiti i na nadzor nad izvedbom radova. Plan nadzora treba identificirati sve nadzore, motrenja i ispitivanja za potrebne dokaze kvalitete.

Glavni nadzor nad provođenjem sustava održavanja kvalitete obavlja glavni nadzorni inženjer (kontinuirano). Glavni nadzorni inženjer može imati pomoćnike-specijaliste iz područja tehnologije betona, proračuna konstrukcije, te prisutnost projektanta koji obavlja projektantski nadzor. U skladu sa zakonskim propisima vanjski nadzor može obavljati i nezavisna ovlaštena organizacija za kontrolu kvalitete.

Izvođač radova mora voditi građevinski dnevnik (prema Pravilniku o vođenju građevinskog dnevnika) koji svakodnevno u vrijeme izvođenja radova ispunjava osoba izvođača, a ovjerava nadzorni inženjer kao i svu ostalu dokumentaciju kakvoće korištenih materijala i izvedenih radova. Svi radovi vode se i preuzimaju kroz građevinski dnevnik i to po fazama rada, pri čemu je nužno da za početak radova naredne faze nadzorni inženjer ocjeni kvalitetu izvedenih radova te nakon toga odobri nastavak radova.

– PROJEKTANTSKI NADZOR

Projektantski nadzor nad izvođenjem predmetnih radova obavlja projektant osobno ili preko svojih suradnika. Taj nadzor vodi brigu da se radovi izvedu prema projektu i njegovim dopunama (ako budupostojale) i svrsishodno namjeni koja proizlazi iz projekta. Projektantski nadzor projektanta je povremenog karaktera. Projektant ima pravo donositi odluke u slučaju kada se ukaže potreba da se izvrše izmjene pojedinih dijelova projekta, bilo po opsegu, postupku ili redoslijedu izvođenja radova.

– STRUČNI NADZOR

Potrebno je osigurati stalni stručni nadzor tijekom izvođenja radova. Nadzorni inženjer je predstavnik investitora, plaćen je od investitora i izvršava svoju odgovornost prema njemu. Nadzorni inženjer ima zadatak da kontinuirano prati radove, a za veće radove u punom radnom vremenu. On je odgovoran za tumačenje ugovornih obaveza i izmjena, on uspostavlja kriterije prihvatljivosti, vodi računa da se radovi izvedu u skladu sa projektom i standardima i dobrom praksom, ocjenjuje napredovanje gradnje i određuje dinamiku plaćanja graditelju sukladno količini izvršenih radova i ugrađenom materijalu. U slučaju kakvih većih odstupanja od

projektnih postavki, zapažanja ovog nadzora su mjerodavna kod odluke o nastavku rada. Nadzorni inženjer stalno obavještava vlasnika o toku radova i zadovoljenju roka završetka radova.

Nadzorni inženjer mora imati tehničko znanje o građevinskim materijalima i izvođenju gradnje i imati iskustvo s tim te mora zadobiti povjerenje i poštovanje vlasnika i izvoditelja.

– IZVJEŠĆE O IZVEDENIM RADOVIMA

Da bi se sačuvali svi podaci o izvedenom stanju, potrebno je po završenom poslu izraditi izvješće o svim izvedenim radovima. Poseban naglasak u tom izvješću treba staviti na eventualne izmjene u odnosu na predviđeno projektom.

2.9. MJERE U SLUČAJU NESUKLADNOSTI

Kad nadzor otkrije nesukladnost, treba poduzeti odgovarajuće radnje koje će osigurati uvjetovanu stabilnost i sigurnost konstrukcije i zadovoljiti namjeravanu uporabu.

Kad je nesukladnost potvrđena, treba istražiti sljedeće:

- utjecaj nesukladnosti na izvedbu i uporabu,
- mjere potrebne da bi se nesukladni element ili dio konstrukcije učinili prihvatljivima,
- potrebu zabrane i zamjene nepopravljivog nesukladnog elementa ili dijela konstrukcije.

Veličina nesukladnosti uvjetovanih svojstava građiva utvrđuje se naknadnim ispitivanjima istih svojstava na uzorcima iz konstrukcijskog elementa prema važećim normama. Ispitivanja se odlukom nadzornog inženjera povjeravaju odgovarajućoj ovlaštenoj instituciji. Ako su neispravnosti i nesukladnosti zanemarive za izvedbu i uporabu element treba preuzeti. Ako se nesukladnost može popraviti, element treba preuzeti nakon popravka. Ocjenu sukladnosti elementa nakon popravka trebaju dati nadzorni inženjer i ovlaštena institucija koja je utvrdila veličinu nesukladnosti i uvjetovala popravak. Popravak mora biti u skladu s projektnim specifikacijama i ovim Tehničkim uvjetima. Dokumentaciju postupka i materijala koji će se upotrijebiti treba prije popravka odobriti nadzorni inženjer.

2.10. NORME KOJE TRETIRAJU RADOVE U OVOM PROGRAMU KONTROLE

Tablica 2.8. Norme za beton – osnovne norme

| | |
|----------------------|---|
| HRN EN 206-1:2002 | Beton – 1. dio: Specifikacije, svojstva, proizvodnja i sukladnost (EN 206-1:2000) |
| HRN EN 206-1/A1:2004 | Beton – 1. dio: Specifikacija, svojstva, proizvodnja i sukladnost (EN 206-1:2000/A1:2004) |
| nHRN EN 206-1/A2 | Beton – 1. dio: Specifikacija, svojstva, proizvodnja i sukladnost (EN 206-1:2000/prA2:2004) |

Tablica 2.9. Norme za beton - ostale norme

| | |
|----------------|--|
| HRN EN 12350-1 | Ispitivanje svježeg betona – 1. dio: Uzorkovanje |
| HRN EN 12350-2 | Ispitivanje svježeg betona – 2. dio: Ispitivanje slijeganjem |
| HRN EN 12350-3 | Ispitivanje svježeg betona – 3. dio: VeBe ispitivanje |
| HRN EN 12350-4 | Ispitivanje svježeg betona – 4. dio: Stupanj zbijenosti |
| HRN EN 12350-5 | Ispitivanje svježeg betona – 5. dio: Ispitivanje rasprostiranjem |
| HRN EN 12350-6 | Ispitivanje svježeg betona – 6. dio: Gustoća |
| HRN EN 12350-7 | Ispitivanje svježeg betona – 7. dio: Sadržaj pora – Tlačne metode |
| HRN EN 12390-1 | Ispitivanje očvršnalog betona – 1. dio: Oblik, dimenzije i drugi zahtjevi za uzorke i kalupe |
| HRN EN 12390-2 | Ispitivanje očvršnalog betona – 2. dio: Izradba i njegovanje uzoraka za ispitivanje čvrstoće |
| HRN EN 12390-3 | Ispitivanje očvršnalog betona – 3. dio: Tlačna čvrstoća uzoraka |
| HRN EN 12390-6 | Ispitivanje očvršnalog betona – 6. dio: Vlačna čvrstoća cijepanjem uzoraka |
| HRN EN 12390-7 | Ispitivanje očvršnalog betona – 7. dio: Gustoća očvršnalog betona |

| | |
|------------------|--|
| HRN EN 12390-8 | Ispitivanje očvrtnulog betona – 8. dio: Dubina prodiranja vode pod tlakom |
| prCEN/TS 12390-9 | Ispitivanje očvrtnulog betona – 9. dio: otpornost na smrzavanje ljuštenjem |
| ISO 2859-1 | Plan uzorkovanja za atributni nadzor – 1. dio: Plan uzorkovanja indeksiran prihvatljivim nivoom kvalitete (AQL) za nadzor količine po količine |
| ISO 3951 | Postupci uzorkovanja i karta nadzora s varijablama nesukladnosti |
| HRN U.M1.057 | Granulometrijski sastav mješavina agregata za beton |
| HRN U.M1.016 | Beton. Ispitivanje otpornosti na djelovanje mraza |
| HRN EN 480-11 | Dodaci betonu, mortu i injekcijskim smjesama – Metode ispitivanja – 11. dio: Utvrđivanje karakteristika zračnih pora u očvrtnulom betonu |
| HRN EN12504-1 | Ispitivanje betona u konstrukcijama – 1. dio: Izvađeni uzorci – Uzimanje, pregled i ispitivanje tlačne čvrstoće |
| HRN EN 12504-2 | Ispitivanje betona u konstrukcijama – 2. dio: Nerazorno ispitivanje – Određivanje veličine odskoka |
| HRN EN 12504-3 | Ispitivanje betona u konstrukciji – 3. dio: Određivanje sile čupanja |
| HRN EN 12504-4 | Ispitivanje betona u konstrukciji – 4. dio: Određivanje brzine ultrazvuka |
| prEN 13791:2003 | Ocjena tlačne čvrstoće betona u konstrukcijama ili u konstrukcijskim elementima |

Tablica 2.10. Norme za čelik za armiranje – osnovne norme

| | |
|-----------------|--|
| nHRN EN 10080-1 | Čelik za armiranje betona – Zavarljivi armaturni čelik – 1.dio: Opći zahtjevi (prEN 10080-1:1999) |
| nHRN EN 10080-2 | Čelik za armiranje betona – Zavarljivi armaturni čelik – 2. dio: Tehnički uvjeti isporuke čelika razreda A (prEN 10080-2:1999) |
| nHRNEN 10080-3 | Čelik za armiranje betona – Zavarljivi armaturni čelik – 3. dio: Tehnički uvjeti isporuke čelika razreda B (prEN 10080-3:1999) |
| nHRN EN 10080-4 | Čelik za armiranje betona – Zavarljivi armaturni čelik – 4. dio: Tehnički uvjeti isporuke čelika razreda C (prEN 10080-4:1999) |
| nHRN EN 10080-5 | Čelik za armiranje betona – Zavarljivi armaturni čelik – 5. dio: Tehnički uvjeti isporuke zavarenih armaturnih mreža (prEN 10080-5:1999) |
| nHRN EN 10080-6 | Čelik za armiranje betona – Zavarljivi armaturni čelik – 6. dio: Tehnički uvjeti isporuke zavarenih rešetki za gredice (prEN 10080-6:1999) |

Tablica 2.11. Norme za čelik za armiranje – ostale norme

| | |
|----------------|---|
| HRN EN 10020 | Definicije i razredba vrsta čelika |
| HRN EN 10025 | Toplovaljani proizvodi od nelegiranih konstrukcijskih čelika – Tehnički uvjeti isporuke |
| HRN EN 10027-1 | Sustavi označivanja čelika – 1. dio: Nazivi čelika, glavni simboli |
| HRN EN 10027-2 | Sustavi označivanja čelika – 2. dio: Brojčani sustav |
| EN 10079 | Definicije čeličnih proizvoda |
| HRN EN 10204 | Metalni proizvodi – Vrste dokumenata o ispitivanju (uključuje dopunu A1:1995) |
| prEN ISO 17660 | Zavarivanje čelika za armiranje |
| HRN EN 287-1 | Provjera osposobljenosti zavarivača – Zavarivanje taljenjem – 1. dio: Čelici |
| HRN EN 719 | Koordinacija zavarivanja – Zadaci i odgovornosti |

| | |
|--------------------|--|
| HRN EN 729-3 | Zahtjevi za kakvoću zavarivanja – Zavarivanje taljenjem metalnih materijala – 3. dio: Standardni zahtjevi za kakvoću |
| HRN EN ISO 4063 | Zavarivanje i srodni postupci – Nomenklatura postupaka i referentni brojevi |
| HRN EN ISO 377 | Čelik i čelični proizvodi – Položaj i priprema uzoraka i ispitnih uzoraka za mehanička ispitivanja |
| HRN EN 10002-1 | Metalni materijali – Vlačni pokus – 1. dio: Metoda ispitivanja (pri sobnoj temperaturi) |
| HRN EN ISO 15630-1 | Čelik za armiranje i prednapinjanje betona – Ispitne metode – 1. dio: Armaturene šipke i žice |
| HRN EN ISO 15630-2 | Čelik za armiranje i prednapinjanje betona – Ispitne metode – 2. dio: Zavarene mreže |

Tablica 2.12. Ostale norme

| | |
|--------------|--|
| ENV 1992-1-1 | Eurokod 2 – Projektiranje betonskih konstrukcija – 1. dio: Opća pravila i pravila za zgrade |
| ENV 1992-1-2 | Eurokod 2 – Projektiranje betonskih konstrukcija – 1-2 dio: Opća pravila – Projektiranje konstrukcije na požar |

Ovlaštene organizacije i institucije za atestiranje su na listi u Glasniku Zavoda kojeg izdaje Državni zavod za normizaciju i graditeljstvo. Izvoditelj je dužan osiguravati dokaze o svojstvima ugrađenih građevnih proizvoda u odnosu na njihove bitne značajke, dokaze o sukladnosti ugrađene opreme i/ilipostrojenja prema posebnom zakonu, isprave o sukladnosti određenih dijelova građevine temeljnim zahtjevima za građevinu, kao i dokaze kvalitete (rezultati ispitivanja, zapisi o provedenim procedurama kontrole kvalitete i dr.) za koje je obveza prikupljanja tijekom izvođenja građevinskih idrugih radova za sve izvedene dijelove građevine i za radove koji su u tijeku (članak 135. Zakona o gradnji 153/13, 20/17, 39/19,125/19).

Nadzorni inženjer dužan je odrediti provedbu kontrolnih ispitivanja određenih dijelova građevine u svrhu provjere, odnosno dokazivanja ispunjavanja temeljnih zahtjeva za građevinu i/ili drugih zahtjeva, odnosno uvjeta predviđenih glavnim projektom ili izvješćem o obavljenoj kontroli projekta iobveze provjere u pogledu građevnih proizvod (članak 58. Zakona o gradnji

153/13, 20/17, 39/19,125/19). Nadzorni inženjer dužan je da za tehnički pregled priredi završno izvješće o izvedbi građevine (članak 58. Zakona o gradnji 153/13, 20/17, 39/19,125/19).

3. POSEBNI TEHNIČKI UVJETI

3.1. OPLATA I SKELE

Skele i oplata moraju imati takvu sigurnost i krutost da bez slijeganja i štetnih deformacija mogu primiti opterećenja i utjecaje koji nastaju tijekom izvedbe radova. Skela i oplata moraju biti izvedeni tako da se osigurava puna sigurnost radnika i sredstava rada kao i sigurnost prolaznika, prometa, susjednih objekata i okoline uopće. Materijali za izradu skela i oplata moraju biti propisane kvalitete. Nadzorni inženjer treba odobriti oplatu prije početka betoniranja.

Kod izrade projekta oplata mora se uzeti u obzir kompaktiranje pomoću vibratora na oplati tamo gdje je to potrebno. Oplata mora sadržavati sve otvore i detalje prikazane u nacrtima, odnosno tražene od nadzornog inženjera. Oplata odnosno skela treba osigurati da se beton ne onečisti. Obje moraju biti dovoljno čvrste i krute da odole pritiscima kod ugradnje i vibriranja i da spriječe ispušćenja. Nadzorni inženjer će, tamo gdje mu se čini potrebno, tražiti proračunski dokaz stabilnosti i progibanja.

Nadvišenja oplata dokazuju se računski i geodetski se provjeravaju prije betoniranja. Oplata mora biti toliko vodotijesna da spriječi istjecanje cementnog mlijeka. Ukoliko se za učvršćenje oplata rabe metalne šipke od kojih dio ostaje ugrađen u betonu, kraj stalno ugrađenog dijela ne smije biti bliži površini od 5 cm. Šupljina koja ostaje nakon uklanjanja šipke mora se dobro ispuniti, naročito ako se radi o plohamo koje će biti izložene protjecanju vode. Ovakav način učvršćenja ne smije se upotrijebiti za vidljive plohe betona. Žičane spojnice za pridržavanje oplata ne smiju prolaziti kroz vanjske plohe gdje bi bile vidljive. Radne reške moraju biti, gdje god je moguće, horizontalne ili vertikalne i moraju biti na istoj visini zadržavajući kontinuitet. Pristup oplati i skeli radi čišćenja, kontrole i preuzimanja, mora biti osiguran. Oplata mora biti tako izrađena, naročito za nosače i konstrukcije izložene protjecanju vode, da se skidanje može obaviti lako i bez oštećenja rubova i površine. Površina oplata mora biti očišćena od inkrustacija i sveg materijala koji bi mogao štetno djelovati na izložene vanjske plohe. Kad se oplata premazuje uljem, mora se spriječiti prljanje betona i armature. Oplata, ukoliko je drvena, mora prije betoniranja biti natopljena vodom na svim površinama koje će doći u dodir s betonom i zaštićena od prljanja za beton premazom vapnom.

Skidanje oplata se mora izvršiti čim je to provedivo, naročito tamo gdje oplata ne dozvoljava polijevanje betona, ali nakon što je beton dovoljno očvrstnuo. Svi popravci betona trebaju se izvršiti napredviđen način i to što je prije moguće.

Oplata se mora skidati prema određenom redosljedu, pažljivo i stručno, da se izbjegnu oštećenja. Moraju se poduzeti mjere predostrožnosti za slučaj neplaniranog kolapsa. Nadzorni inženjer će odrediti kad se mora, odnosno može, skidati oplata. Sve skele (za oplatu, pomoćne i fasadne) morajuse izvesti od zdravoga drva ili čeličnih cijevi potrebnih dimenzija.

Sve skele moraju biti stabilne, ukružene dijagonalno u poprečnom i uzdužnom smislu, te solidno vezane sponama i kliještima. Mosnice i ograde trebaju biti također dovoljno ukružene. Skelama treba dati nadvišenje koje se određuje iskustveno u ovisnosti o građevini ili proračunski. Ako to traži nadzorni inženjer, vanjska skela, s vanjske strane, treba biti prekrivena tršćanim ili lanenim pletivom kako bi se uz općenitu zaštitu osigurala i kvalitetnija izvedba i zaštita fasadnog lica. Skele moraju biti izrađene prema pravilima struke i propisima Pravilnika o higijenskim i tehničkim zaštitnim mjerama u građevinarstvu. Nadzorni inženjer mora zabraniti izradu i primjenu oplata i skela koje prema njegovom mišljenju ne bi mogle osigurati traženu kvalitetu lica gotovog betona ili su neprihvatljive kvalitete ili sigurnosti. Prijem gotove skele ili oplate vrši se vizualno, geodetskom kontrolom i ostalom izmjerom. Pregled i prijem gotove skele, oplate i armature vrši nadzorni inženjer. Bez obzira na odobrenu primjenu skela, oplate i armature, izvođač snosi punu odgovornost za sigurnost i kvalitetu radova.

3.2. TRANSPORT I UGRADNJA BETONA

S betoniranjem se može početi samo na osnovi pismene potvrde o preuzimanju podloge, skele, oplate i armature te po odobrenju programa betoniranja od nadzornog inženjera. Beton se mora ugrađivati prema unaprijed izrađenom programu i izabranom sistemu. Vrijeme transporta i drugih manipulacija sa svježim betonom ne smije biti duže od onog koje je utvrđeno u toku prethodnih ispitivanja (promjena konzistencije s vremenom pri raznim temperaturama).

Transportna sredstva ne smiju izazivati segregaciju smjese betona.

U slučaju transporta betona auto-miješalicama, poslije pražnjenja auto-miješalice treba oprati bubanj, a prije punjenja treba provjeriti je li ispražnjena sva voda iz bubnja.

Zabranjeno je korigiranje sadržaja vode u gotovom svježem betonu bez prisustva tehnologa za beton. Dozvoljena visina slobodnog pada betona je 1,5 m. Nije dozvoljeno transportiranje betona po kosinama.

Transportna sredstva se ne smiju oslanjati na oplatu ili armaturu kako ne bi dovela u pitanje njihov projektirani položaj. Svaki započeti betonski odsjek, konstruktivni dio ili

element objekta mora biti neprekidno izbetoniran u opsegu, koji je predviđen programom betoniranja, bez obzira na radno vrijeme, brze vremenske promjene ili isključenja pojedinih uređaja mehanizacije pogona. Ako dođe do neizbježnog, nepredvidljivog prekida rada, betoniranje mora biti završeno tako da se na mjestu prekida može izraditi konstruktivno i tehnološki odgovarajući radni spoj. Izrada takvog radnog spojamoguća je samo uz odobrenje nadzornog inženjera.

Svježi beton mora se ugrađivati vibriranjem u slojevima čija debljina ne smije biti veća od 70 cm. Slojbetona koji se ugrađuje mora vibriranjem biti dobro spojen s prethodnim donjim slojem betona. Ako dođe do prekida betoniranja, prije betoniranja površina donjeg sloja betona mora biti dobro očišćena ispuhivanjem i ispiranjem, a po potrebi i pjeskarenjem.

Beton treba ubaciti što bliže njegovom konačnom položaju u konstrukciji da bi se izbjegla segregacija. Smije se vibrirati samo oplatom ukliješten beton. Nije dozvoljeno transportiranje betonapomoću pervibratora. Ugrađeni beton ne smije imati temperaturu veću od 45 °C u periodu od 3 dananakon ugradnje.

3.3. BETONIRANJE PRI VISOKIM TEMPERATURAMA

Niska početna temperatura svježeg betona ima višestruko povoljan utjecaj na poboljšanje uvjeta za betoniranje masivnih konstrukcija. Stoga je sniženje temperature svježeg betona i održavanje iste u propisanim granicama od posebnog značaja. Za održavanje temperature svježeg betona unutar dopuštenih 25 °C, neophodno je poduzeti sljedeće mjere: krupne frakcije agregata hladiti raspršivanjem vode po površini deponije, što se ne preporuča s frakcijama do 8 mm, zbog poteškoća održavanjem konzistencije betona, deponije pijeska zaštititi nadstrešnicama, silose za cement, rezervoare, miješalicu, cijevi itd. zaštititi od sunca bojenjem u bijelo.

Ukoliko ovi postupci hlađenja nisu dostatni, daljnje sniženje temperature može se postići hlađenjem vode u posebnim postrojenjima (coolerima). Za vrijeme visokih dnevnih temperatura (oko 30 °C), kada postoje poteškoće s održavanjem dozvoljene temperature svježeg betona, početak radova na betoniranju treba pomaknuti prema hladnijem dijelu dana (noć, jutro). Vrijeme od spravljanja betonado ugradnje treba biti što kraće, kako bi se izbjegli problemi pri pražnjenju transportnih sredstava i ugradnji zbog smanjenja obradivosti.

Ugrađivanje se mora odvijati brzo i bez zastoja. Redosljed betoniranja mora omogućiti povezivanje novog betona s prethodnim. U uvjetima vrućeg vremena najpogodnije je njegovanje vodom.

Njegovanje treba početi čim beton počne očvršćivati. Ako je intenzitet isparavanja blizu kritične granice, površina se može finim raspršivanjem vode održavati vlažnom, bez opasnosti od ispiranja. Čelične oplata treba rashlađivati vodom, a podloga prije betoniranja mora biti dobro nakvašena.

Ukoliko se u svježem betonu pojave pukotine, treba ih zatvoriti revibriranjem. Voda koja se upotrebljava za njegovanje ne smije biti mnogo hladnija od betona, kako razlike između temperature betona na površini i unutar jezgre ne bi prouzročile pojavu pukotina. Stoga je efikasan način njegovanja pokrivanje betona materijalima koji vodu upijaju i zadržavaju (juta, spužvasti materijal i sl.) te dodatno prekrivanje plastičnom folijom.

Prekrivanje povoljno djeluje i na utjecaj razlika temperatura noć - dan.

3.4. BETONIRANJE PRI NISKIM VANJSKIM TEMPERATURAMA

Betoniranje pri temperaturama nižim od +5 °C moguće je uz pridržavanje mjera za zimsko betoniranje.

Upotreba smrznutog agregata u mješavini nije dozvoljena, a zagrijavanje pijeska parom nije preporučljivo zbog poteškoća s održavanjem konzistencije betona. Pri ugradnji svježih beton mora imati minimalnu temperaturu od +6 °C, koja se na nižim temperaturama zraka ($0 < t < +5$ °C) može postići samo zagrijavanjem vode, pri čemu temperatura mješavine agregata i vode prije dodavanja cementa ne smije prijeći +25 °C. Temperatura svježeg betona u zimskom periodu na mjestu ugradnjemora biti od +6 °C do +15 °C.

Da bi se omogućio normalni tok procesa stvrdnjavanja i spriječilo smrzavanje, odmah poslije ugradnje, beton se toplinski zaštićuje prekrivanjem otvorenih površina izolacijskim materijalima i izolacijom čeličnih oplata. Toplinska izolacija betona mora biti takva da osigura postizanje najmanje 50 % projektirane čvrstoće na pritisak prije nego što beton bude izložen djelovanju mraza. Pri temperaturama zraka nižim od +5 °C, temperatura svježeg betona mjeri se najmanje jedanput u toku 2h.

3.5. OBAVEZE IZVOĐAČA

Izvođač je dužan na svoj trošak otkloniti sve nedostatke koji se ukažu u dogovorenom roku. Investitor može priznati samo količine materijala koje su ugrađene. Sav neispravan ili nepropisan materijal ne smije se ugrađivati i mora se ukloniti s gradilišta. Po završetku svih radova izvođenja, treba izvršiti tehnički pregled i sastaviti zapisnik o nedostacima. Garantni rok za ispravnost ugrađenih materijala i izvršenih radova regulira se ugovorom o izvođenju radova. Za vrijeme garantnog roka izvođač je dužan da na poziv investitora

otkloni sve nedostatke koje se u toku garantnog roka pojave. Izvođač ne smije vršiti bušenja armirano betonskih konstrukcija bez prethodnog odobrenja i uputstava nadzornog organa, što treba unijeti u građevinski dnevnik. Izvođač je dužan nabaviti sve ateste za sav ugrađeni materijal. Izvođač radova je obavezan da korisniku preda upute za rukovanje ugrađenom opremom.

3.6. NAČIN ZBRINJAVANJA GRAĐEVNOG OTPADA

Način zbrinjavanja građevnog otpada mora biti u skladu s propisima o otpadu. Osnovni propisi iz tog područja su:

- Zakon o gospodarenju otpadom (NN 84/2021)
- Pravilnik o vrstama otpada (NN 27/96)
- Pravilnik o uvjetima za postupanje s otpadom (NN 123/97)

Prema zakonu o otpadu građevni otpad spada u interni otpad jer uopće ne sadrži ili sadrži malo tvari koje podliježu fizikalnoj, kemijskoj i biološkoj razgradnji pa ne ugrožavaju okoliš.

Nakon završetka radova gradilište treba očistiti od otpadaka i suvišnog materijala i okolni dio terena dovesti u prvobitno stanje. Pravilnikom o vrstama otpada određeno je da je proizvođač otpada čija se sredstva mogu iskoristiti dužan otpad razvrstavati na mjestu nastanka, odvojeno skupljati po vrstama i osigurati uvjete skladištenja za očuvanje kakvoće u svrhu ponovne obrade. Taj pravilnik predviđa slijedeće moguće postupke s otpadom:

- kemijsko-fizikalna obrada,
- biološka obrada,
- termička obrada,
- kondicioniranje otpada i
- odlaganje otpada.

Kemijsko-fizikalna obrada otpada je obrada kemijsko-fizikalnim metodama s ciljem mijenjanja njegovih kemijsko-fizikalnih, odnosno bioloških svojstava, a može biti: neutralizacija, taloženje, ekstrakcija, redukcija, oksidacija, dezinfekcija, centrifugiranje, filtracija, sedimentacija, rezervna osmoza. Biološka obrada je obrada biološkim metodama s ciljem mijenjanja kemijskih, fizikalnih, odnosno bioloških svojstava, a može biti: aerobna i anaerobna razgradnja.

Termička obrada je obrada termičkim postupkom. Provodi se s ciljem mijenjanja

kemijskih, fizikalnih, odnosno bioloških svojstava, a može biti: spaljivanje, piroliza, isparavanje, destilacija, sinteriranje, žarenje, taljenje, zataljivanje u staklo. Kondicioniranje otpada je priprema za određen način obrade ili odlaganja, a može biti: usitnjavanje, ovlaživanje, pakiranje, odvodnjavanje, oprašivanje, očvršćivanje te postupci kojima se smanjuje utjecaj štetnih tvari koje sadrži otpad. S građevnim otpadom treba postupiti u skladu s Pravilnikom o uvjetima za postupanje s otpadom.

Taj pravilnik predviđa moguću termičku obradu za slijedeći otpad:

- drvo
- plastiku,
- asfalt koji sadrži katran i
- katran i proizvodi koji sadrže katran.

Kondicioniranjem se može obraditi slijedeći otpad:

- građevinski materijali na bazi azbesta,
- asfalt koji sadrži katran,
- asfalt (bez katrana)
- katran i proizvodi koji sadrže katran
- izolacijski materijal koji sadrži azbest i miješani građevni otpad i otpad od rušenja.

Najveći dio građevnog otpada (prethodno obrađen ili neobrađen) može se odvesti u najbliže javno odlagalište otpada: beton, cigle, pločice i keramika, građevinski materijali na bazi gipsa, drvo, staklo, plastika, bakar, bronca, mjed, aluminij, olovo, cink, željezo i čelik, kositar, miješani materijali, kablovi, zemlja i kamenje i ostali izolacijski materijali. Nakon završetka radova gradilište treba očistiti od otpada i suvišnog materijala, postupiti prema iznesenom, a okolni dio terena dovesti u prvobitno stanje.

4. ANALIZA OPTEREĆENJA

4.1 PODACI O DJELOVANJIMA NA KONSTRUKCIJU

Tablica 4.1. Osnovna opterećenja uzeta u proračunskom modelu

| Oznaka osnovnog djelovanja | Opis djelovanja |
|----------------------------|---|
| G | <p>Stalno djelovanje. Djelovanje je podijeljeno na:</p> <p>G0 = Vlastita težina elemenata nosive konstrukcije (zidovi, ploče, grede, stupovi, stubišta)</p> <p>G1 = Ostalo stalno djelovanje: obloga (podovi), stalna oprema, itd. nanosi se kao dodatno opterećenje (plošno, linijsko ili koncentrirano) na proračunske modele.</p> |
| Q1 | Promjenjiva djelovanja: uporabno opterećenje, pokretna oprema i sl. |
| W | Vjetar. Djelovanje u smjeru globalne osi W_x i W_y |
| S | <p>Potres:</p> <p>S_x- djelovanje u smjeru globalne osi X S_y - djelovanje u smjeru globalne osi Y T_x,T_y - uvrtnje (slučajni ekscentricitet)</p> |

4.1.1. STALNO DJELOVANJE

Vlastita težina elementa konstrukcije

Stalno opterećenje uključeno je u proračun prema slijedećem:

-Specifična težina armiranog betona od $\gamma=25.0 \text{ kN/m}^3$

Stalno opterećenje od vlastite težine elemenata ab konstrukcije zadaje se izravno u proračunskom modelu, sukladno dimenzijama poprečnih presjeka.

Ostala stalna djelovanja

Ravni prohodni i neprohodni krov sa laganim betonom:

| | | |
|---|------------------------|--|
| završna obrada | 0.70 kN/m ² | |
| hidroizolacija, toplinska izolacija, folije | | 0.20 kN/m ² |
| armirani plivajući cementni estrih | | 0.90 kN/m ² |
| laki beton ($\rho \leq 300 \text{ kg/m}^3$) u padu, 3-10 cm | | 0.20 kN/m ² |
| AB ploča – uključeno u računalnom programu | | - |
| <u>glet masa, instalacije, ostalo stalno opterećenje</u> | | <u>0.10 kN/m²</u> |
| Gdod = dodatno stalno djelovanje | | g_{dod} = 2.10 kN/m² |

Međukatne ab konstrukcije:

| | | |
|--|------------------------|--|
| slojevi poda | 2.20 kN/m ² | |
| AB ploča – uključeno u računalnom programu | | - |
| <u>glet masa, instalacije, ostalo stalno opterećenje</u> | | <u>0.30 kN/m²</u> |
| Gdod = dodatno stalno djelovanje | | g_{dod} = 2.50 kN/m² |

Stubište:

| | | |
|--|------------------------------|--|
| završna obrada | 1.30 kN/m ² | |
| AB ploča – uključeno u računalnom programu | | - |
| <u>žbuka</u> | <u>0.30 kN/m²</u> | |
| Gdod = dodatno stalno djelovanje | | g_{dod} = 1.60 kN/m² |

4.1.2. PROMJENJIVO DJELOVANJE

Minimalno korisno opterećenje za zgrade definirano je u EC1991-1-1. Ovo korisno (pokretno) opterećenje je najmanje koje se smije primijeniti na zgradama. Na zahtjev investitora ili pri procjeni projektanta smije se koristiti i veće opterećenje. Za potrebe proračuna, a prema EC1991-1-1 korištena su opterećenja u Tablici 4.1.

Tablica 4.2 Korisna opterećenja

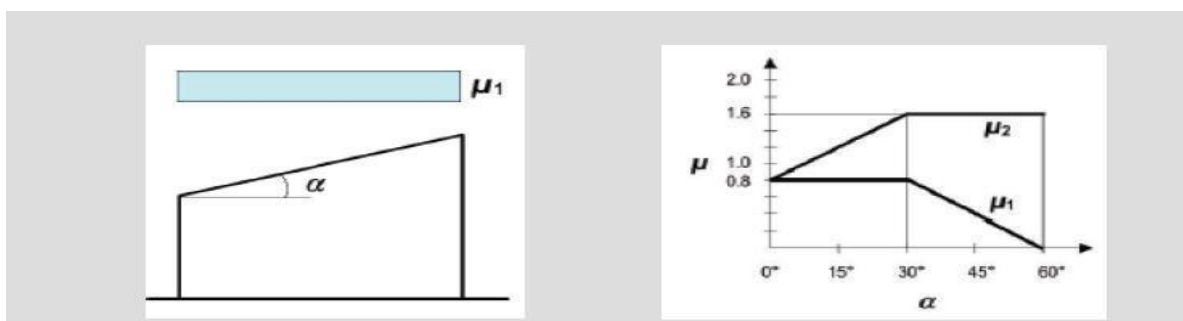
| | |
|---|--------------------------|
| Q1 – neprohodni krovovi | q1=1.0 kN/m ² |
| Q2 – prohodni krovovi | q2=4.0 kN/m ² |
| Q3 – stanovi | q3=2.0 kN/m ² |
| Q4 – stubište | q4=3.0 kN/m ² |
| Q5 – parking | q5=5.0 kN/m ² |
| Q6 – Područja bez prepreka za kretanje ljudi, npr. prostori u muzejima, izložbene sobe itd. i pristupni prostori u javnim i upravnim zgradama, hotelima, bolnicama, predvorjima željezničkih postaja. | Q6=7.0 kN/m ² |

4.1.3. OPTEREĆENJE SNIJEGOM

Opterećenje snijegom je Eurokodom 1991-1-3, te se za stalne i prolazne situacije definira se izrazom:

$$s = \mu_1 \cdot C_e \cdot C_t \cdot s_k$$

- μ_1 - koef. oblika za opterećenje snijegom-RAVNI I JEDNOSTREŠNI KROV-nagib krova
→ $\alpha = 5^\circ$

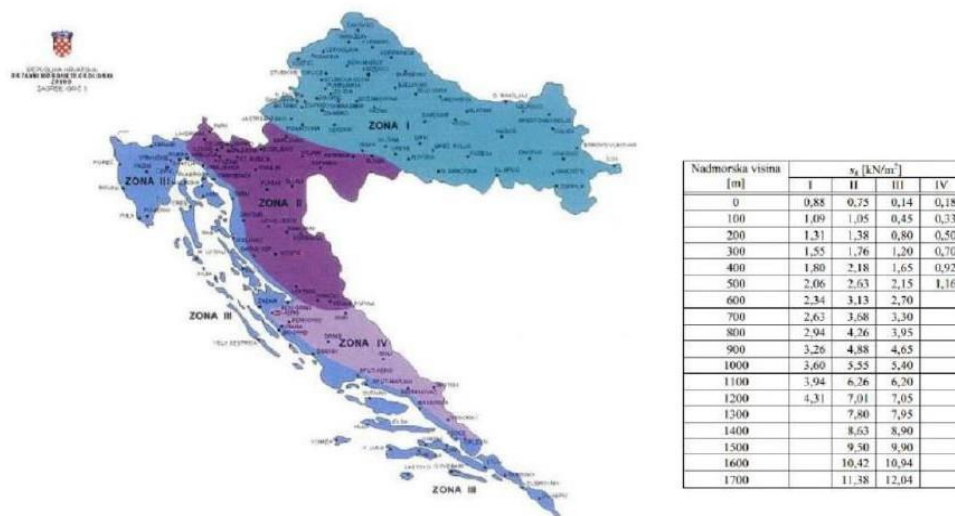


| Kut nagiba krova α | $0^\circ \leq \alpha \leq 30^\circ$ | $30^\circ < \alpha < 60^\circ$ | $\alpha \geq 60^\circ$ |
|---------------------------|-------------------------------------|--------------------------------|------------------------|
| μ_1 | 0,8 | $0,8 (60 - \alpha) / 30$ | 0,0 |
| μ_2 | $0,8 + 0,8 \alpha / 30$ | 1,6 | – |

4.1 Očitavanje koeficijenta oblika

s_k - karakteristična vrijednost opterećenja na tlu u $[kN/m^2]$

⇒zona Makarska, područje 3. (priobalje i otoci), nadmorska visina do 100 m



4.2. Karta karakterističnih vrijednosti opterećenja snijegom obzirom na područje

- C_e - koef. izloženosti → $C_e = 1.0$

- C_t - toplinski koef. → $C_t = 1.0$

⇒ $s = 0.8 \cdot 1.0 \cdot 1.0 \cdot 0.45 = 0.36 [kN/m^2]$

Napomena: Opterećenje krova snijegom uzeto je u obzir u sklopu pokretnog opterećenja na krovu (snijeg+ vjetar) u iznosu od $1.0 kN/m^2$.

4.1.4. OPTEREĆENJE VJETROM

Opterećenje vjetrom je promjenjivo slobodno djelovanje. Pojednostavljeni postupak vjetrovog opterećenja može se koristiti za zgrade visine manje od 200 m te se djelovanje vjetra uzima kao zamjenjujuće statičko opterećenje. U nastavku je prikazan pojednostavljen proračun. Opterećenje vjetrom definirano je Eurokodom 1991-1-4 – Djelovanje vjetra (Eurocode 1: Actions on structures - General actions - Part 1-4: Wind actions).

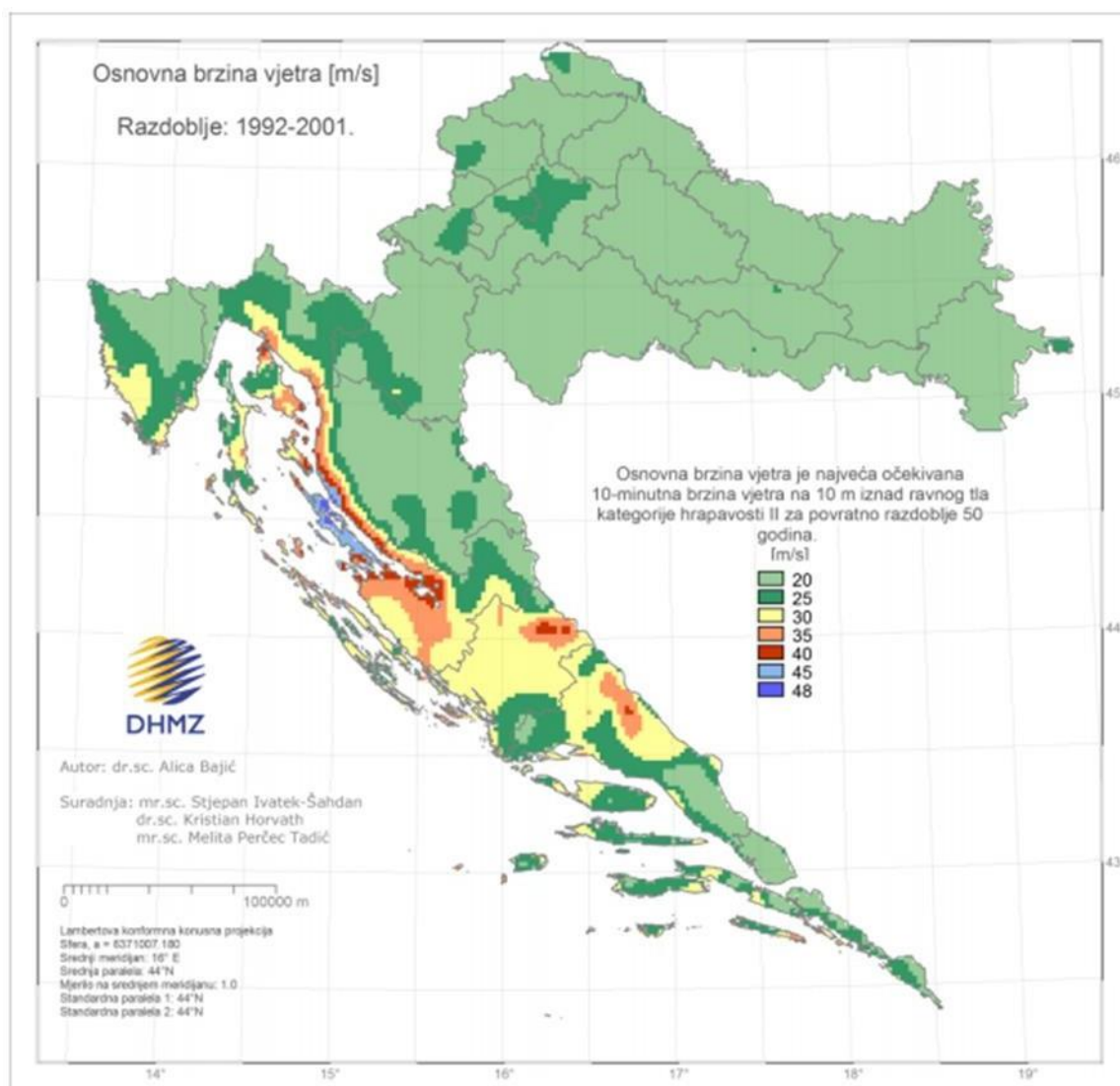
$v_{b,0}$ (ili $v_{ref,0}$ - u prednormi) je osnovna poredbena brzina vjetra ovisna o geografskom položaju objekta (dana na mapi na sljedećoj stranici). Osnovna poredbena vrijednost brzine vjetra je karakteristična srednja 10 - minutna vrijednost brzine vjetra, neovisna o smjeru vjetra, vremenu i godišnjem dobu, na 10 m iznad površine otvorenog terena, koji može biti obrastao travom i grmljem i manjim preprekama. Vrijednost osnovne poredbene brzine vjetra $v_{b,0}$ (na mapi) dodatno se korigira s obzirom na smjer vjetra, godišnje doba i nadmorsku visinu, te se tako dobiva poredbena (referentna) brzina vjetra:

$$v_b = c_{DIR} \cdot c_{TEM} \cdot c_{ALT} \cdot v_{b,0}$$

Koeficijent smjera vjetra (c_{DIR}) proizlazi iz odnosa brzine vjetra za različiti smjer vjetra i uzima se za cijelo područje Hrvatske $c_{DIR} = 1.0$.

Koeficijent godišnjeg doba (c_{TEM}) uzima se za cijelo područje Hrvatske $c_{TEM} = 1.0$. Koeficijent nadmorske visine (c_{ALT}) koji obuhvaća povećanje brzine vjetra s nadmorskomvisinom, zbog ograničenog broja mjernih mjesta na planinskom području Republike Hrvatskenije moguće egzaktno odrediti, te se koristi izraz: $c_{ALT} = 1 + 0.0001 \cdot a_s$,

gdje je a_s = nadmorska visina mjesta u (m).



4.3 Karta osnovne brzine vjetra za RH

Srednja brzina vjetra na nekoj visini z :

$$v_m(z) = c_r(z) \cdot c_0(z) \cdot v_b$$

$c_r(z)$ – koeficijent hrapavosti

$$c_r(z) = k_r \cdot \ln\left(\frac{z}{z_0}\right) \quad \text{za } z_{\min} \leq z \leq z_{\max}$$

$$c_r(z) = [c_r \cdot (z_{\min})] \quad \text{za } z \leq z_{\min}$$

$$k_r = 0.19 \cdot \left(\frac{z_0}{z_{0,II}}\right)^{0.07} - \text{koeficijent terena (Tablica 4.3.)}$$

$c_0(z)$ – koeficijent topografije, uglavnom se uzima 1.0

| Kategorija terena | Opis | K_r | z_0 [m] | z_{\min} [m] |
|-------------------|---|-------|-----------|----------------|
| 0 | More ili područje uz more otvoreno prema moru | 0.156 | 0.003 | 1 |
| I | Uzburkano otvoreno more ili jezero, s najmanje 5 km dužine navjetrine i gladak ravan teren bez prepreka | 0.170 | 0.01 | 1 |
| II | Poljoprivredno zemljište s ogradama, povremenim malim poljoprivrednim objektima, kućama ili drvećem | 0.190 | 0.05 | 2 |
| III | Predgrađa ili industrijske zone i stalne šume | 0.215 | 0.30 | 5 |
| IV | Urbane zone u kojima je najmanje 15% površine pokriveno zgradama čija je srednja visina veća od 15 m | 0.234 | 1.00 | 10 |

4.4 Koeficijent terena (k_r) s obzirom na kategoriju zemljišta

Maksimalna visina z_{\max} se obično uzima 200 m.

Intezitet turbulencije vjetra na visini z iznad terena dana je izrazom:

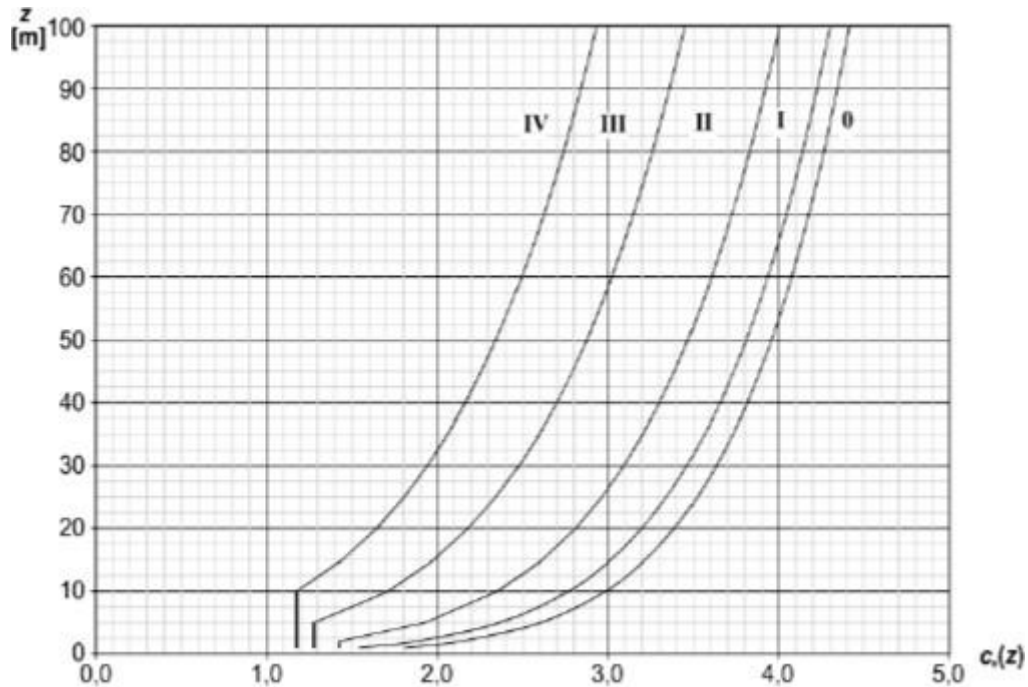
$$I_v(z) = \frac{k_1}{c_0(z) \cdot \ln\left(\frac{z}{z_0}\right)}, \quad k_1 - \text{faktor turbulencije } (k_1 = 1.0)$$

Maksimalni pritisak brzine vjetra:

$$q_p(z) = C_e(z) \cdot q_b = (1 + 7 \cdot I_v(z)) \cdot \frac{1}{2} \cdot \rho_{zr} \cdot v_m^2(z)$$

$$\rho_{zr} = 1.25 \text{ [kg/m}^3\text{]}$$

Faktor izloženosti $c_e(z)$ također se može očitati sa dijagrama u ovisnosti kategorije terena i visine objekta iznad terena.



4.5 Dijagram ovisnosti kategorije terena i visine objekta iznad terena

Rezultirajući pritisak vjetra:

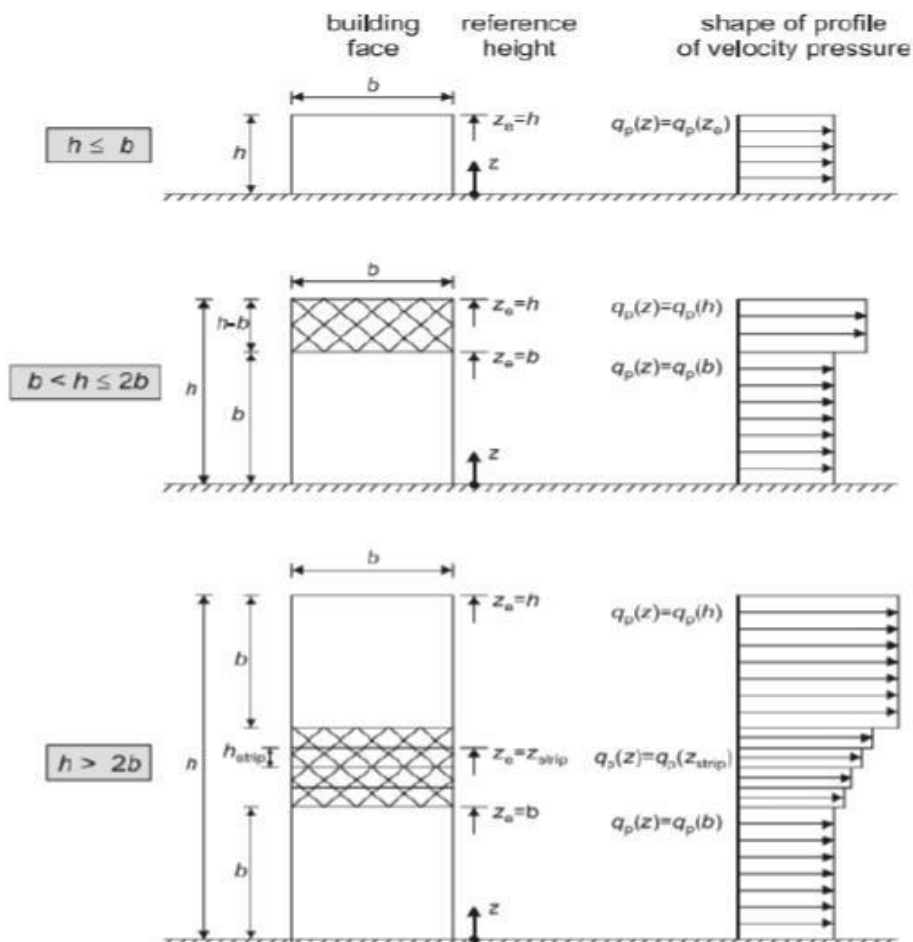
$$w_e = q_p(z_e) \cdot c_{pe} \quad - \text{pritisak vjetra na vanjske plohe};$$

c_{pe} – koeficijent vanjskog tlaka

$$w_i = q_p(z_e) \cdot c_{pi} \quad - \text{pritisak vjetra na unutarnje plohe};$$

c_{pi} – koeficijent unutarnjeg tlaka

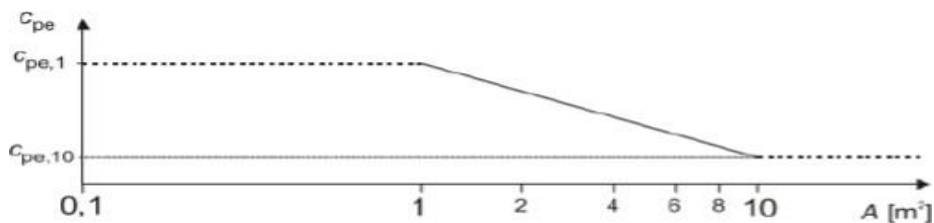
z_e – referentna visina objekta (pri izračunu $q_p(z_e)$, za z koristit z_e)



4.6 Referentna visina z_e u ovisnosti o h i b , te odgovarajući profil brzina

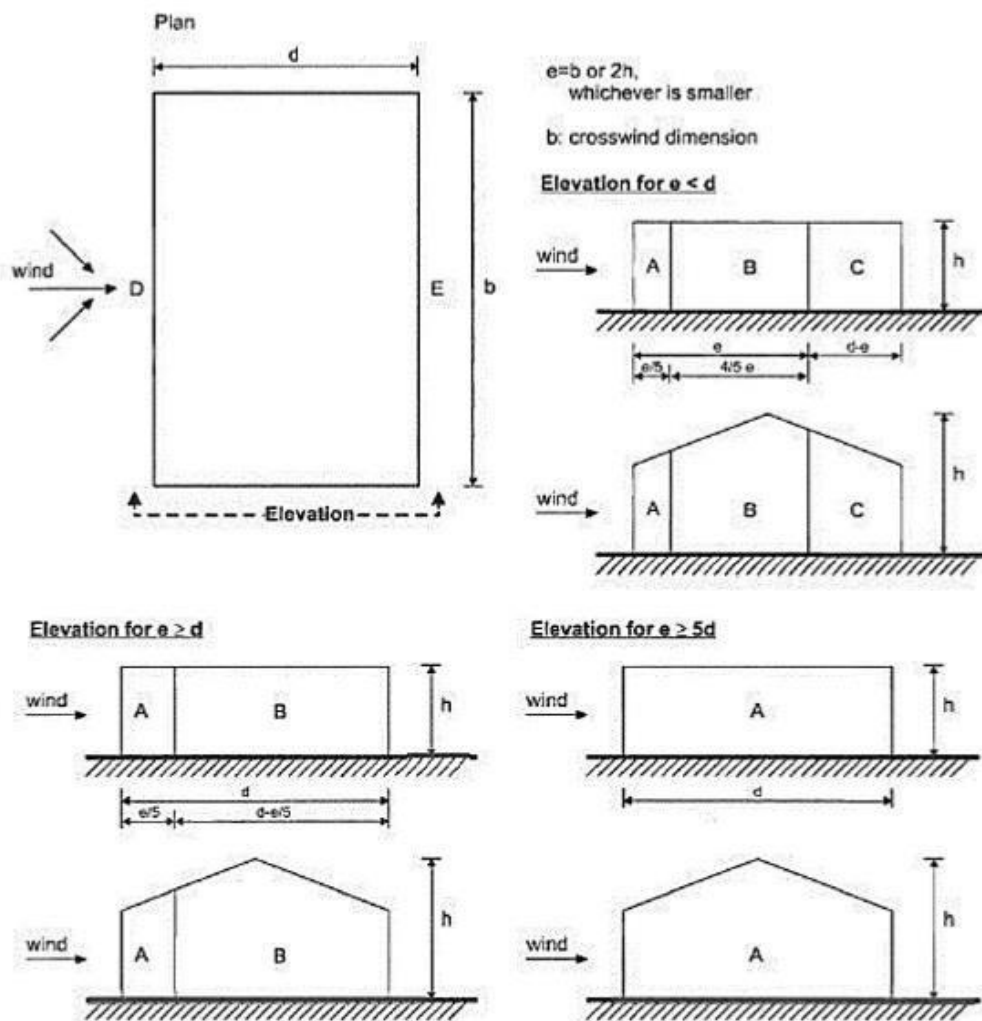
Određivanje koeficijenta vanjskog pritiska c_{pe} :

Rezultirajuća sila vjetra, tj. koeficijent rezultirajuće sile c_{pe} , ovisi i o površini na koju vjetar djeluje. Primjenjuje se sljedeći graf:



Ako je površina na koju vjetar djeluje manja od 10 m^2 , uzima se $c_{pe,1}$, a ako je veća od 10 m^2 , uzima se $c_{pe,10}$.

- Vertikalni zidovi



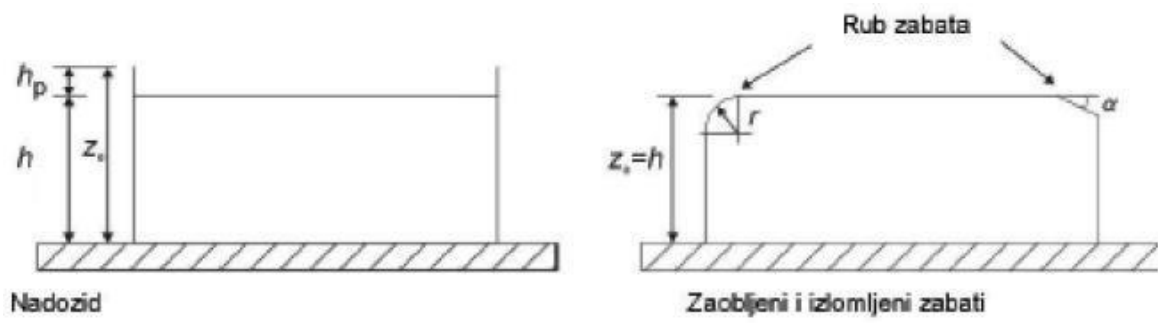
4.7 Podjela na zone A, B, C, D i E u ovisnosti o e i d

Tablica 4.3. Preporučene vrijednosti koeficijenta vanjskog pritiska na vertikalne zidove

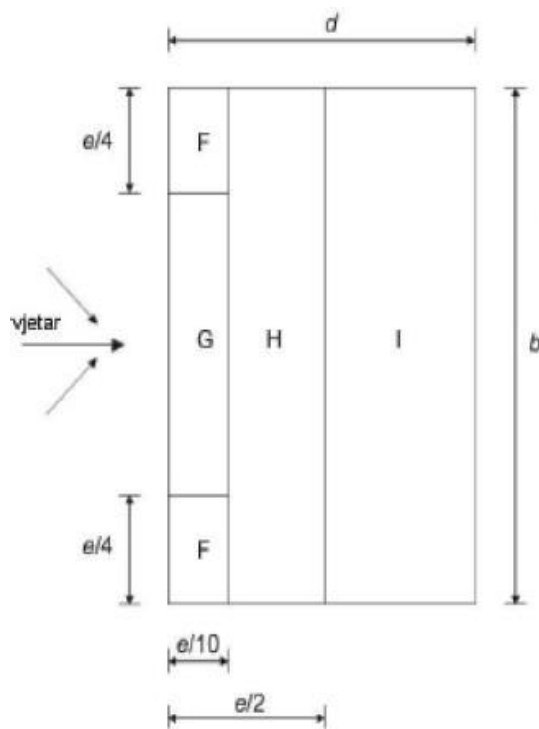
| Područje | A | | B | | C | | D | | E | |
|-------------|-------------|------------|-------------|------------|-------------|------------|-------------|------------|-------------|------------|
| | $c_{pe,10}$ | $c_{pe,1}$ | $c_{pe,10}$ | $c_{pe,1}$ | $c_{pe,10}$ | $c_{pe,1}$ | $c_{pe,10}$ | $c_{pe,1}$ | $c_{pe,10}$ | $c_{pe,1}$ |
| ≥ 5 | -1,4 | -1,7 | -0,8 | -1,1 | -0,5 | -0,7 | +0,8 | +1,0 | -0,5 | -0,7 |
| 1 | -1,2 | -1,4 | -0,8 | -1,1 | -0,5 | | +0,8 | +1,0 | -0,5 | |
| $\leq 0,25$ | -1,2 | -1,4 | -0,8 | -1,1 | -0,5 | | +0,7 | +1,0 | -0,3 | -0,5 |

NAPOMENA: Za pojedinačne zgrade na otvorenome terenu u područjima u zavjetrini mogu nastupiti i veće sile.
 Međuvrijednosti se smiju linearno interpolirati.
 Za zgrade čiji je omjer $h/d > 5$, ukupno opterećenje vjetrom smije se temeljiti na odredbama iz točaka od 7.6 do 7.8 i 7.9.2.

- Ravni krov



4.8 Način izvedbe ravnog krova



$e = b$ ili $2 \cdot h \rightarrow$ odabire se manja vrijednost
 b - dimenzija okomito na vjetar

4.9 Prikaz područja vjetra za ravni krov

Tablica 4.4. Vrijednosti koeficijenta vanjskog pritiska za područja ravnog krova

| Vrsta krova | | Područje | | | | | | | |
|-------------------|---------------------|-------------|------------|-------------|------------|-------------|------------|-------------|------------|
| | | F | | G | | H | | I | |
| | | $c_{pe,10}$ | $c_{pe,1}$ | $c_{pe,10}$ | $c_{pe,1}$ | $c_{pe,10}$ | $c_{pe,1}$ | $c_{pe,10}$ | $c_{pe,1}$ |
| Oštri zabati | | -1,8 | -2,5 | -1,2 | -2,0 | -0,7 | -1,2 | +0,2 | -0,2 |
| S nadozidima | $h_p/h = 0,025$ | -1,8 | -2,2 | -1,1 | -1,8 | -0,7 | -1,2 | +0,2 | -0,2 |
| | $h_p/h = 0,05$ | -1,4 | -2,0 | -0,9 | -1,6 | -0,7 | -1,2 | +0,2 | -0,2 |
| | $h_p/h = 0,10$ | -1,2 | -1,8 | -0,8 | -1,4 | -0,7 | -1,2 | +0,2 | -0,2 |
| Zaobljeni zabati | $r/h = 0,05$ | -1,0 | -1,5 | -1,2 | -1,8 | -0,4 | | +0,2 | -0,2 |
| | $r/h = 0,10$ | -0,7 | -1,2 | -0,8 | -1,4 | -0,3 | | +0,2 | -0,2 |
| | $r/h = 0,20$ | -0,5 | -0,8 | -0,5 | -0,8 | -0,3 | | +0,2 | -0,2 |
| Izlomljeni zabati | $\alpha = 30^\circ$ | -1,0 | -1,5 | -1,0 | -1,5 | -0,3 | | +0,2 | -0,2 |
| | $\alpha = 45^\circ$ | -1,2 | -1,8 | -1,3 | -1,9 | -0,4 | | +0,2 | -0,2 |
| | $\alpha = 60^\circ$ | -1,3 | -1,9 | -1,3 | -1,9 | -0,5 | | +0,2 | -0,2 |

NAPOMENA 1: Za krovove s nadozidima ili zaobljenim zabatima, smije se upotrebljavati linearna interpolacija za međuvrijednosti h_p/h i r/h .

NAPOMENA 2: Za krovove s izlomljenim zabatima, smije se upotrebljavati linearna interpolacija između vrijednosti za $\alpha = 30^\circ$, 45° i 60° . Za $\alpha > 60^\circ$ smije se upotrebljavati linearna interpolacija između vrijednosti za $\alpha = 60^\circ$ i vrijednosti za ravne krovove s oštrim (izlomljenim) zabatima.

NAPOMENA 3: U području I, gdje su dane i pozitivne i negativne vrijednosti, u obzir treba uzeti obje vrijednosti.

NAPOMENA 4: Za sami izlomljeni zabat, koeficijenti vanjskog tiska dani su u tablici 7.4a „Koeficijenti vanjskog tiska za dvostrešne krovove; smjer vjetra 0°“, područje F i G, ovisno o nagibu izlomljenog zabata.

NAPOMENA 5: Za sami zaobljeni zabat, koeficijent vanjskog tiska dani su linearnom interpolacijom duž krivulje, između vrijednosti na zidu i na krovu.

NAPOMENA 6: Za mansardne strehe čije su horizontalne dimenzije manje od $e/10$ treba uzeti vrijednosti za oštre strehe. Za definiciju e vidjeti sliku 7.6.

Određivanje koeficijenta unutarnjeg pritiska c_{pi} :

Maksimalni koeficijent unutarnjeg pritiska je 0.8, a minimalni koeficijent unutarnjeg pritiska (podtlak) je -0.5.

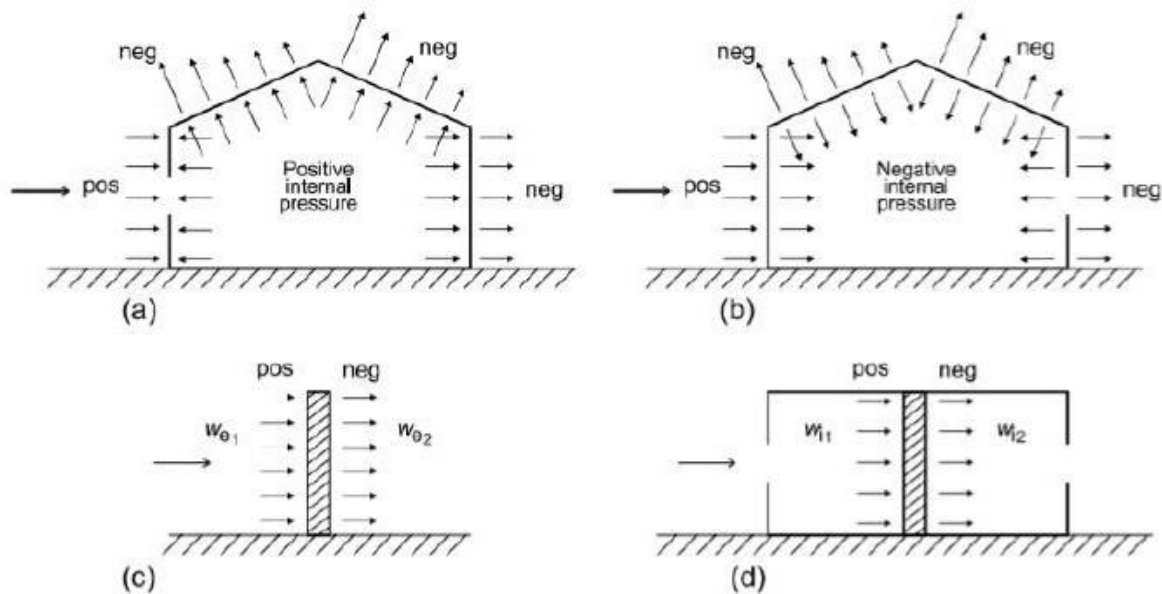
Koeficijent unutarnjeg pritiska se uzima:

$c_{pi} = 0.75 \cdot c_{pe}$ – kada je površina otvora na dominantnom zidu bar 2 puta veća od površine otvora na ostalim zidovima

$c_{pi} = 0.90 \cdot c_{pe}$ – kada je površina otvora na dominantnom zidu bar 3 puta veća od površine otvora na ostalim zidovima

Rezultirajući pritisci vjetra w_e i w_i

Rezultirajuće pritiske vjetra je potrebno rasporediti prema shemi prikazanoj na slici 4.14. Mora se uzeti u obzir da vanjski i unutarnji pritisci djeluju u isto vrijeme. Zbrajanjem odnosno oduzimanjem rezultirajuće sile vjetra dobiva se ekvivalentna sila vjetra na plohu.



4.10 Shema vanjskog i unutarnjeg pritiska

Rezultati proračuna vjetra

$$v_{b,0} = 35 \frac{m}{s} - \text{očitano za grad Makarsku}$$

$$C_{DIR} = 1.0$$

$$C_{TEM} = 1.0$$

$$C_{ALT} = 1 + 0.0001 \cdot a_s, a_s = 10 \text{ m. n. m.}$$

$$C_{ALT} = 1 + 0.0001 \cdot 10 = 1.001$$

$$v_b = C_{DIR} \cdot C_{TEM} \cdot C_{ALT} \cdot v_{b,0} = 1.0 \cdot 1.0 \cdot 1.001 \cdot 35 = 35.04 \text{ m/s}$$

Kako je zgrada veće širine od visine, mjerodavna visina joj je ukupna visina. Mjerodavna visina zgrade je 19.9 m. Mjerodavna visina je veća od minimalne (2.0 m) i manja od maksimalne (200 m), pa je:

$$c_r(z) = k_r \cdot \ln\left(\frac{z}{z_0}\right) = 0.234 \cdot \ln\left(\frac{19.9}{1}\right) = 0.70$$

Srednja brzina vjetra:

$$v_m(z) = c_r(z) \cdot c_0(z) \cdot v_b = 0.70 \cdot 1 \cdot 35.04 = 24.53 \text{ m/s}$$

Intezitet tubulencije:

$$I_v(z) = \frac{k_1}{c_0(z) \cdot \ln\left(\frac{z}{z_0}\right)} = \frac{1.0}{1.0 \cdot \ln\left(\frac{19.9}{1}\right)} = 0.334$$

Maksimalni pritisak brzine vjetra $q_p(z)$:

$$q_p(z) = C_e(z) \cdot q_b = (1+7 \cdot I_v(z)) \cdot \frac{1}{2} \cdot \rho_{zr} \cdot v_m^2(z)$$

$$q_p(z) = (1+7 \cdot 0.334) \cdot \frac{1}{2} \cdot 1.25 \cdot 24.53^2$$

$$q_p(z) = 1255.34 \text{ N/m}^2 = 1,255 \text{ kN/m}^2$$

Napomena: Sile od vjetra su manje od potresnih sila, pa je za dimenzioniranje vertikalnih nosivih elemenata mjerodavna potresna kombinacija opterećenja.

4.1.5. IZVANREDNO OPTEREĆENJE

Seizmičko opterećenje

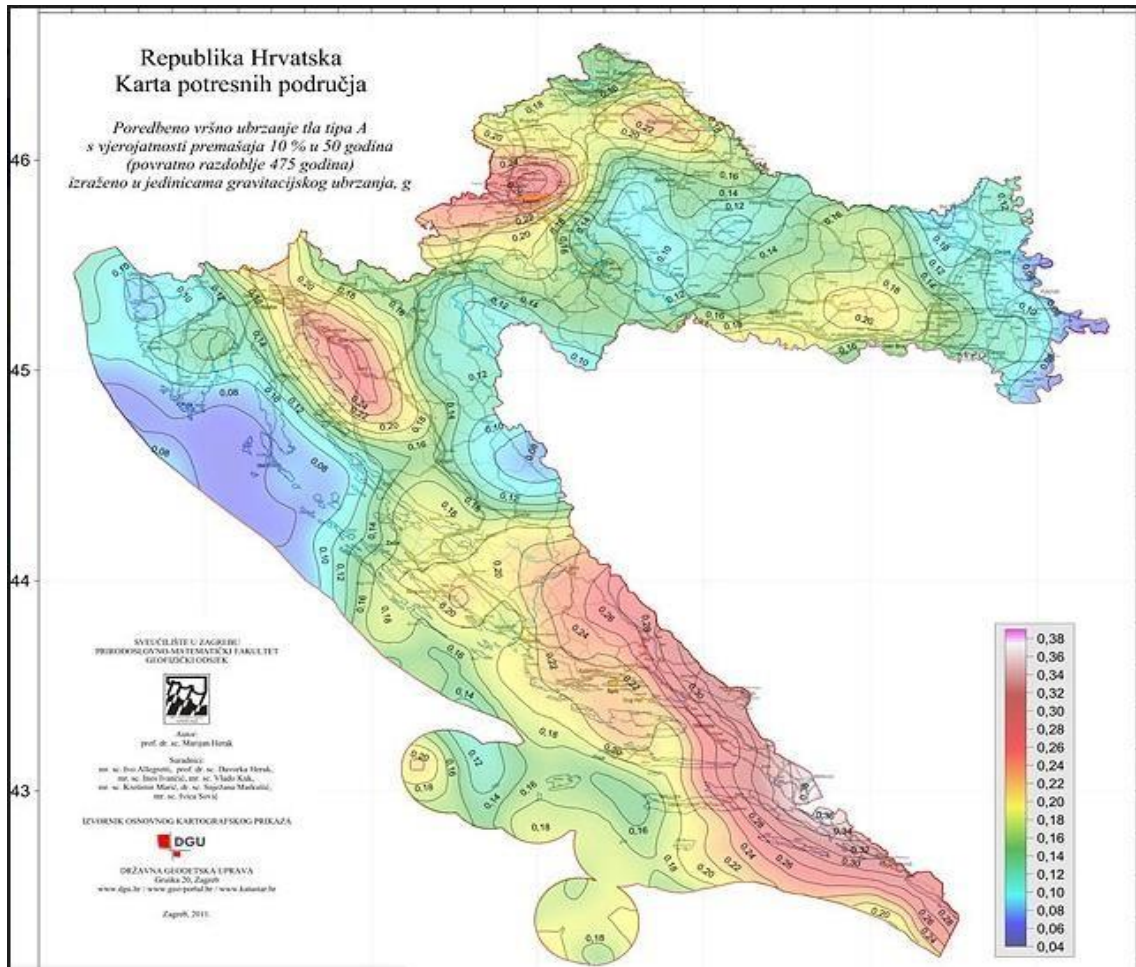
Konstrukcije se u potresnim područjima moraju projektirati i graditi tako da ispune zahtjeve da ne smije doći do rušenja i zahtjev ograničenog stanja oštećenja. Kako bi to postigli ti zahtjevi moraju se provjeriti granična stanja nosivosti i granična stanja oštećenja. Proračun potresnog opterećenja napravljen je koristeći prostorni model konstrukcije u računalnom programu Scia Engineer 22.0. Potresne sile su određene koristeći višemodalnu (spektralnu) analizu prema EC-8 sa SRSS metodom izračuna. Potresne sile uvelike ovise o unesenim parametrima kao što su *klasa tla* na kojoj će se nalaziti građevina, *proračunsko ubrzanje tla* na tom području, *duktilnost konstrukcije* itd. Neki od tih parametara direktno se unose na temelju normama definiranih vrijednosti dok se ostale vrijednosti parametara uzimaju u obzir kroz vrijednosti faktora ponašanja o kojemu će kasnije u tekstu biti riječ. Potresno djelovanje u nekoj točki na površini općenito se prikazuje elastičnim spektrom odziva. Razlikujemo dva tipa elastičnog spektra odziva o očekivanoj magnitudi površinskih poprečnih valova. Za magnitude veće od 5.5 odaberemo TIP 1, a za magnitude manje od 5.5 odaberemo TIP 2 elastičnog spektra odziva. Budući da se dio potresne energije u konstrukciji troši njenim deformiranjem ovisno o sklonosti deformiranju općenito se dopušta proračun na djelovanje sila koje su manje od onih u elastičnom spektru odziva. Da bi se izbjegao nelinearni proračun uzima se u obzir kapacitet konstrukcije trošenju energije. Taj kapacitet ovisi o duktilnosti konstrukcije tj. njenih elemenata. Duktilnije konstrukcije imaju veći kapacitet trošenja energije i smanjenja potresnog utjecaja. To smanjenje potresnih sila radi se na način da se elastični spektar odziva umanji odgovarajućim koeficijentom koji se naziva faktor ponašanja. Faktor ponašanja predstavlja omjer potresnih sila kojima bi građevina bila izložena kad bi njen odziv u cijelosti bio elastičan u odnosu na potresne sile koje bi se pojavile na promatranoj konstrukciji.

Predmetna građevina nalazi se u *Makarskoj*, koja se prema seizmičkoj rajonizaciji nalazi u području gdje je poredbeno vršno ubrzanje tla 0,28 g, te u zoni gdje je osnovna brzina vjetera 35 m/s.

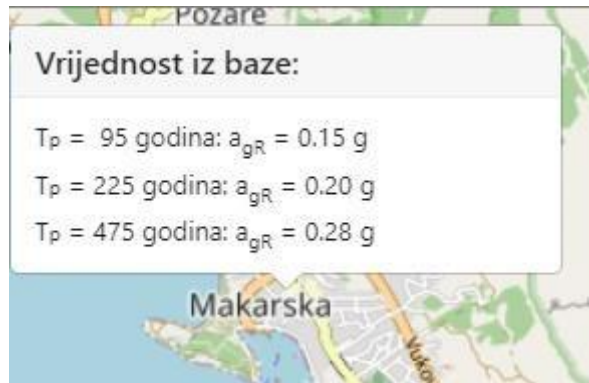
U nastavku su razrađene vrijednosti svih parametara mjerodavnih za potresni proračun koji su korišteni u analizi pomoću računalnog programa.

Vrijednosti poredbenog horizontalnog vršnog ubrzanja tla očitavaju se koristeći seizmološke karte Republike Hrvatske. Za traženo područje očita se ubrzanje tla za povratni period od 475 godina za GSN.

Za područje grada Makarske $a_{gR,GSN}=0.28 g$



4.11 Seizmička karta Republike Hrvatske



4.12 Prikaz parametara za predmetnu lokaciju

Objekt je temeljen, sukladno geotehničkom elaboratu, na čvrstom tlu klase A. Parametar kojim u proračunu uzimamo u obzir vrstu i kvalitetu tla naziva se faktor tla (S).

Tablica 4.5. Parametri elastičnog spektra ubrzanja podloge tipa I.

| Tip temeljnog tla | S | T _B [s] | T _C [s] | T _D [s] |
|-------------------|------|--------------------|--------------------|--------------------|
| A | 1.00 | 0.15 | 0.40 | 2.00 |
| B | 1.2 | 0.15 | 0.50 | 2.00 |
| C | 1.15 | 0.20 | 0.60 | 2.00 |
| D | 1.35 | 0.20 | 0.60 | 2.00 |
| E | 1.4 | 0.15 | 0.50 | 2.00 |

Kategorija tla A: $S = 1.0, T_B = 0.15, T_C = 0.40, T_D = 2.00$

Faktor ponašanja za horizontalna potresna djelovanja q ovisi o vrsti i tipu konstrukcije. Pretpostavlja se srednja klasa (DCM) duktilnog ponašanja konstrukcije te sustav povezanih zidova.

$$q = q_0 \cdot k_w \geq 1.5$$

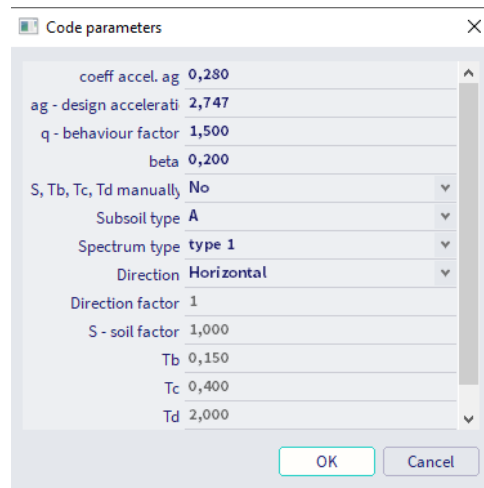
q_0 - osnovna vrijednost faktora ponašanja ovisna o tipu konstrukcijskog sustava i njegovoj pravilnosti po visini

k_w - faktor prevladavajućeg načina loma, za okvirne sustave i sustave istovrijedne okvirnim iznos 1,0

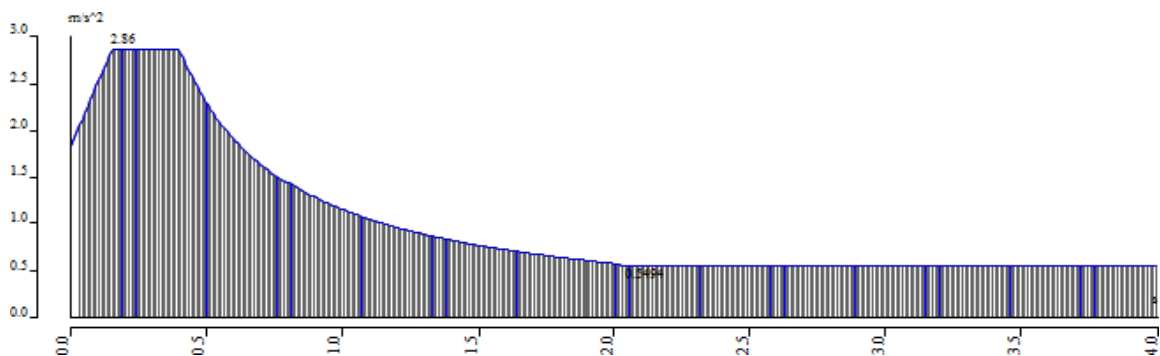
$$q_0 = 1,5 \cdot 1 = 1,5$$

Usvojeno: $q=1.5$

Odgovor konstrukcije na seizmičko djelovanje analiziran je računalnim postupkom, u programskom paketu Scia Engineer 22.0. Za potrebe proračuna na potres u model su uključene sve etaže iznad kote +/- 0.0 m.



4.13 Upotrebljeni parametri u proračunu



4.14 Normalni računski spektar odziva

Na temelju ulaznih podataka i prostornog modela konstrukcije provedena je višemodalna analiza na način da je automatski generirana ukupna masa na temelju sudjelujućih masa od stalnog (vlastita težina i dodatno stalno opterećenje) i pokretnog opterećenja (50% pokretnog opterećenja). Po provedenom proračunu dobiveni su rezultati modalne analize u vidu 123 vlastitih oblika konstrukcije, njima pripadajući periodi te ukupna sudjelujuća masa po svakom smjeru. Kao što je prikazano u rezultatima dinamičke analize naknadno u tekstu aktivirano je svih 87.5 % mase u X smjeru i 92,3 % u Y smjeru, stoga potresne sile nisu faktorizirane. Po dovršenoj modalnoj analizi napravljen je i linearni proračun za potresne kombinacije djelovanja na temelju čijih su rezultata dobivene mjerodavne sile za dimenzioniranje vertikalnih elemenata konstrukcije.

Solution of Free vibration

| | |
|----------------------------|------------------|
| Number of 2D elements | 15408 |
| Number of 1D elements | 1999 |
| Number of mesh nodes | 15821 |
| Number of equations | 94926 |
| Combination of mass groups | MC2 CM2 |
| Modification group | None |
| Number of frequencies | 123 |
| Method | Lanczos |
| Bending theory | Mindlin |
| Type of analysis model | Standard |
| Start of calculation | 25.06.2023 00:41 |
| End of calculation | 25.06.2023 00:43 |

Sum of masses

| Mass type | X [kg] | Y [kg] | Z [kg] |
|---------------|------------|------------|------------|
| 2 Moving mass | 3469520,71 | 3469520,71 | 3469520,71 |
| 2 Total mass | 3503128,31 | 3503128,31 | 3503128,31 |

Relative modal masses

| Mode | mega [rad/s] | Period [s] | Freq. [Hz] | W_{x1}/W_{xtot} | W_{y1}/W_{ytot} | W_{z1}/W_{ztot} | $N_{x1,R}/W_{xtot,R}$ | $W_{y1,R}/W_{ytot,R}$ | $N_{z1,R}/W_{ztot,R}$ |
|------|--------------|------------|------------|-------------------|-------------------|-------------------|-----------------------|-----------------------|-----------------------|
| 1 | 16.5544 | 0,38 | 2,63 | 0,1526 | 0,0024 | 0,0000 | 0,0007 | 0,0368 | 0,1516 |
| 2 | 19.6341 | 0,32 | 3,12 | 0,0011 | 0,5196 | 0,0000 | 0,0000 | 0,1854 | 0,0147 |
| 3 | 32.844 | 0,19 | 5,23 | 0,3792 | 0,0000 | 0,0000 | 0,0002 | 0,0925 | 0,2359 |
| 4 | 49.4766 | 0,13 | 7,87 | 0,0001 | 0,0000 | 0,0146 | 0,0398 | 0,0007 | 0,0001 |
| 5 | 54.6465 | 0,11 | 8,70 | 0,0420 | 0,0014 | 0,0000 | 0,0011 | 0,0079 | 0,0330 |
| 6 | 57.9213 | 0,11 | 9,22 | 0,0000 | 0,0000 | 0,0170 | 0,0197 | 0,0004 | 0,0000 |
| 7 | 58.5924 | 0,11 | 9,33 | 0,0000 | 0,0000 | 0,0003 | 0,0064 | 0,0000 | 0,0000 |
| 8 | 59.9103 | 0,10 | 9,54 | 0,0001 | 0,0000 | 0,0257 | 0,0000 | 0,0397 | 0,0001 |
| 9 | 62.1907 | 0,10 | 9,90 | 0,0002 | 0,0001 | 0,0208 | 0,0061 | 0,0306 | 0,0002 |
| 10 | 62.4261 | 0,10 | 9,94 | 0,0001 | 0,0000 | 0,0075 | 0,0037 | 0,0026 | 0,0000 |
| 11 | 62.7551 | 0,10 | 9,99 | 0,0000 | 0,0000 | 0,0003 | 0,0001 | 0,0000 | 0,0000 |
| 12 | 63.1319 | 0,10 | 10,05 | 0,0000 | 0,0007 | 0,0050 | 0,0004 | 0,0006 | 0,0000 |
| 13 | 63.2971 | 0,10 | 10,07 | 0,0000 | 0,0000 | 0,0001 | 0,0000 | 0,0004 | 0,0000 |
| 14 | 63.4232 | 0,10 | 10,09 | 0,0000 | 0,0003 | 0,0012 | 0,0001 | 0,0000 | 0,0000 |
| 15 | 63.8284 | 0,10 | 10,16 | 0,0002 | 0,0000 | 0,0018 | 0,0000 | 0,0001 | 0,0002 |
| 16 | 63.9071 | 0,10 | 10,17 | 0,0000 | 0,0001 | 0,0003 | 0,0001 | 0,0000 | 0,0000 |
| 17 | 64.3224 | 0,10 | 10,24 | 0,0000 | 0,0003 | 0,0000 | 0,0009 | 0,0000 | 0,0001 |
| 18 | 64.5242 | 0,10 | 10,27 | 0,0001 | 0,0000 | 0,0057 | 0,0030 | 0,0234 | 0,0000 |
| 19 | 64.6687 | 0,10 | 10,29 | 0,0001 | 0,0002 | 0,1068 | 0,0194 | 0,0436 | 0,0005 |
| 20 | 65.6066 | 0,10 | 10,44 | 0,0000 | 0,0000 | 0,0002 | 0,0000 | 0,0003 | 0,0000 |
| 21 | 66.3422 | 0,09 | 10,56 | 0,0000 | 0,0000 | 0,0064 | 0,0001 | 0,0053 | 0,0000 |
| 22 | 66.6875 | 0,09 | 10,61 | 0,0000 | 0,0000 | 0,0912 | 0,0002 | 0,0412 | 0,0001 |
| 23 | 66.8715 | 0,09 | 10,64 | 0,0000 | 0,0001 | 0,0090 | 0,0004 | 0,0032 | 0,0000 |
| 24 | 67.3015 | 0,09 | 10,71 | 0,0001 | 0,0001 | 0,0484 | 0,0273 | 0,0961 | 0,0001 |
| 25 | 68.7241 | 0,09 | 10,94 | 0,0001 | 0,0001 | 0,0050 | 0,0113 | 0,0020 | 0,0001 |
| 26 | 69.8601 | 0,09 | 11,12 | 0,0000 | 0,0000 | 0,0000 | 0,0001 | 0,0000 | 0,0000 |
| 27 | 70.3699 | 0,09 | 11,20 | 0,0000 | 0,0003 | 0,0000 | 0,0001 | 0,0006 | 0,0000 |
| 28 | 70.4281 | 0,09 | 11,21 | 0,0000 | 0,0004 | 0,0017 | 0,0019 | 0,0078 | 0,0000 |
| 29 | 70.747 | 0,09 | 11,26 | 0,0001 | 0,0003 | 0,0007 | 0,0004 | 0,0001 | 0,0001 |
| 30 | 72.2932 | 0,09 | 11,51 | 0,0000 | 0,0001 | 0,0032 | 0,0008 | 0,0014 | 0,0000 |
| 31 | 73.2034 | 0,09 | 11,65 | 0,0003 | 0,0194 | 0,0084 | 0,0022 | 0,0017 | 0,0003 |
| 32 | 73.2921 | 0,09 | 11,66 | 0,0001 | 0,0045 | 0,0011 | 0,0007 | 0,0015 | 0,0001 |
| 33 | 73.3916 | 0,09 | 11,68 | 0,0000 | 0,0001 | 0,0000 | 0,0001 | 0,0004 | 0,0000 |
| 34 | 73.5547 | 0,09 | 11,71 | 0,0000 | 0,0004 | 0,0000 | 0,0002 | 0,0000 | 0,0001 |
| 35 | 73.5908 | 0,09 | 11,71 | 0,0000 | 0,0012 | 0,0001 | 0,0006 | 0,0000 | 0,0000 |
| 36 | 73.6577 | 0,09 | 11,72 | 0,0000 | 0,0003 | 0,0002 | 0,0004 | 0,0015 | 0,0000 |
| 37 | 73.6973 | 0,09 | 11,73 | 0,0000 | 0,0003 | 0,0002 | 0,0003 | 0,0010 | 0,0000 |
| 38 | 74.5025 | 0,08 | 11,86 | 0,0007 | 0,0565 | 0,0137 | 0,0045 | 0,0066 | 0,0059 |
| 39 | 74.9781 | 0,08 | 11,93 | 0,0004 | 0,0592 | 0,0176 | 0,0486 | 0,0025 | 0,0018 |
| 40 | 75.3075 | 0,08 | 11,99 | 0,0000 | 0,0121 | 0,0029 | 0,0080 | 0,0014 | 0,0004 |
| 41 | 76.1761 | 0,08 | 12,12 | 0,0000 | 0,0016 | 0,0019 | 0,0000 | 0,0000 | 0,0000 |
| 42 | 76.3949 | 0,08 | 12,16 | 0,0000 | 0,0001 | 0,0024 | 0,0012 | 0,0073 | 0,0002 |
| 43 | 76.9244 | 0,08 | 12,24 | 0,0004 | 0,0073 | 0,0009 | 0,0058 | 0,0008 | 0,0009 |
| 44 | 77.956 | 0,08 | 12,41 | 0,0000 | 0,0014 | 0,0009 | 0,0002 | 0,0016 | 0,0001 |
| 45 | 78.9868 | 0,08 | 12,57 | 0,0002 | 0,0024 | 0,0005 | 0,0096 | 0,0000 | 0,0000 |
| 46 | 79.4999 | 0,08 | 12,65 | 0,0000 | 0,0000 | 0,0010 | 0,0000 | 0,0002 | 0,0000 |
| 47 | 79.8992 | 0,08 | 12,72 | 0,0000 | 0,0000 | 0,0002 | 0,0000 | 0,0001 | 0,0000 |
| 48 | 79.9638 | 0,08 | 12,73 | 0,0000 | 0,0000 | 0,0039 | 0,0002 | 0,0022 | 0,0000 |
| 49 | 81.0622 | 0,08 | 12,90 | 0,0000 | 0,0002 | 0,0001 | 0,0001 | 0,0046 | 0,0000 |
| 50 | 81.1833 | 0,08 | 12,92 | 0,0000 | 0,0001 | 0,0042 | 0,0250 | 0,0086 | 0,0000 |
| 51 | 81.5274 | 0,08 | 12,98 | 0,0001 | 0,0001 | 0,0159 | 0,0317 | 0,0038 | 0,0002 |
| 52 | 82.4325 | 0,08 | 13,12 | 0,0006 | 0,0003 | 0,0226 | 0,0019 | 0,0063 | 0,0000 |
| 53 | 83.6036 | 0,08 | 13,31 | 0,0006 | 0,0000 | 0,0085 | 0,0004 | 0,0010 | 0,0002 |

4.15 Prikaz aktiviranih masa po modovima i smjeru

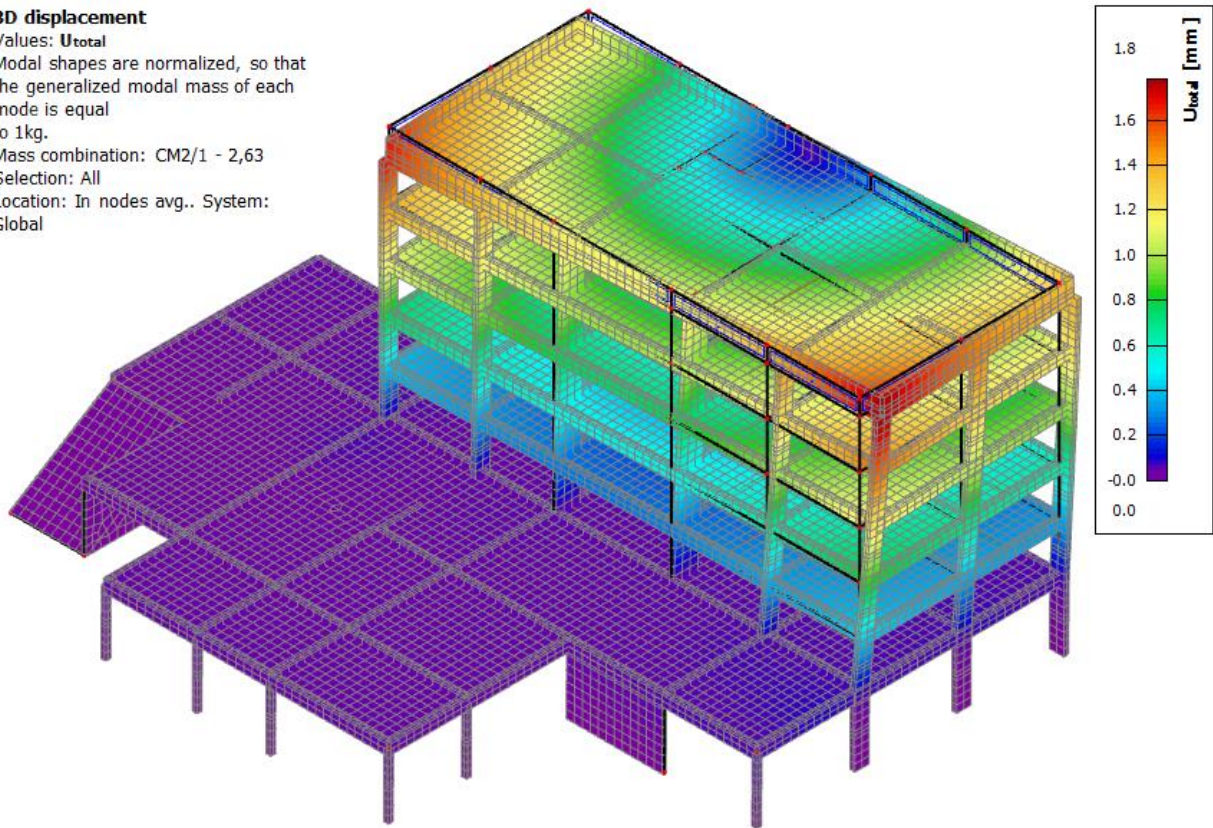
| Mode | mega [rad/s] | Period [s] | Freq. [Hz] | W_{x1}/W_{xtot} | W_{y1}/W_{ytot} | W_{z1}/W_{ztot} | N_{x1_R}/W_{xtot_f} | W_{y1_R}/W_{ytot_f} | N_{z1_R}/W_{ztot_f} |
|------|--------------|------------|------------|-------------------|-------------------|-------------------|-------------------------|-------------------------|-------------------------|
| 54 | 84.4646 | 0,07 | 13,44 | 0,0000 | 0,0001 | 0,0008 | 0,0011 | 0,0051 | 0,0000 |
| 55 | 86.0188 | 0,07 | 13,69 | 0,0001 | 0,0002 | 0,0040 | 0,0001 | 0,0021 | 0,0001 |
| 56 | 86.3606 | 0,07 | 13,74 | 0,0005 | 0,0000 | 0,0022 | 0,0025 | 0,0013 | 0,0002 |
| 57 | 86.4512 | 0,07 | 13,76 | 0,0000 | 0,0000 | 0,0025 | 0,0037 | 0,0091 | 0,0000 |
| 58 | 88.4356 | 0,07 | 14,07 | 0,0013 | 0,0000 | 0,0052 | 0,0049 | 0,0001 | 0,0015 |
| 59 | 89.1293 | 0,07 | 14,19 | 0,0021 | 0,0001 | 0,0014 | 0,0001 | 0,0025 | 0,0024 |
| 60 | 90.7185 | 0,07 | 14,44 | 0,0085 | 0,0000 | 0,0000 | 0,0007 | 0,0083 | 0,0412 |
| 61 | 91.3688 | 0,07 | 14,54 | 0,0000 | 0,0000 | 0,0233 | 0,0001 | 0,0105 | 0,0000 |
| 62 | 91.8607 | 0,07 | 14,62 | 0,0001 | 0,0000 | 0,0001 | 0,0000 | 0,0004 | 0,0000 |
| 63 | 92.2077 | 0,07 | 14,68 | 0,0019 | 0,0000 | 0,0011 | 0,0021 | 0,0031 | 0,0109 |
| 64 | 93.2844 | 0,07 | 14,85 | 0,0008 | 0,0003 | 0,0102 | 0,0028 | 0,0170 | 0,0133 |
| 65 | 93.5263 | 0,07 | 14,89 | 0,0005 | 0,0000 | 0,0069 | 0,0066 | 0,0264 | 0,0030 |
| 66 | 93.9241 | 0,07 | 14,95 | 0,0003 | 0,0007 | 0,0019 | 0,0006 | 0,0005 | 0,0015 |
| 67 | 95.1115 | 0,07 | 15,14 | 0,0022 | 0,0000 | 0,0024 | 0,0081 | 0,0005 | 0,0011 |
| 68 | 95.4473 | 0,07 | 15,19 | 0,0147 | 0,0005 | 0,0020 | 0,0031 | 0,0003 | 0,0007 |
| 69 | 97.6973 | 0,06 | 15,55 | 0,0004 | 0,0001 | 0,0202 | 0,0003 | 0,0212 | 0,0000 |
| 70 | 99.2193 | 0,06 | 15,79 | 0,0041 | 0,0004 | 0,0016 | 0,0025 | 0,0009 | 0,0058 |
| 71 | 100.678 | 0,06 | 16,02 | 0,0000 | 0,0000 | 0,0116 | 0,0498 | 0,0009 | 0,0000 |
| 72 | 103.257 | 0,06 | 16,43 | 0,0020 | 0,0000 | 0,0094 | 0,0183 | 0,0069 | 0,0013 |
| 73 | 107.236 | 0,06 | 17,07 | 0,0027 | 0,0000 | 0,0005 | 0,0001 | 0,0004 | 0,0000 |
| 74 | 107.482 | 0,06 | 17,11 | 0,2084 | 0,0010 | 0,0042 | 0,0018 | 0,0590 | 0,0088 |
| 75 | 108.362 | 0,06 | 17,25 | 0,0016 | 0,0001 | 0,0002 | 0,0000 | 0,0007 | 0,0067 |
| 76 | 108.754 | 0,06 | 17,31 | 0,0074 | 0,0003 | 0,0007 | 0,0000 | 0,0026 | 0,0272 |
| 77 | 109.255 | 0,06 | 17,39 | 0,0084 | 0,0000 | 0,0000 | 0,0007 | 0,0037 | 0,0030 |
| 78 | 109.901 | 0,06 | 17,49 | 0,0030 | 0,0030 | 0,0001 | 0,0004 | 0,0000 | 0,1777 |
| 79 | 113.034 | 0,06 | 17,99 | 0,0016 | 0,0009 | 0,0031 | 0,0004 | 0,0086 | 0,0000 |
| 80 | 113.364 | 0,06 | 18,04 | 0,0017 | 0,0002 | 0,0004 | 0,0001 | 0,0016 | 0,0000 |
| 81 | 113.599 | 0,06 | 18,08 | 0,0005 | 0,0001 | 0,0000 | 0,0001 | 0,0002 | 0,0002 |
| 82 | 114.633 | 0,05 | 18,24 | 0,0020 | 0,0011 | 0,0001 | 0,0026 | 0,0002 | 0,0003 |
| 83 | 116.681 | 0,05 | 18,57 | 0,0001 | 0,0006 | 0,0017 | 0,0000 | 0,0003 | 0,0011 |
| 84 | 117.406 | 0,05 | 18,69 | 0,0023 | 0,0000 | 0,0042 | 0,0001 | 0,0029 | 0,0003 |
| 85 | 119.577 | 0,05 | 19,03 | 0,0049 | 0,0351 | 0,0002 | 0,0103 | 0,0006 | 0,0159 |
| 86 | 120.235 | 0,05 | 19,14 | 0,0005 | 0,0304 | 0,0001 | 0,0113 | 0,0014 | 0,0108 |
| 87 | 120.627 | 0,05 | 19,20 | 0,0022 | 0,0366 | 0,0002 | 0,0097 | 0,0014 | 0,0257 |
| 88 | 121.661 | 0,05 | 19,36 | 0,0014 | 0,0114 | 0,0006 | 0,0054 | 0,0028 | 0,0083 |
| 89 | 121.996 | 0,05 | 19,42 | 0,0000 | 0,0001 | 0,0034 | 0,0001 | 0,0000 | 0,0019 |
| 90 | 123.095 | 0,05 | 19,59 | 0,0001 | 0,0000 | 0,0010 | 0,0002 | 0,0003 | 0,0000 |
| 91 | 123.72 | 0,05 | 19,69 | 0,0003 | 0,0007 | 0,0004 | 0,0010 | 0,0001 | 0,0006 |
| 92 | 123.941 | 0,05 | 19,73 | 0,0000 | 0,0001 | 0,0004 | 0,0002 | 0,0000 | 0,0002 |
| 93 | 125.012 | 0,05 | 19,90 | 0,0000 | 0,0002 | 0,0070 | 0,0056 | 0,0026 | 0,0006 |
| 94 | 125.764 | 0,05 | 20,02 | 0,0000 | 0,0003 | 0,0009 | 0,0012 | 0,0006 | 0,0002 |
| 95 | 126.234 | 0,05 | 20,09 | 0,0000 | 0,0001 | 0,0001 | 0,0000 | 0,0002 | 0,0002 |
| 96 | 126.642 | 0,05 | 20,16 | 0,0001 | 0,0000 | 0,0000 | 0,0000 | 0,0001 | 0,0001 |
| 97 | 126.757 | 0,05 | 20,17 | 0,0002 | 0,0001 | 0,0000 | 0,0000 | 0,0000 | 0,0001 |
| 98 | 127.497 | 0,05 | 20,29 | 0,0003 | 0,0000 | 0,0001 | 0,0000 | 0,0000 | 0,0006 |
| 99 | 128.139 | 0,05 | 20,39 | 0,0002 | 0,0031 | 0,0017 | 0,0035 | 0,0000 | 0,0023 |
| 100 | 128.192 | 0,05 | 20,40 | 0,0013 | 0,0004 | 0,0030 | 0,0001 | 0,0015 | 0,0012 |
| 101 | 128.89 | 0,05 | 20,51 | 0,0019 | 0,0002 | 0,0000 | 0,0007 | 0,0007 | 0,0024 |
| 102 | 129.332 | 0,05 | 20,58 | 0,0001 | 0,0001 | 0,0001 | 0,0041 | 0,0003 | 0,0002 |
| 103 | 129.49 | 0,05 | 20,61 | 0,0002 | 0,0001 | 0,0000 | 0,0006 | 0,0001 | 0,0002 |
| 104 | 129.976 | 0,05 | 20,69 | 0,0008 | 0,0003 | 0,0000 | 0,0032 | 0,0012 | 0,0010 |
| 105 | 130.232 | 0,05 | 20,73 | 0,0008 | 0,0003 | 0,0057 | 0,0016 | 0,0017 | 0,0020 |
| 106 | 130.441 | 0,05 | 20,76 | 0,0001 | 0,0001 | 0,0007 | 0,0003 | 0,0001 | 0,0003 |
| 107 | 130.74 | 0,05 | 20,81 | 0,0006 | 0,0000 | 0,0040 | 0,0003 | 0,0001 | 0,0016 |
| 108 | 131.055 | 0,05 | 20,86 | 0,0000 | 0,0002 | 0,0010 | 0,0008 | 0,0001 | 0,0005 |
| 109 | 132.316 | 0,05 | 21,06 | 0,0001 | 0,0008 | 0,0004 | 0,0001 | 0,0001 | 0,0002 |
| 110 | 133.174 | 0,05 | 21,20 | 0,0001 | 0,0001 | 0,0000 | 0,0009 | 0,0000 | 0,0002 |
| 111 | 133.933 | 0,05 | 21,32 | 0,0000 | 0,0032 | 0,0002 | 0,0178 | 0,0003 | 0,0004 |
| 112 | 134.616 | 0,05 | 21,42 | 0,0000 | 0,0000 | 0,0000 | 0,0000 | 0,0001 | 0,0000 |
| 113 | 134.959 | 0,05 | 21,48 | 0,0001 | 0,0079 | 0,0000 | 0,0072 | 0,0000 | 0,0014 |
| 114 | 135.155 | 0,05 | 21,51 | 0,0001 | 0,0021 | 0,0000 | 0,0011 | 0,0026 | 0,0010 |
| 115 | 135.304 | 0,05 | 21,53 | 0,0000 | 0,0000 | 0,0001 | 0,0001 | 0,0004 | 0,0000 |
| 116 | 135.426 | 0,05 | 21,55 | 0,0002 | 0,0002 | 0,0000 | 0,0006 | 0,0012 | 0,0003 |
| 117 | 135.823 | 0,05 | 21,62 | 0,0000 | 0,0007 | 0,0009 | 0,0004 | 0,0002 | 0,0002 |
| 118 | 136.011 | 0,05 | 21,65 | 0,0000 | 0,0010 | 0,0002 | 0,0000 | 0,0004 | 0,0002 |
| 119 | 137.362 | 0,05 | 21,86 | 0,0001 | 0,0293 | 0,0000 | 0,0136 | 0,0001 | 0,0054 |
| 120 | 137.651 | 0,05 | 21,91 | 0,0001 | 0,0357 | 0,0000 | 0,0170 | 0,0003 | 0,0060 |
| 121 | 139.03 | 0,05 | 22,13 | 0,0000 | 0,0005 | 0,0028 | 0,0009 | 0,0084 | 0,0002 |
| 122 | 139.152 | 0,05 | 22,15 | 0,0000 | 0,0055 | 0,0000 | 0,0012 | 0,0042 | 0,0007 |
| 123 | 139.67 | 0,04 | 22,23 | 0,0001 | 0,0111 | 0,0013 | 0,0011 | 0,0012 | 0,0023 |
| | | | | 0,8758 | 0,9223 | 0,6385 | 0,7076 | 0,7234 | 0,8510 |

4.16 Prikaz aktiviranih masa po modovima i smjeru

Na sljedećim grafičkim priložima prikazano je nekoliko karakterističnih vlastitih oblika (modova), nastalih uslijed djelovanja potresa.

3D displacement

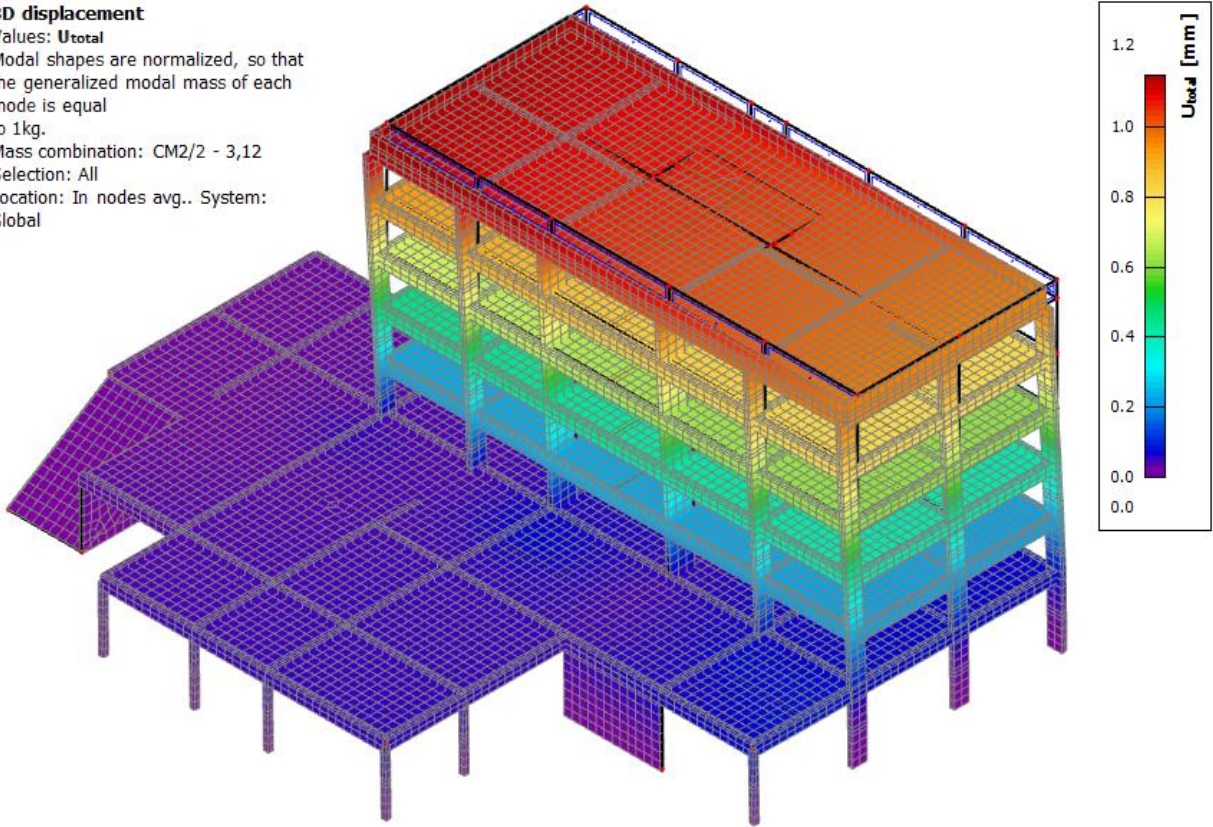
Values: U_{total}
Modal shapes are normalized, so that the generalized modal mass of each mode is equal to 1kg.
Mass combination: CM2/1 - 2,63
Selection: All
Location: In nodes avg.. System: Global



4.17 Prvi vlastiti vektor od djelovanja potresa na konstrukciju $T_1=0.38$ s

3D displacement

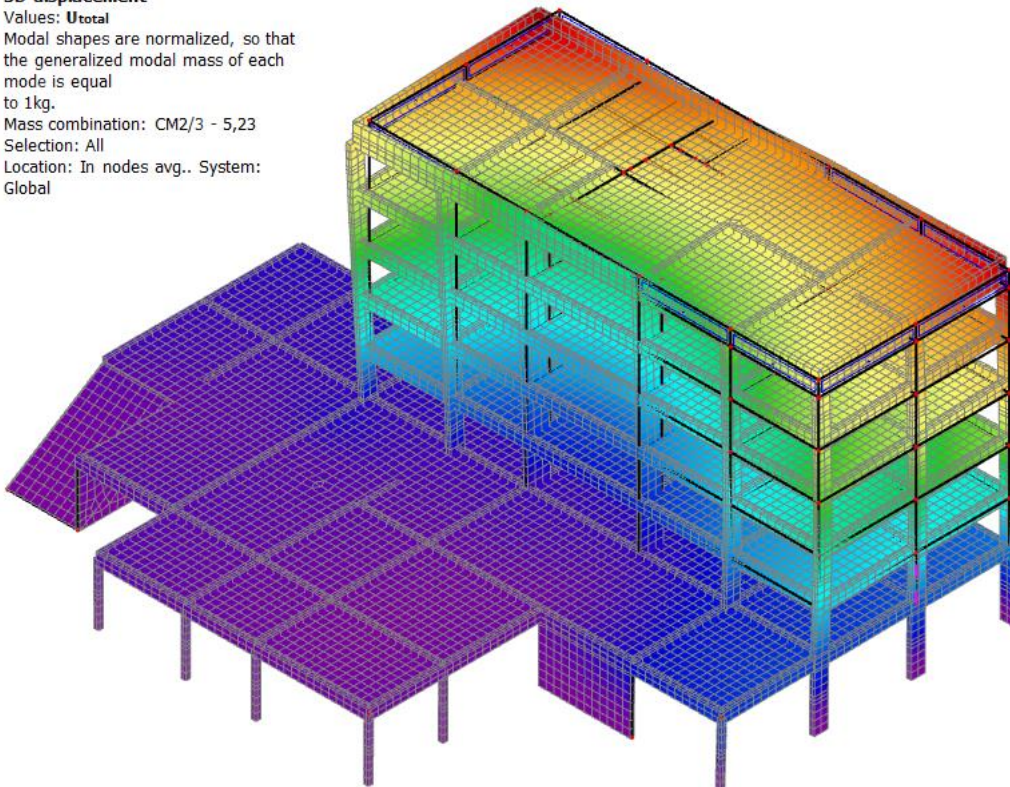
Values: U_{total}
 Modal shapes are normalized, so that the generalized modal mass of each mode is equal to 1kg.
 Mass combination: CM2/2 - 3,12
 Selection: All
 Location: In nodes avg.. System: Global



4.18 Drugi vlastiti vektor od djelovanja potresa na konstrukciju $T1=0.32 s$

3D displacement

Values: U_{total}
 Modal shapes are normalized, so that the generalized modal mass of each mode is equal to 1kg.
 Mass combination: CM2/3 - 5,23
 Selection: All
 Location: In nodes avg.. System: Global



4.19 Treći vlastiti vektor od djelovanja potresa na konstrukciju $T1=0.19 s$

5. NUMERIČKI MODEL

Za potrebe proračuna nosivih elemenata konstrukcije, kako horizontalnih, tako i vertikalnih, izrađen je prostorni štapno-plošni model prikazan u nastavku. Modelom su obuhvaćene sve grede, ploče i zidovi, od temeljene konstrukcije do krovne ploče. Za proračun vertikalnih elemenata na horizontalna djelovanja provedena je dinamička analiza.

Model je opterećen stalnim opterećenjem (vlastita težina konstrukcije) te korisnim opterećenjem. Vlastita težina je uključena u proračunski model, a dodatno stalno i korisno opterećenje je zadano kao plošno, po m² ploče.

Sva opterećenja za dimenzioniranje elemenata konstrukcije detaljno su obrađena u točki:

PODACI O PREDVIĐENIM DJELOVANJIMA I UTJECAJIMA

Opterećenja zadana modelom su:

- vlastita težina, G
- stalno opterećenje, DG
- korisno opterećenje, Q
- potres u vidu prethodno izračunatih i navedenih ulaznih parametara na osnovu kojih je provedena dinamička analiza građevine

Mjerodavne kombinacije opterećenja:

1. $1.0(G+G_{dod})+1.0Q$

2. $1.0(G+G_{dod})+0.3Q$

3. $1.35(G+G_{dod})+1.5Q$

Glavna seizmička kombinacija sa ostalim opterećenjima bit će prema izrazu:

4. $1.0G+1.0S_x+0.3S_y+0.5Q$ – za smjer X

5. $1.0G+1.0S_y+0.3S_x+0.5Q$ – za smjer Y

Podaci o materijalima i geometrijskim svojstvima proračunskog modela:

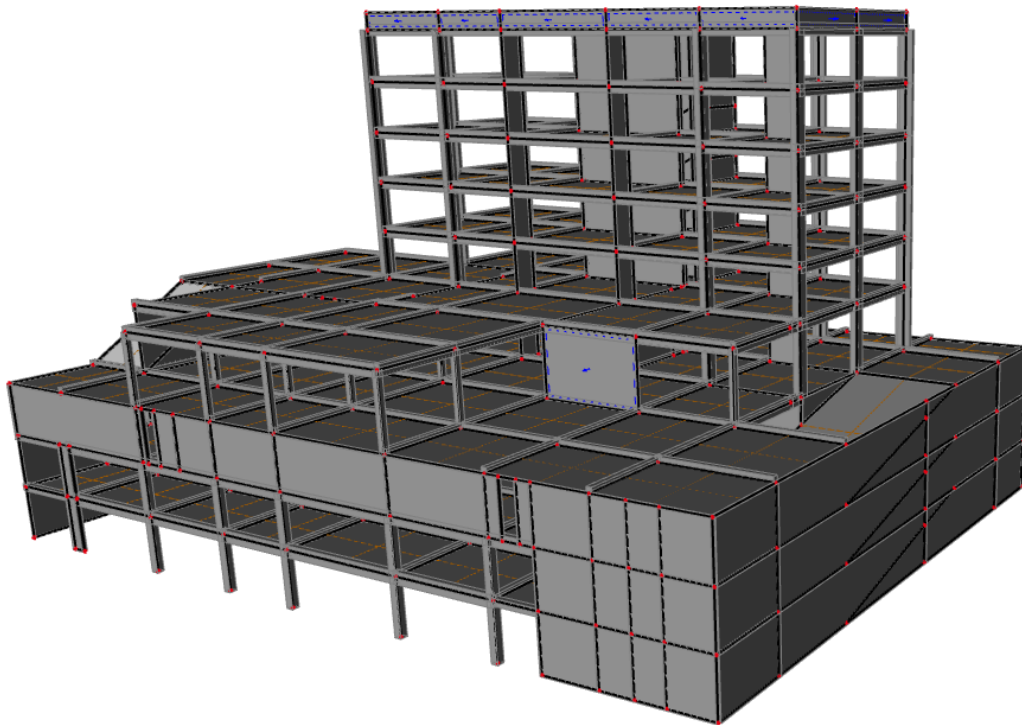
Beton: C30/37

Čelik za armiranje: B500B

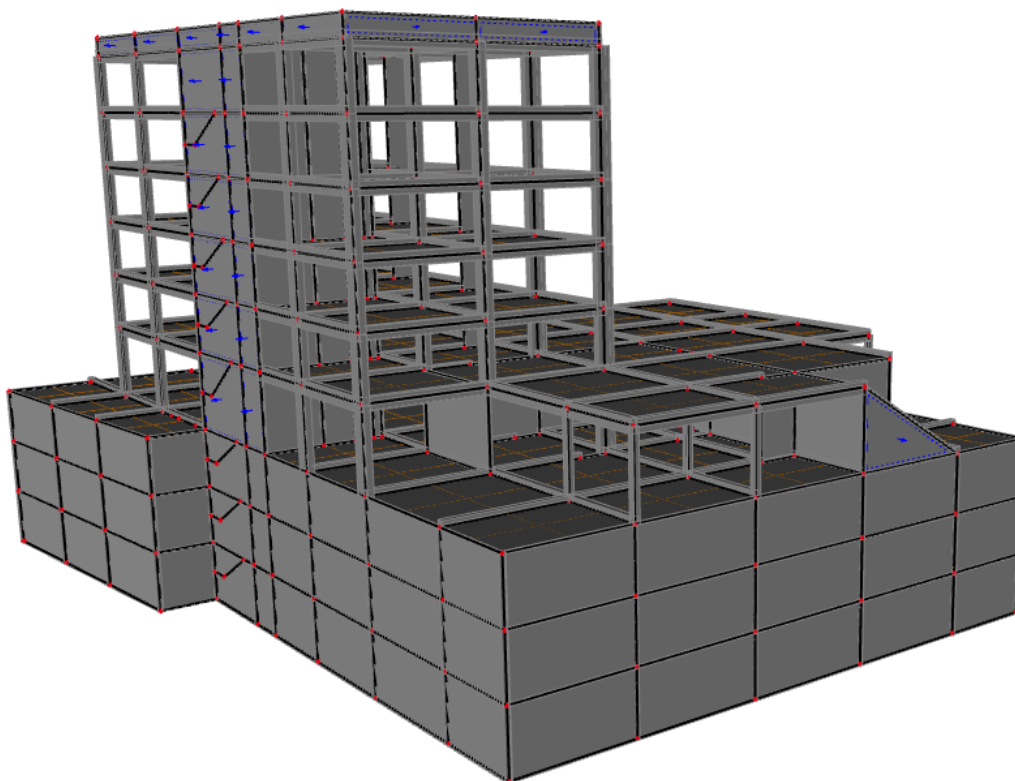
ab ploče: ab ploče predmetne građevine bit će debljine 15 cm, odnosno, 18 cm

ab grede: geometrijska svojstva greda su vidljiva i detaljno obrađena u planu pozicija

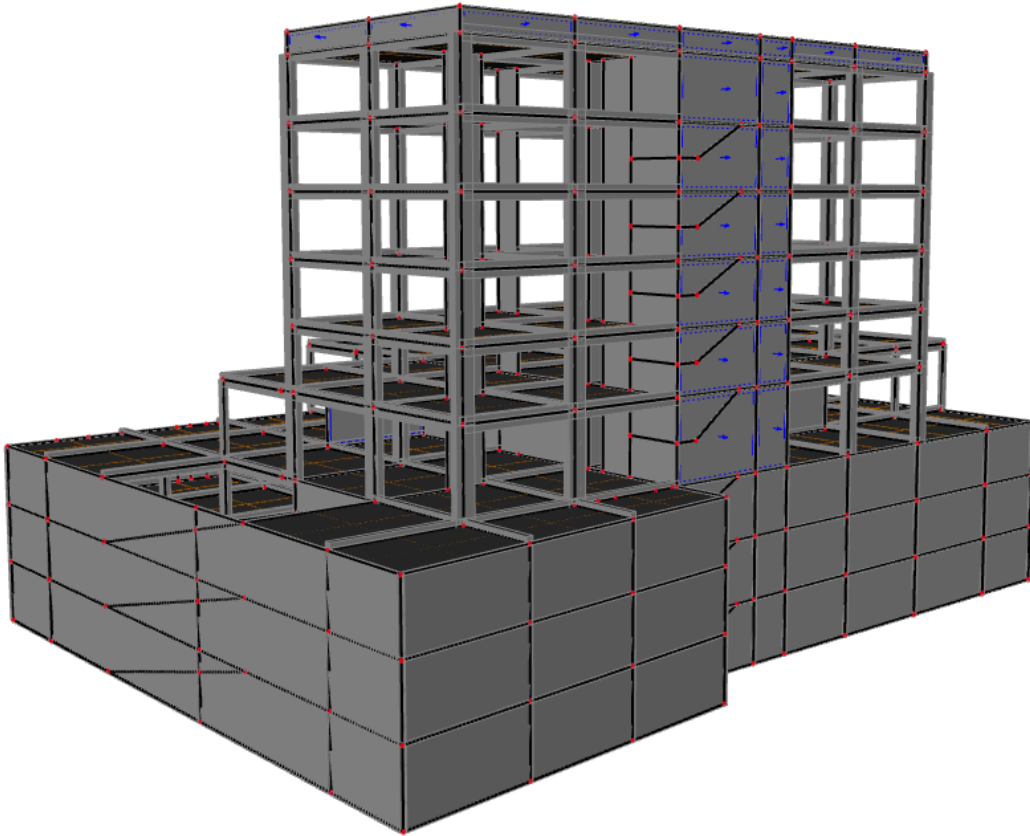
ab zidovi: ab zidovi predmetne građevine bit će debljine 25,0 cm dok će zidovi na etažama ispod zemlje i oni zasuti tlom biti 30 cm



5.1 Renderirani prikaz modela zgrade - aksonometrija I

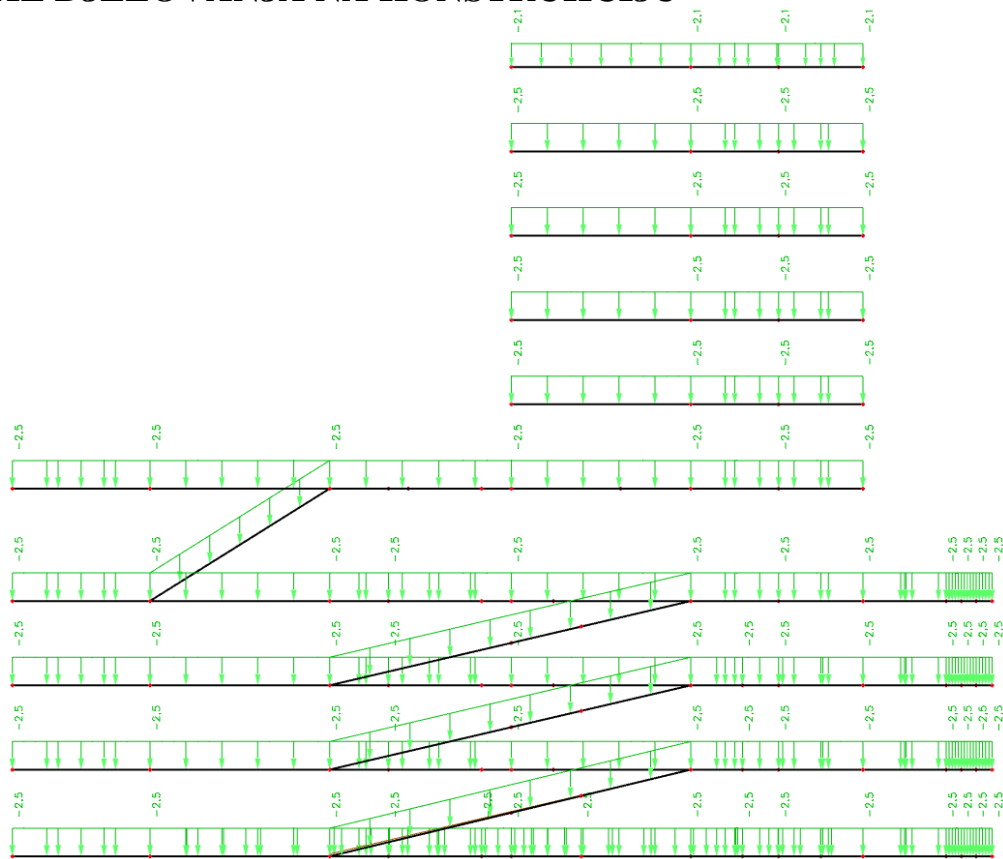


5.2 Renderirani prikaz modela zgrade - aksonometrija II



5.3 Renderirani prikaz modela zgrade - aksonometrija III

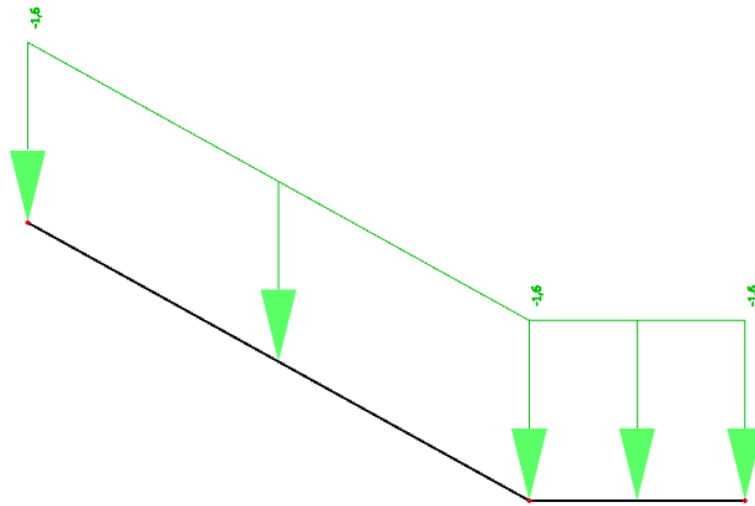
6. PRIKAZ DJELOVANJA NA KONSTRUKCIJU



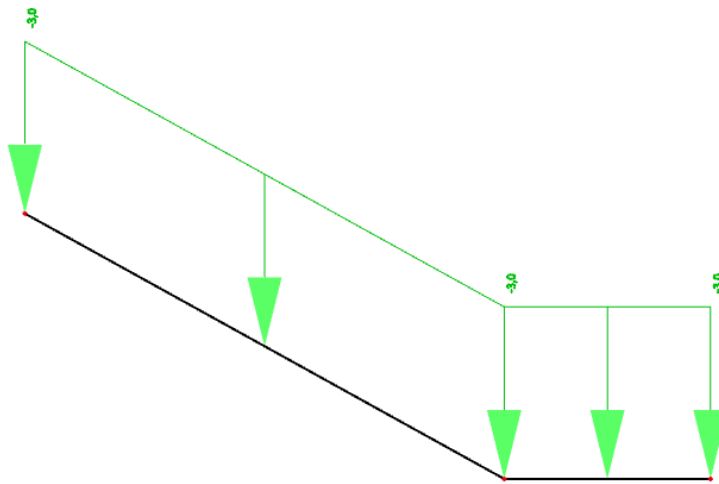
6.1 Prikaz vrijednosti dodatnog stalnog opterećenja



6.2 Prikaz vrijednosti promjenjivog opterećenja



6.4 Prikaz vrijednosti promjenjivog opterećenja



6.3 Prikaz vrijednosti dodatnog stalnog opterećenja

7. KOMBINACIJE DJELOVANJA

Osnovna djelovanja kombiniraju se za granično stanje nosivosti i granično stanje uporabljivosti

Granično stanje uporabljivosti

| Oznaka kombinacije | Opis kombinacije i faktoriranje | Kontrola: |
|--------------------|--|---|
| GSU-1 | česta kombinacija: $1.0G + \Psi_{1i} * Q_i$ $1.0G + 0.5Q_1 + 1.0Z$ | progibi ploča i greda |
| GSU-2 | nazovistalna kombinacija: $1.0G + \Psi_{2i} * Q_i$ $1.0G + 0.3Q_1 + 1.0Z$ | ograničenje tlačnog naprezanja u a-b elementima; dugotrajni progib |

Granično stanje nosivosti

| | |
|------------|--|
| | vodeće djelovanje Q (promjenjivo) |
| GSN | $1,35 * G + 1,5 * Q$ |

| | |
|---------------|--|
| | vodeće djelovanje F (potres) (koeficijent zauzetosti – nezavisno zauzeti katovi: $j=0.5$) Napomena: Program automatski generira kombinacije s +Sx i -Sx, odnosno +Sy i -Sy |
| GSN-SX | $1.0G \pm 1.0 * (1,0S_x \pm 0.3 * S_y \pm T_x) + 0.3Q$ |
| GSN-SY | $1.0G \pm 1.0 * (1,0S_y \pm 0.3 * S_x \pm T_y) + 0.3Q$ |

Ograničenja naprezanja u betonu

- Ograničenje srednjeg tlačnog naprezanja:

$$\sigma_c \leq 0.45 f_{ck} \text{ za nazovistalnu kombinaciju } GSU_2 = 1.0G + \psi_2 Q_i$$

$$\text{za C30/37, } \sigma_c \leq 0.45 * 30 = 13.50 \text{ Mpa}$$

AB zidovi

- Minimalna debljina: $b_{wo} \geq \max \{0.15 \text{ m}, h_s/20=3.52/20=0.18 \text{ m}\}$, (h_s =svijetla katna visina)

- Ograničenje naprezanja u betonu (srednjeg tlačnog naprezanja) je:

$$\sigma_{c,Sd} = N_{Ed}/A_{cfd} \leq 0.60 \text{ (klasa DCM), odnosno } \sigma_{c,Sd} \leq 0.60 \cdot f_{ck}$$

N_{Ed} = uzdužna sila u proračunu potresne proračunske situacije

seizmička kombinacija za C30/37: $\sigma_{c,Sd,E} \leq 0.60 \cdot (30) = 18 \text{ Mpa}$

- Kritično područje:

$$\min \{2L_w, h_s\} \geq h_{cr} \geq \max \{L_w, h_w/6\}, \text{ (} L_w \text{=duljina zida, } h_w \text{=ukupna visina zida,}$$

h_s =svijetla katna visina)

- Minimalno armiranje:

na krajevima zida:

vertikalno: $\rho_{min}=0.5\%$ od površine $A_c=L_c \cdot b_w$ ($L_c = \max \{0.15 L_w, 1.5 b_w\}$) spone:

$\min \varnothing 6$; max. razmak: $\min \{8db_L, b_o/2, 175 \text{ mm}\}$ (db_L =promjer vert. šipki; b_o =širina jezgre)

ostali dio zida:

vertikalno: $\rho_{min}=0.2\%$

$$b=25 \text{ cm; } A_{s,min} = 0.002 \cdot 25 \cdot 100/2 = 2.5 \text{ cm}^2/\text{m}$$

$$b=30 \text{ cm; } A_{s,min} = 0.002 \cdot 30 \cdot 100/2 = 3.0 \text{ cm}^2/\text{m}$$

obostrano horizontalno: $\rho_{min}=0.2\%$

spone: $\min 4\varnothing 6/\text{m}^2$

- Lagano armirani zidovi $L_w \geq \min \{4 \text{ m}, 2/3h_w\}$

- Najmanji omjer poprečne armature $\rho_{w,min}$ velikih slabo armiranih betonskih

zidova: $\rho_{w,min} = 0.15 \cdot (f_{ct,m}/f_{yd})$.

$$C 30/37 (f_{ct,m}=2.9 \text{ MPa}); B 500B (f_y=500 \text{ MPa}); \rho_{w,min} = 0.15 \cdot (2.9/435) = 0.001$$

$$b=25 \text{ cm; } A_{s,min} = 0.001 \cdot 25 \cdot 100/2 = 1.250 \text{ cm}^2/\text{m obostrano}$$

$$b=30 \text{ cm; } A_{s,min} = 0.001 \cdot 30 \cdot 100/2 = 1.50 \text{ cm}^2/\text{m obostrano}$$

- Kontroliraju se posmična naprezanja za seizmičke kombinacije. Računska posmična naprezanja (poprečna sila) se uvećavaju za 50% u kritičnom presjeku.

Računsko posmično naprežanje (τ_c) koje preuzima zid s minimalnom armaturom iznosi:

$$V_{Rd,c} = [CR_{d,c} * k * (100 * \rho_1 * f_{ck})^{1/3} + k_1 * \sigma_{cp}] * b_w * d$$

$$CR_{d,c} = 0.18 / \gamma_c = 0.18 / 1.5 = 0.12 ; k_1 = 0.15$$

$$b_w = 25 \text{ cm}; k = 1 + (200/d)^{(1/2)} \leq 2; (d \text{ u mm}); k = 1 + (200/1000)^{(1/2)} = 1.5$$

$$\rho_1 = A_{s1} / (b_w * d) \leq 0.02 = 2.8300 / (25 * 100) = 0.0011 \text{ (Q 283 minimalno)}$$

$$V_{Rd,c} = (0.12 * 1.5 * (100 * 0.0011 * 25)^{(1/3)} + 0.15 * 0.0) * 1.0 * 0.25 * 1000 = 63,05 \text{ kN/m}$$

$$v_{min} = 0.035 * k^{3/2} * f_{ck}^{1/2} = 0.035 * 1.5^{(3/2)} * 25.0^{(1/2)} = 0.32$$

$$V_{Rd,c,min} = (v_{min} + k_1 * \sigma_{cp}) * b_w * d = (0.32 + 0.15 * 0.0) * 1.0 * 0.25 * 1000 = 80 \text{ kN/m}$$

$$(\sigma_{cp,min} = 0.0 \text{ MPa})$$

Stupovi

- Za stupove koji ne preuzimaju sile potresa:
- Minimalne dimenzije presjeka stupova $b_{min} = 20 \text{ cm}$.
- Horizontalni razmak vertikalne armature stupova $\leq 40 \text{ cm}$.
- Min. i max. % armature za stupove: $A_{s,min} = 0.003 * b * h$; $A_{s,max} = 0.040 * b * h$
- $A_{s,min} = 4\emptyset 12$; za okrugli stup: $A_{s,min} = 6\emptyset 12$
- Za stupove koji preuzimaju sile potresa:
- Minimalne dimenzije presjeka stupova su $b_{min} = 25 \text{ cm}$.
- Ograničenje naprežanja u betonu (srednjeg tlačnog naprežanja) je:
 $A_c = b * h \geq (N_{Ed}) / (0.65 * f_{cd})$; (klasa M), N_{Ed} = uzdužna sila u proračunu potresne proračunske situacije
- Horizontalni razmak vertikalne armature stupova $\leq 20 \text{ cm}$.
- Min. i max. % armature za stupove: $A_{s,min,potres} = 0.010 * b * h$; $A_{s,min} = 8\emptyset 12$;
 $A_{s,max} = 0.040 * b * h$
- Spone (vilice) na srednjoj visini stupa su na razmaku od 12 puta najmanjeg promjera vertikalne armature. Uz vrh i uz podnožje stupa, na duljini veće dimenzije presjeka stupa, taj je razmak smanjen tako da je množen s 0.6.

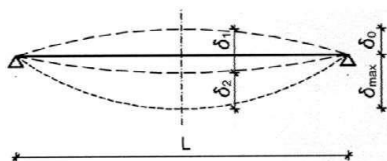
Grede

- Minimalne dimenzije presjeka greda: širina $b = 20 \text{ cm}$, visina $h = L/12$
- Min. i max. % armature za grede T-presjeka:
 - u polju: $A_{s,min} = 0.0015 * b_w * d$ $A_{s,max} = 0.85 * b_{eff} * h_f * (f_{cd} / f_{yd})$
 - na ležaju: $A_{s,min} = 0.0015 * b_{eff} * d$ $A_{s,max} = 0.31 * b_w * d * (f_{cd} / f_{yd})$
- Granične (max.) širine pukotina su $w \leq 0.3 \text{ mm}$

Progibi

Maksimalni dopušteni progib: $\delta_{\max} = \delta_1 + \delta_2 - \delta_0$

- Granični (max.) progib je: $\delta_{\max} = L/250$



δ_0 = nadvišenje

δ_1 = progib od kratkotrajnog opterećenja

δ_2 = progib od vremenskih efekata

δ_{\max} = maksimalni (ukupni) progib

- δ_0 = nadvišenje u oplati ($\delta_{0,\max} = L/350$)

- δ_1 = kratkotrajni trenutni progib od stalnih i promjenjivih opterećenja (bez puzanja)

Mjerodavna kombinacija, česta kombinacija:

$$GSU-1 = 1.0G + \psi_1 i * Q_i = 1.0G + 0.5Q_1$$

- δ_2 = dugotrajni (s uključenjem puzanja): GSU-2: $1.0G + \psi_2 i Q_1$

Mjerodavna kombinacija, nazovistalna kombinacija: GSU-2 = $1.0G + \psi_2 i Q_1 = 1.0G + 0.3Q_1$

- PROVJERA PROGIBA:

Elastični progib dobiven proračunom po linearnoj teoriji: δ_{EL}

1/ Progib od kratkotrajnog opterećenja (nelinearni): $\delta_1 = 2.5 * \delta_{EL}$

2/ Progib od kratkotrajnog opterećenja + vremenskih efekata: $\delta_1 + \delta_2 = 5.0 * \delta_{EL}$

1/ Progib od kratkotrajnog opterećenja (s uključenjem materijalne nelinearnosti):

$$GSU-1 = 1.0G + \psi_1 i * Q_i = 1.0G + 0.5Q_1$$

Dopušteni računski progib od kratkotrajnog opterećenja: $\delta_{\max, RAČ} = \delta_1 - \delta_0 \leq L/400$

$$\delta_1 \approx 2.5 * \delta_{EL} ; \text{ nadvišenje } \delta_0 = L/350 \quad \delta_{\max, RAČ} = \delta_{EL} * 2.5 - \delta_0 \leq L/400$$

$$\text{s nadvišenjem } \delta_0 = L/350: \delta_{EL} \leq (L/400 + L/350) / 2.5 = L/467$$

$$\text{bez nadvišenja: } \delta_{EL} \leq (L/400) / 2.5 = L/1000$$

2/ Progib od kratkotrajnog opterećenja + vremenskih efekata (puzanje):

$$GSU-2 = 1.0G + \psi_2 i * Q_i = 1.0G + 0.3Q_1$$

Približni iznos ukupnog progiba od kratkotrajnog opterećenja + vremenskih efekata:

$$(\delta_1 + \delta_2) \approx \delta_{EL} * 5.0$$

Dopušteni računski progib: $\delta_{\max, RAČ} = (\delta_1 + \delta_2) - \delta_0 \leq L/250$

$$\delta_1 + \delta_2 = 5.0 * \delta_{EL}; \text{ nadvišenje } \delta_0 = L/350 \quad \delta_{\max, RAČ} = \delta_{EL} * 5.0 - L/350 \leq L/250$$

$$\text{s nadvišenjem } \delta_0 = L/350: \delta_{EL} \leq (L/250 + L/350) / 5.0 = L/730$$

$$\text{bez nadvišenja: } \delta_{EL} \leq (L/250) / 5.0 = L/1250$$

8. DIMENZIONIRANJE KARAKTERISTIČNIH ELEMENATA

Proračun AB ploča proveden je prema EC-2 (Eurokod 2 : Projektiranje betonskih konstrukcija). Za dimenzioniranje ploče upotrijebljene su mjerodavne kombinacije za granično stanje nosivosti dok su za kontrolu pukotina i progiba korištene kombinacije graničnog stanja uporabljivosti. U nastavku su prikazani ulazni podaci, podaci o opterećenjima, podaci o materijalima, te relevantni rezultati proračuna, i na kraju dimenzioniranje promatranog nosivog elementa.

Parametri za dimenzioniranje:

Mjerodavna kombinacija za dimenzioniranje horizontalnih elemenata:

GSU: $1.0g+0.3q$ – granično stanje uporabljivosti

KGS: $1.35g+1.5q$ – krajnje granično stanje

Granična vrijednost progiba ploče na rubu: $f_{p,dop}$

Granična vrijednost progiba ploče u polju: $f_{p,dop}$

Međukatne ploče predmetne konstrukcije projektirane su debljine 20,25 cm.

Minimalna potrebna armatura za ploče:

→ za ploču $d=15,0$ cm → $0.0015 \cdot 100 \cdot 12 = 1.80$ cm²/m' → **odabrano minimalno Q-283**

→ za ploču $d=18,0$ cm → $0.0015 \cdot 100 \cdot 15 = 2.25$ cm²/m' → **odabrano minimalno Q-283**

Sve ab elemente izraditi od betona C30/37 i armirati s B500B.

8.1. GRANIČNO STANJE UPORABLJIVOSTI

Dopušteni računski progib s uključenjem materijalne nelinearnosti (za kratkotrajno djelovanje):

$$GSU-1 = 1.0G + \psi_{1i} * Q_i = 1.0G + 0.5Q_1$$

s nadvišenjem: $\delta_{EL} \leq L/467$

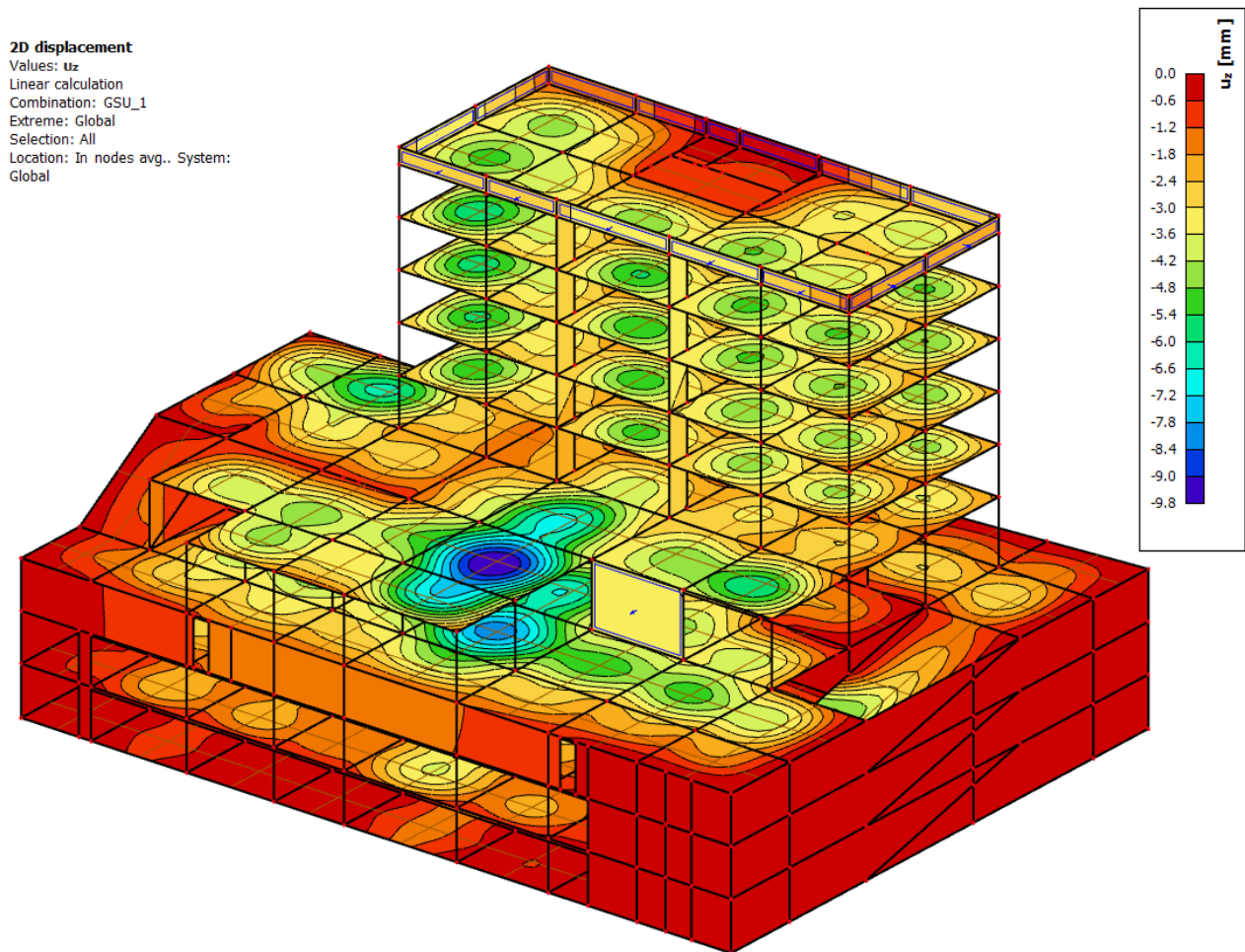
Dopušteni računski progib s uključenjem puzanja (za dugotrajno djelovanje):

$$GSU-2 = 1.0G + \psi_{2i} * Q_i = 1.0G + 0.3Q_1$$

s nadvišenjem: $\delta_{max,RAČ} \leq L/730$

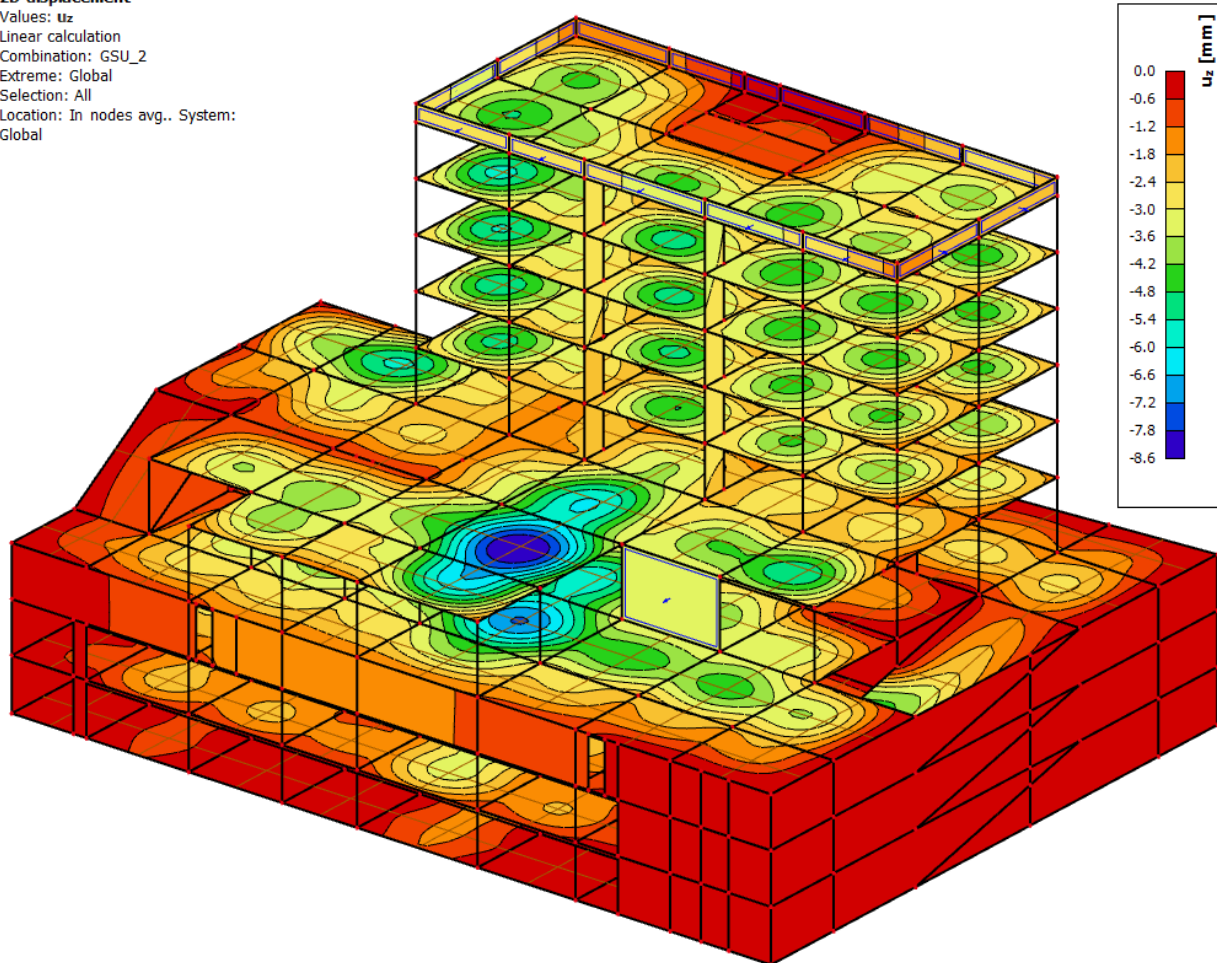
Za GSU_1 $\rightarrow 9,8 \leq 6400/467 = 13,7$ mm – zadovoljava

Za GSU_2 $\rightarrow 8,6 \leq 6400/730 = 8,8$ mm – zadovoljava



8.1 Prikaz progiba u "z" smjeru od kombinacije GSU_1

2D displacement
 Values: u_z
 Linear calculation
 Combination: GSU_2
 Extreme: Global
 Selection: All
 Location: In nodes avg.. System:
 Global



8.2 Prikaz progiba u "z" smjeru od kombinacije GSU_2

8.1.1. OGRANIČENJE OŠTEĆENJA

Prema HRN EN 1998-1 točka 4.4.3.1

„Zahtjev ograničenog oštećenja“ smatra se ispunjenim ako se radi o potresu koji ima veću vjerojatnost pojavljivanja od proračunskog potresa koji odgovara „zahtjevu da ne smije doći do rušenja“ u skladu s točkama 2.1(1) P i 3.2.1(3) međukatni pomaci ograničeni su u skladu s točkom 4.4.3.2.

Predmetna zgrada ima nekonstrukcijske elemente od krhkih materijala pričvršćene za konstrukciju stoga je potrebno zadovoljiti uvjet:

$$d_r \cdot v \leq 0,005 \cdot h$$

Pri čemu je:

d_r – proračunski katni pomak definiran u točki 4.4.2.2. (2) HRN EN 1998-1

h – visina kata

ν – faktor smanjenja kojim se u obzir uzima najkraće povratno razdoblje potresnog djelovanja

vezano sa zahtjevom ograničenog oštećenja (preporuka vrijednosti 0,4 za razrede važnosti III i IV , a 0,5 za razrede važnosti I i II)

$$5,0 \text{ mm} \cdot 0,4 \leq 0,005 \cdot 4000 \text{ mm}$$

$$2,0 \leq 20$$

zadovoljava

Displacement of nodes

Values: U_y

Linear calculation

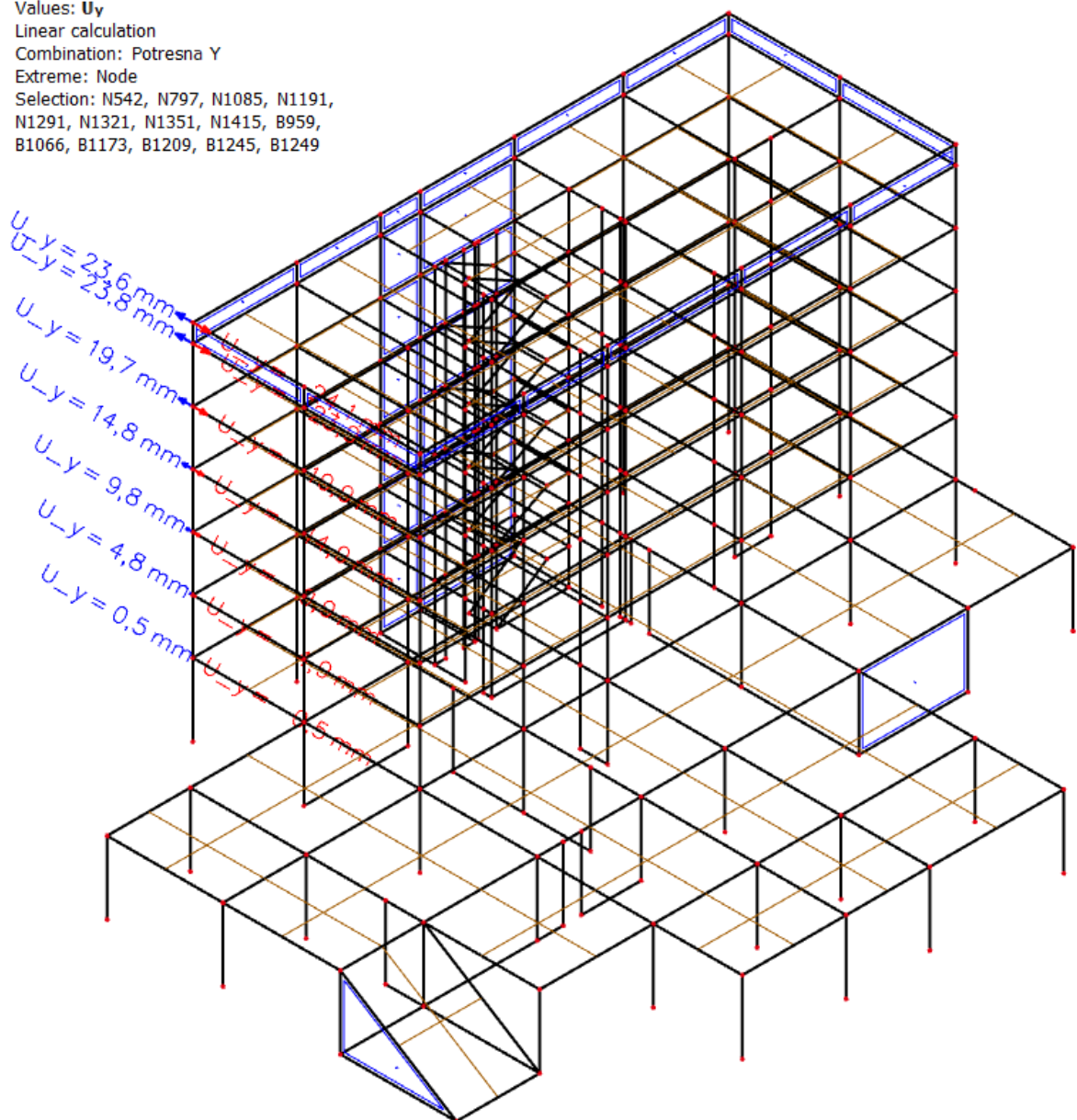
Combination: Potresna Y

Extreme: Node

Selection: N542, N797, N1085, N1191,

N1291, N1321, N1351, N1415, B959,

B1066, B1173, B1209, B1245, B1249

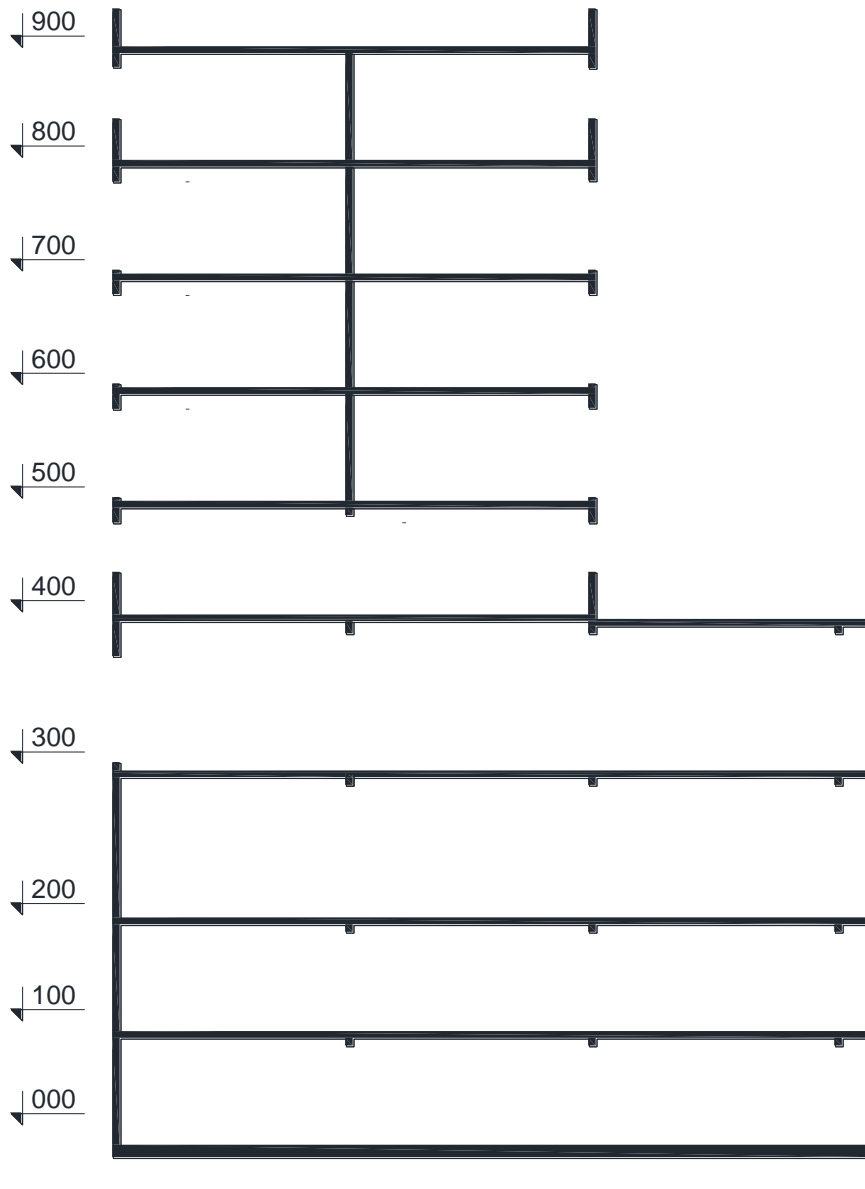


8.3 Prikaz međukatnih pomaka uslijed potresne kombinacije u Y smjeru

9. PRORAČUN HORIZONTALNIH ELEMENATA

9.1. PLOČE

9.1.1. PRIKAZ POZICIJA

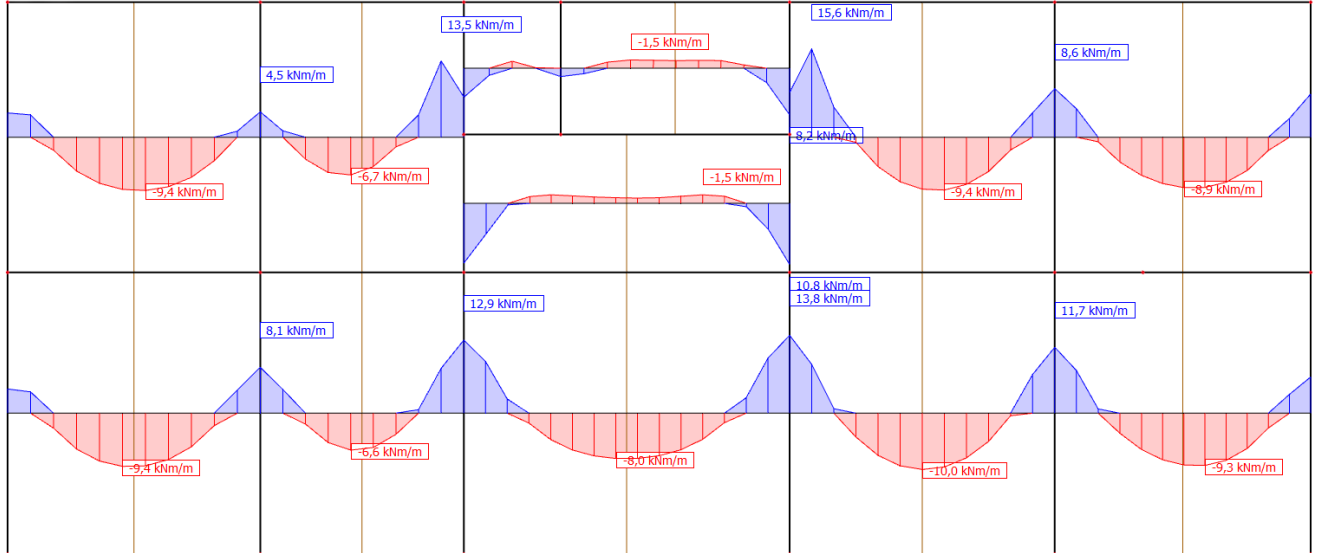


9.1 Prikaz pozicija na objektu

9.1.2. REZNE SILE

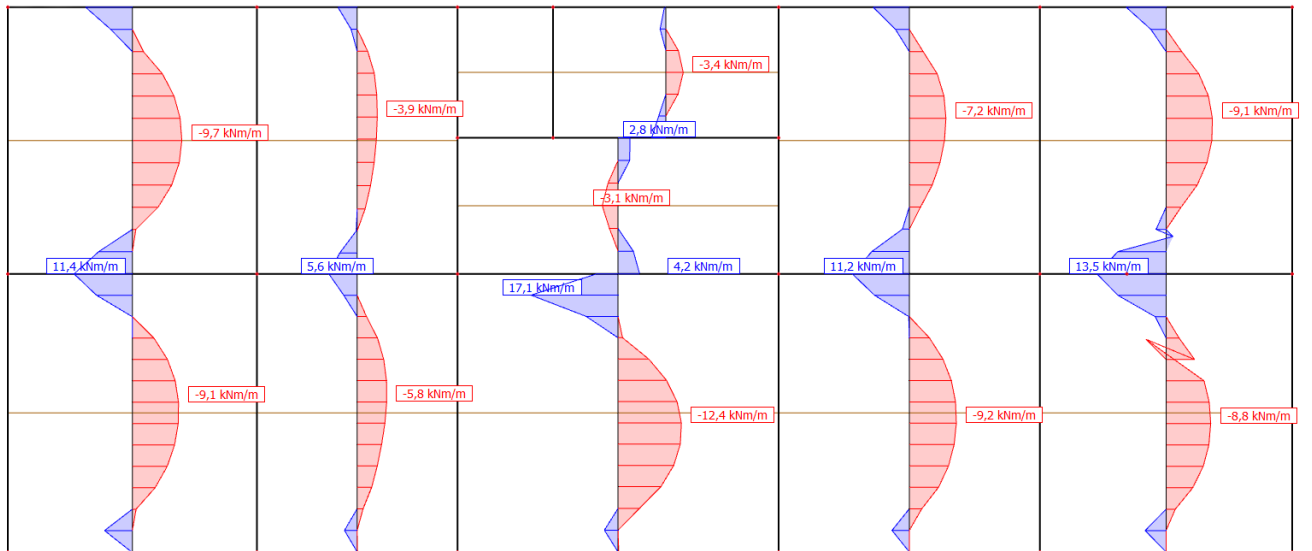
Pozicija 900 (ETAŽA 5)

2D internal forces
 Values: m_x
 Linear calculation
 Combination: Ručna GSN
 Extreme: Member
 Selection: SE505..SE514, SE525
 Filter: Layer = 5 Floor
 Location: In nodes avg., System: LCS
 mesh element



9.2 Prikaz momenata savijanja u X smjeru

2D internal forces
 Values: m_y
 Linear calculation
 Combination: Ručna GSN
 Extreme: Member
 Selection: SE504, SE515..SE524
 Filter: Layer = 5 Floor
 Location: In nodes avg., System: LCS
 mesh element



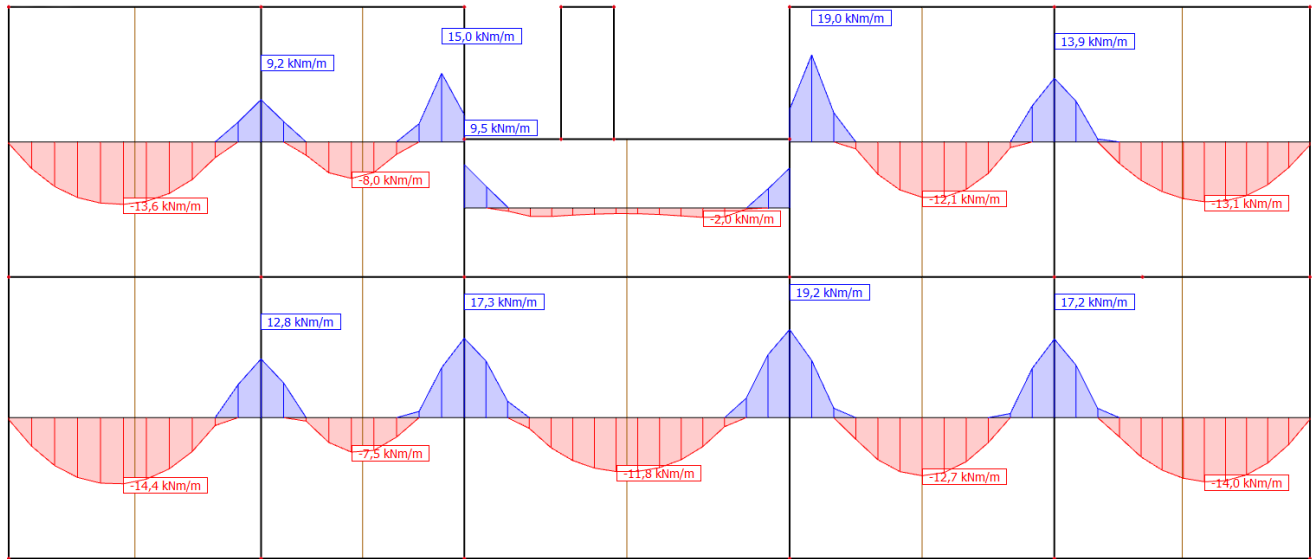
9.3 Prikaz momenata savijanja u Y smjeru

Tablica 9.1 Mjerodavne rezne sile

| | M _x | M _y | Med |
|-------|----------------|----------------|------|
| Polje | 10,0 | 12,4 | 12,4 |
| Ležaj | 15,6 | 17,1 | 17,1 |

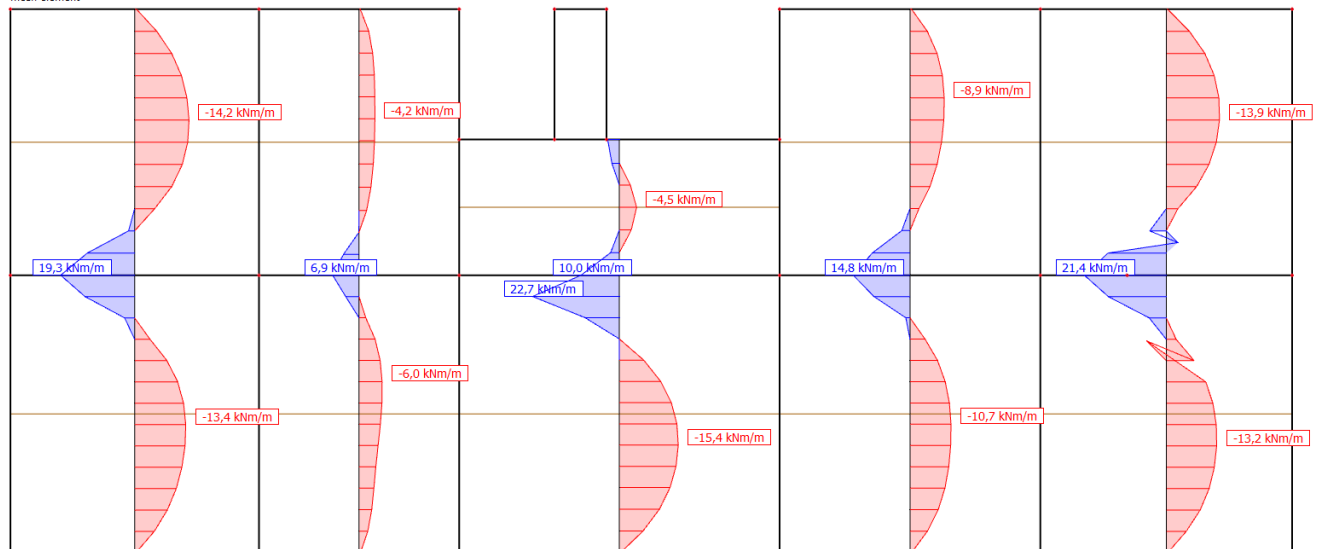
Pozicija 800 (ETAŽA 4)

2D internal forces
 Values: m_x
 Linear calculation
 Combination: Ručna GSN
 Extreme: Member
 Selection: SE485..SE494
 Filter: Layer = 4 Placa
 Location: In nodes avg., System: LCS
 mesh element



9.4 Prikaz momenata savijanja u X smjeru

2D internal forces
 Values: m_y
 Linear calculation
 Combination: Ručna GSN
 Extreme: Member
 Selection: SE484, SE495..SE503
 Filter: Layer = 4 Placa
 Location: In nodes avg., System: LCS
 mesh element



9.5 Prikaz momenata savijanja u Y smjeru

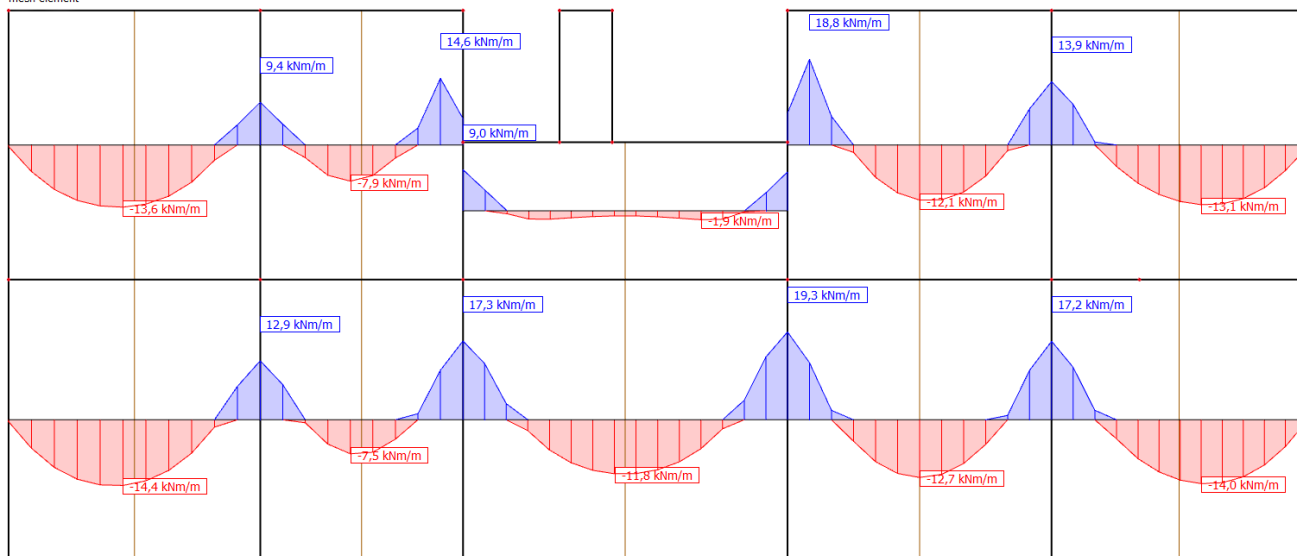
Tablica 9.2 Mjerodavne rezne sile

| | M _x | M _y | Med |
|-------|----------------|----------------|------|
| Polje | 14,8 | 15,4 | 15,4 |
| Ležaj | 22,5 | 24,2 | 24,2 |

Pozicija 700 (ETAŽA 3)

2D internal forces

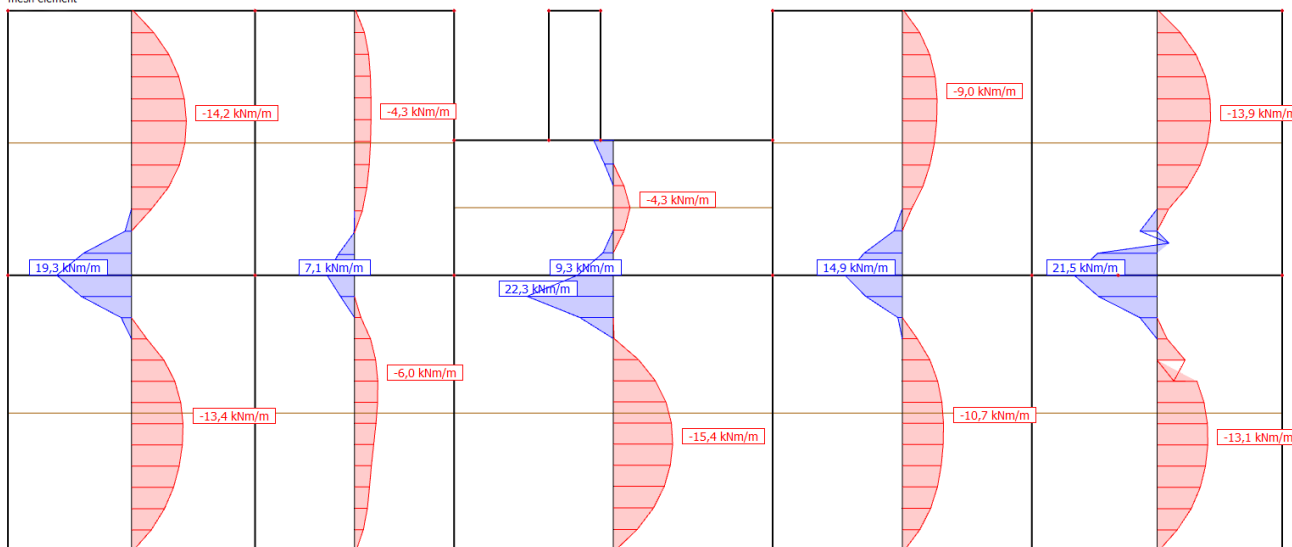
Values: mx
 Linear calculation
 Combination: Ručna GSN
 Extreme: Member
 Selection: SE465..SE474
 Filter: Layer = 3 Ploca
 Location: In nodes avg.. System: LCS
 mesh element



9.6 Prikaz momenata savijanja u X smjeru

2D internal forces

Values: my
 Linear calculation
 Combination: Ručna GSN
 Extreme: Member
 Selection: SE464, SE475..SE483
 Filter: Layer = 3 Ploca
 Location: In nodes avg.. System: LCS
 mesh element



9.7 Prikaz momenata savijanja u Y smjeru

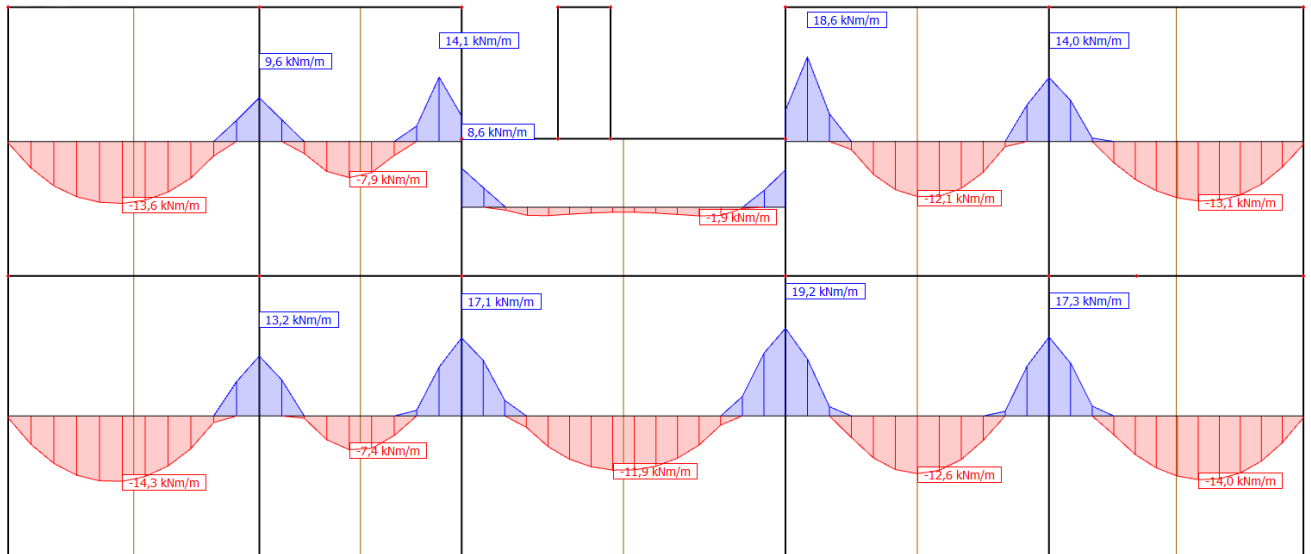
Tablica 9.3 Mjerodavne rezne sile

| | Mx | My | Med |
|-------|------|------|------|
| Polje | 14,8 | 15,4 | 15,4 |
| Ležaj | 22,5 | 24,2 | 24,2 |

Pozicija 600 (ETAŽA 2)

2D internal forces

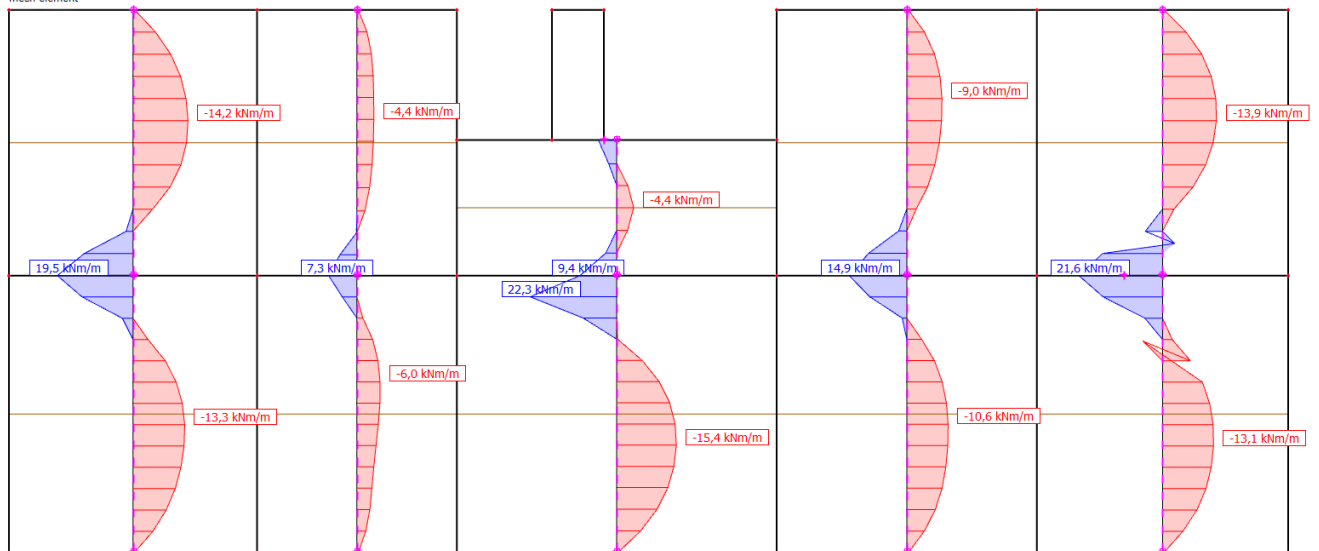
Values: m_x
 Linear calculation
 Combination: Ručna GSN
 Extreme: Member
 Selection: SE445, SE454
 Filter: Layer = 2 Ploča
 Location: In nodes avg., System: LCS
 mesh element



9.8 Prikaz momenata savijanja u X smjeru

2D internal forces

Values: m_y
 Linear calculation
 Combination: Ručna GSN
 Extreme: Member
 Selection: SE444, SE455, SE463
 Filter: Layer = 2 Ploča
 Location: In nodes avg., System: LCS
 mesh element



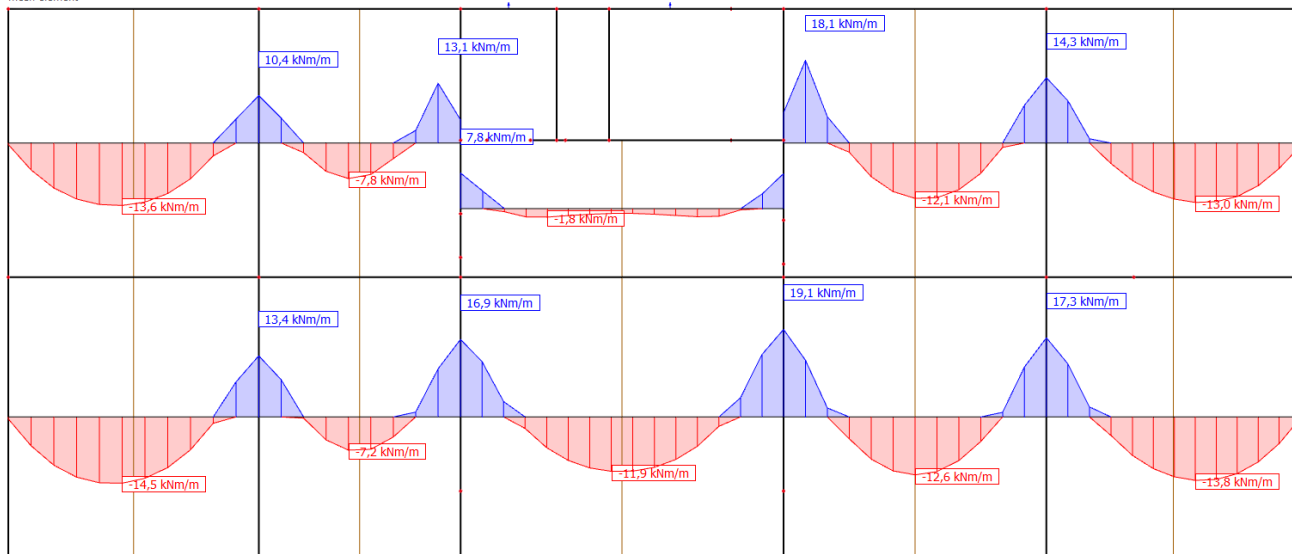
9.9 Prikaz momenata savijanja u Y smjeru

Tablica 9.4 Mjerodavne rezne sile

| | Mx | My | Med |
|-------|------|------|------|
| Polje | 14,8 | 15,4 | 15,4 |
| Ležaj | 22,5 | 24,2 | 24,2 |

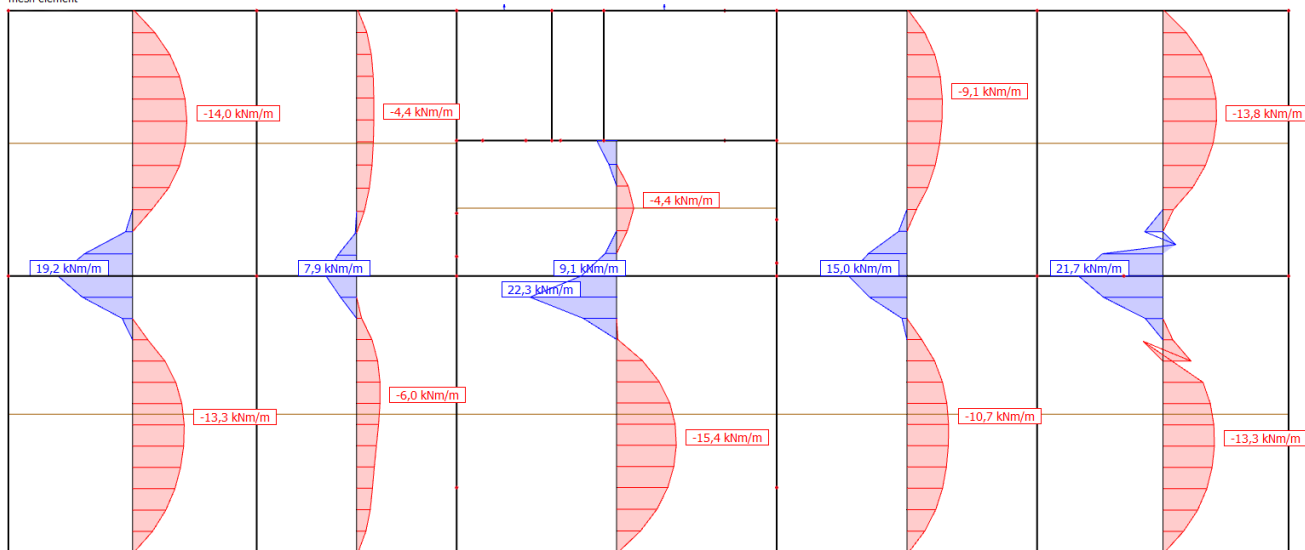
Pozicija 500 (ETAŽA 1)

2D internal forces
 Values: m_x
 Linear calculation
 Combination: Ručna GSN
 Extreme: Member
 Selection: SE424..SE433
 Filter: Layer = 1 Placa
 Location: In nodes avg.. System: LCS
 mesh element



9.10 Prikaz momenata savijanja u X smjeru

2D internal forces
 Values: m_y
 Linear calculation
 Combination: Ručna GSN
 Extreme: Member
 Selection: SE434..SE443
 Filter: Layer = 1 Placa
 Location: In nodes avg.. System: LCS
 mesh element



9.11 Prikaz momenata savijanja u Y smjeru

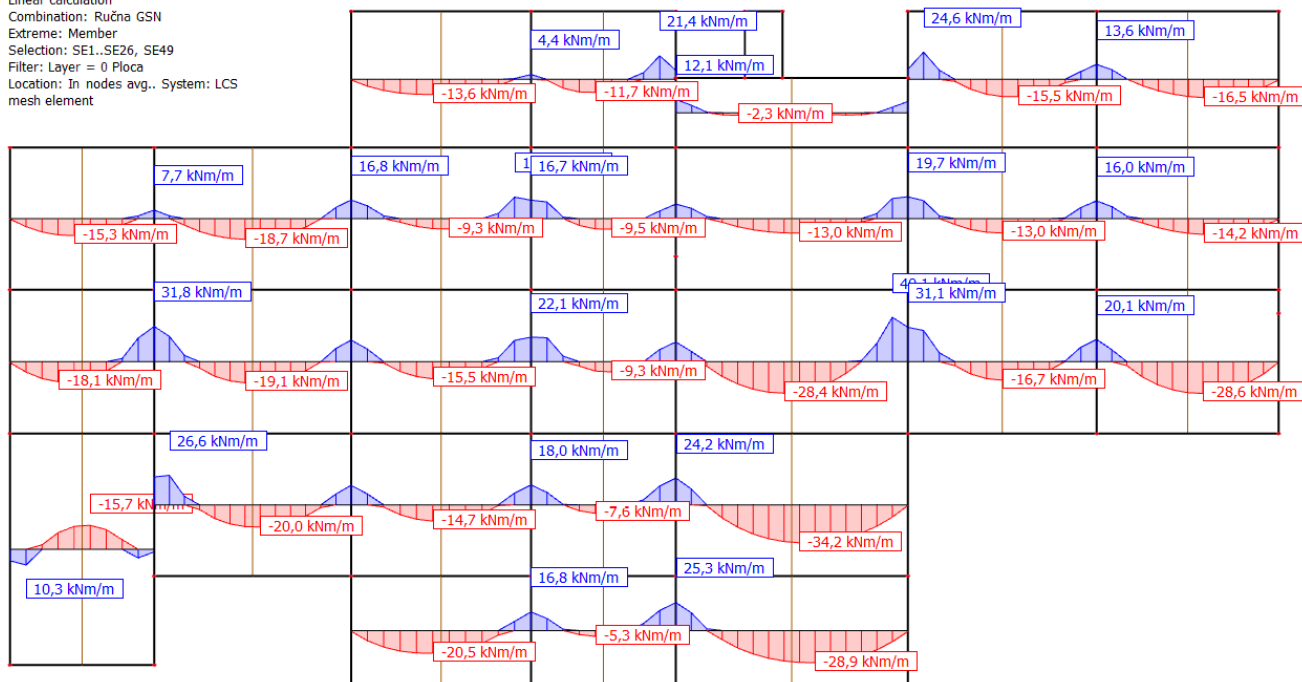
Tablica 9.5 Mjerodavne rezne sile

| | M_x | M_y | Med |
|-------|-------|-------|------|
| Polje | 14,8 | 15,4 | 15,4 |
| Ležaj | 22,5 | 24,2 | 24,2 |

Pozicija 400 (ETAŽA 0)

2D internal forces

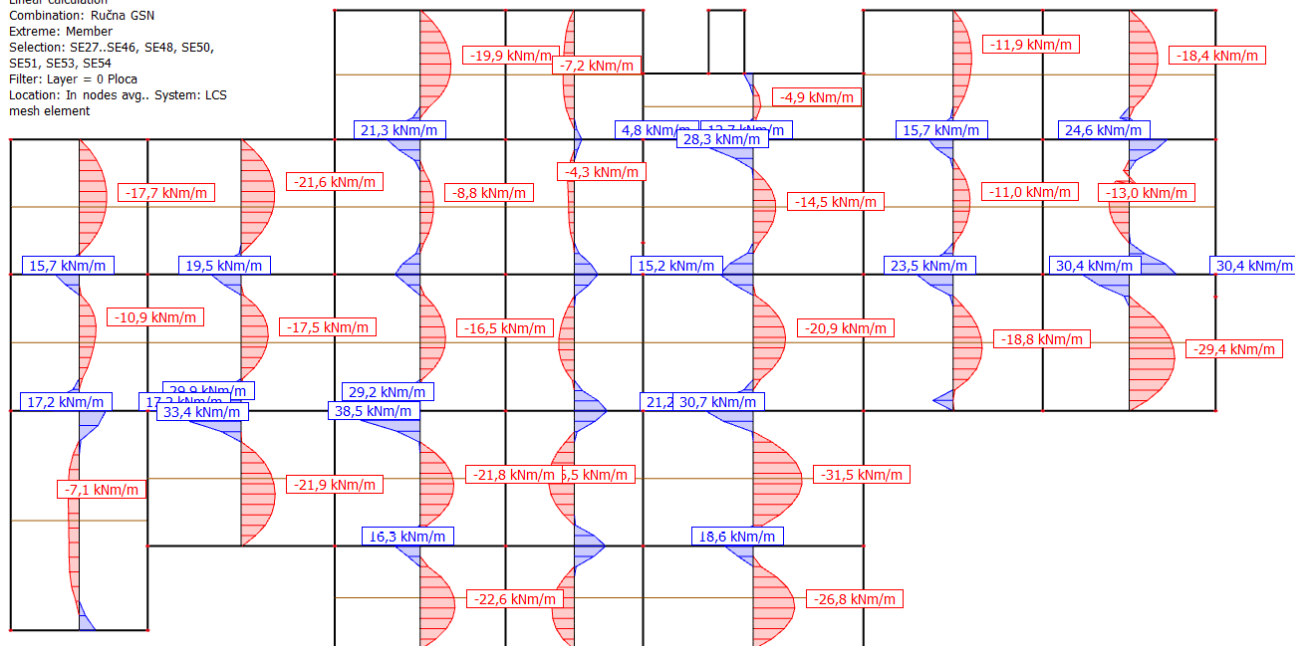
Values: m_x
 Linear calculation
 Combination: Ručna GSN
 Extreme: Member
 Selection: SE1..SE26, SE49
 Filter: Layer = 0 Ploca
 Location: In nodes avg.. System: LCS
 mesh element



9.12 Prikaz momenata savijanja u X smjeru

2D internal forces

Values: m_y
 Linear calculation
 Combination: Ručna GSN
 Extreme: Member
 Selection: SE27..SE46, SE48, SE50, SE51, SE53, SE54
 Filter: Layer = 0 Ploca
 Location: In nodes avg.. System: LCS
 mesh element



9.13 Prikaz momenata savijanja u Y smjeru

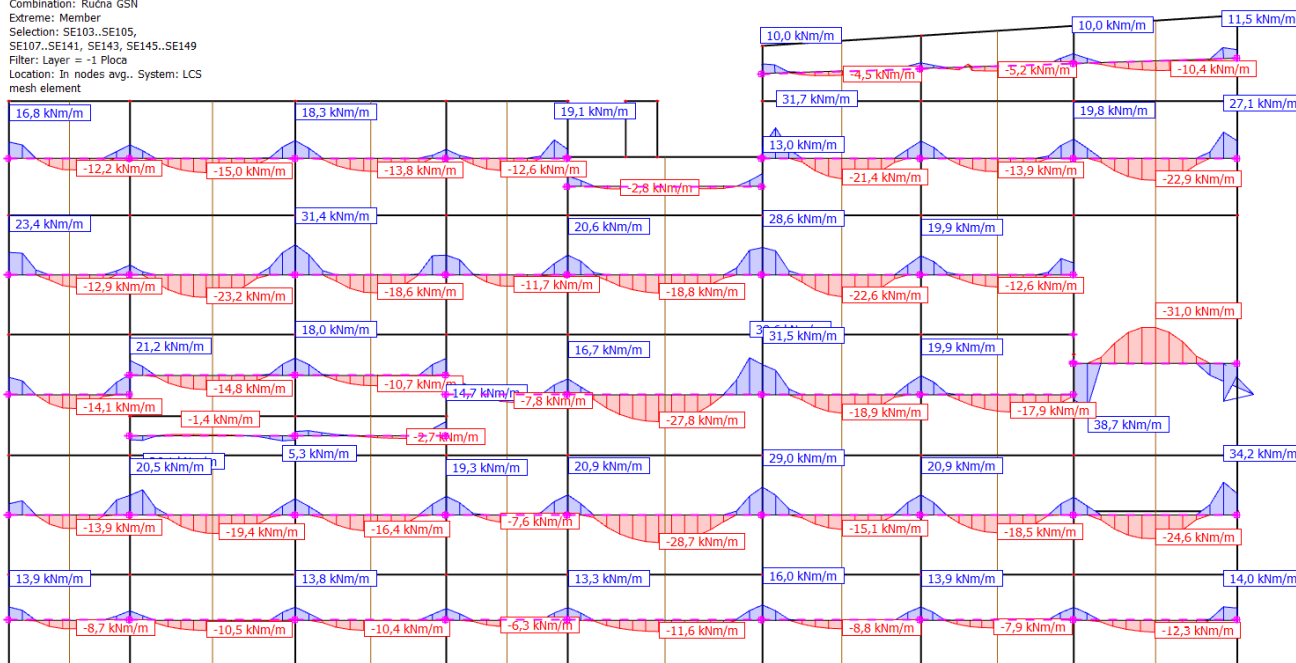
Tablica 9.6 Mjerodavne rezne sile

| | M_x | M_y | Med |
|-------|-------|-------|------|
| Polje | 34,6 | 31,8 | 34,6 |
| Ležaj | 40,5 | 39,7 | 40,5 |

Pozicija 300 (ETAŽA -1)

2D internal forces

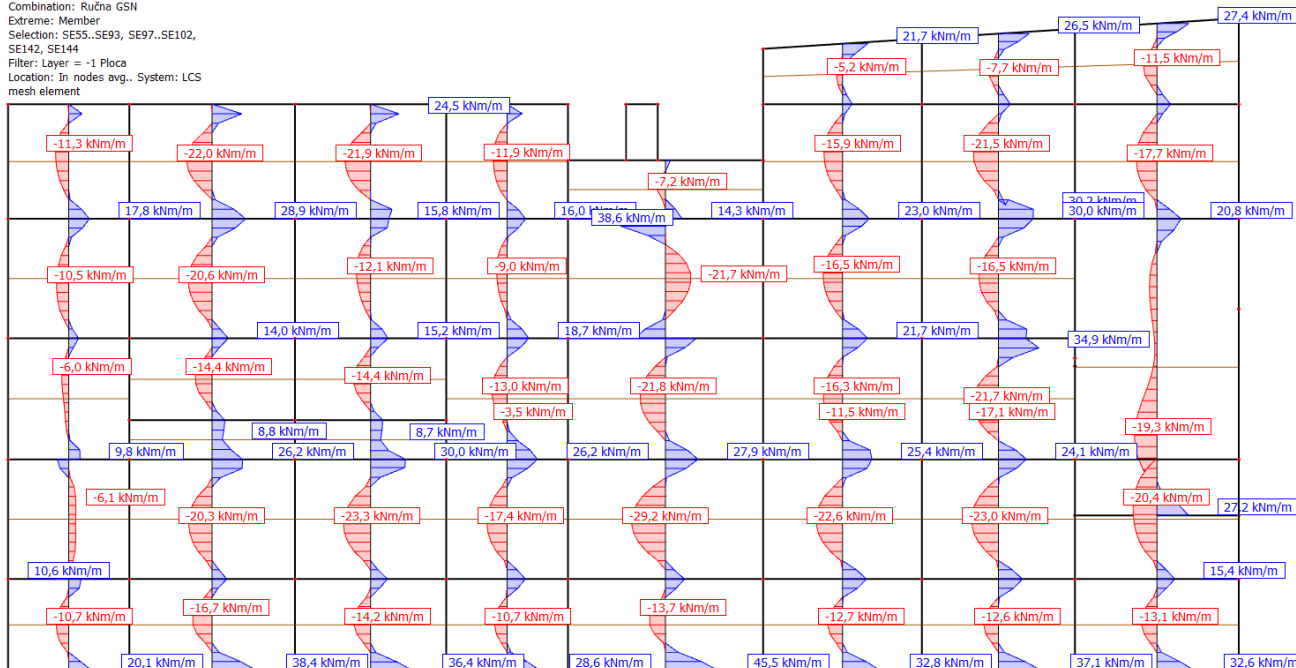
Values: mxx
 Linear calculation
 Combination: Ručna GSN
 Extreme: Member
 Selection: SE103..SE105,
 SE107..SE141, SE143, SE145..SE149
 Filter: Layer = -1 Placa
 Location: In nodes avg.. System: LCS
 mesh element



9.14 Prikaz momenata savijanja u X smjeru

2D internal forces

Values: myy
 Linear calculation
 Combination: Ručna GSN
 Extreme: Member
 Selection: SE55..SE93, SE97..SE102,
 SE142, SE144
 Filter: Layer = -1 Placa
 Location: In nodes avg.. System: LCS
 mesh element



9.15 Prikaz momenata savijanja u Y smjeru

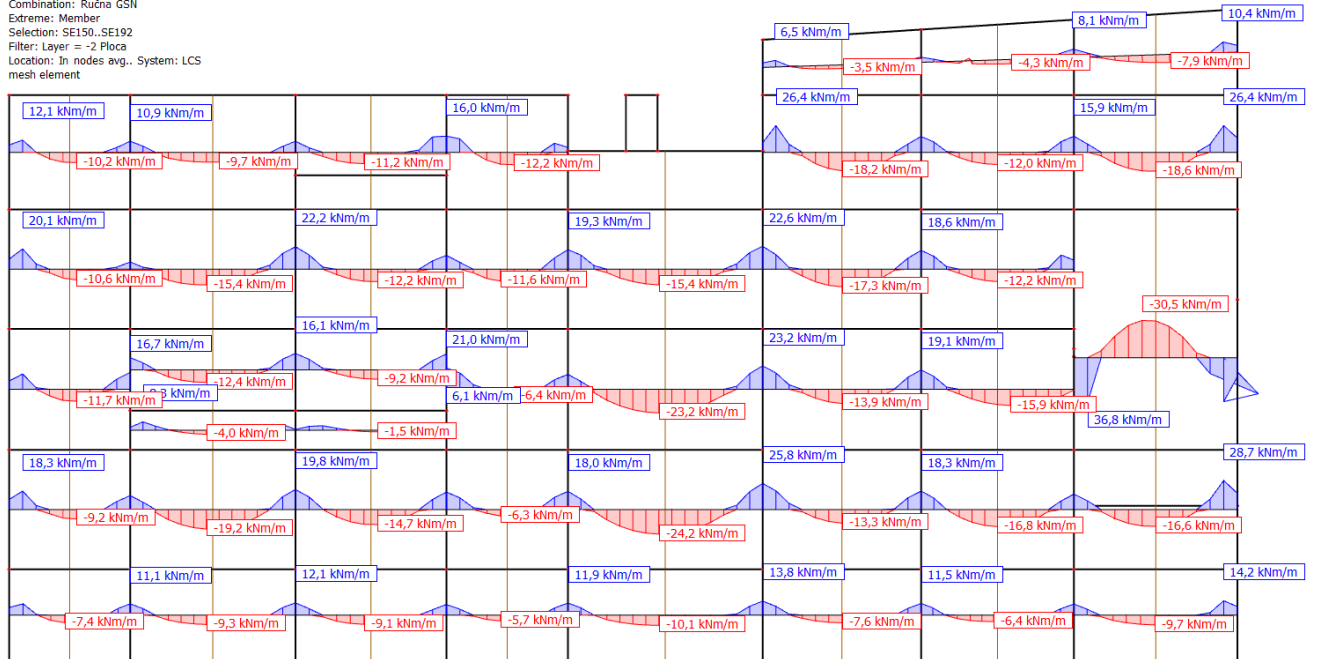
Tablica 9.7 Mjerodavne rezne sile

| | Mx | My | Med |
|-------|------|------|------|
| Polje | 31,0 | 29,2 | 31,0 |
| Ležaj | 42,2 | 45,7 | 45,7 |

Pozicija 200 (ETAŽA -2)

2D internal forces

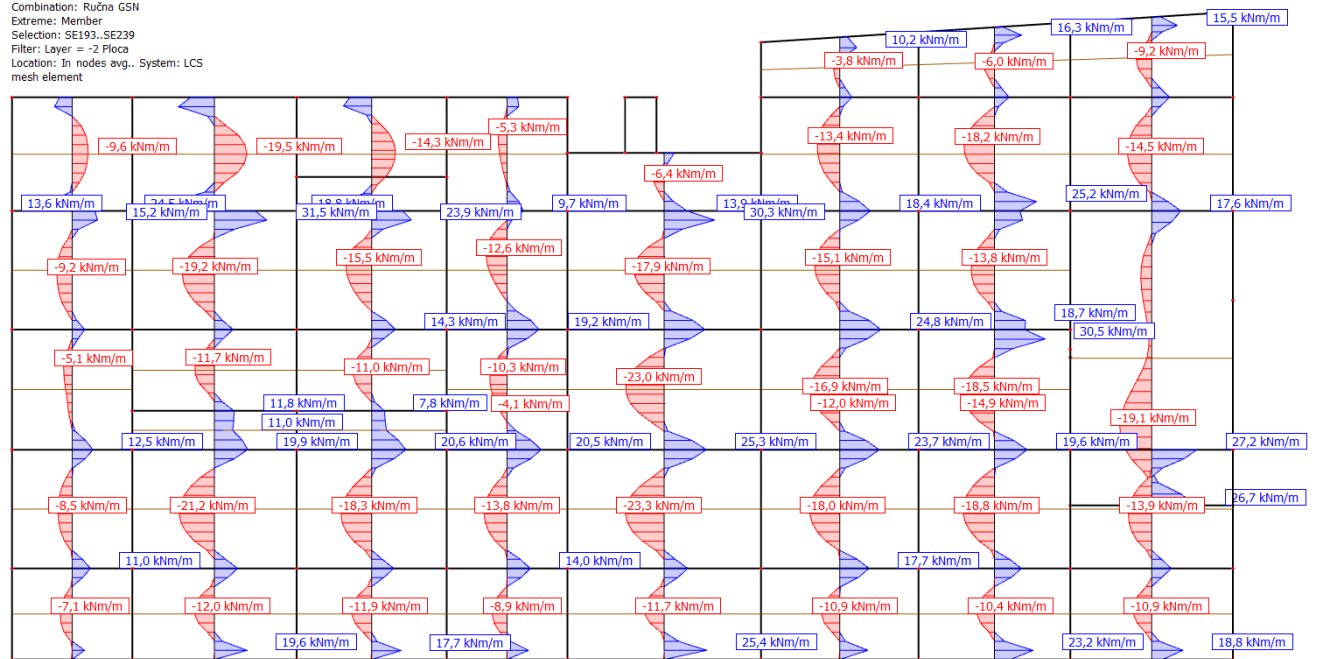
Values: mx
 Linear calculation
 Combination: Ručna GSM
 Extreme: Member
 Selection: SE150..SE192
 Filter: Layer = -2 Ploca
 Location: In nodes avg.. System: LCS
 mesh element



9.16 Prikaz momenata savijanja u X smjeru

2D internal forces

Values: my
 Linear calculation
 Combination: Ručna GSM
 Extreme: Member
 Selection: SE193..SE239
 Filter: Layer = -2 Ploca
 Location: In nodes avg.. System: LCS
 mesh element



9.17 Prikaz momenata savijanja u Y smjeru

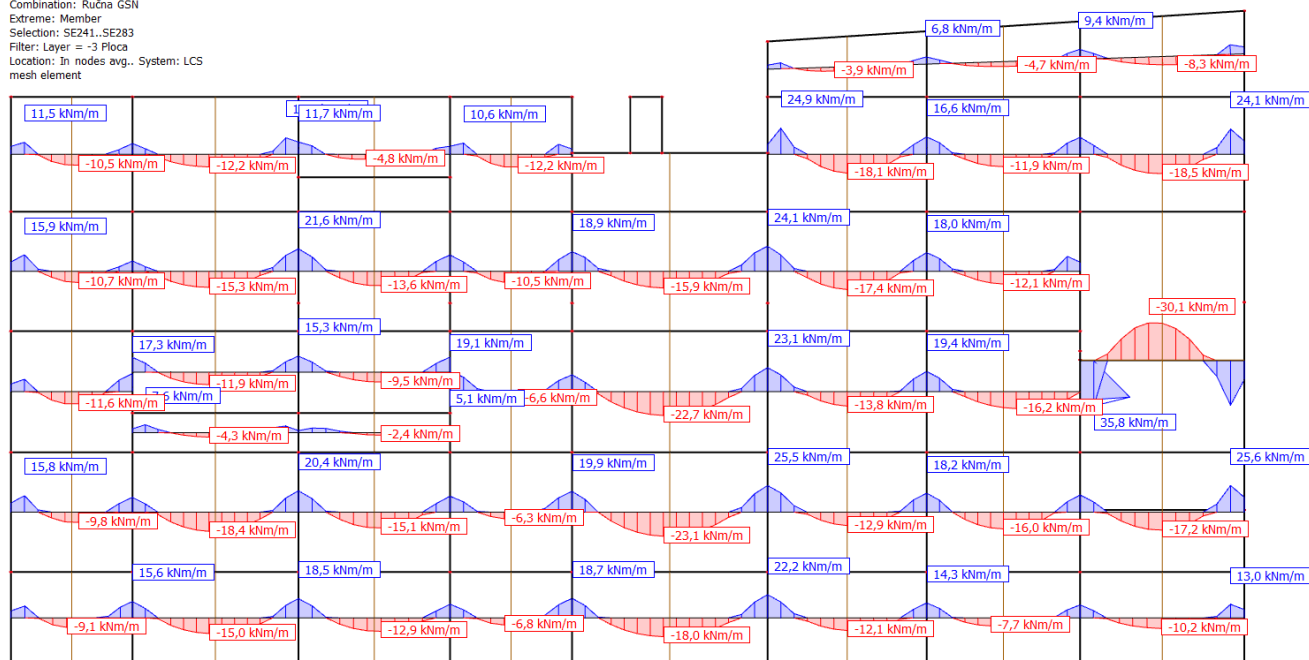
Tablica 9.8 Mjerodavne rezne sile

| | Mx | My | Med |
|-------|------|------|------|
| Polje | 30,5 | 23,3 | 30,5 |
| Ležaj | 25,8 | 31,5 | 31,5 |

Pozicija 100 (ETAŽA -3)

2D internal forces

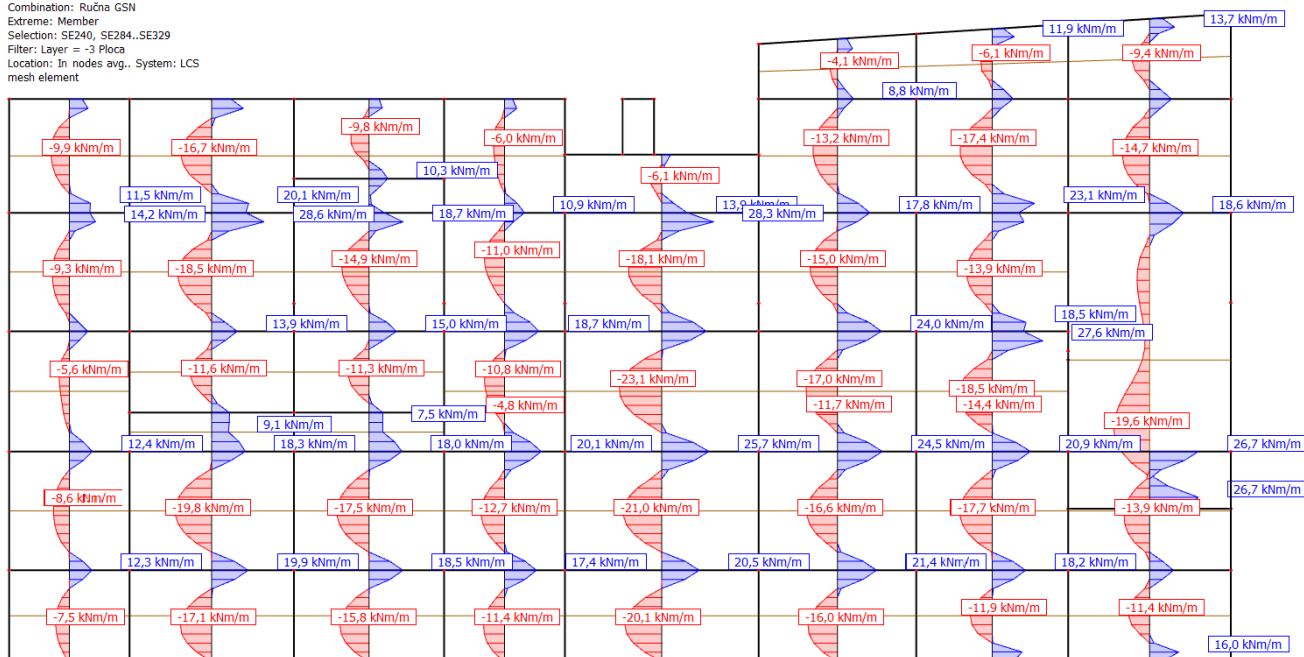
Values: m
 Linear calculation
 Combination: Ručna GSN
 Extreme: Member
 Selection: SE241..SE283
 Filter: Layer = -3 Ploca
 Location: In nodes avg., System: LCS
 mesh element



9.18 Prikaz momenata savijanja u X smjeru

2D internal forces

Values: My
 Linear calculation
 Combination: Ručna GSN
 Extreme: Member
 Selection: SE240, SE284..SE329
 Filter: Layer = -3 Ploca
 Location: In nodes avg., System: LCS
 mesh element



9.19 Prikaz momenata savijanja u Y smjeru

Tablica 9.9 Mjerodavne rezne sile

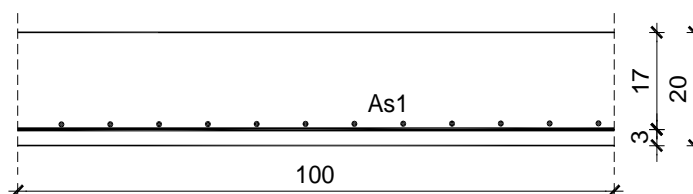
| | Mx | My | Med |
|-------|------|------|------|
| Polje | 30,1 | 23,1 | 36,1 |
| Ležaj | 30,5 | 26,7 | 30,5 |

9.1.3. DIMENZIONIRANJE

Ploče $d=18.0$ cm i $d=15.0$ cm

Radi pojednostavljenja proračuna, sve su ploče, zajedno s pripadajućim gredama modelirane u programskom paketu SCIA ENGINEER 22.0. Izlazni rezultati za ploče i grede prikazani su na stranicama u nastavku.

U sljedećoj tablici prikazani su ultimativni momenti nosivosti za odabranu armaturu za dimenzije ploče prema skici:



Postupak dimenzioniranja:

$$C\ 30/37 \quad f_{cd} = \frac{f_{ck}}{\gamma_c} = \frac{30}{1.5} = 20.0\ \text{MPa}; \quad f_{cd} = 2.00\ \text{kN/cm}^2$$

$$B500B; \quad f_{yd} = \frac{f_{yk}}{\gamma_s} = \frac{500}{1.15} = 435.0\ \text{MPa}; \quad f_{yd} = 43.5\ \text{kN/cm}^2$$

$$b=100\ \text{cm}; \quad h=18\ \text{cm}; \quad d=15\ \text{cm}$$

$$\mu_{Rd,lim} = 0.276; \quad \zeta_{lim} \approx 0.829 \quad \varepsilon_c / \varepsilon_s = 3.5/5.0\text{‰}$$

$$M_{Rd,c} = \mu_{Rd,lim} b d^2 f_{cd} = 0.276 \cdot b d^2 f_{cd}$$

$$M_{Rd,s} = A_s \zeta_{lim} d f_{yd}$$

Tablica 9.10 Potrebna armatura u ovisnosti o limitirajućem moment

| Armatura | Površina | Moment nosivosti | Moment nosivosti | Postotak armature |
|----------------|-----------------------|-------------------|---------------------|-------------------|
| | A_{s1} | betona $M_{Rd,c}$ | armature $M_{Rd,s}$ | |
| | [cm ² /m'] | [kNm/m'] | [kNm/m'] | % |
| Ø 8/10 | 5,03 | 124,20 | 27,21 | 0,28 |
| Ø 10/10 | 7,85 | 124,20 | 42,46 | 0,44 |
| Ø 12/10 | 11,31 | 124,20 | 61,18 | 0,63 |
| Ø 14/10 | 15,39 | 124,20 | 83,25 | 0,86 |
| 2x Q 785 | 15,70 | 124,20 | 84,92 | 0,87 |
| Q 785 + Ø10/10 | 15,70 | 124,20 | 84,92 | 0,87 |
| Q 785 + Ø14/20 | 15,55 | 124,20 | 84,11 | 0,86 |

b=100 cm; h=15 cm; d=12 cm

Tablica 9.11 Potrebna armatura u ovisnosti o limitirajućem moment

| Armatura | Površina A_{s1} | Moment nosivosti betona $M_{Rd,c}$ | Moment nosivosti armature $M_{Rd,s}$ | Postotak armature |
|----------------|-----------------------|---------------------------------------|---|----------------------|
| | [cm ² /m'] | [kNm/m'] | [kNm/m'] | % |
| Ø 8/10 | 5,03 | 79,49 | 21,77 | 0,34 |
| Ø 10/10 | 7,85 | 79,49 | 33,97 | 0,52 |
| Ø 12/10 | 11,31 | 79,49 | 48,94 | 0,75 |
| Ø 14/10 | 15,39 | 79,49 | 66,60 | 1,03 |
| 2x Q 785 | 15,70 | 79,49 | 67,94 | 1,05 |
| Q 785 + Ø10/10 | 15,70 | 79,49 | 67,94 | 1,05 |
| Q 785 + Ø14/20 | 15,55 | 79,49 | 67,29 | 1,04 |

b=100 cm; h=35 cm; d=33 cm

Tablica 9.12 Potrebna armatura u ovisnosti o limitirajućem momentu

| Armatura | Površina A_{s1} | Moment nosivosti betona $M_{Rd,c}$ | Moment nosivosti armature $M_{Rd,s}$ | Postotak armature |
|----------------|-----------------------|---------------------------------------|---|----------------------|
| | [cm ² /m'] | [kNm/m'] | [kNm/m'] | % |
| Ø 8/10 | 5,03 | 601,13 | 59,86 | 0,14 |
| Ø 10/10 | 7,85 | 601,13 | 93,42 | 0,22 |
| Ø 12/10 | 11,31 | 601,13 | 134,59 | 0,32 |
| Ø 14/10 | 15,39 | 601,13 | 183,15 | 0,44 |
| 2x Q 785 | 15,70 | 601,13 | 186,83 | 0,45 |
| Q 785 + Ø10/10 | 15,70 | 601,13 | 186,83 | 0,45 |
| Q 785 + Ø14/20 | 15,55 | 601,13 | 185,05 | 0,44 |

Tablica 9.13 Mjerodavne rezne sile

| | | | | | | | | | | |
|--------------|------|------|------|------|------|------|------|------|------|------|
| Ploče d (cm) | 15 | 15 | 15 | 15 | 15 | 18 | 18 | 18 | 18 | 35 |
| Pozicija | 900 | 800 | 700 | 600 | 500 | 400 | 300 | 200 | 100 | 000 |
| Med (POLJE) | 14,9 | 18,5 | 18,5 | 18,5 | 18,5 | 41,5 | 37,2 | 36,6 | 36,1 | 32,7 |
| Med (LEŽAJ) | 17,1 | 24,2 | 24,2 | 24,2 | 24,2 | 40,5 | 45,7 | 31,5 | 30,5 | 30,7 |

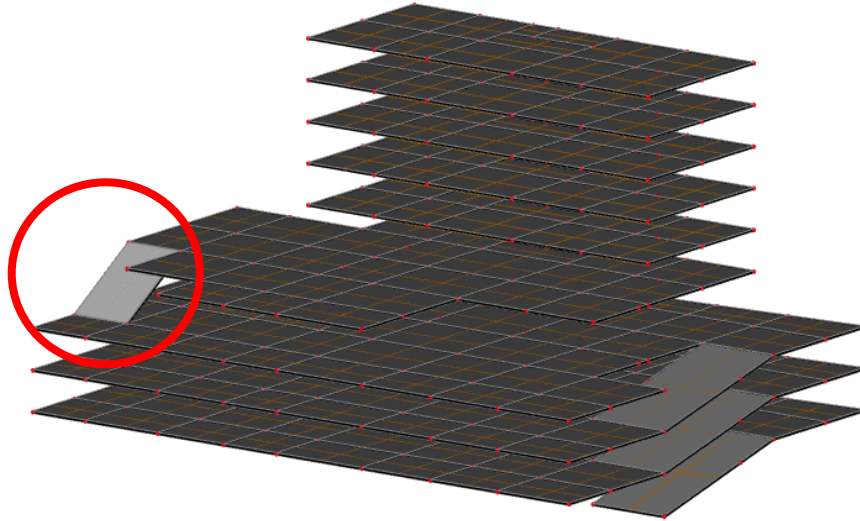
Tablica 9.14 Usvojena armatura po pozicijama

| | | | | | | | | | | |
|----------------------|-------|-------|-------|-------|-------|--------|--------|--------|--------|--------|
| Ploče d (cm) | 15 | 15 | 15 | 15 | 15 | 18 | 18 | 18 | 18 | 35 |
| Pozicija | 900 | 800 | 700 | 600 | 500 | 400 | 300 | 200 | 100 | 000 |
| As, odabrano (POLJE) | Q 503 | Q 503 | Q 503 | Q 503 | Q 503 | φ12/10 | φ12/10 | φ12/10 | φ12/10 | φ12/10 |
| As, odabrano (LEŽAJ) | Q 503 | Q 503 | Q 503 | Q 503 | Q 503 | φ12/10 | φ12/10 | φ12/10 | φ12/10 | φ12/10 |

Na svim pozicijama gornju zonu u osnovi armirati sa Q196 dok je preko oslonaca potrebno usvojiti armaturu za ležaj prema tablici.

9.2. STUBIŠTE

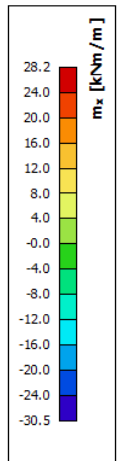
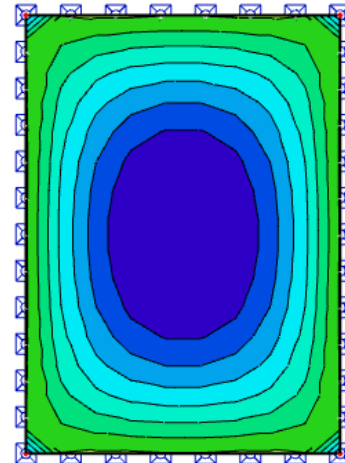
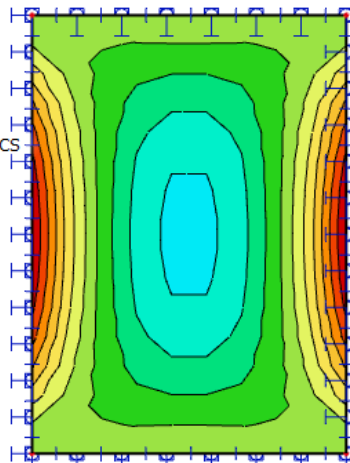
Stepenice na poziciji 400 (ETAŽA 0)



9.21 Stepenice na poziciji 400 (etaža 0)

2D internal forces

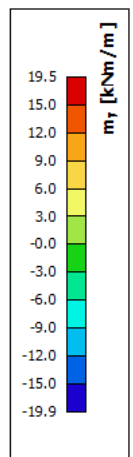
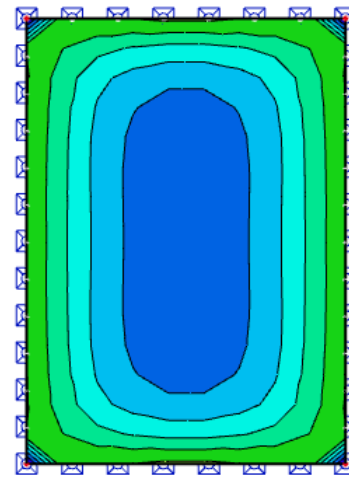
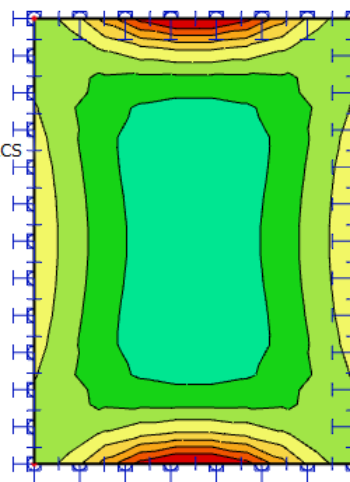
Values: m_x
 Linear calculation
 Combination: Ručna GSN
 Extreme: Member
 Selection: All
 Location: In nodes avg., System: LCS
 mesh element



9.20 Prikaz momenata savijanja u X smjeru

2D internal forces

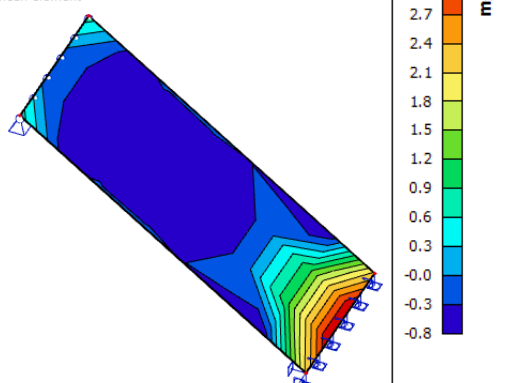
Values: m_y
 Linear calculation
 Combination: Ručna GSN
 Extreme: Member
 Selection: All
 Location: In nodes avg., System: LCS
 mesh element



9.22 Prikaz momenata savijanja u Y smjeru

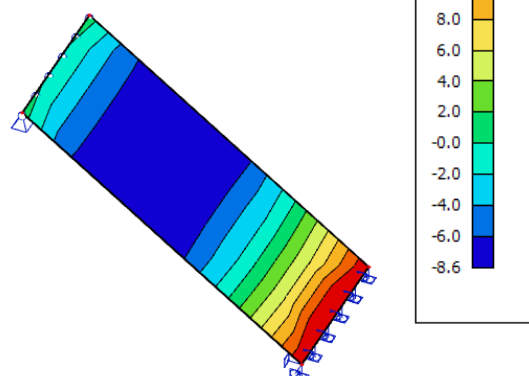
Stubište unutar objekta

2D internal forces
 Values: m_x
 Linear calculation
 Combination: Ručna GSN
 Extreme: Member
 Selection: S1314
 Location: In nodes avg.. System: LCS
 mesh element



9.23 Prikaz momenata savijanja u X smjeru

2D internal forces
 Values: m_y
 Linear calculation
 Combination: Ručna GSN
 Extreme: Member
 Selection: S1314
 Location: In nodes avg.. System: LCS
 mesh element



9.24 Prikaz momenata savijanja u Y smjeru

| | | |
|-------------------|------|---------|
| Ploče d (cm) | 18 | 18 |
| Pozicija | 400 | 100-900 |
| M_{max} (POLJE) | 30 | 8,6 |
| M_{max} (LEŽAJ) | 28,2 | 15,8 |

b=100 cm;**h=18 cm; d=15 cm**

| Armatura | Površina A_{s1} | Moment nosivosti betona $M_{Rd,c}$ | Moment nosivosti armature $M_{Rd,s}$ | Postotak armature |
|----------|----------------------|---------------------------------------|---|----------------------|
| | [cm^2/m'] | [kNm/m'] | [kNm/m'] | % |
| Ø 8/15 | 3,35 | 124,20 | 18,12 | 0,19 |
| Ø 8/10 | 5,03 | 124,20 | 27,21 | 0,28 |
| Ø 9/10 | 6,36 | 124,20 | 34,40 | 0,35 |
| Ø 10/10 | 7,85 | 124,20 | 42,46 | 0,44 |
| Ø 12/10 | 11,31 | 124,20 | 61,18 | 0,63 |
| Ø 14/10 | 15,39 | 124,20 | 83,25 | 0,86 |
| 2x Q 785 | 15,70 | 124,20 | 84,92 | 0,87 |

| | | |
|--------------------------|-------|---------|
| Ploče d (cm) | 18 | 18 |
| Pozicija | 400 | 100-900 |
| A_s , odabrano (POLJE) | Q 636 | Q 335 |
| A_s , odabrano (LEŽAJ) | Q 636 | Q 335 |

Stepenice na poziciji 400 su omeđene armirano betonskim zidovima te su kao takve proračunate kao da je ostvarena upetost između rubnih elemenata i stepenica. S obzirom na moguće anomalije prikazane su unutarnje sile i za slučaj kada stepenice nemaju punu upetost po obodu i taj slučaj je uzet kao mjerodavan za usvojenu armaturu u polju dok je model s punom upetosti po rubovima

mjerodavan za armaturu gornje zone ovih stepenica. Stubište kroz objekt potrebno je izvesti bez upetosti na kontaktu s bočnim zidovima i armirati ga armaturom usvojenom u tablici. U nastavku su prikazani rezultati proračuna na Prostornom modelu - proračun na potres, za zidove (označeno po osima).

Dokaz nosivosti i proračun potrebne armature provodi se prema slijedećem:

1/Kontroliraju se tlačna naprezanja u zidu za nazovistalnu kombinaciju

$$1.0G + \Psi 2i \cdot Qi \text{ za beton C30/37 } \sigma_c, \text{ GSU2}(1.0G + 0.30Q) \leq 0.45 f_{ck} = 0.45 \cdot 30 = 13.5 \text{ Mpa}$$

2/ Kontroliraju se tlačna naprezanja u zidu za mjerodavnu potresnu kombinaciju

3/ Proračunava se potrebna armatura:

Potrebna površina se određuje prema slijedećem: $A_s = (n_{Ed} / f_{yd}) [\text{cm}^2/\text{m}]$ – vertikalna armatura

4/ Provjerava se računski nosivost na poprečnu silu:

Debljina zida prema EC-8 treba biti:

$$B_{w0} \geq \max\left(0,15; \frac{h_s}{20}\right)$$

Visina kritičnog područja: $h_{kr} = \max(2 \cdot l_w, h_w/6) < h_s$

Proračunska ovojnica poprečnih sila V_{sd} izvodi se iz $V_{ed} = \varepsilon \cdot V'_{ed}$

gdje je V_{ed} poprečna sila po visini zida dobivena proračunom, a ε faktor uvećanja te za klasu duktilnosti DCM vrijedi $\varepsilon = 2,64$

Slom tlačne dijagonale U kritičnom području:

$$V_{ed} \leq V_{Rd, \max} = 0,3 \cdot (1 - f_{ck} / 250) \cdot f_{cd} \cdot b_w \cdot z \cdot \sin 2\theta, \text{ gdje je } 1 \leq \text{ctg}\theta \leq 2,5$$

Izvan kritičnog područja:

$$V_{ed} \leq V_{Rd, \max} = \frac{\alpha_{cw} \cdot b_{w0} \cdot v_1 \cdot z \cdot f_{cd}}{\text{ctg}\theta + \text{tg}\theta}$$

Slom vlačne dijagonale

Postupak ovisi o koeficijentu α_s

Ako zid nosi izrazito posmično potrebno je da je:

$$V_{ed} \leq [\rho_h \cdot f_{yd,h} \cdot (\alpha_s - 0,3) + \rho_v \cdot f_{yd,v} \cdot (1,3 - \alpha_s)] \cdot b_{w0} \cdot z$$

Minimalna armatura zida iznosi:**Za visoke zidove (za koje je $H/L > 2$):**

po duljini zida: $A_{s,sred,min} = 0.002 \cdot t/2$ [cm²/m] (obostrano)

za zid debljine $t=25$ cm: $A_{s,sred,min} = 0.002 \cdot 25 \cdot 100/2 = 2.5$ [cm²/m] - **Q-283(obostrano)**

na krajevima zida: $A_{s,kraj,min} = 0.001 \cdot t \cdot L$ [cm²/m] (obostrano)

Za niske zidove (za koje je $H/L < 2$)

samo po duljini zida: $A_{s,sred,min} = 0.002 \cdot t/2$ [cm²/m] (obostrano)

Za izrazito visoke zidove – stupove

Minimalna armatura stupa iznosi: $A_{a,min} = (1/100) A_c$

Razmak vilica je $e_w = 15$ cm

Za zidove koji se dominantno deformiraju savojno određuje se minimalna armatura:

Kritično područje: $\min \{2L_w, h_s\} \geq h_{cr} \geq \max \{L_w, h_w/6\}$, (L_w =duljina zida, h_w =ukupna visina zida, h_s =svijetla katna visina)

Minimalno armiranje:

na krajevima zida:

vertikalno: $\rho_{min} = 0.5\%$ od površine $A_c = L_c \cdot b_w$ ($L_c = \max \{0.15 L_w, 1.5 b_w\}$)

spone: min $\emptyset 6$; max. razmak: $\min \{8dbL, b_o/2, 175 \text{ mm}\}$ (dbL =promjer vert. šipki;

b_o =širina jezgre)

ostali dio zida:

vertikalno: $\rho_{min} = 0.2\%$ horizontalno: $\rho_{min} = 0.2\%$

spone: min $4\emptyset 6/m^2$

Za zidove koji se dominantno deformiraju posmično određuje se minimalna armatura:

Lagano armirani zidovi $L_w \geq \min \{4 \text{ m}, 2/3h_w\}$

Najmanji omjer poprečne armature $\rho_{w,\min}$ velikih slabo armiranih betonskih zidova:

$$\rho_{w,\min} = 0.15 \cdot (f_{ct,m}/f_{yd}).$$

$$C 30/37 (f_{ct,m} = 2.9 \text{ MPa}); B 500B (f_y = 500 \text{ MPa}); \rho_{w,\min} = 0.15 \cdot (2.9/435) = 0.001$$

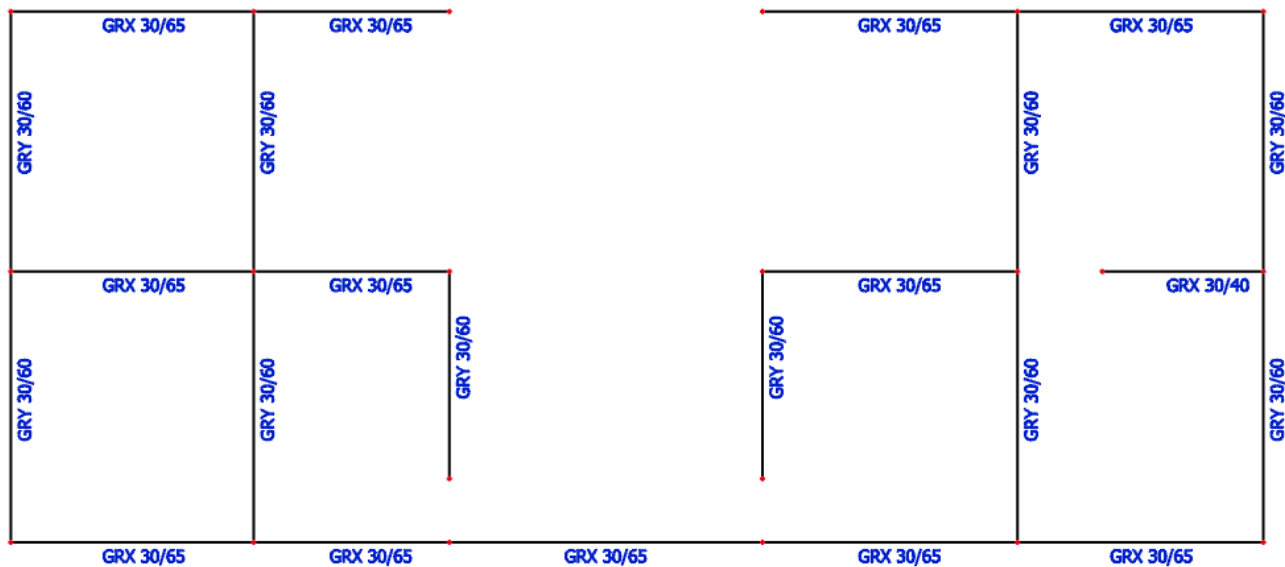
$$b = 25 \text{ cm}; A_{s,\min} = 0.0009 \cdot 25 \cdot 100/2 = 1,125 \text{ cm}^2/\text{m obostrano}$$

Sve zidove armirati minimalnom armaturom Q-283.

Napomena: Visokostijene nosače i ploču ispod nosača potrebno neprekidno držati poduprtu sve do očvršćenja visokostijelih nosača kroz sve etaže, ukoliko nije naglašeno drugačije ispod proračuna pojedine pozicije. Relevantni rezultati za proračun visokostijelih nosača i zidova izvađeni su iz proračunskog modela.

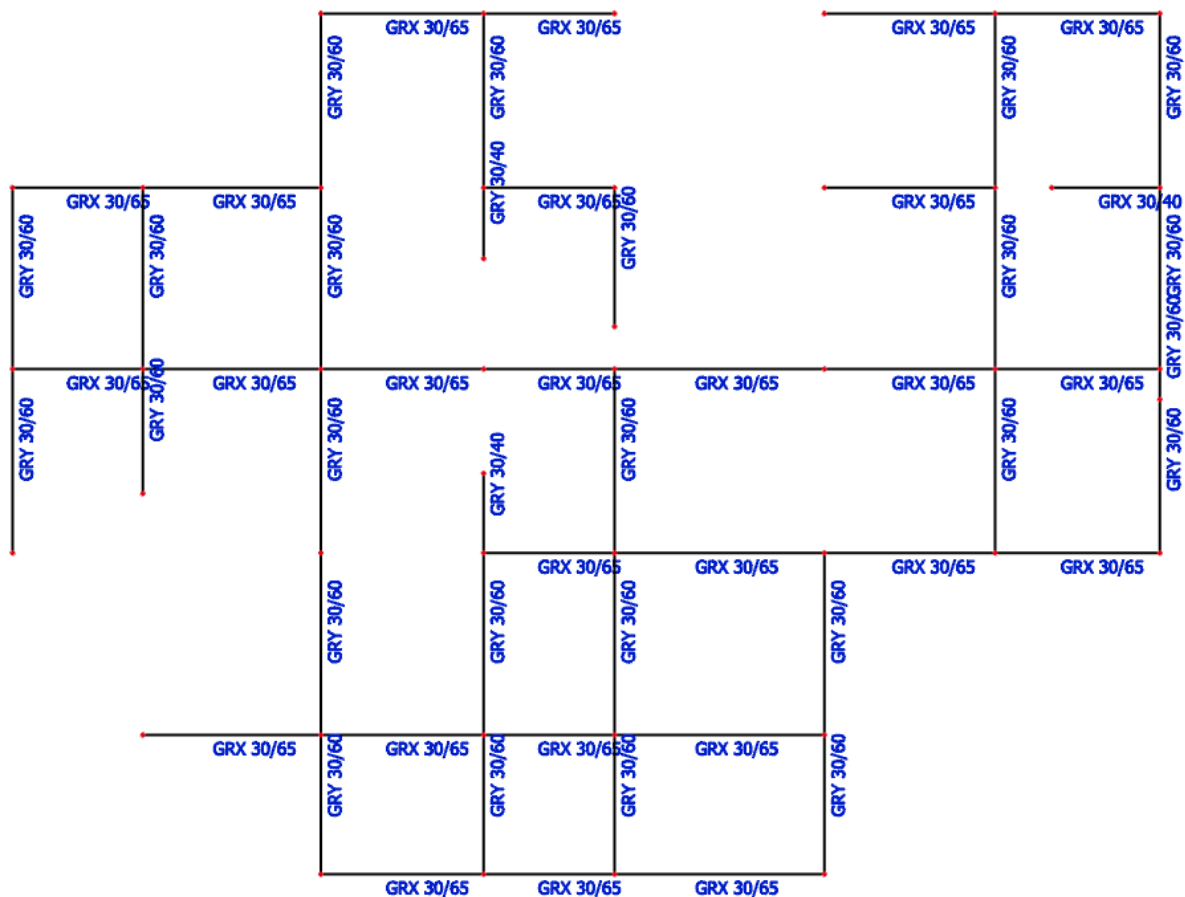
9.3. PRIKAZ POPREČNIH PRESJEKA GREDA PO ETAŽAMA

POZICIJA 900,800,700,600,500 (ETAŽE 5,4,3,2,1)



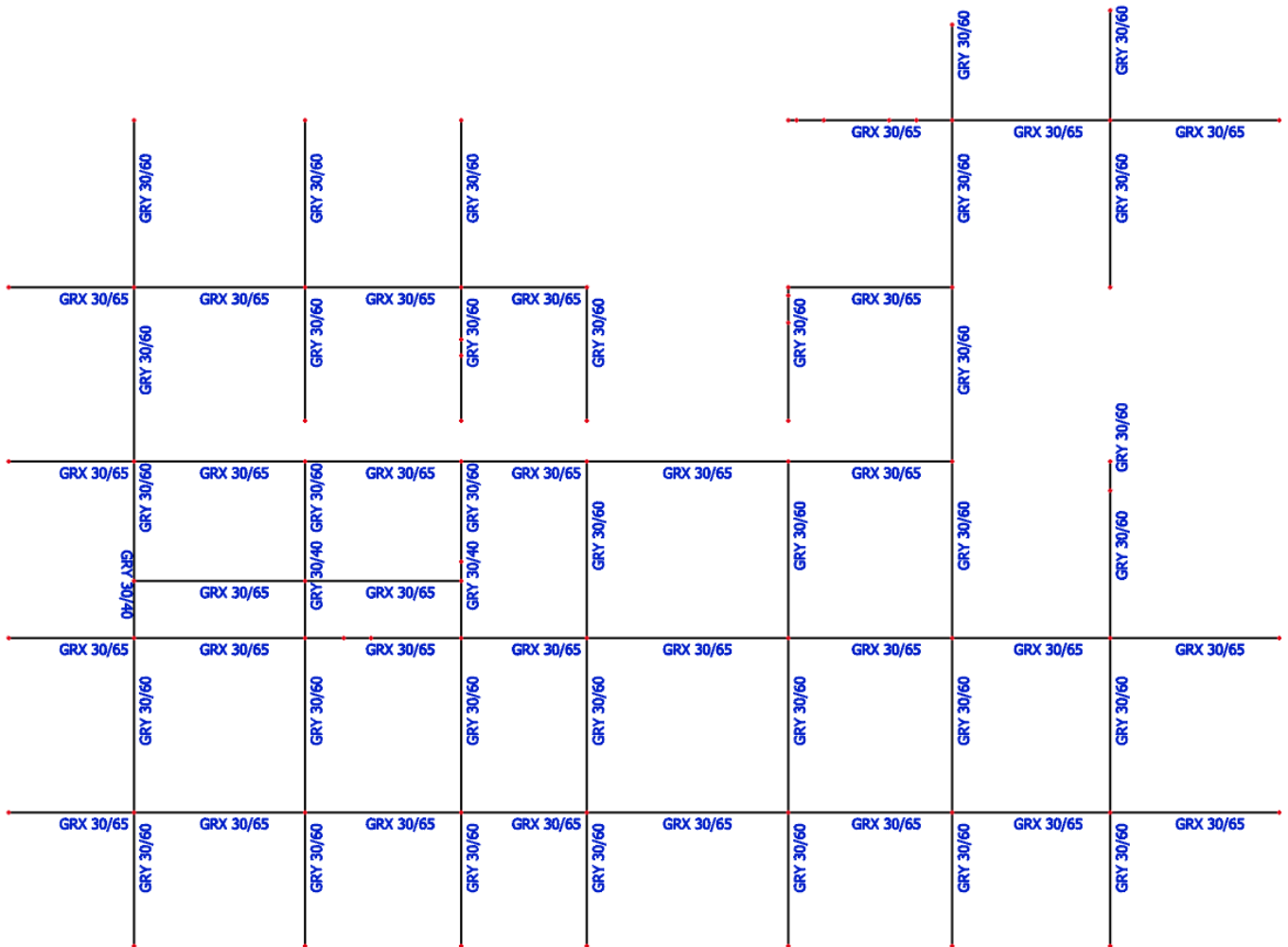
9.25 Prikaz poprečnih presjeka greda

POZICIJA 400 (ETAŽA 0)



9.26 Prikaz poprečnih presjeka greda

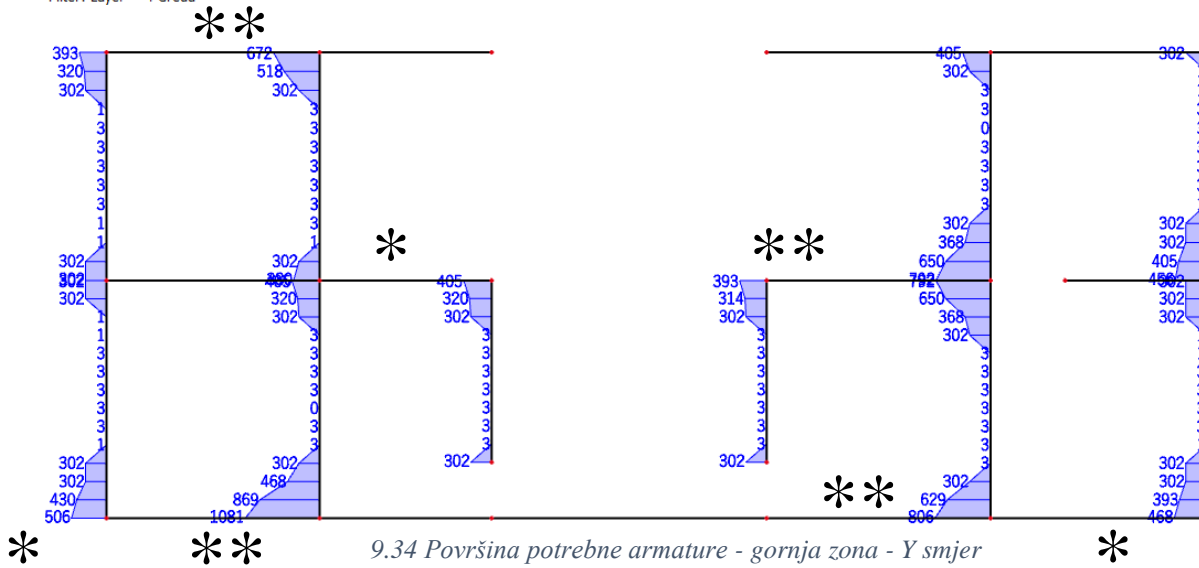
POZICIJA 300,200,100 (ETAŽE -1,-2,-3)



9.27 Prikaz poprečnih presjeka grada

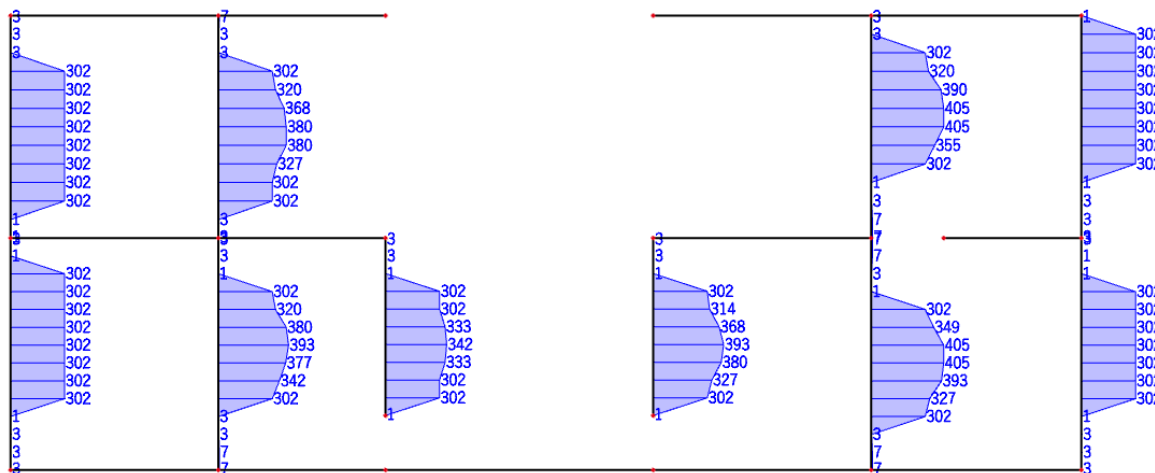
Reinforcement 1D design

Values: $A_{s, req, z+}$
 Linear calculation
 Combination: Ručna GSN
 Coordinate system: Member
 Extreme 1D: Section
 Selection: B1182..B1188, B1198,
 B1199, B1207
 Filter: Layer = 4 Greda



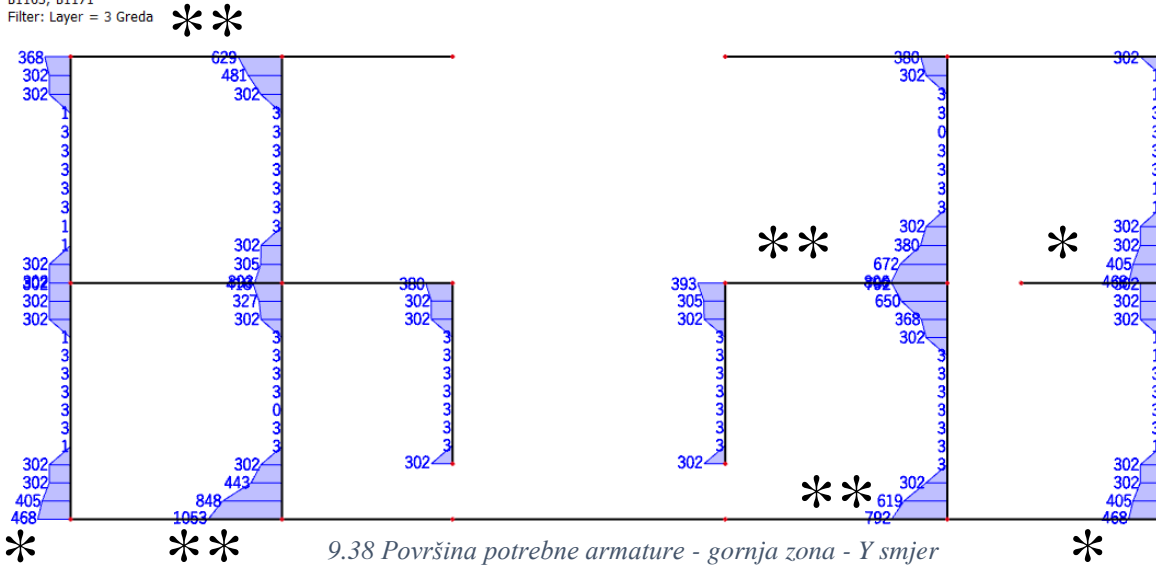
Reinforcement 1D design

Values: $A_{s, req, z-}$
 Linear calculation
 Combination: Ručna GSN
 Coordinate system: Member
 Extreme 1D: Section
 Selection: B1182..B1188, B1198,
 B1199, B1207
 Filter: Layer = 4 Greda



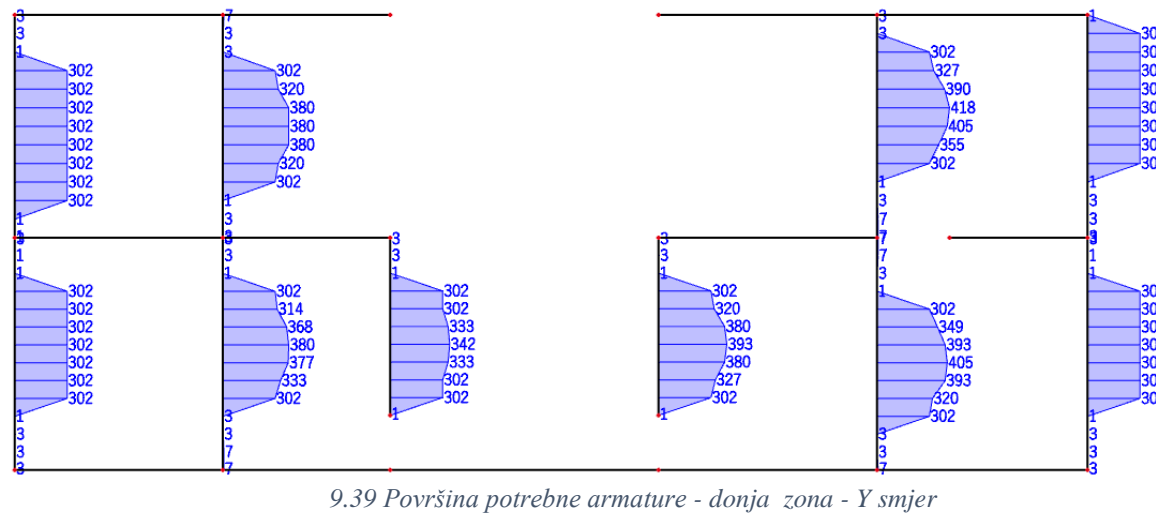
Reinforcement 1D design

Values: $A_{s,req,z+}$
 Linear calculation
 Combination: Ručna GSN
 Coordinate system: Member
 Extreme 1D: Section
 Selection: B1146..B1152, B1162,
 B1163, B1171
 Filter: Layer = 3 Greda



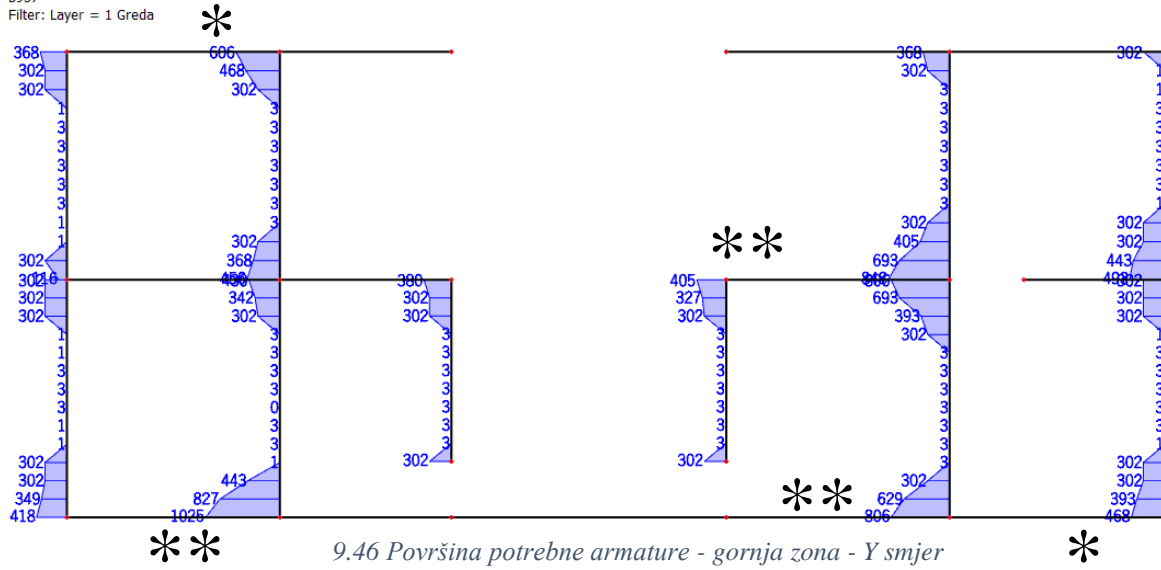
Reinforcement 1D design

Values: $A_{s,req,z-}$
 Linear calculation
 Combination: Ručna GSN
 Coordinate system: Member
 Extreme 1D: Section
 Selection: B1146..B1152, B1162,
 B1163, B1171
 Filter: Layer = 3 Greda



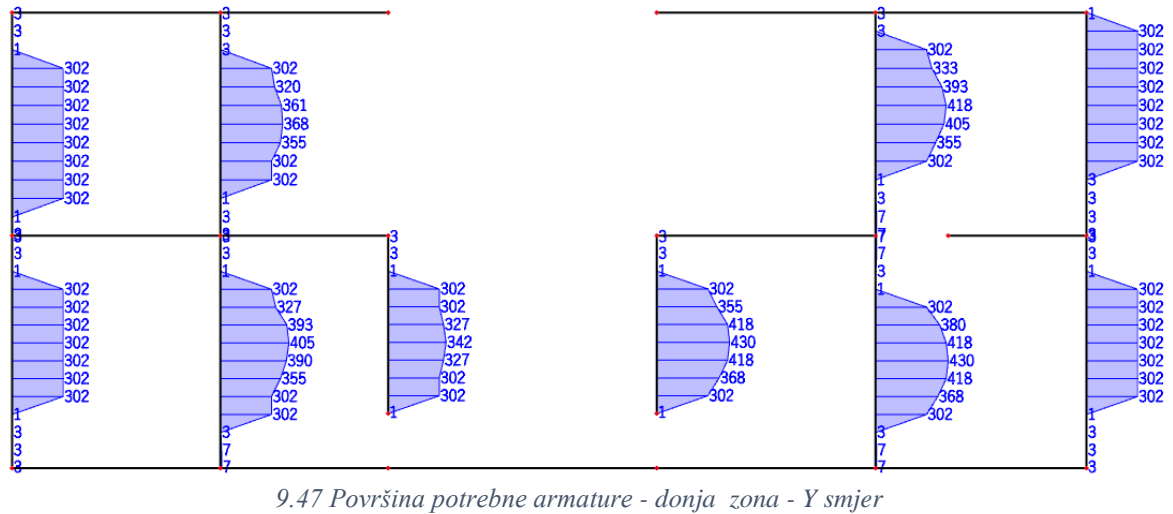
Reinforcement 1D design

Values: $A_{s,req,z+}$
 Linear calculation
 Combination: Ručna GSN
 Coordinate system: Member
 Extreme 1D: Section
 Selection: B932..B938, B948, B949,
 B957
 Filter: Layer = 1 Greda



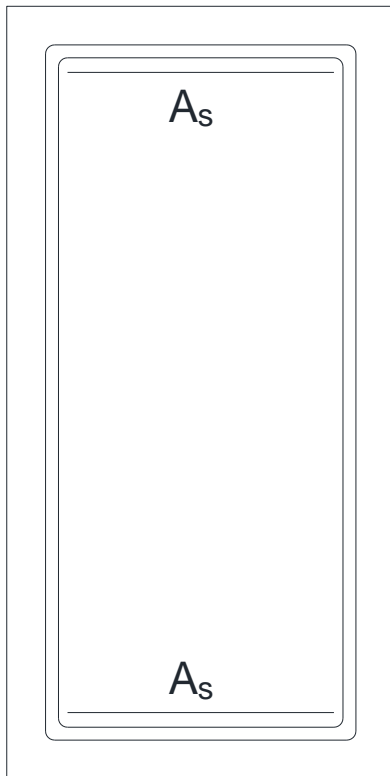
Reinforcement 1D design

Values: $A_{s,req,z-}$
 Linear calculation
 Combination: Ručna GSN
 Coordinate system: Member
 Extreme 1D: Section
 Selection: B932..B938, B948, B949,
 B957
 Filter: Layer = 1 Greda



ZAKLJUČAK:

Sve grede na pozicijama od 900 do 500 potrebno je armirati prema skicama u nastavku.



$$A_s - 3\phi 14 (4,62 \text{ cm}^2) , A_s^* - 4 \phi 14 (6,16 \text{ cm}^2)$$

$$A_s^{**} - 5\phi 16 (10,05 \text{ cm}^2)$$

9.48 Shematski prikaz armature

Pozicija 400 (ETAŽA 0)

Reinforcement 1D design

Values: $A_{s,req,z+}$

Linear calculation

Combination: Ručna GSN

Coordinate system: Member

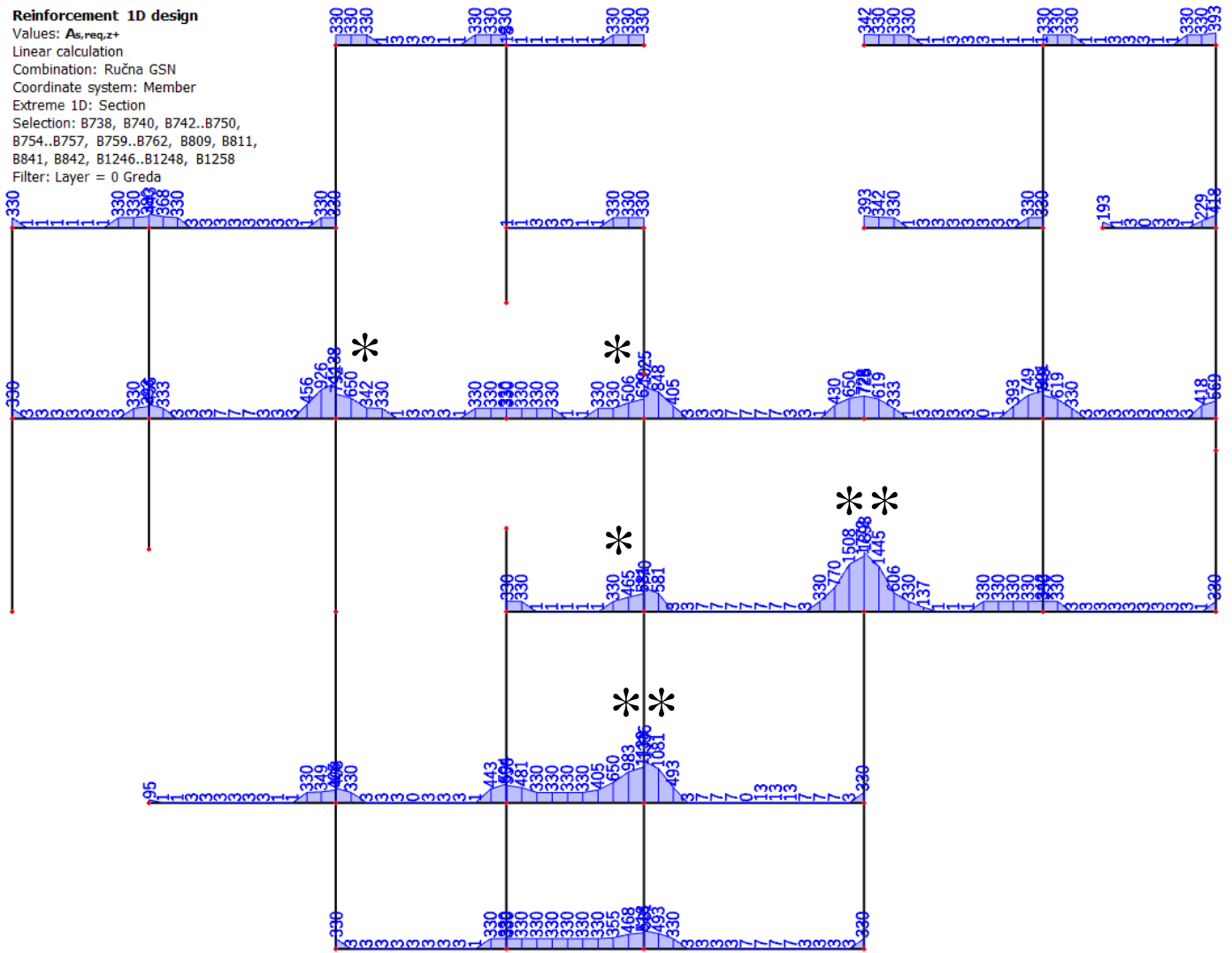
Extreme 1D: Section

Selection: B738, B740, B742..B750,

B754..B757, B759..B762, B809, B811,

B841, B842, B1246..B1248, B1258

Filter: Layer = 0 Greda



9.49 Površina potrebne armature - gornja zona - X smjer

Reinforcement 1D design

Values: $A_{s,req,z}$

Linear calculation

Combination: Ručna GSN

Coordinate system: Member

Extreme 1D: Section

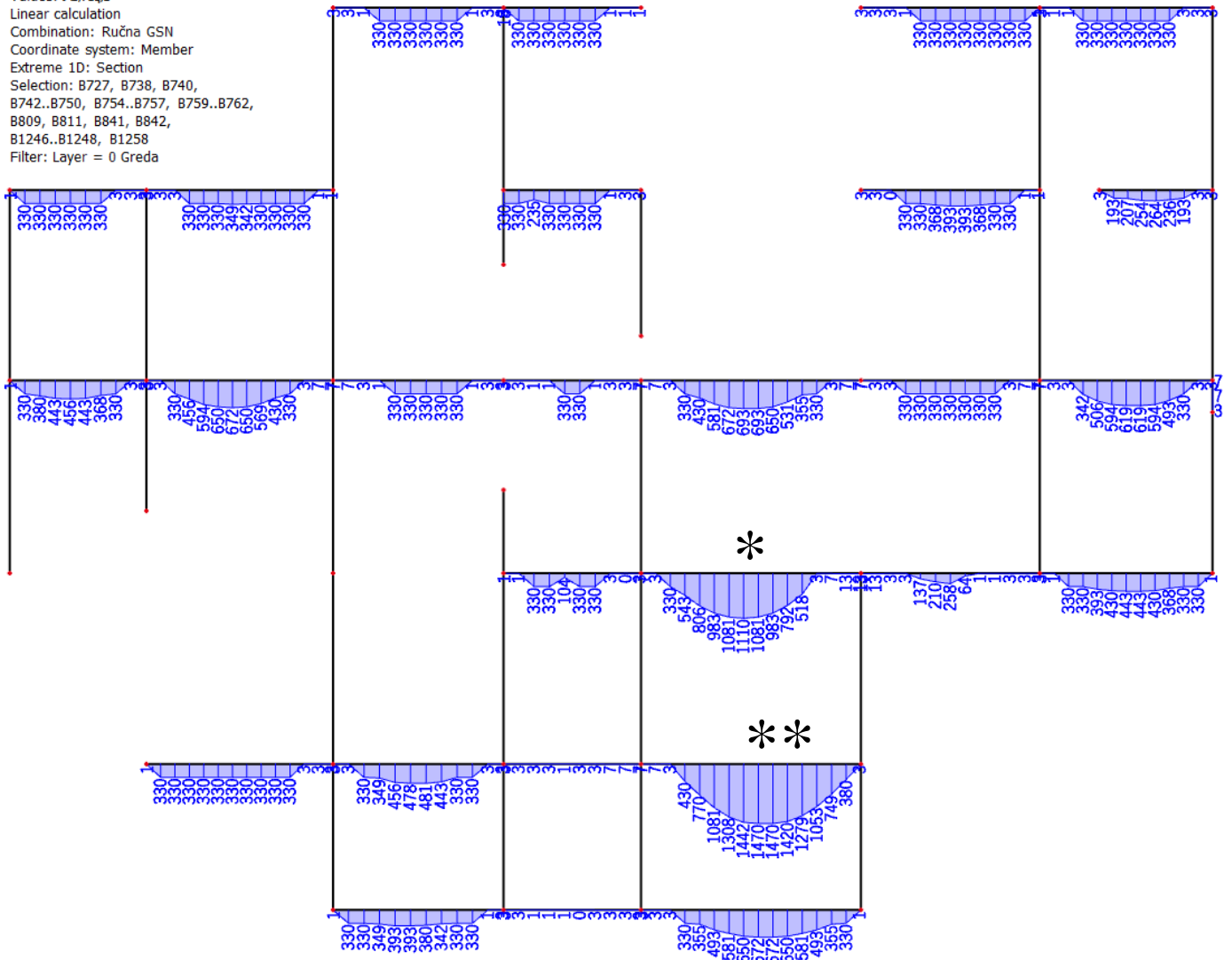
Selection: B727, B738, B740,

B742..B750, B754..B757, B759..B762,

B809, B811, B841, B842,

B1246..B1248, B1258

Filter: Layer = 0 Greda



9.50 Površina potrebne armature - donja zona - X smjer

Reinforcement 1D design

Values: $A_{s,req,z+}$

Linear calculation

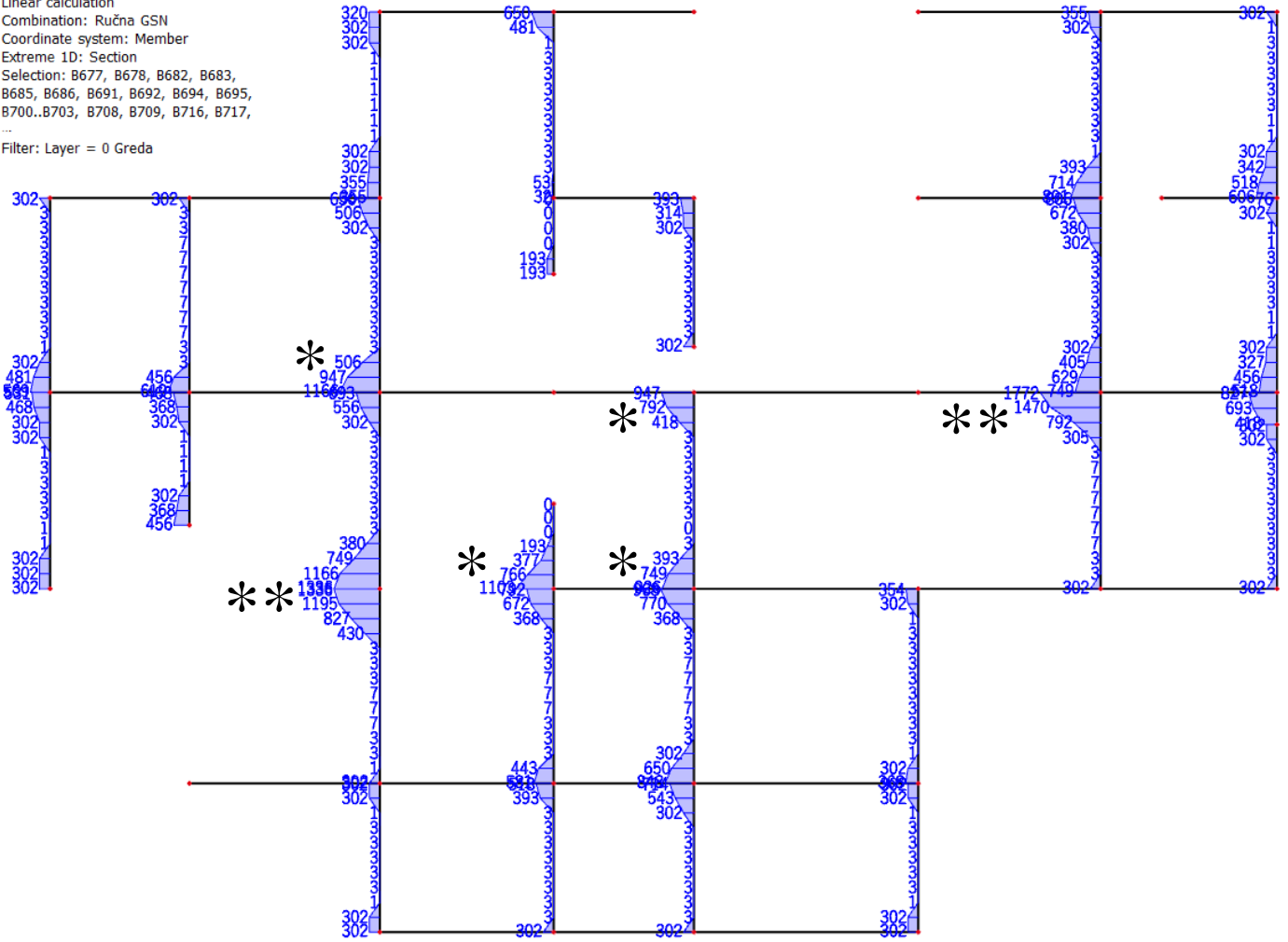
Combination: Ručna GSN

Coordinate system: Member

Extreme 1D: Section

Selection: B677, B678, B682, B683, B685, B686, B691, B692, B694, B695, B700..B703, B708, B709, B716, B717, ...

Filter: Layer = 0 Greda



9.51 Površina potrebne armature - gornja zona - Y smjer

Reinforcement 1D design

Values: $A_{s,req,z}$

Linear calculation

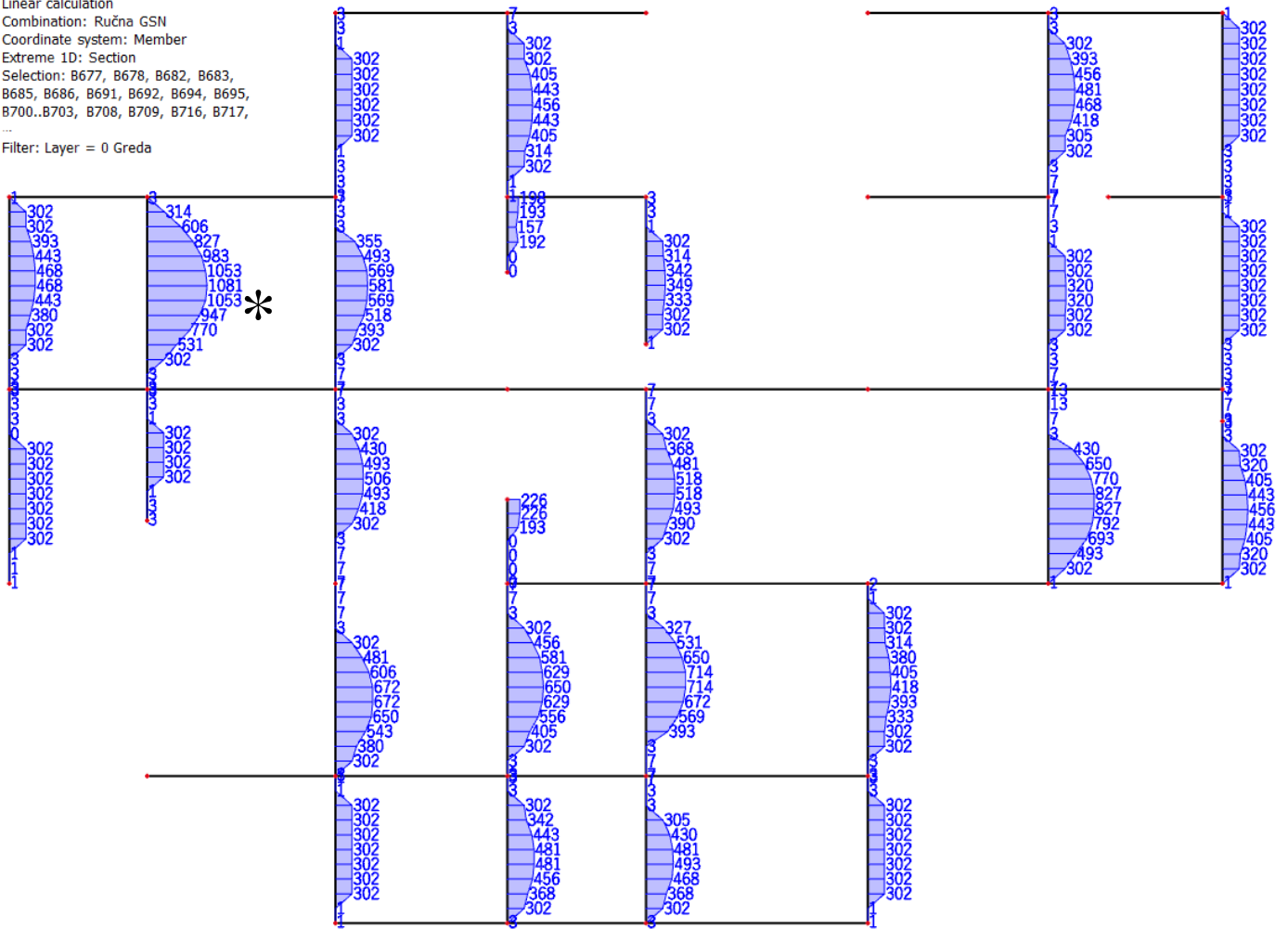
Combination: Ručna GSN

Coordinate system: Member

Extreme 1D: Section

Selection: B677, B678, B682, B683,
B685, B686, B691, B692, B694, B695,
B700..B703, B708, B709, B716, B717,
...

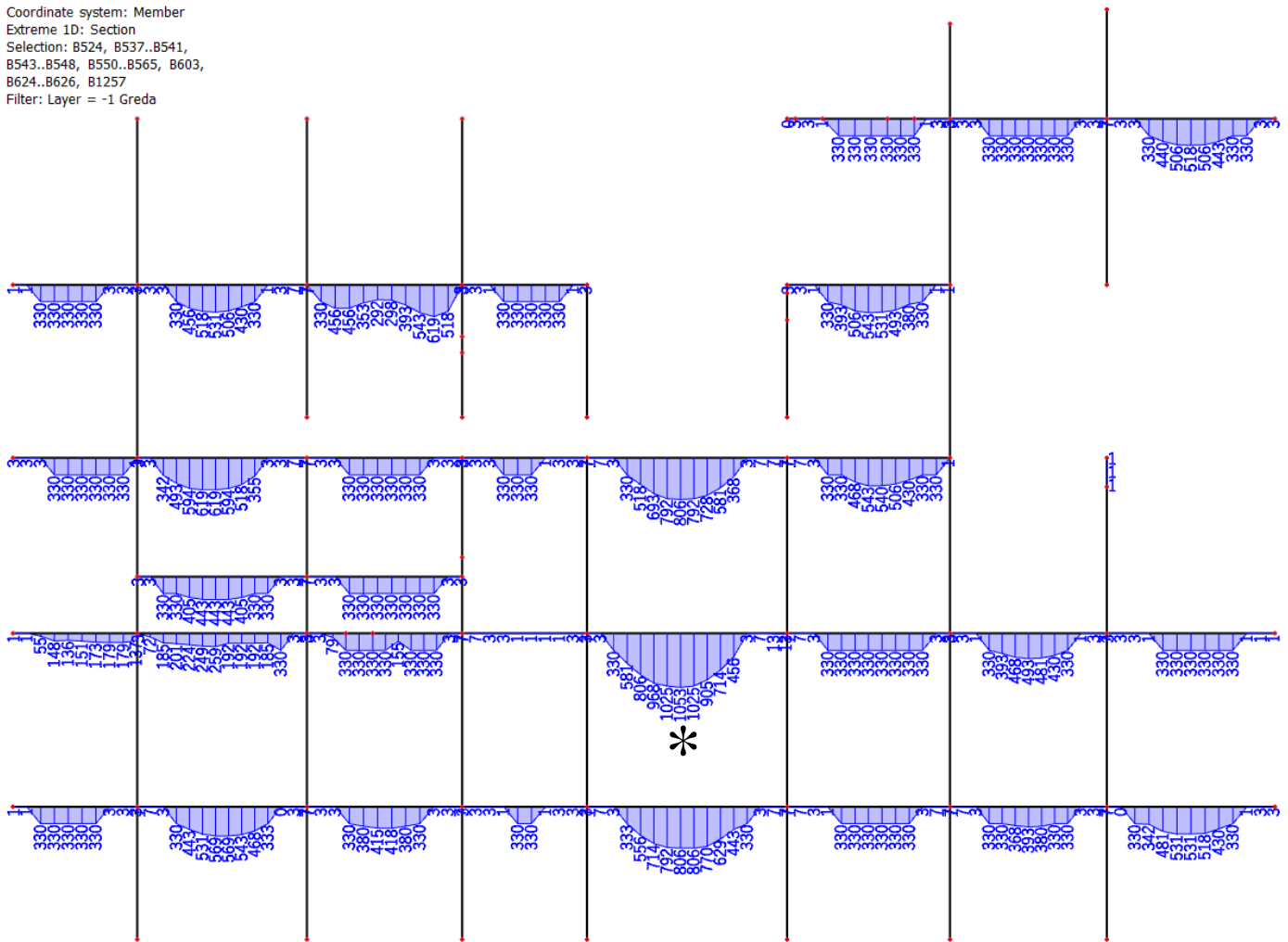
Filter: Layer = 0 Greda



9.52 Površina potrebne armature - donja zona - Y smjer

Reinforcement 1D design

Values: $A_{s,req,z}$
 Linear calculation
 Combination: Ručna GSN
 Coordinate system: Member
 Extreme 1D: Section
 Selection: B524, B537..B541,
 B543..B548, B550..B565, B603,
 B624..B626, B1257
 Filter: Layer = -1 Greda



9.54 Površina potrebne armature - donja zona - X smjer

Reinforcement 1D design

Values: $A_{s,req,z}$

Linear calculation

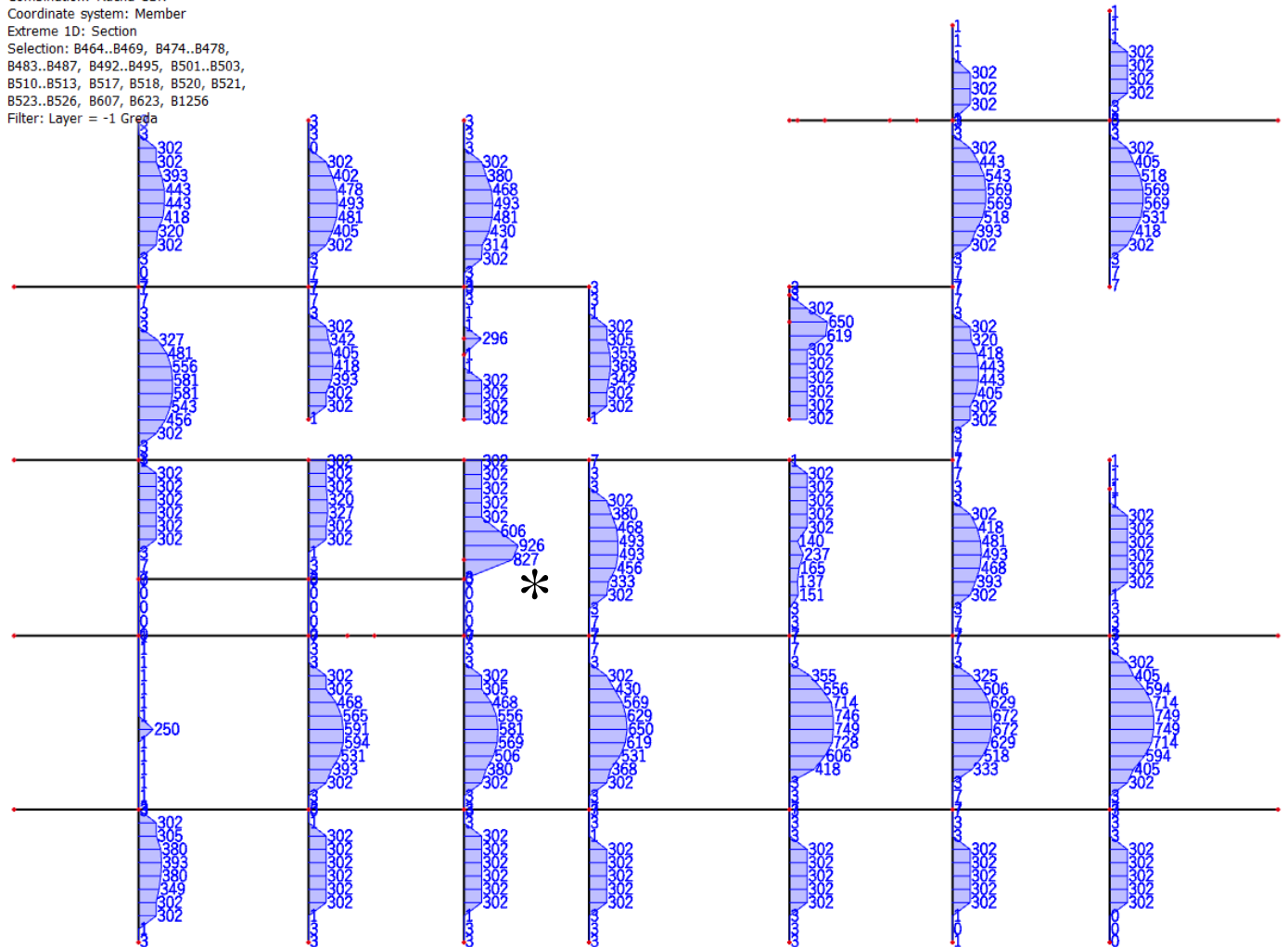
Combination: Ručna GSN

Coordinate system: Member

Extreme 1D: Section

Selection: B464..B469, B474..B478,
B483..B487, B492..B495, B501..B503,
B510..B513, B517, B518, B520, B521,
B523..B526, B607, B623, B1256

Filter: Layer = -1 Greda

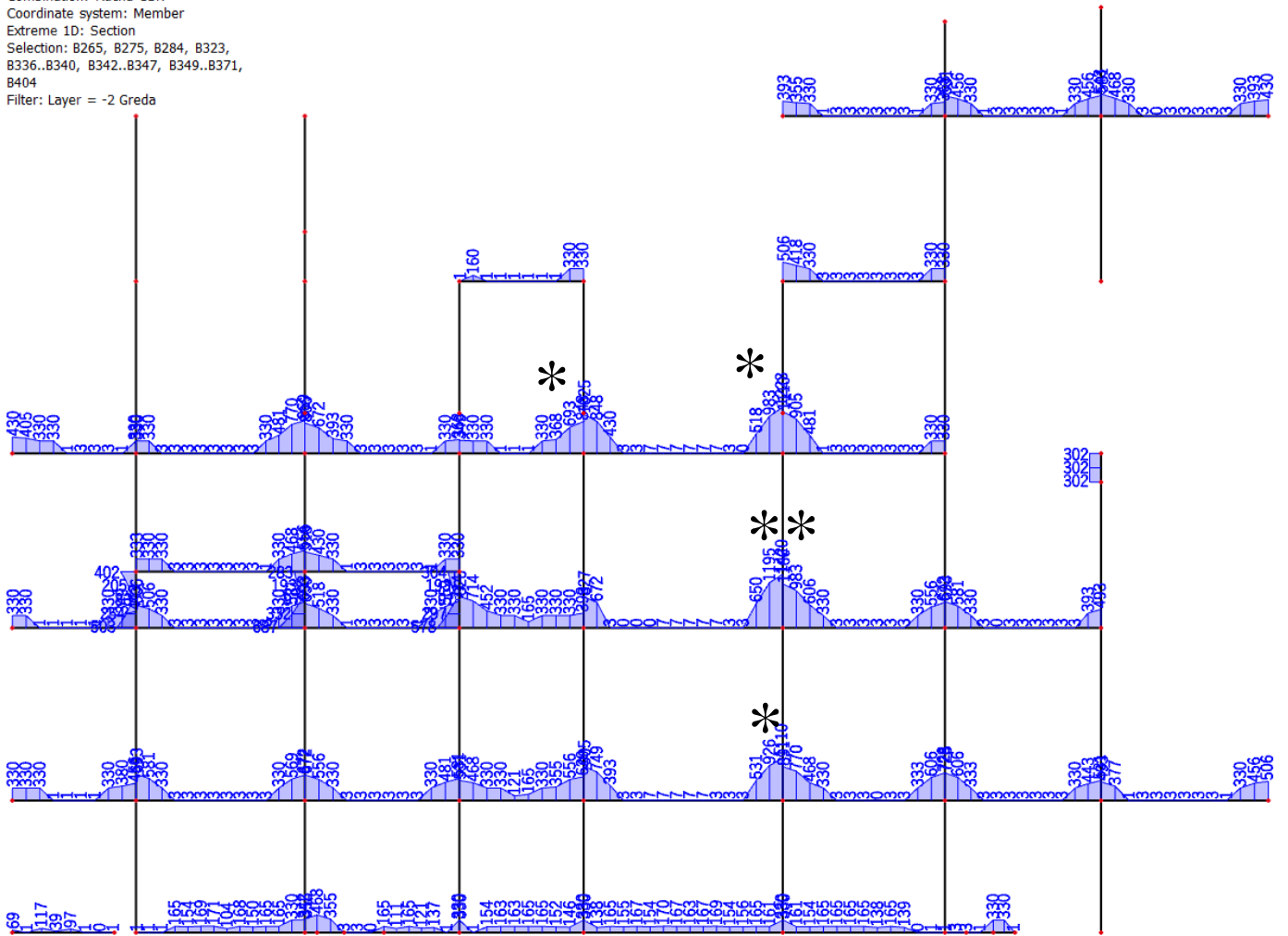


9.56 Površina potrebne armature - donja zona - Y smjer

Pozicija 200 (ETAŽA -2)

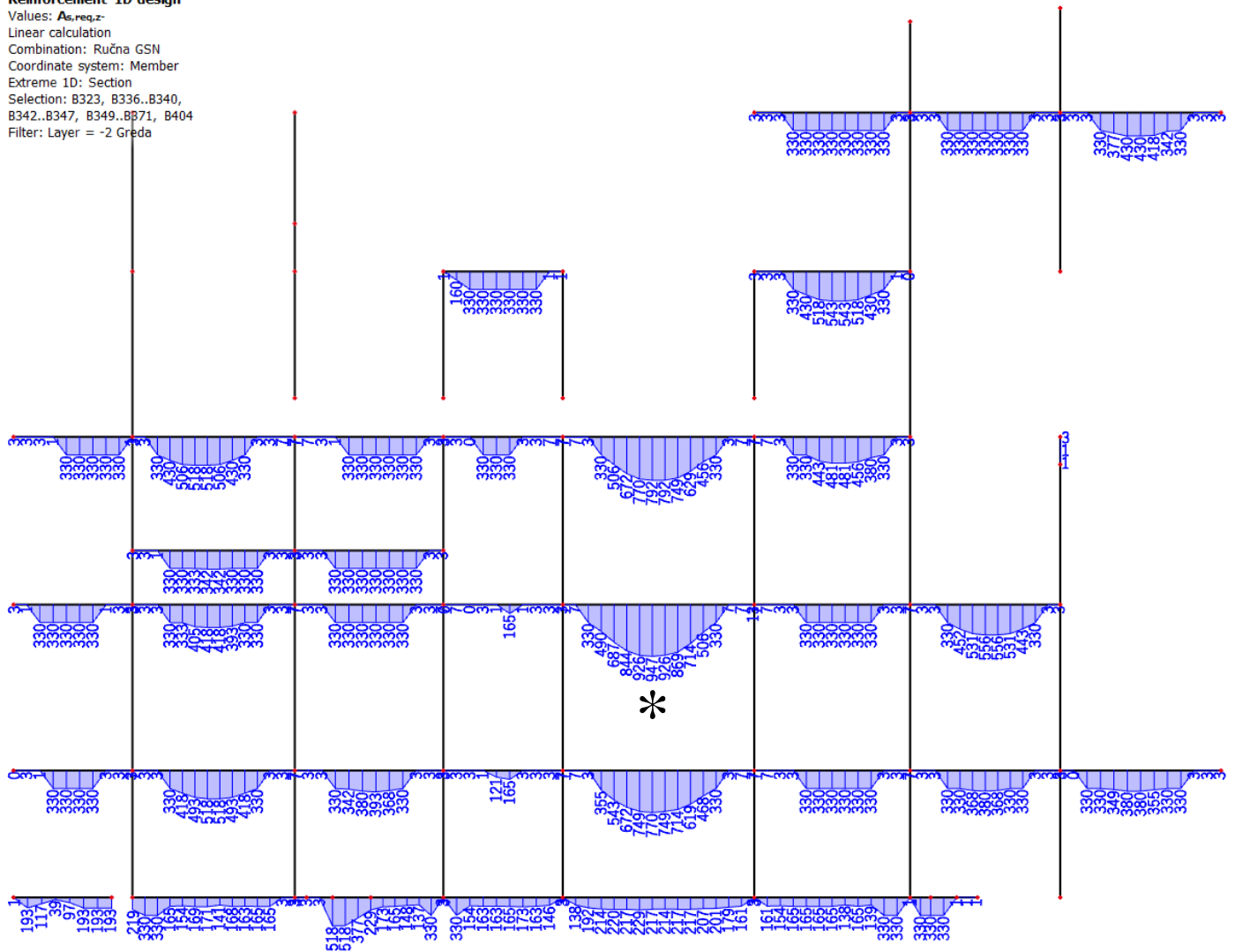
Reinforcement 1D design

Values: $A_{s,req,z}$
 Linear calculation
 Combination: Ručna GSN
 Coordinate system: Member
 Extreme 1D: Section
 Selection: B265, B275, B284, B323,
 B336..B340, B342..B347, B349..B371,
 B404
 Filter: Layer = -2 Greda



9.57 Površina potrebne armature - gornja zona - X smjer

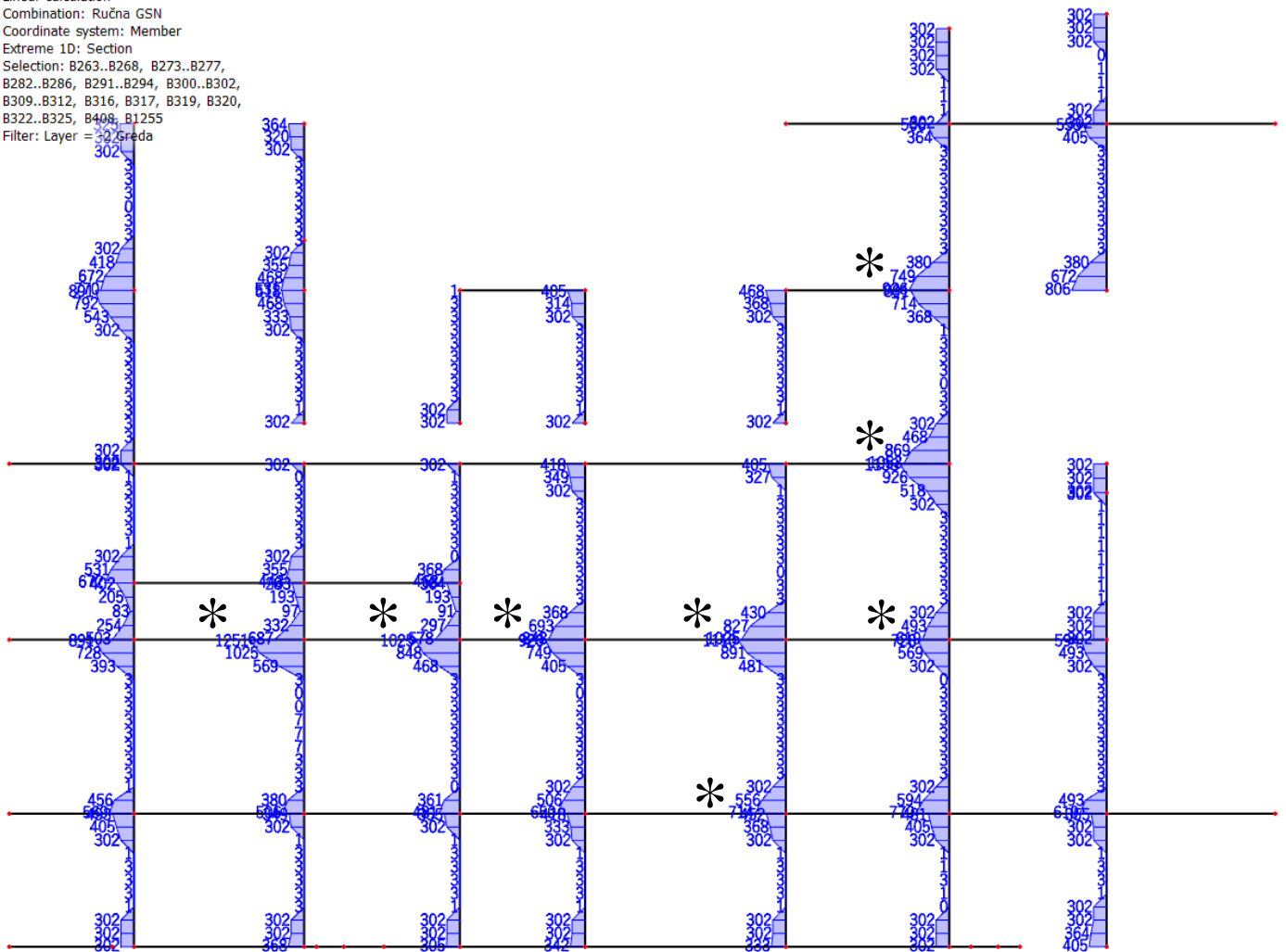
Reinforcement 1D design
 Values: $A_{s,req,z}$
 Linear calculation
 Combination: Ručna GSN
 Coordinate system: Member
 Extreme 1D: Section
 Selection: B323, B336..B340,
 B342..B347, B349..BB71, B404
 Filter: Layer = -2 Gređa



9.58 Površina potrebne armature - donja zona - X smjer

Reinforcement 1D design

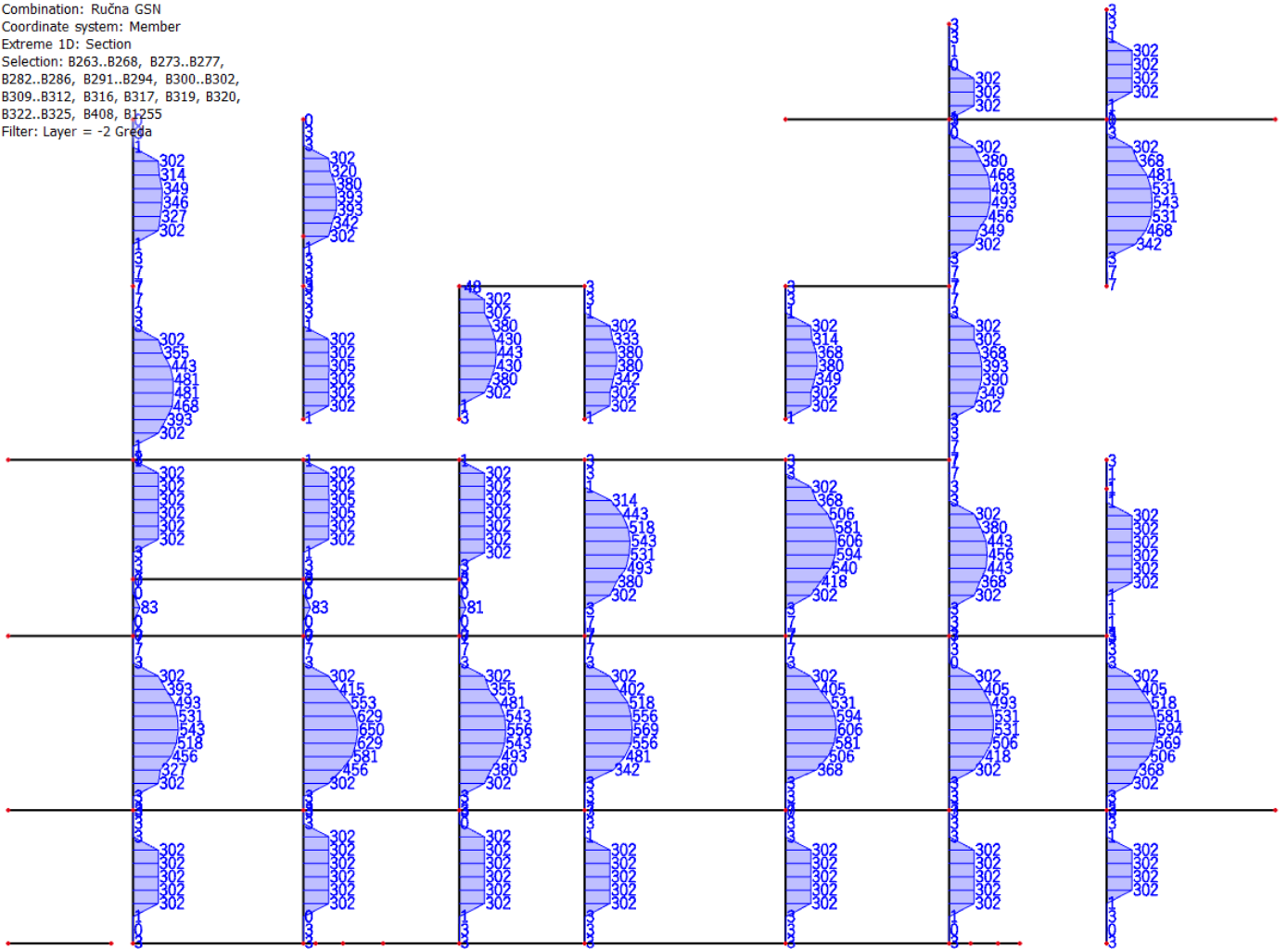
Values: $A_{s,req,z}$
 Linear calculation
 Combination: Ručna GSN
 Coordinate system: Member
 Extreme 1D: Section
 Selection: B263..B268, B273..B277,
 B282..B286, B291..B294, B300..B302,
 B309..B312, B316, B317, B319, B320,
 B322..B325, B408, B1255
 Filter: Layer = -2, Greda



9.59 Površina potrebne armature - gornja zona - Y smjer

Reinforcement 1D design

Values: $A_{s,req,z}$
 Linear calculation
 Combination: Ručna GSN
 Coordinate system: Member
 Extreme 1D: Section
 Selection: B263..B268, B273..B277,
 B282..B286, B291..B294, B300..B302,
 B309..B312, B316, B317, B319, B320,
 B322..B325, B408, B1255
 Filter: Layer = -2 Gređa

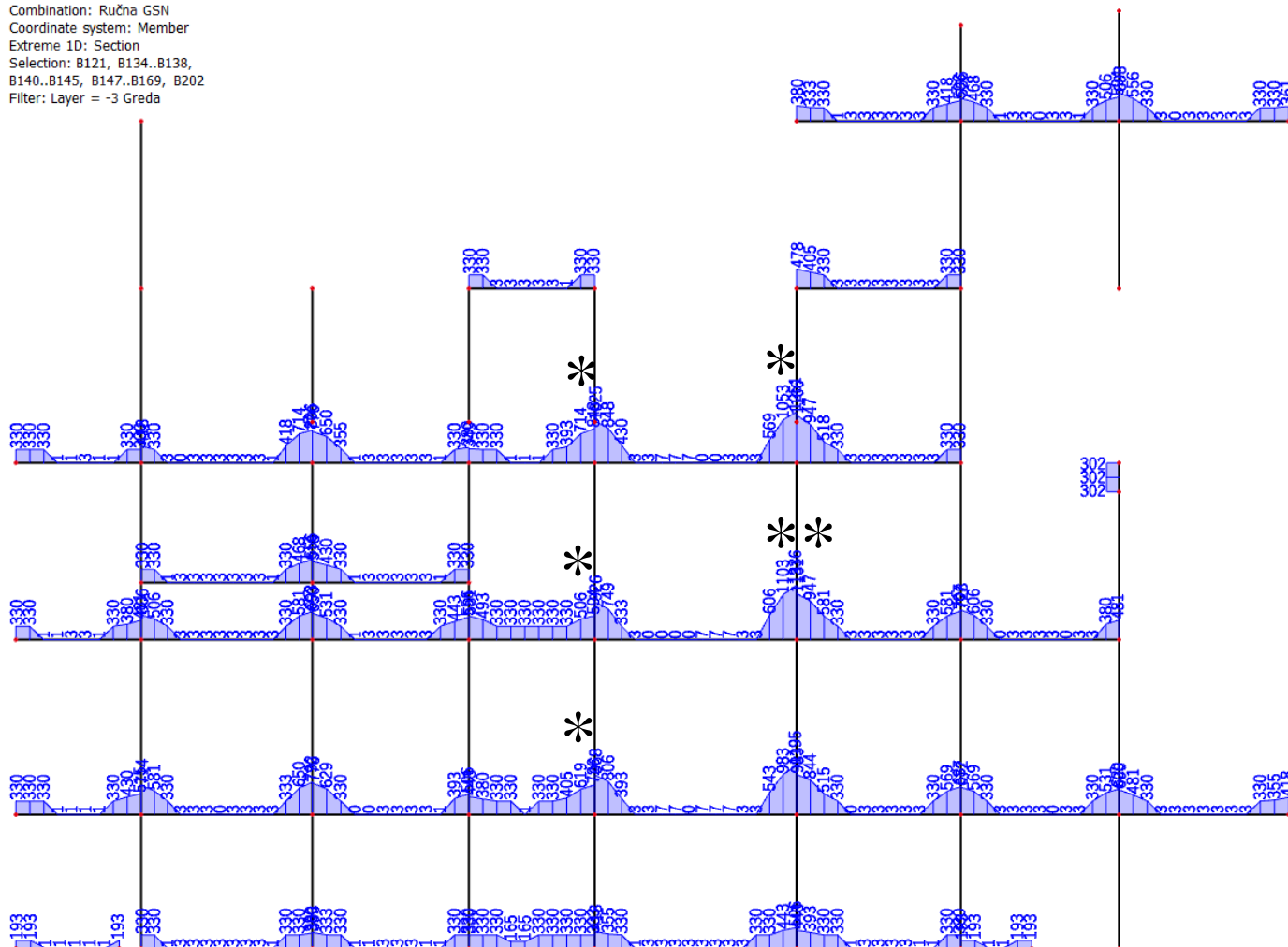


9.60 Površina potrebne armature - donja zona - Y smjer

Pozicija 100 (ETAŽA -3)

Reinforcement 1D design

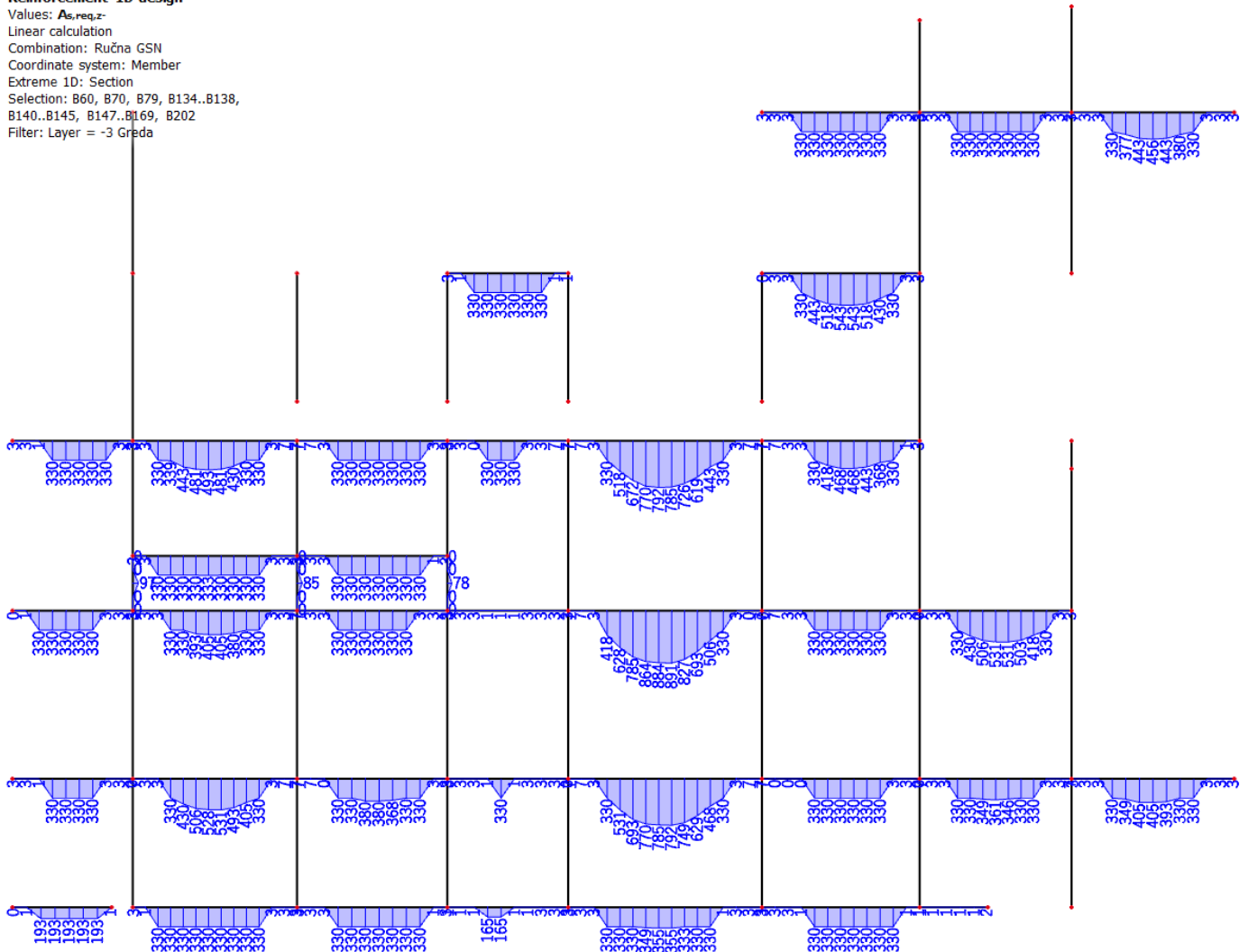
Values: $A_{s,req,z+}$
 Linear calculation
 Combination: Ručna GSN
 Coordinate system: Member
 Extreme 1D: Section
 Selection: B121, B134..B138,
 B140..B145, B147..B169, B202
 Filter: Layer = -3 Greda



9.61 Površina potrebne armature - gornja zona - X smjer

Reinforcement 1D design

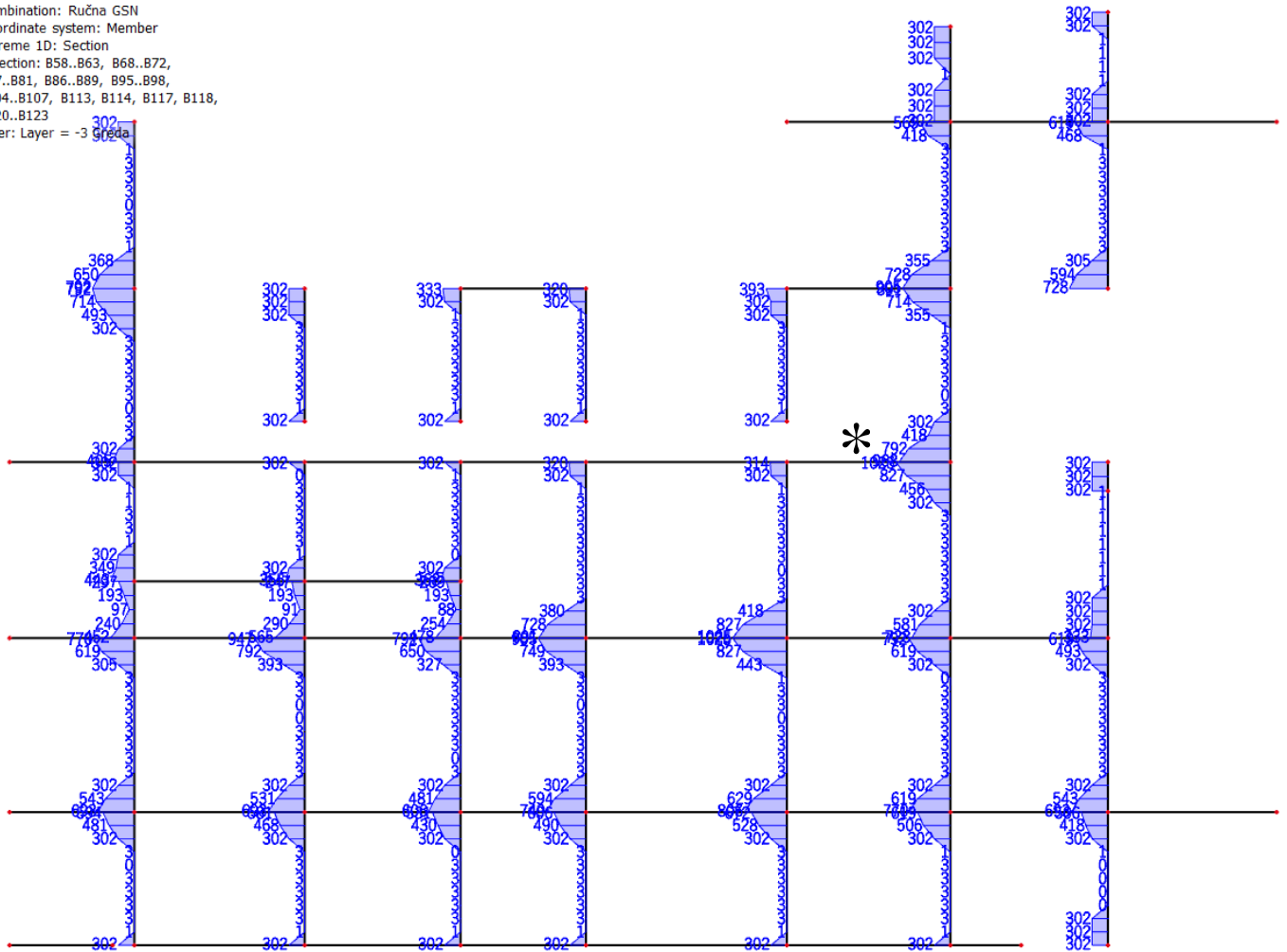
Values: $A_{s,req,z}$
 Linear calculation
 Combination: Ručna GSN
 Coordinate system: Member
 Extreme 1D: Section
 Selection: B60, B70, B79, B134..B138,
 B140..B145, B147..B169, B202
 Filter: Layer = -3 Greda



9.62 Površina potrebne armature - donja zona - X smjer

Reinforcement 1D design

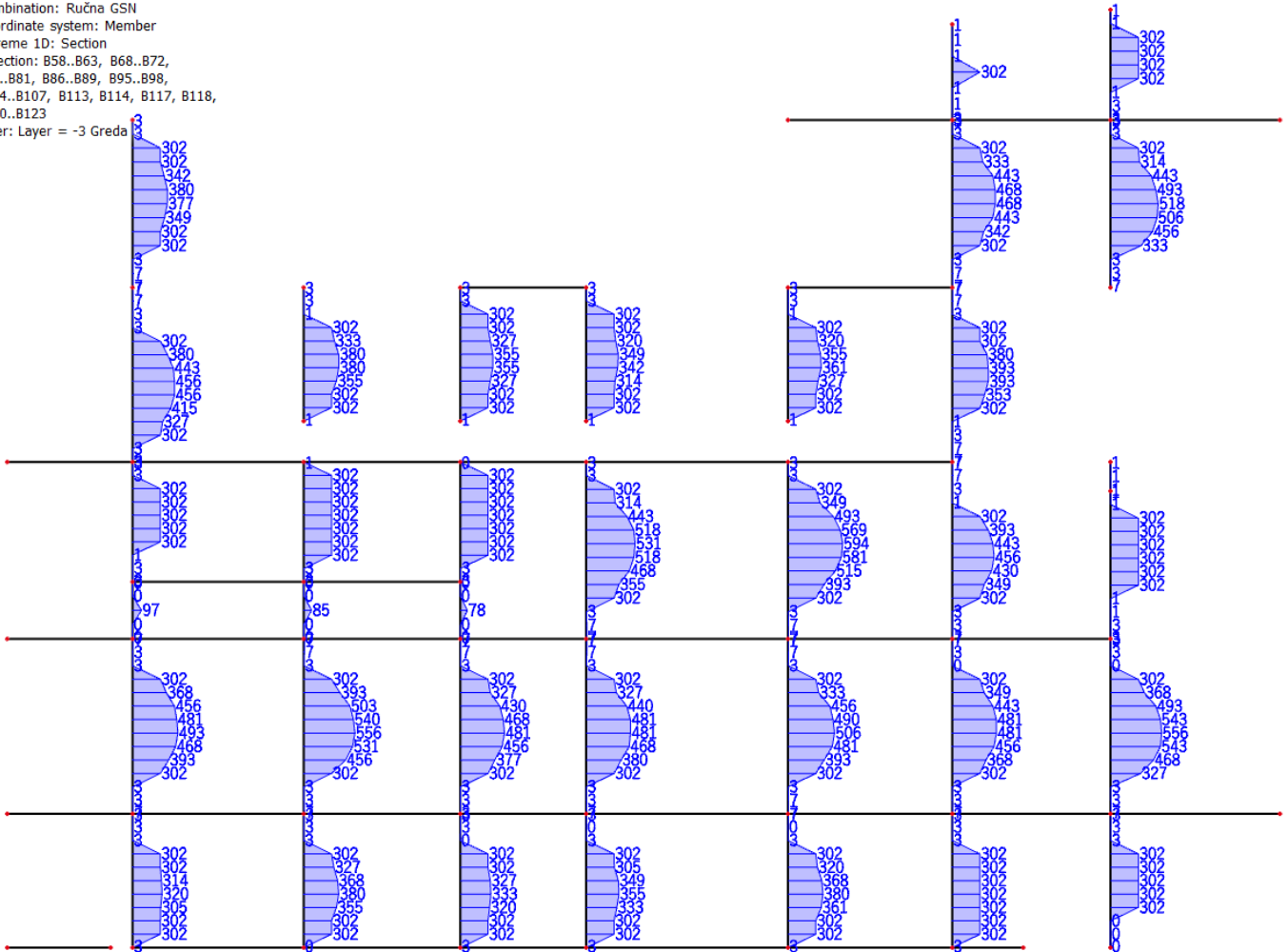
Values: $A_{s,req,z+}$
 Linear calculation
 Combination: Ručna GSN
 Coordinate system: Member
 Extreme 1D: Section
 Selection: B58..B63, B68..B72,
 B77..B81, B86..B89, B95..B98,
 B104..B107, B113, B114, B117, B118,
 B120..B123
 Filter: Layer = -3 Greda



9.63 Površina potrebne armature - gornja zona - Y smjer

Reinforcement 1D design

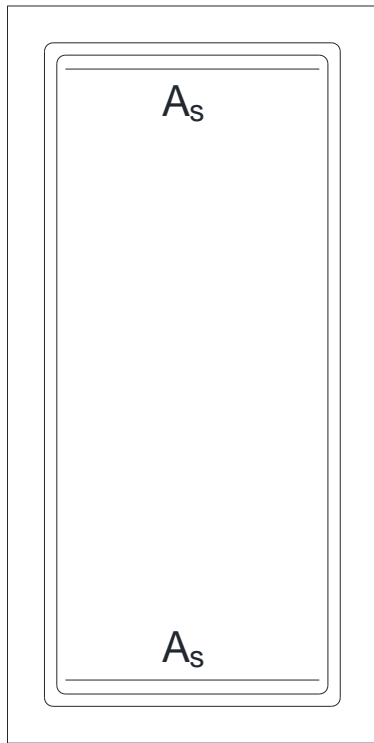
Values: $A_{s,req,z}$
 Linear calculation
 Combination: Ručna GSN
 Coordinate system: Member
 Extreme 1D: Section
 Selection: B58..B63, B68..B72,
 B77..B81, B86..B89, B95..B98,
 B104..B107, B113, B114, B117, B118,
 B120..B123
 Filter: Layer = -3 Greda



9.64 Površina potrebne armature - donja zona - Y smjer

ZAKLJUČAK:

Sve grede na pozicijama od 400 do 100 potrebno je armirati prema skicama u nastavku.



$$A_s - 3\phi 20 (9,42 \text{ cm}^2) , A_s^* - 4 \phi 20 (12,57 \text{ cm}^2)$$

$$A_s^{**} - 5\phi 20 (15,71 \text{ cm}^2)$$

9.65 Shematski prikaz armature

10. PRORAČUN VERTIKALNIH ELEMENATA

10.1. STUPOVI

Dokaz nosivosti stupova i proračun potrebne armature provodi se prema slijedećem:

1) Srednje tlačno naprezanje u stupu za nazovistalnu kombinaciju:

$$2) \text{GSU-2} = 1.0G + 2i \cdot Q_i = 1.0G + 0.3Q_1$$

$$\sigma_{c, \text{sd}} \leq 0.45 f_{ck}$$

$$\text{za C30/37: } 0.45 f_{ck} = 0.45 \cdot 30 = 13,5 \text{ MPa}$$

3) Srednje tlačno naprezanje u stupu za potresnu kombinaciju:

$$\gamma_d = N_{Ed} / (b \cdot h \cdot f_{cd}) \leq 0.65; \text{ (klasa M)}$$

N_{Ed} = uzdužna sila u proračunu potresne proračunske situacije za C30/37:

$$0.65 f_{cd} = 0.65 \cdot (30 / 1.5) = 13,0 \text{ MPa}$$

4) Proračunava se uzdužna armatura stupa:

Uzdužna armatura je pretpostavljena simetrično rasporežena po svim poprečnim presjecima stupova. Dokaz nosivosti je proveden pomoću dijagrama interakcije za smjer X i za smjer Y.

Min. i max. % armatura za stupove (ukupna): $A_{s, \text{min}, \text{potres}} = 0.010 \cdot b \cdot h$; $A_{s, \text{max}} = 0.040 \cdot b \cdot h$

5) Proračunava se poprečna armatura stupa:

V_{Ed} = poprečna sila uslijed mogućeg djelovanja momenta od seizmičke kombinacije

1/ Proračunska posmična otpornost elementa bez poprečne armature:

$$V_{Rd, c} = [C_{Rd, c} \cdot k \cdot (100 \cdot \rho_l \cdot f_{ck})^{1/3} + k_1 \cdot \sigma_{cp}] \cdot b_w \cdot d \geq (v_{\text{min}} + k_1 \cdot \sigma_{cp}) \cdot b_w \cdot d \text{ (fck u MPa)}$$

$$k = 1 + (200/d)^{1/2} \leq 2.0 \text{ (d u mm)}$$

$$\rho_l = A_s / (b_w \cdot d) \leq 0.02 \quad v_{\text{min}} = 0.035 \cdot k^{3/2} \cdot f_{ck}^{1/2}$$

$$C_{Rd, c} = 0.18 / \gamma_c \quad k_1 = 0.15$$

2/ Minimalna armatura - vilice: $A_{s_w, \text{min}} = \rho_{\text{min}} \cdot s_w \cdot b_w / m = 0.0011 \cdot s_w \cdot b_w / m$

3/ Nosivost na poprečnu silu s armaturom:

$$V_{Rd, s} = A_{s_w} \cdot f_{y_w, d} \cdot m \cdot z / s_w; \quad A_{s_w} = \text{površina jedne grane vilice}$$

s_w = razmak spona; $f_{y_w, d} = 500 / 1.15 = 434.8 \text{ MPa}$; $m = 2$ (reznost)

4/ Ukupna nosivost na poprečnu silu:

$$V_{Rd} = V_{Rd, s}$$

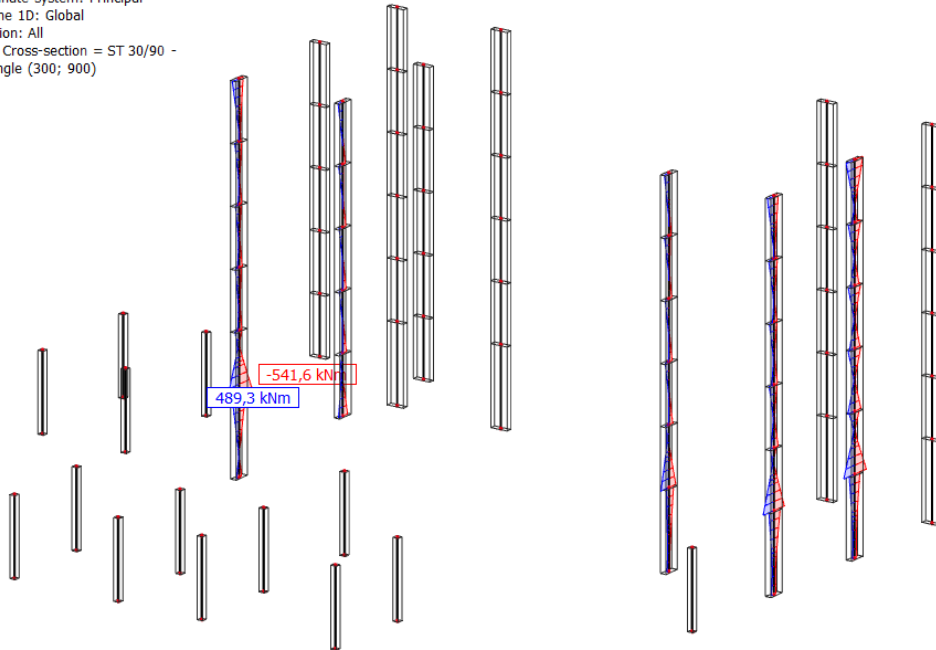
U nastavku su prikazani rezultati uređenih parova maksimalnih i pripadajućih reznih sila.

• Kritični slučaj 1

| Kombinacija | Poprečni presjek | M_{zmax} (kNm) | N_{prip} (kN) |
|---|------------------|------------------|-----------------|
| 1.0G + 1.0ΔG +0.5Q + 1.0S _x +0.3S _y | 30/90 | 541,6 | -708,3 |

1D internal forces

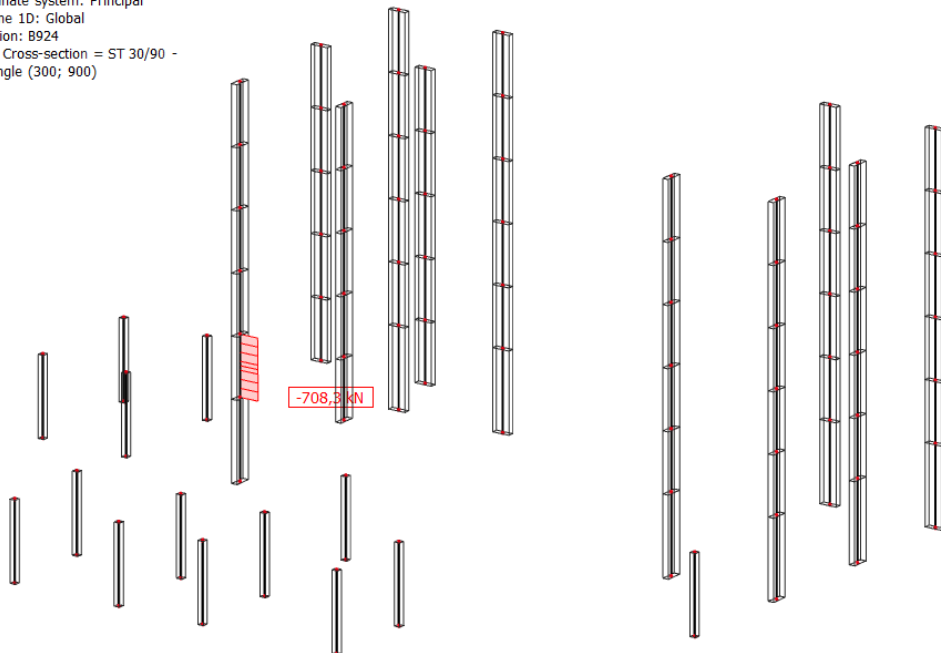
Values: M_z
 Linear calculation
 Combination: Potresna X
 Coordinate system: Principal
 Extreme 1D: Global
 Selection: All
 Filter: Cross-section = ST 30/90 -
 Rectangle (300; 900)



10.1 Prikaz momenata savijanja M_z

1D internal forces

Values: N
 Linear calculation
 Combination: Potresna X
 Coordinate system: Principal
 Extreme 1D: Global
 Selection: B924
 Filter: Cross-section = ST 30/90 -
 Rectangle (300; 900)



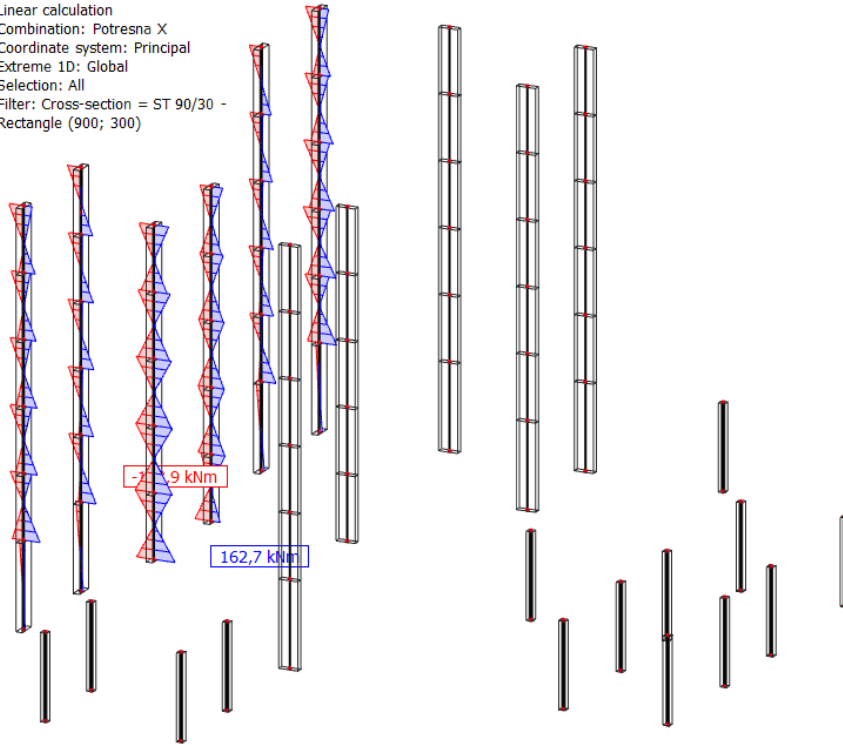
10.2 Prikaz pripadajuće uzdužne sile

• Kritični slučaj 2

| Kombinacija | Poprečni presjek | $M_{y_{max}}$ (kNm) | N_{prip} (kN) |
|---|------------------|---------------------|-----------------|
| 1.0G + 1.0ΔG +0.5Q + 1.0S _x +0.3S _y | 30/90 | 162,7 | -1213,2 |

1D internal forces

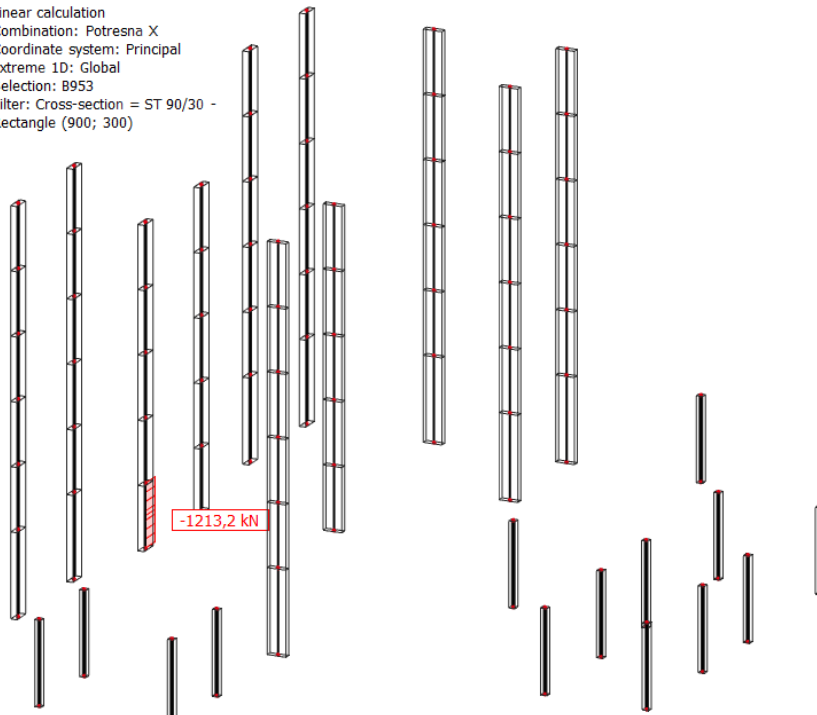
Values: M_z
 Linear calculation
 Combination: Potresna X
 Coordinate system: Principal
 Extreme 1D: Global
 Selection: All
 Filter: Cross-section = ST 90/30 -
 Rectangle (900; 300)



10.4 Prikaz momenata savijanja M_y

1D internal forces

Values: N
 Linear calculation
 Combination: Potresna X
 Coordinate system: Principal
 Extreme 1D: Global
 Selection: B953
 Filter: Cross-section = ST 90/30 -
 Rectangle (900; 300)



10.3 Prikaz pripadajuće uzdužne sile

• Kritični slučaj 3

| Kombinacija | Poprečni presjek | $M_{z\text{prip}}$ (kNm) | N_{max} (kN) |
|---|------------------|--------------------------|-----------------------|
| 1.0G + 1.0ΔG +0.5Q + 1.0S _x +0.3S _y | 30/90 | 94,5 | -1725,8 |

1D internal forcesValues: **M_y**

Linear calculation

Combination: Potresna X

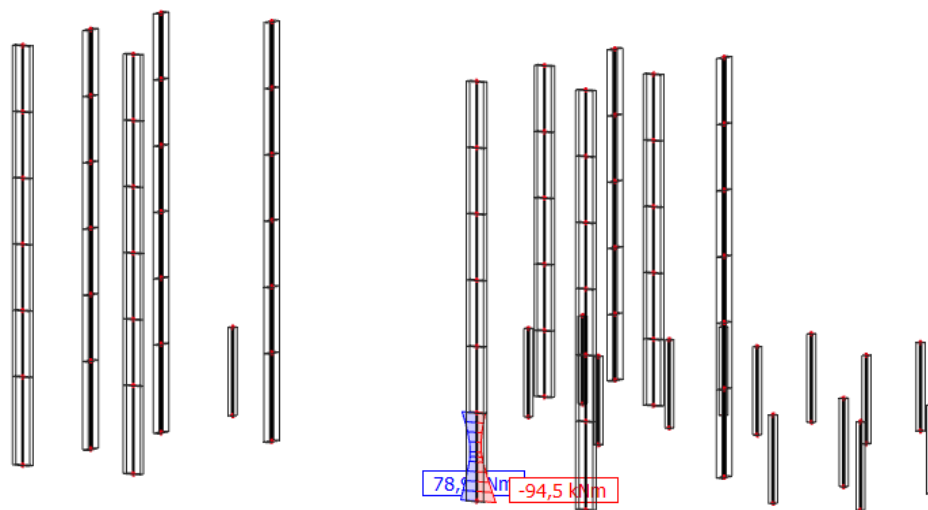
Coordinate system: Principal

Extreme 1D: Global

Selection: B843

Filter: Cross-section = ST 90/30 -

Rectangle (900; 300)

10.5 Prikaz pripadajućeg momenta savijanja M_z **1D internal forces**Values: **N**

Linear calculation

Combination: Potresna X

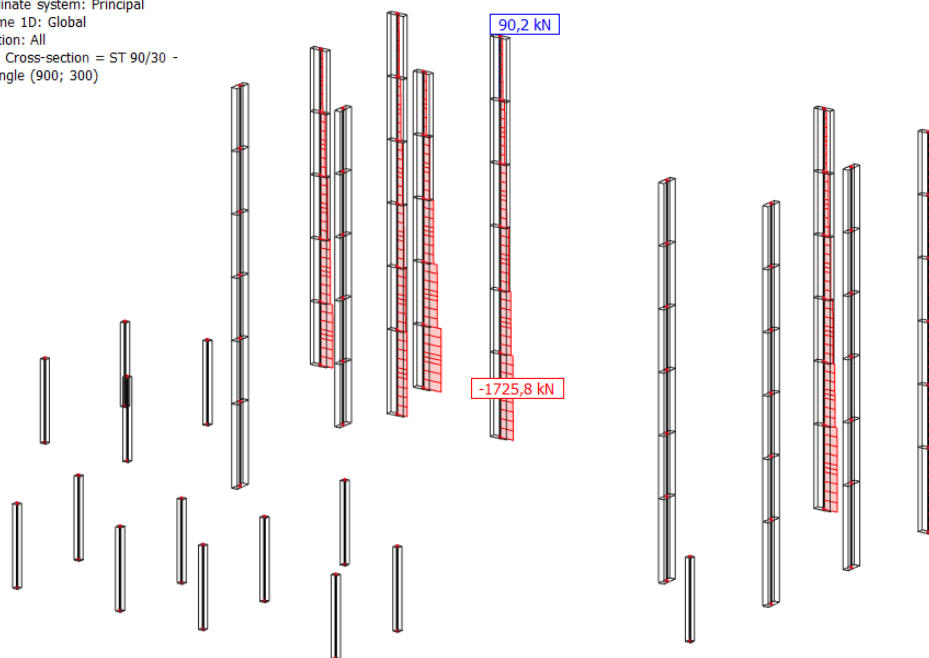
Coordinate system: Principal

Extreme 1D: Global

Selection: All

Filter: Cross-section = ST 90/30 -

Rectangle (900; 300)



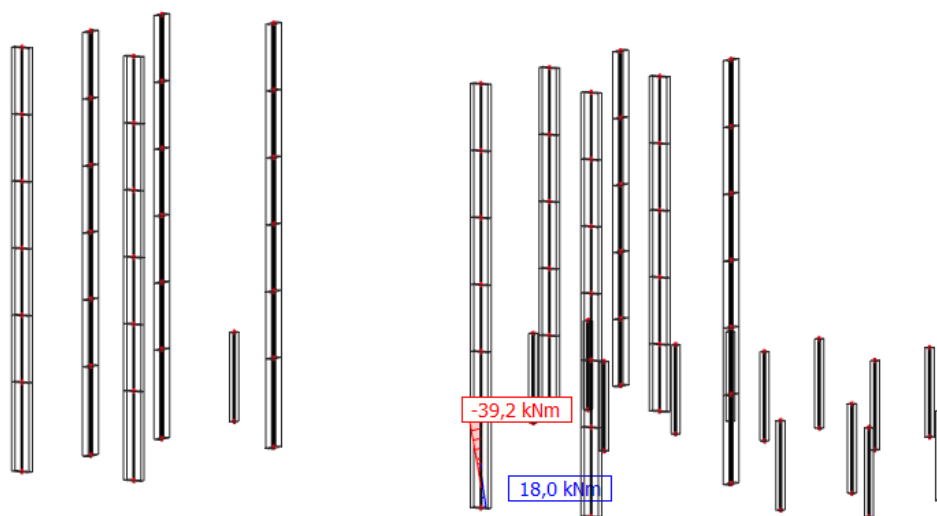
10.6 Prikaz uzdužne sile

• Kritični slučaj 4

| Kombinacija | Poprečni presjek | $M_{y\text{prip}}$ (kNm) | N_{max} (kN) |
|---|------------------|--------------------------|-----------------------|
| 1.0G + 1.0ΔG +0.5Q + 1.0S _x +0.3S _y | 30/90 | 39,2 | -1725,8 |

1D internal forces

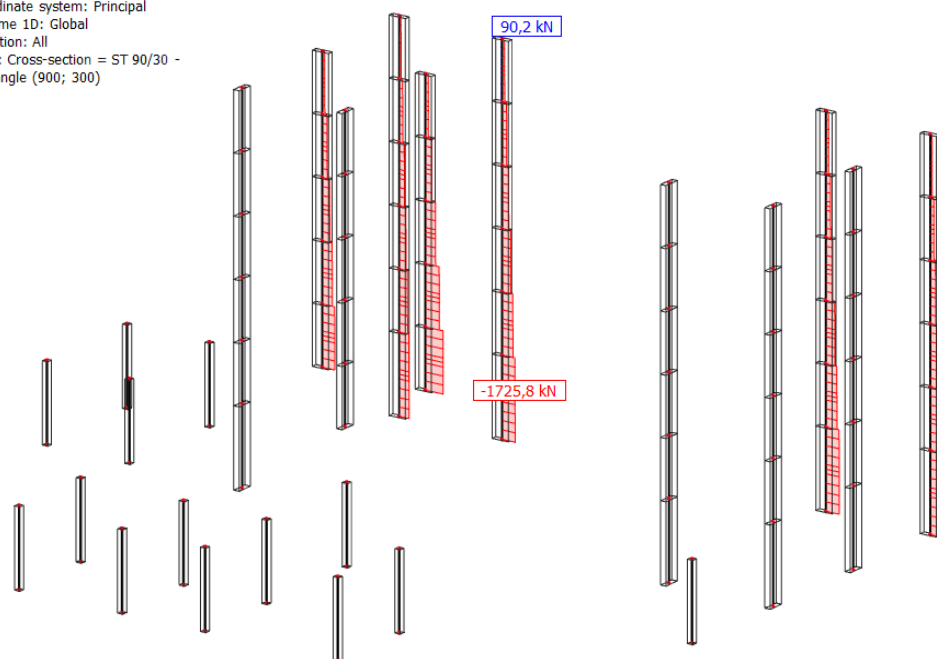
Values: M_z
 Linear calculation
 Combination: Potresna X
 Coordinate system: Principal
 Extreme 1D: Global
 Selection: B843
 Filter: Cross-section = ST 90/30 -
 Rectangle (900; 300)



10.8 Prikaz pripadajućeg momenata savijanja M_y

1D internal forces

Values: N
 Linear calculation
 Combination: Potresna X
 Coordinate system: Principal
 Extreme 1D: Global
 Selection: All
 Filter: Cross-section = ST 90/30 -
 Rectangle (900; 300)

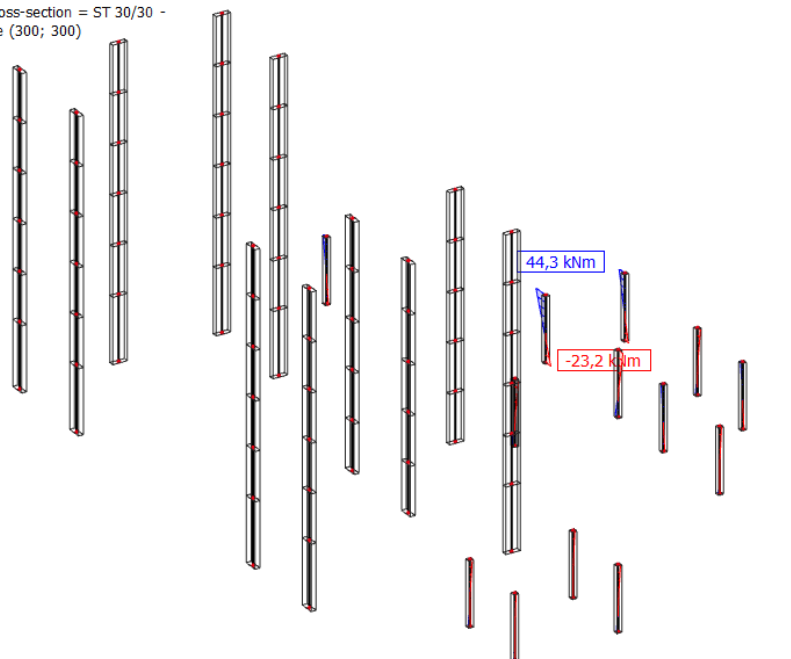


10.7 Prikaz uzdužne sile

• Kritični slučaj 5

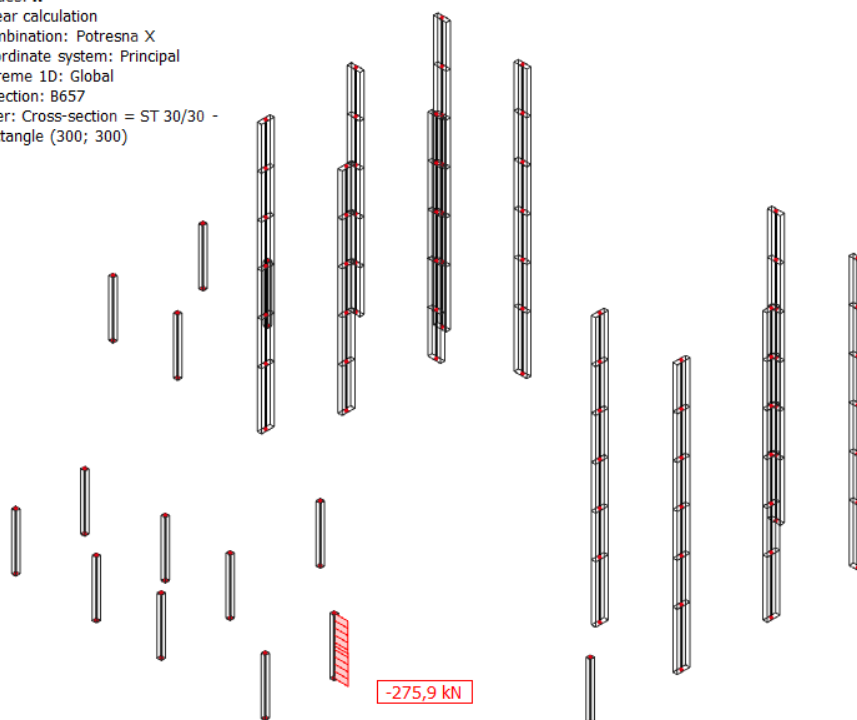
| Kombinacija | Poprečni presjek | M_{max} (kNm) | N_{prip} (kN) |
|---|------------------|-----------------|-----------------|
| 1.0G + 1.0ΔG +0.5Q + 1.0S _x +0.3S _y | 30/30 | 44,3 | -275,9 |

1D internal forces
 Values: M_y
 Linear calculation
 Combination: Potresna X
 Coordinate system: Principal
 Extreme 1D: Global
 Selection: All
 Filter: Cross-section = ST 30/30 -
 Rectangle (300; 300)



10.9 Prikaz momenata savijanja M_y

1D internal forces
 Values: N
 Linear calculation
 Combination: Potresna X
 Coordinate system: Principal
 Extreme 1D: Global
 Selection: B657
 Filter: Cross-section = ST 30/30 -
 Rectangle (300; 300)



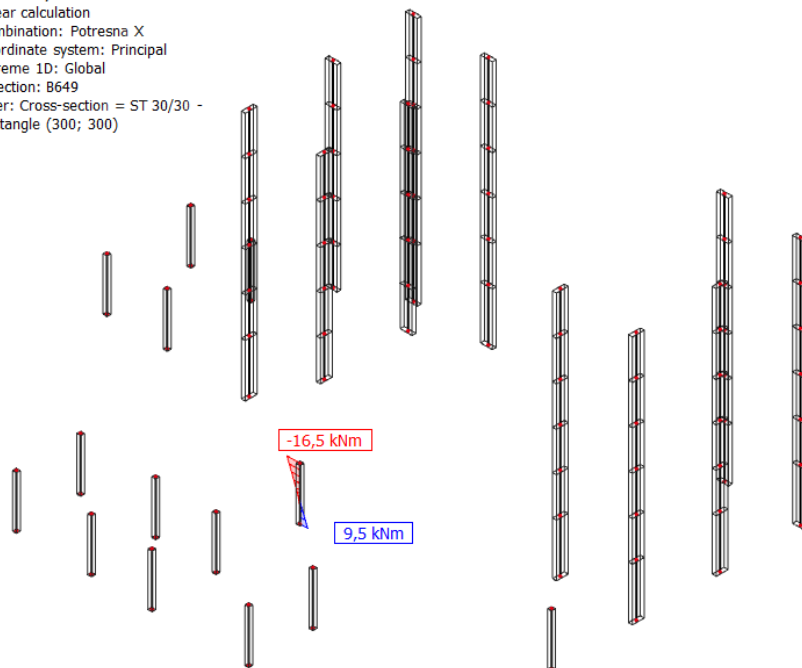
10.10 Prikaz pripadajuće uzdužne sile

• Kritični slučaj 6

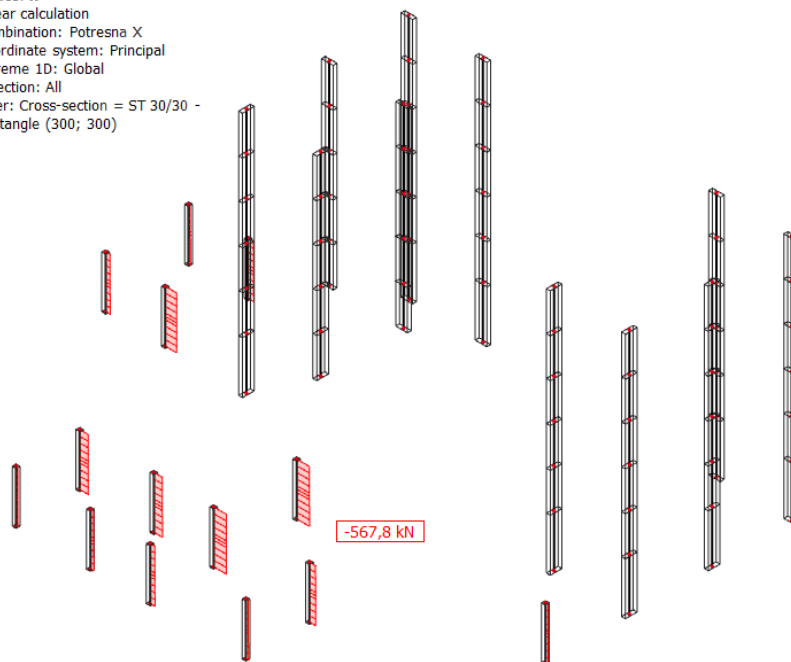
| Kombinacija | Poprečni presjek | M_{prip} (kNm) | N_{max} (kN) |
|---|------------------|------------------|----------------|
| 1.0G + 1.0ΔG +0.5Q + 1.0S _x +0.3S _y | 30/30 | 16,5 | -576,8 |

1D internal forces

Values: M_y
 Linear calculation
 Combination: Potresna X
 Coordinate system: Principal
 Extreme 1D: Global
 Selection: B649
 Filter: Cross-section = ST 30/30 -
 Rectangle (300; 300)

10.11 Prikaz pripadajućeg momenata savijanja M_y **1D internal forces**

Values: N
 Linear calculation
 Combination: Potresna X
 Coordinate system: Principal
 Extreme 1D: Global
 Selection: All
 Filter: Cross-section = ST 30/30 -
 Rectangle (300; 300)

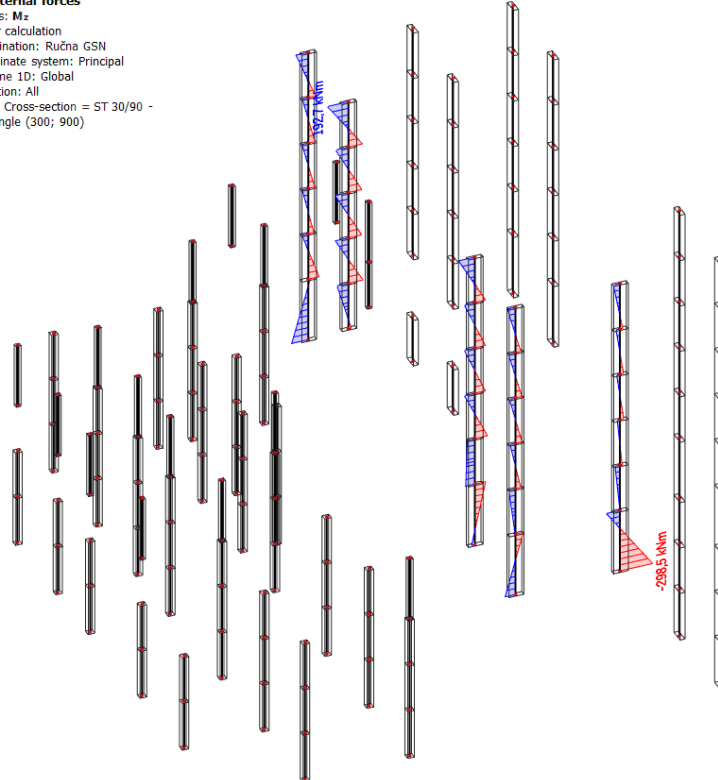


10.12 Prikaz uzdužne sile

• Kritični slučaj 7

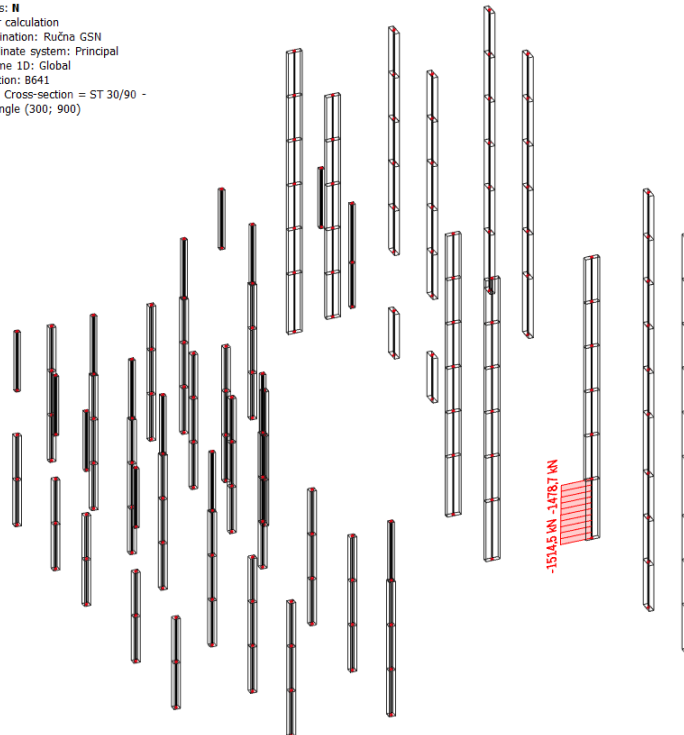
| Kombinacija | Poprečni presjek | Mz _{max} (kNm) | N _{prip} (kN) |
|-----------------------------|------------------|-------------------------|------------------------|
| 1.35G + 1.35ΔG +1.5·1.2Q | 30/90 | 298,5 | -1514,5 |

1D internal forces
 Values: Mz
 Linear calculation
 Combination: Ručna GSN
 Coordinate system: Principal
 Extreme 1D: Global
 Selection: All
 Filter: Cross-section = ST 30/90 -
 Rectangle (300; 900)



10.14 Prikaz momenata savijanja Mz

1D internal forces
 Values: N
 Linear calculation
 Combination: Ručna GSN
 Coordinate system: Principal
 Extreme 1D: Global
 Selection: B641
 Filter: Cross-section = ST 30/90 -
 Rectangle (300; 900)



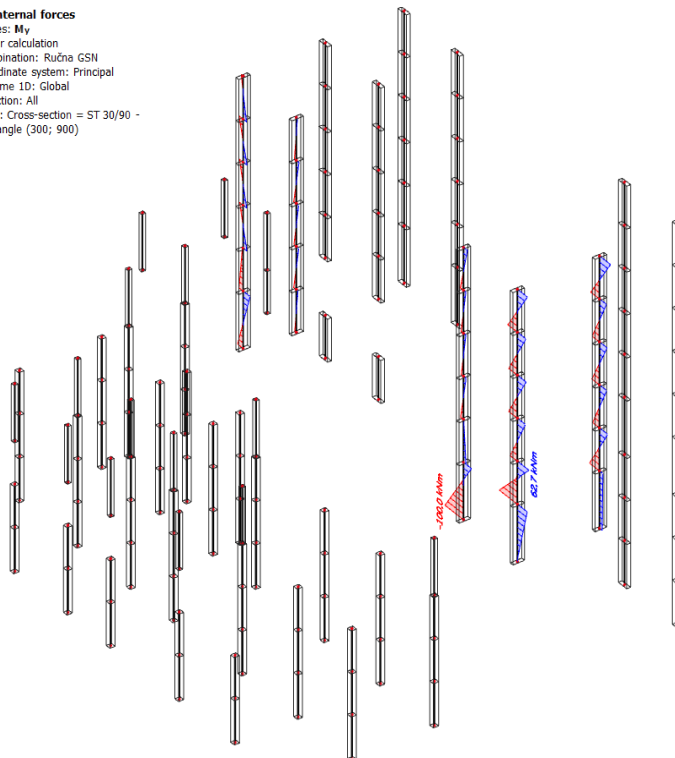
10.13 Prikaz pripadajuće uzdužne sile

• Kritični slučaj 8

| Kombinacija | Poprečni presjek | $M_{y_{max}}$ i $M_{y_{prip}}$ (kNm) | N_{prip} i max (kN) |
|-----------------------------|------------------|--------------------------------------|-----------------------|
| 1.35G + 1.35ΔG +1.5·1.2Q | 30/90 | 100,0 | -2174,5 |

1D internal forces

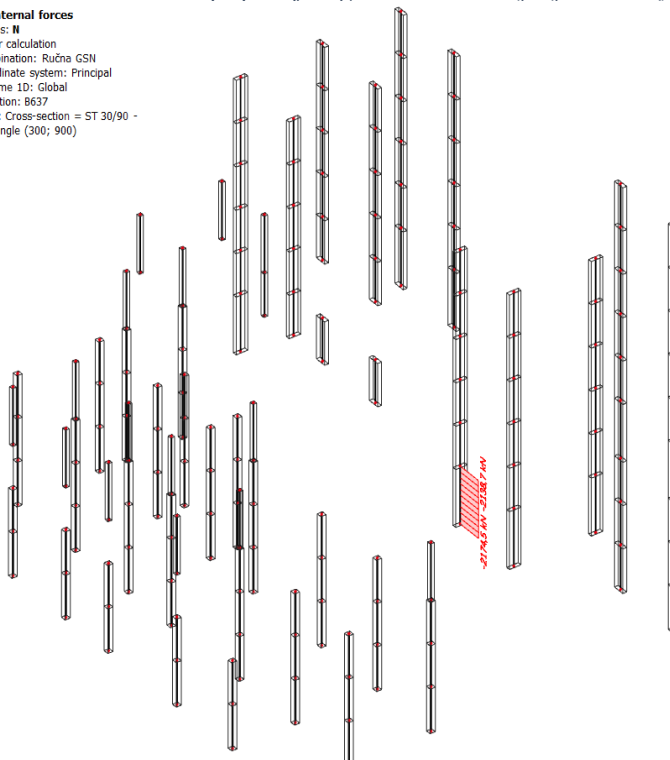
Values: M_y
 Linear calculation
 Combination: Ručna GSN
 Coordinate system: Principal
 Extreme 1D: Global
 Selection: All
 Filter: Cross-section = ST 30/90 -
 Rectangle (300; 900)



10.16 Prikaz pripadajućeg momenata savijanja M_z i M_y

1D internal forces

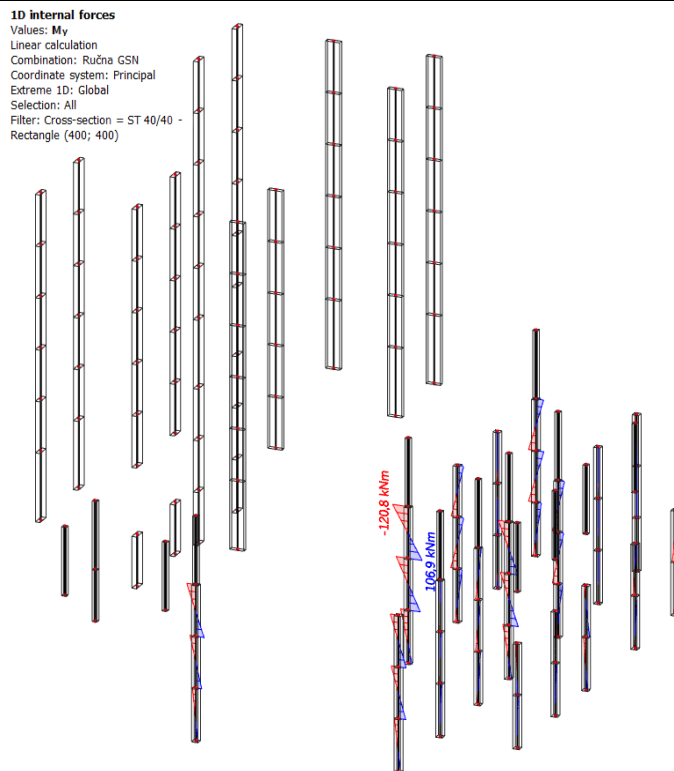
Values: N
 Linear calculation
 Combination: Ručna GSN
 Coordinate system: Principal
 Extreme 1D: Global
 Selection: B637
 Filter: Cross-section = ST 30/90 -
 Rectangle (300; 900)



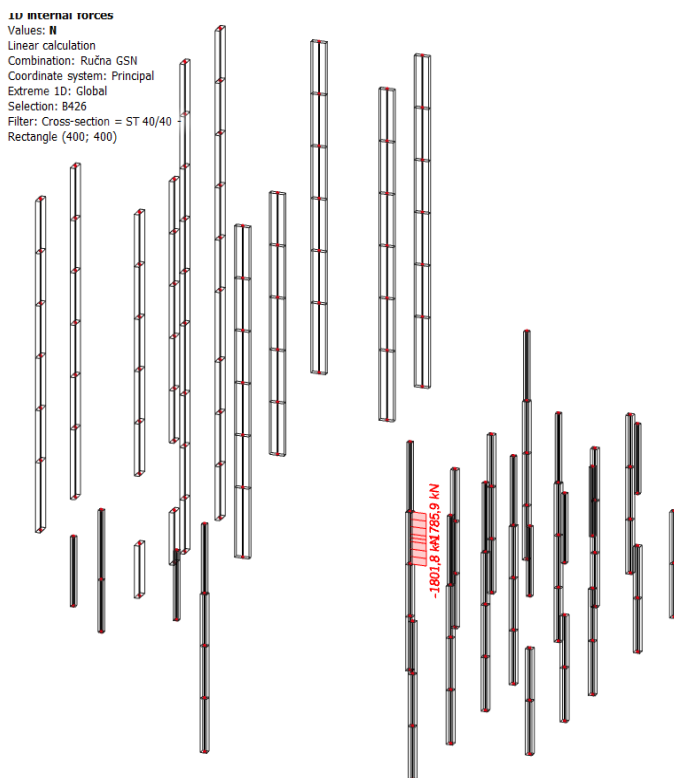
10.15 Prikaz uzdužne sile

• Kritični slučaj 9

| Kombinacija | Poprečni presjek | M _{max} (kNm) | N _{prip} (kN) |
|-----------------------------|------------------|------------------------|------------------------|
| 1.35G + 1.35ΔG +1.5·1.2Q | 40/40 | 120,8 | -1801,7 |



10.18 Prikaz momenta savijanja My

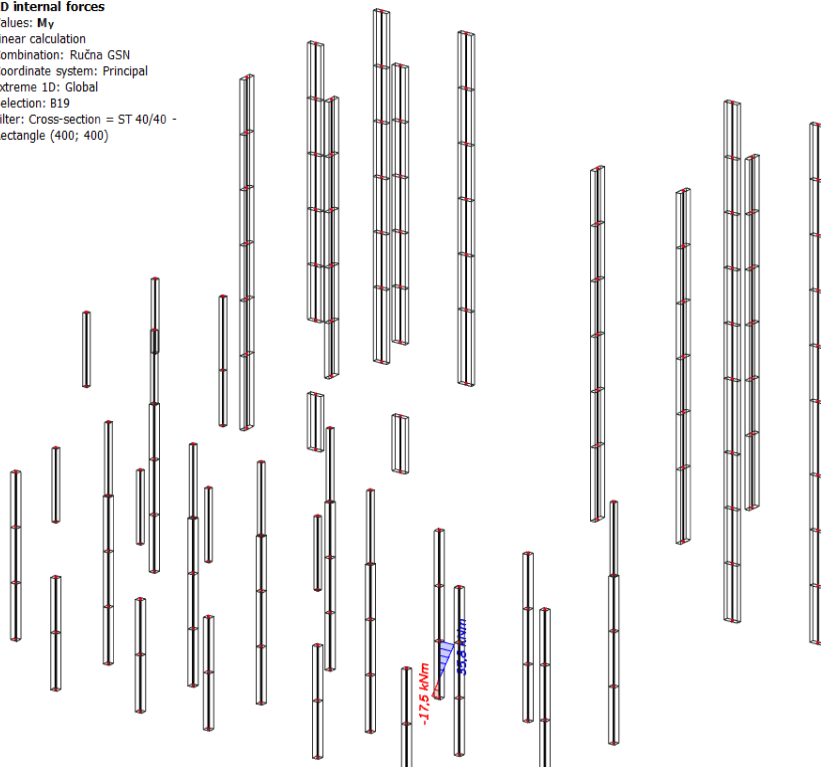


10.17 Prikaz pripadajuće uzdužne sile

• Kritični slučaj 10

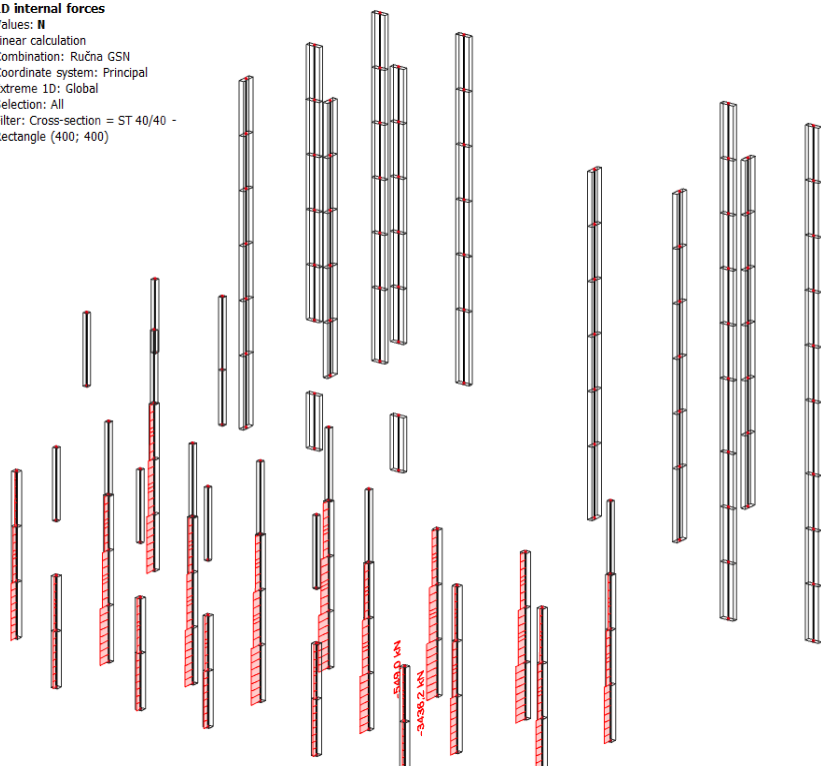
| Kombinacija | Poprečni presjek | M _{prip} (kNm) | N _{max} (kN) |
|-----------------------------|------------------|-------------------------|-----------------------|
| 1.35G + 1.35ΔG +1.5·1.2Q | 40/40 | -17,5 | -3436,2 |

1D internal forces
 Values: M_y
 Linear calculation
 Combination: Ručna GSN
 Coordinate system: Principal
 Extreme 1D: Global
 Selection: B19
 Filter: Cross-section = ST 40/40 -
 Rectangle (400; 400)



10.19 Prikaz pripadajućeg momenata savijanja My

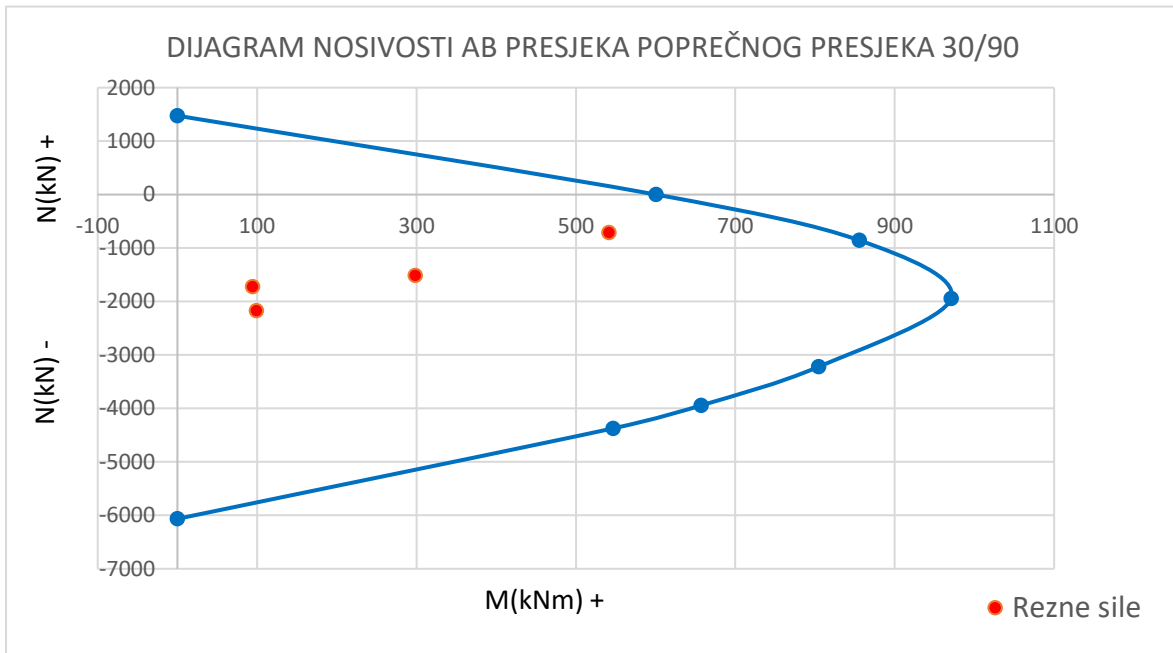
1D internal forces
 Values: N
 Linear calculation
 Combination: Ručna GSN
 Coordinate system: Principal
 Extreme 1D: Global
 Selection: All
 Filter: Cross-section = ST 40/40 -
 Rectangle (400; 400)



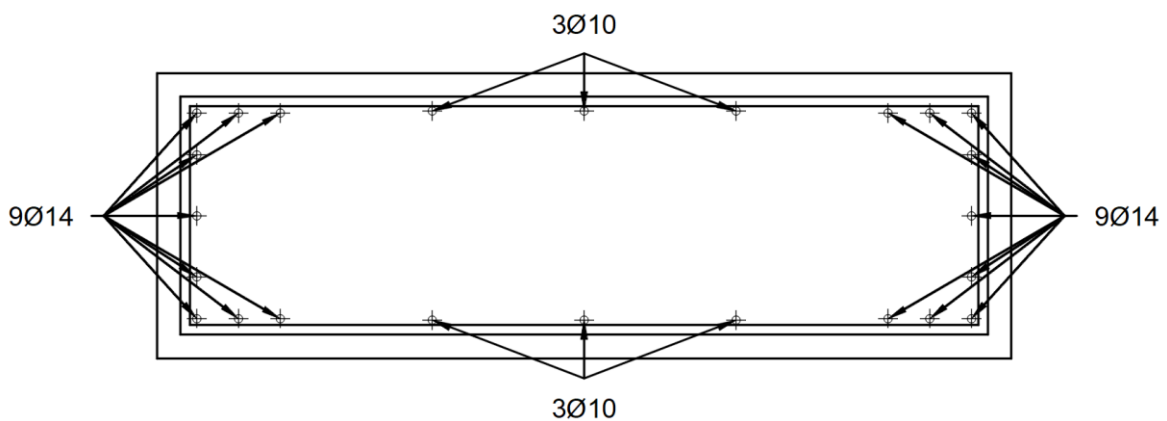
10.20 Prikaz uzdužne sile

Tablica 10.1 Rezne sile u stupovima

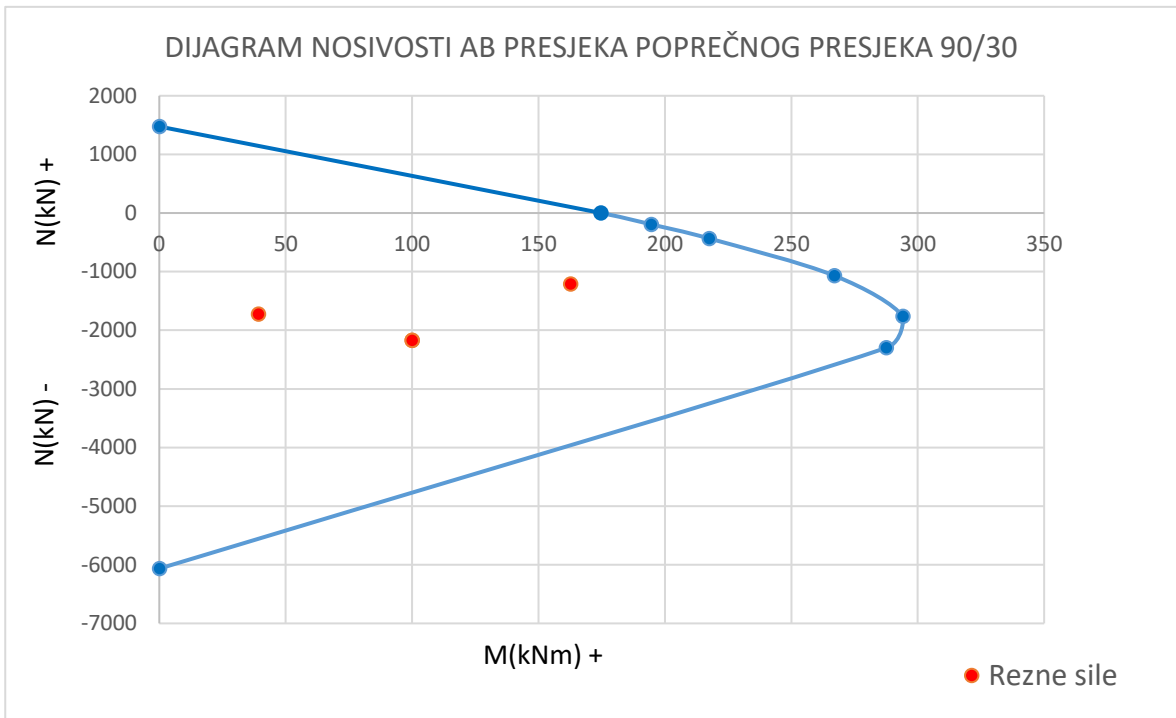
| | | | | | | | | | |
|-------|---------|-------|-------|---------|-------|---------|-------|-------|---------|
| 30/30 | Mmax | 44,3 | Nprip | -275,9 | 40/40 | Mmax | 120,8 | Nprip | -1801,7 |
| | Mprip | 16,5 | Nmax | -567,8 | | Mprip | 17,5 | Nmax | -3436,2 |
| 30/90 | Mmax z | 541,6 | Nprip | -708,4 | 30/90 | Mmax z | 298,5 | Nprip | -1514,5 |
| | Mmax y | 162,7 | Nprip | -1213,2 | | Mmax y | 100 | Nprip | -2174,5 |
| | Mprip y | 39,2 | Nmax | -1725,8 | | Mprip y | 100 | Nmax | -2174,5 |
| | Mprip z | 94,5 | Nmax | -1725,8 | | Mprip z | 99,3 | Nmax | -2174,5 |



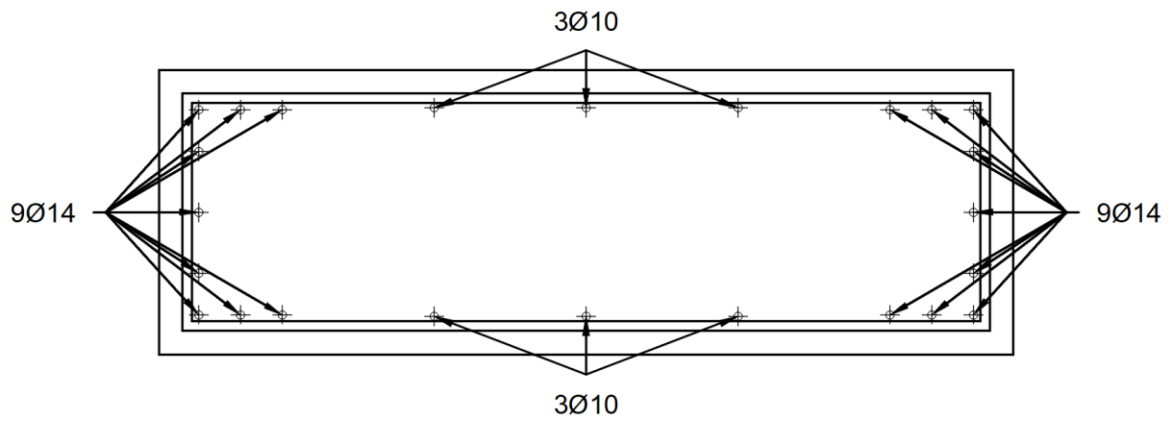
10.21 Dijagram nosivosti



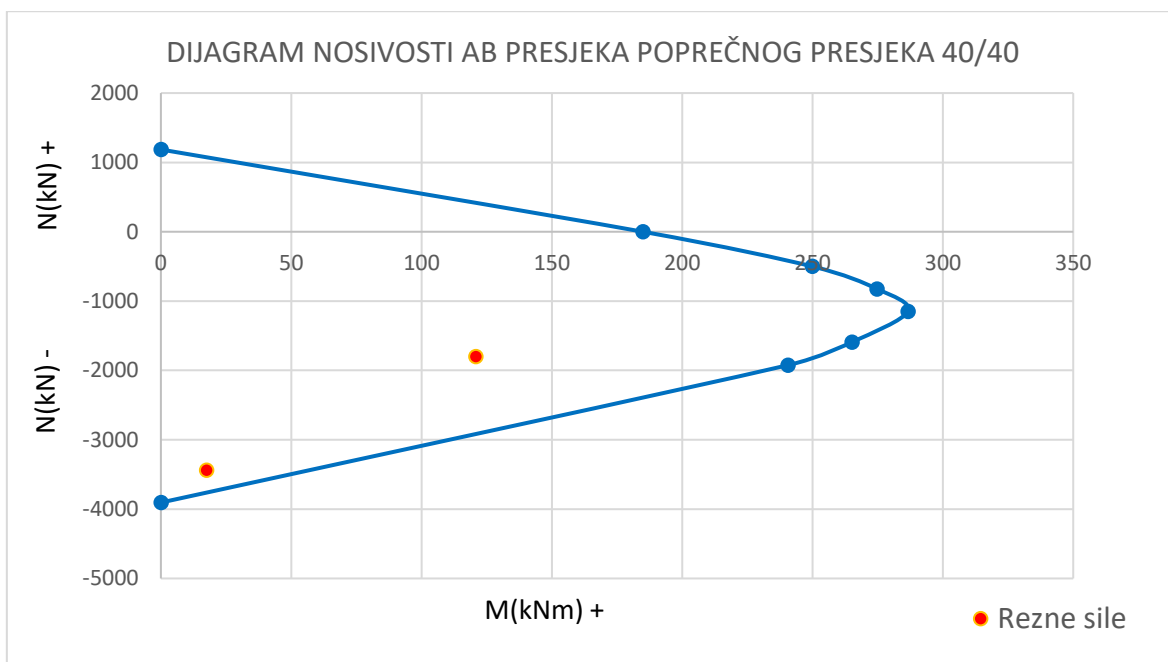
10.22 Skica armature stupa



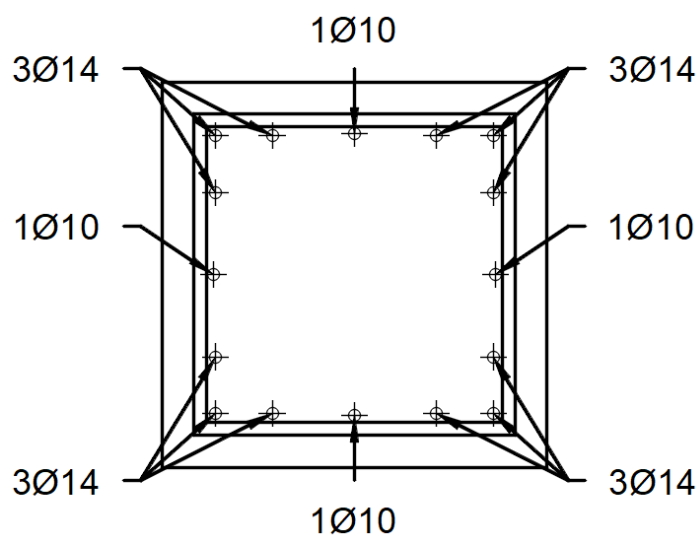
10.24 Dijagram nosivosti



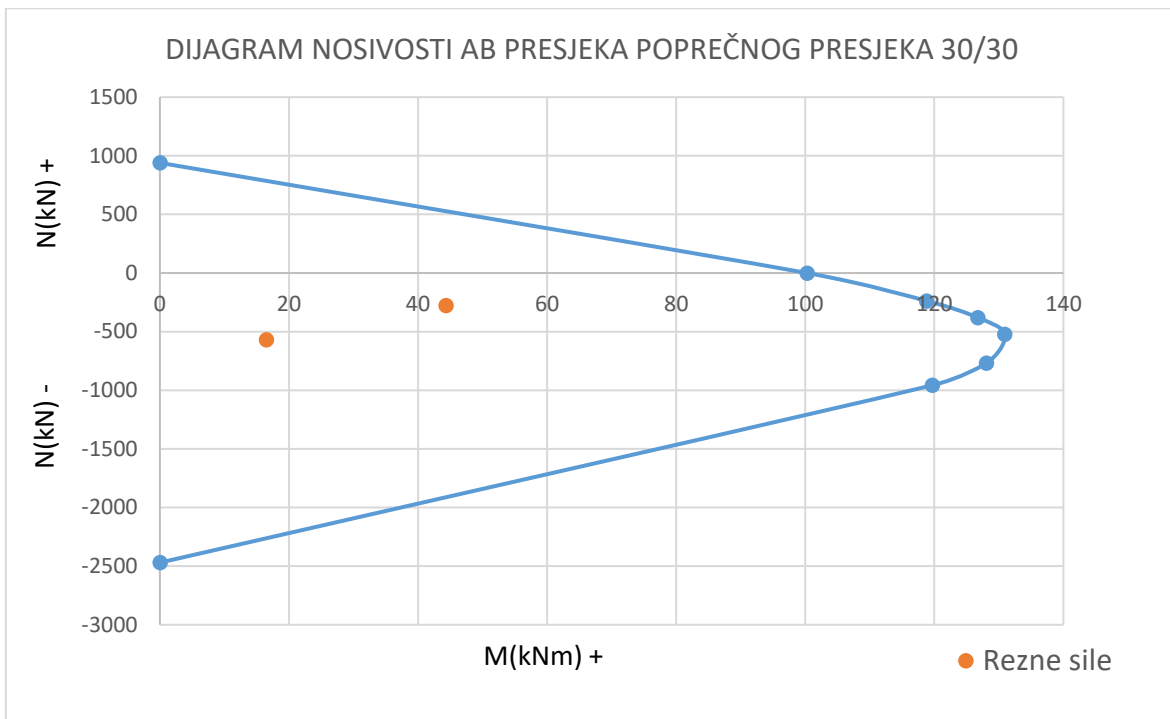
10.23 Skica armature stupa



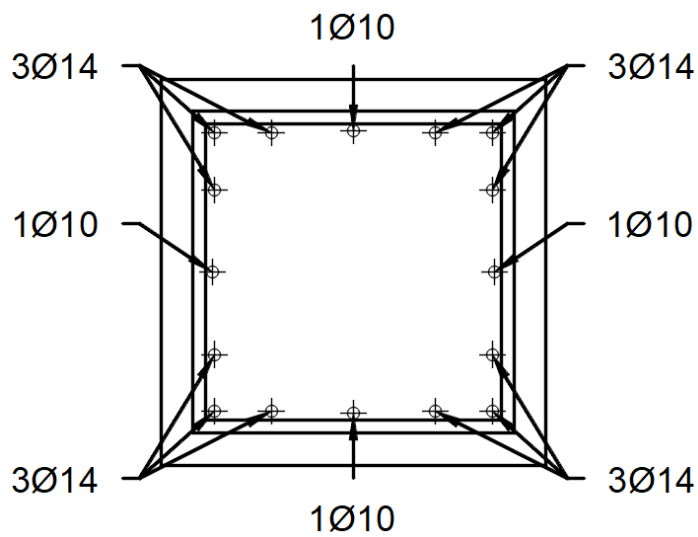
10.25 Dijagram nosivosti



10.26 Skica armature stupa



10.28 Dijagram nosivosti

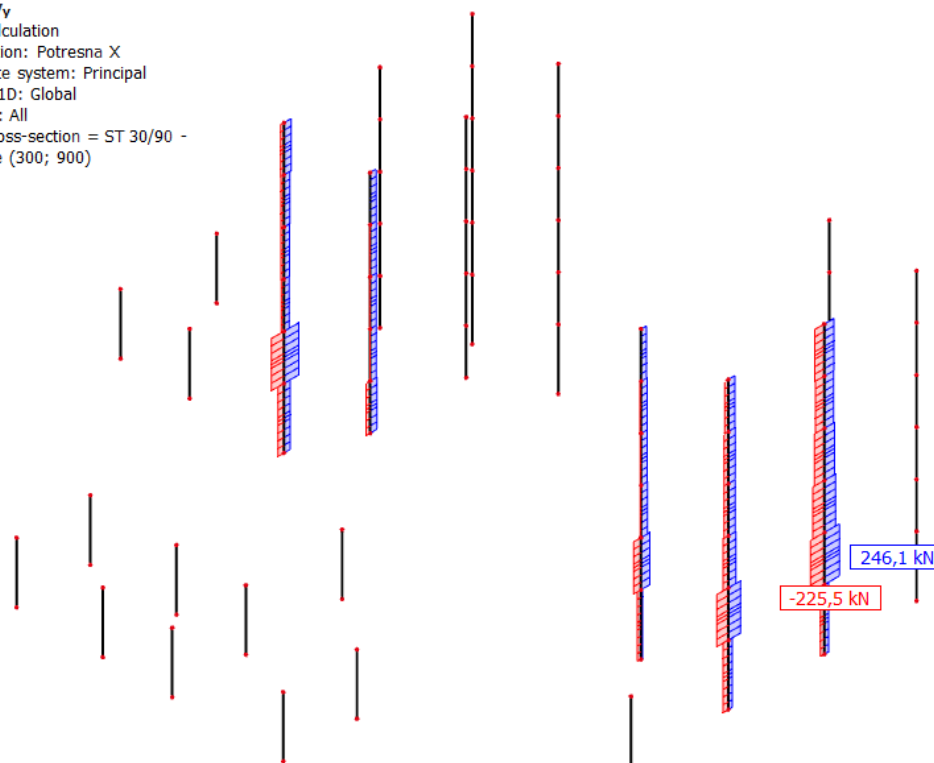


10.27 Skica armature stupa

10.1.1. PRORAČUN NA POPREČNU SILU

1D internal forces

Values: Vy
 Linear calculation
 Combination: Potresna X
 Coordinate system: Principal
 Extreme 1D: Global
 Selection: All
 Filter: Cross-section = ST 30/90 -
 Rectangle (300; 900)



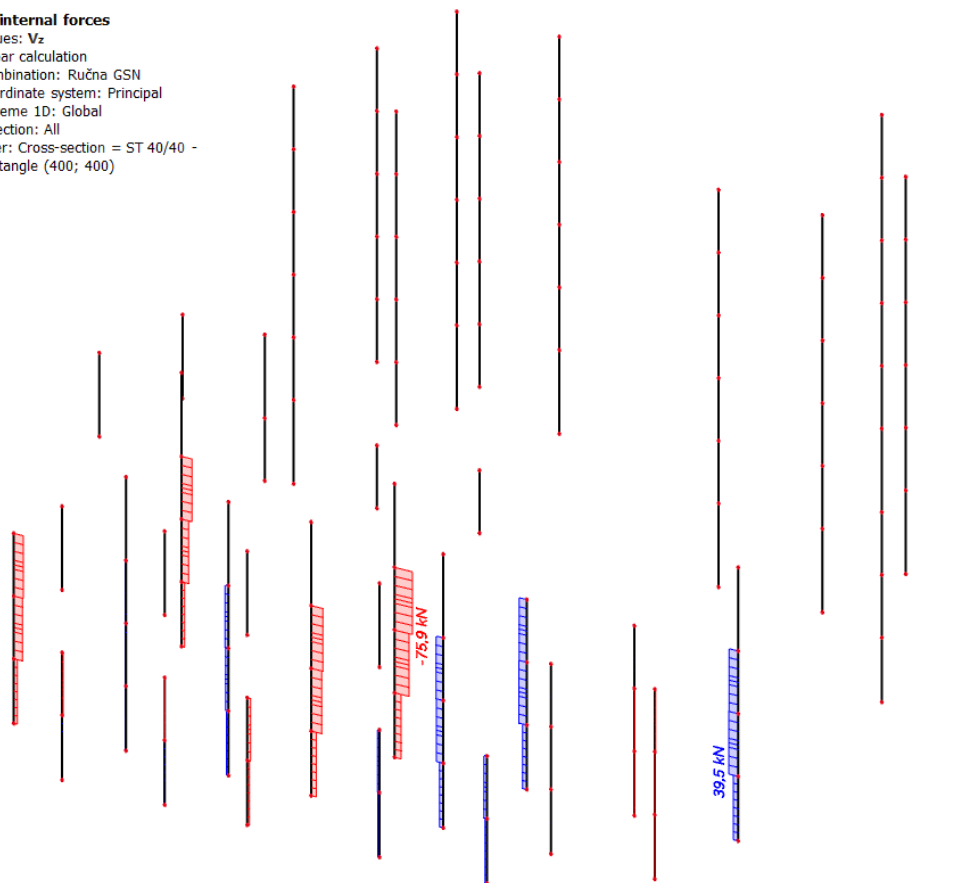
10.29 Prikaz poprečnih sila na stupovima

Tablica 10.2 Dimenzioniranje stupova na poprečnu silu

| | | | | | |
|---|--------|---|-----------------------------------|----|--------------------------------------|
| $V_{Rd,c,mjer} = \max(V_{Rd,c}, V_{Rd,c,min})$ $V_{Ed} \leq V_{Rd,max} = 0.5 \cdot v \cdot b_w \cdot d \cdot f_{cd}$ $V_{wd} = \frac{m \cdot A_{sw} \cdot f_{yw,d} \cdot z}{s_w}$ | | Materijali: C 30/37 f_{ck} 30,00 Mpa f_{cd} 20,00 Mpa B 500B f_{yk} 500,00 Mpa f_{yd} 434,78 Mpa Opterećenje: M_{Ed} 106,90 kNm Odabrana armatura: A_{s1} 6,16 cm ² V_{sd} 75,90 kN N_{sd} -1801,70 kN | | | |
| Geometrija: | | | | | |
| b | 50,00 | cm | | | |
| h | 30,00 | cm | | | |
| d ₁ (d ₂) | 5,00 | cm | f_{cd} 2,00 kN/cm ² | | |
| d | 25,00 | cm | f_{yd} 43,48 kN/cm ² | | |
| k | 1,89 | ≤ | 2,00 | | |
| k | 1,89 | | | | |
| k ₁ | 0,15 | | | | |
| ρL | 0,005 | < | 0,02 | | |
| σ _{cd} | -1,20 | | | | |
| cR _{dc} | 0,12 | | | | |
| VR _{d,c} | 47,22 | kNm | | | |
| VR _{d,max} | 660,00 | kN | | | |
| v | 0,528 | | | | |
| V _{ed,max} /VR _{d2} | 0,12 | | | | |
| s _{max} | 18,75 | cm | | | |
| m | 2 | | | | |
| Odabrane spone | | Ø8/25 | 0,50 20,0 | cm | duž cijelog stupa osim 1m uz oslonce |
| VR _d | 48,9 | kN | | | |
| VR _{d,max} | 675,0 | kN | | | |
| spot | 12,9 | cm | | | |
| Odabrane spone na ležaju | | Ø8/10 | 0,50 10,0 | cm | 1m uz oslonce |

1D internal forces

Values: Vz
 Linear calculation
 Combination: Ručna GSN
 Coordinate system: Principal
 Extreme 1D: Global
 Selection: All
 Filter: Cross-section = ST 40/40 -
 Rectangle (400; 400)



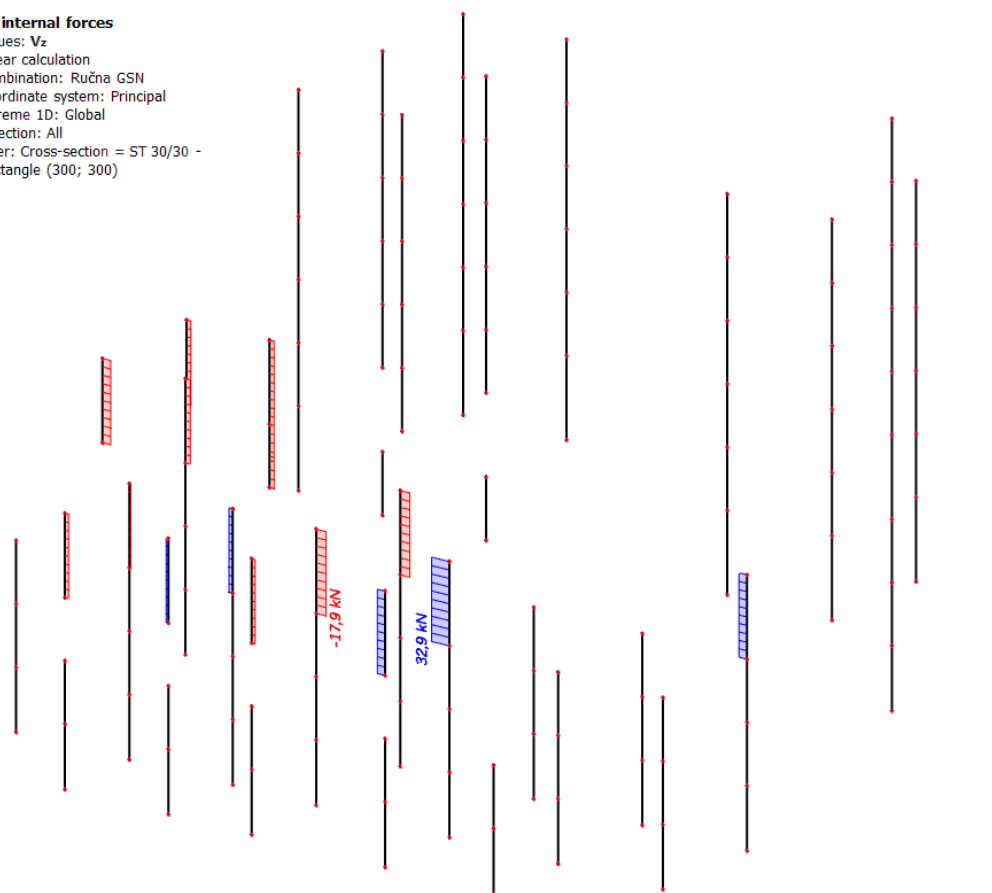
10.30 Prikaz poprečnih sila na stupovima

Tablica 10.3 Dimenzioniranje stupova na poprečnu silu

| | | | |
|---|--------|---|-----------------------------------|
| $V_{Rd,c,mjer} = \max(V_{Rd,c}, V_{Rd,c,min})$ $V_{Ed} \leq V_{Rd,max} = 0.5 \cdot v \cdot b_w \cdot d \cdot f_{cd}$ $V_{wd} = \frac{m \cdot A_{sw} \cdot f_{yw,d} \cdot Z}{S_w}$ | | Materijali: C 30/37 f_{ck} 30,00 Mpa f_{cd} 20,00 Mpa B 500B f_{yk} 500,00 Mpa f_{yd} 434,78 Mpa Opterećenje: M_{Ed} 48,90 kNm Odabrana armatura: A_{s1} 6,16 cm ² V_{sd} 32,90 kN N_{sd} -460,90 kN | |
| Geometrija: | | | |
| b | 50,00 | cm | |
| h | 30,00 | cm | |
| d₁ (d₂) | 5,00 | cm | f_{cd} 2,00 kN/cm ² |
| d | 25,00 | cm | f_{yd} 43,48 kN/cm ² |
| k | 1,89 | ≤ | 2,00 |
| k | 1,89 | | |
| k₁ | 0,15 | | |
| ρL | 0,005 | < | 0,02 |
| σ_{cd} | -0,31 | | |
| cR_{d,c} | 0,12 | | |
| VR_{d,c} | 63,98 | kNm | |
| VR_{d,max} | 660,00 | kN | |
| v | 0,528 | | |
| V_{ed,max}/VR_{d2} | 0,05 | | |
| s_{max} | 18,75 | cm | |
| m | 2 | | |
| Odabrane spone | Ø8/25 | 0,50 25,0 | cm duž cijelog stupa |
| VR_d | 39,1 | kN | |
| VR_{d,max} | 675,0 | kN | |
| s_{pot} | 29,7 | cm | |
| Odabrane spone na ležaju | Ø8/25 | 0,50 25,0 | cm |

1D internal forces

Values: Vz
 Linear calculation
 Combination: Ručna GSN
 Coordinate system: Principal
 Extreme 1D: Global
 Selection: All
 Filter: Cross-section = ST 30/30 -
 Rectangle (300; 300)



10.31 Prikaz poprečnih sila na stupovima

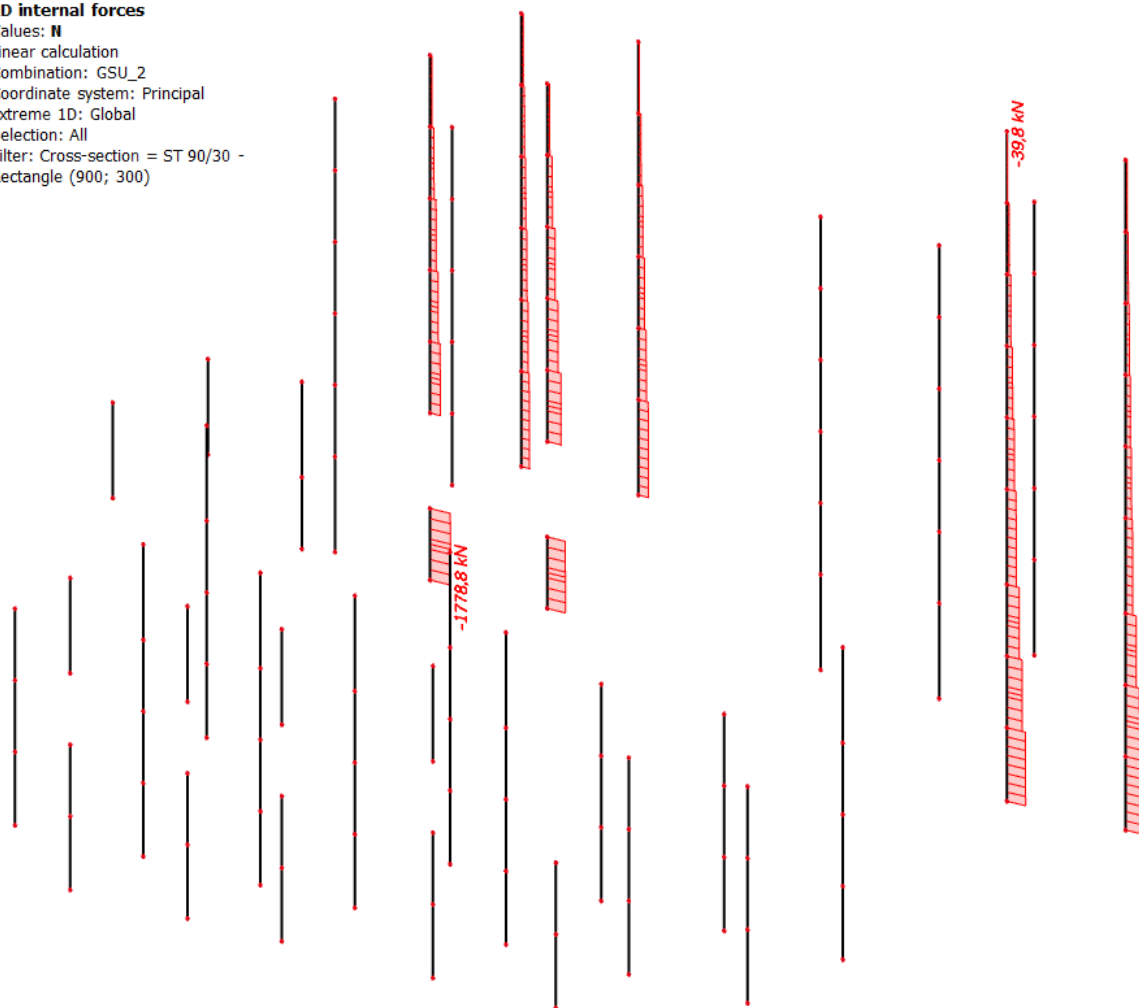
Tablica 10.4 Dimenzioniranje stupova na poprečnu silu

| $V_{Rd,c,mjer} = \max(V_{Rd,c}, V_{Rd,c,min})$ $V_{Ed} \leq V_{Rd,max} = 0.5 \cdot v \cdot b_w \cdot d \cdot f_{cd}$ $V_{wd} = \frac{m \cdot A_{sw} \cdot f_{yw,d} \cdot z}{s_w}$ | | Materijali: C 30/37 f_{ck} 30,00 Mpa f_{cd} 20,00 Mpa B 500B f_{yk} 500,00 Mpa f_{yd} 434,78 Mpa Opterećenje: M_{Ed} 503,10 kNm Odbrana armatura: A_{s1} 6,16 cm ² V_{sd} 246,10 kN N_{sd} -995,30 kN | | | | | | | | | | | | | |
|---|------|---|--------|-----|------------|----|------|------|----|------|------|-----|------|------|--|
| Geometrija: b 50,00 cm h 30,00 cm d₁ (d₂) 5,00 cm d 25,00 cm k 1,89 ≤ 2,00 k 1,89 k₁ 0,15 ρL 0,005 < 0,02 σ_{cd} -0,66 cR_{dc} 0,12 VR_{d,c} 57,30 kNm VR_{d,max} 660,00 kN v 0,528 V_{ed,max}/VR_{d2} 0,37 s_{max} 18,75 cm m 2 | | f_{cd} 2,00 kN/cm ² f_{yd} 43,48 kN/cm ² | | | | | | | | | | | | | |
| | | <table border="1"> <thead> <tr> <th>Profil</th> <th>Asw</th> <th>max razmak</th> </tr> </thead> <tbody> <tr> <td>Ø6</td> <td>0,28</td> <td>11,2</td> </tr> <tr> <td>Ø8</td> <td>0,50</td> <td>20,0</td> </tr> <tr> <td>Ø10</td> <td>0,79</td> <td>31,6</td> </tr> </tbody> </table> | Profil | Asw | max razmak | Ø6 | 0,28 | 11,2 | Ø8 | 0,50 | 20,0 | Ø10 | 0,79 | 31,6 | |
| Profil | Asw | max razmak | | | | | | | | | | | | | |
| Ø6 | 0,28 | 11,2 | | | | | | | | | | | | | |
| Ø8 | 0,50 | 20,0 | | | | | | | | | | | | | |
| Ø10 | 0,79 | 31,6 | | | | | | | | | | | | | |
| Odbrane spone Ø8/25 0,50 20,0 cm duž cijelog stupa osim 1m uz oslonce VR_d 48,9 kN VR_{d,max} 675,0 kN spot≤ 4,0 cm Odbrane spone na ležaju Ø8/10 0,50 10,0 cm 1m uz oslonce | | | | | | | | | | | | | | | |

10.1.2. OGRANIČENJE TLAČNIH NAPREZANJA

1D internal forces

Values: **N**
 Linear calculation
 Combination: GSU_2
 Coordinate system: Principal
 Extreme 1D: Global
 Selection: All
 Filter: Cross-section = ST 90/30 -
 Rectangle (900; 300)



10.32 Prikaz uzdužnih sila na stupovima 30/90

$$\sigma = \frac{N}{A} = \frac{1778,8}{30 \cdot 90} = 6,59 \text{ MPa} < 13,5 \text{ MPa}$$

1D internal forcesValues: **N**

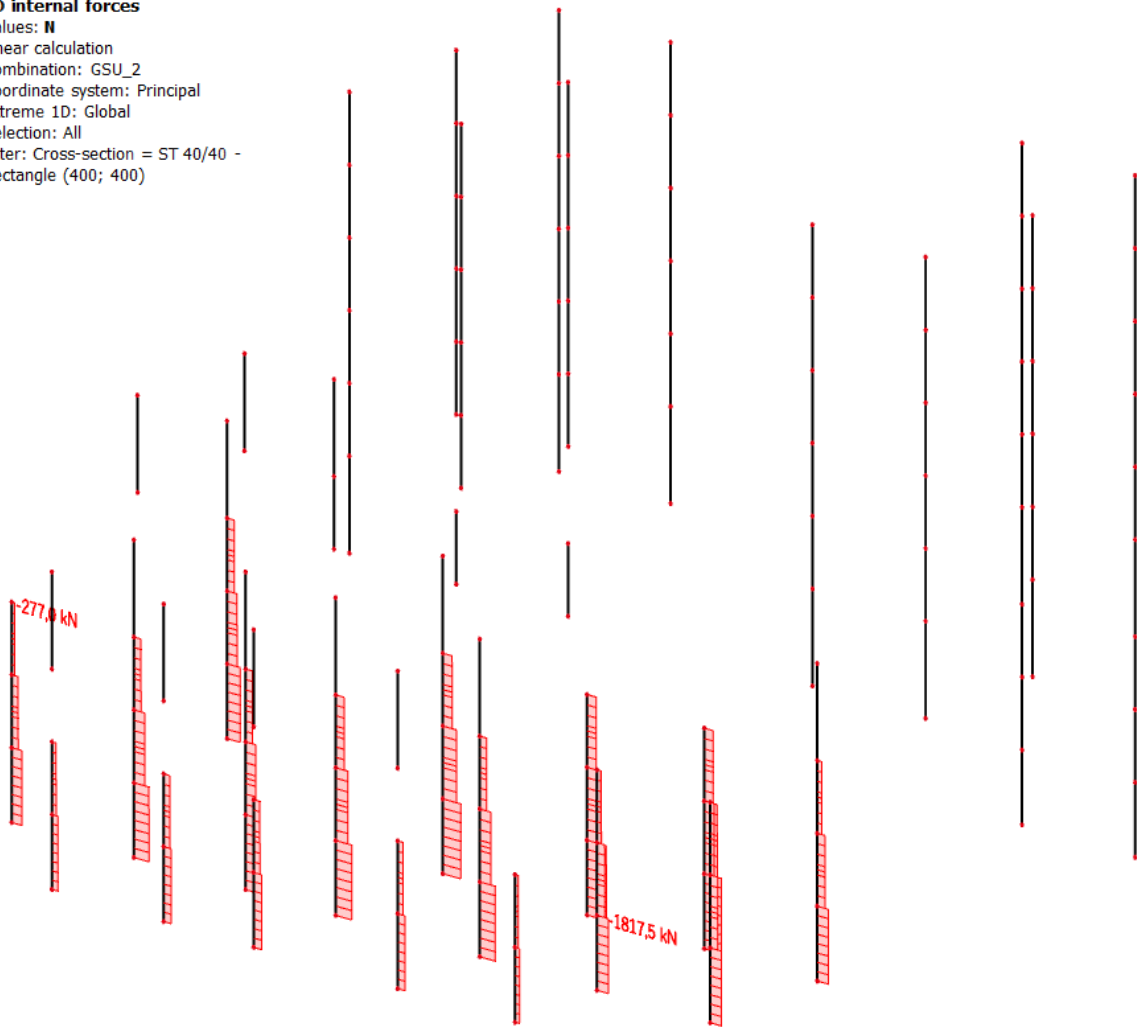
Linear calculation

Combination: GSU_2

Coordinate system: Principal

Extreme 1D: Global

Selection: All

Filter: Cross-section = ST 40/40 -
Rectangle (400; 400)

10.33 Prikaz uzdužnih sila na stupovima 40/40

$$\sigma = \frac{N}{A} = \frac{1817,5}{40 \cdot 40} = 11,35 \text{ MPa} < 13,5 \text{ MPa}$$

1D internal forcesValues: **N**

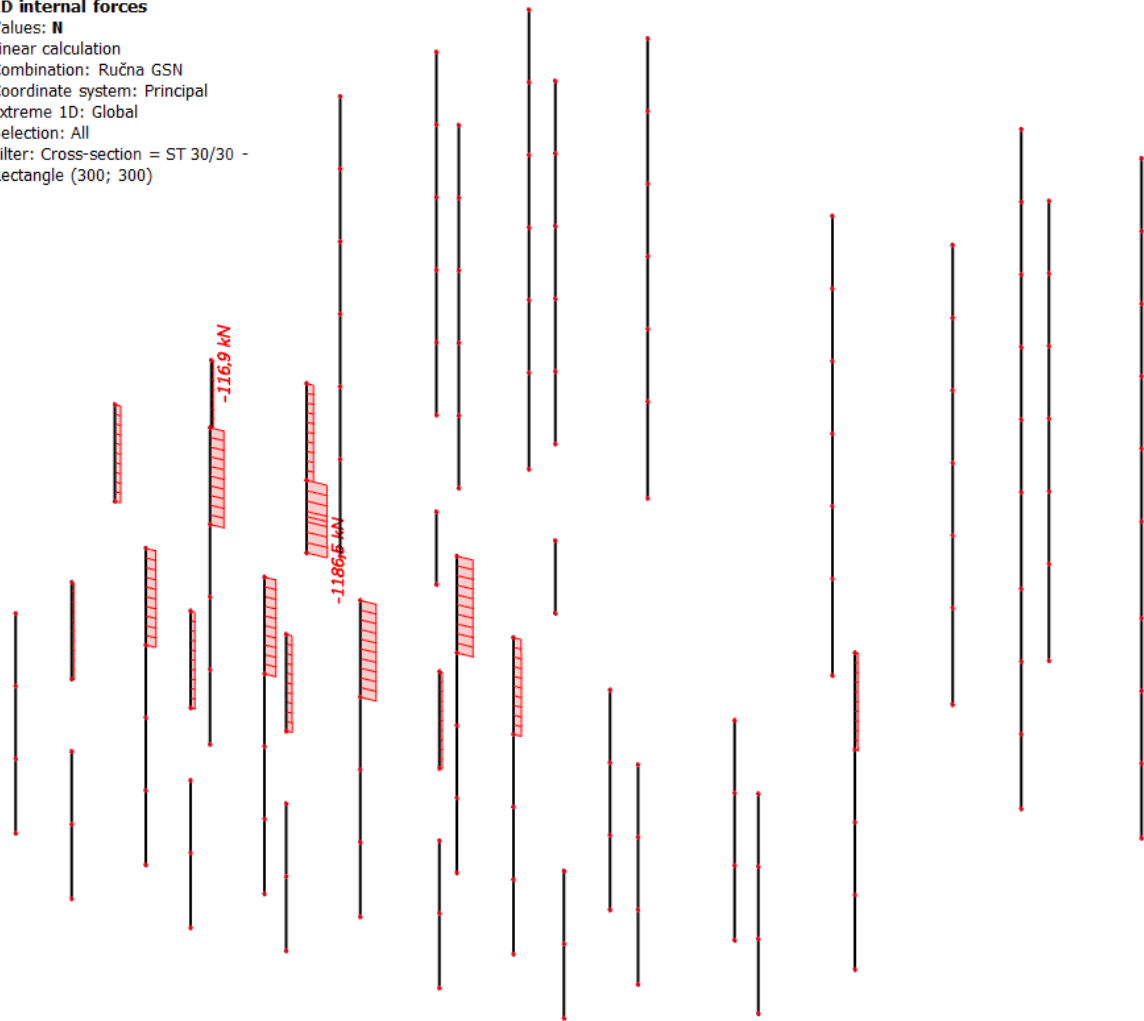
Linear calculation

Combination: Ručna GSN

Coordinate system: Principal

Extreme 1D: Global

Selection: All

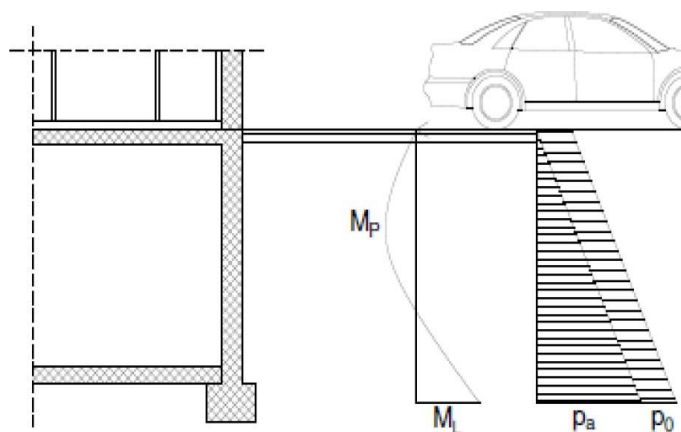
Filter: Cross-section = ST 30/30 -
Rectangle (300; 300)

10.34 Prikaz uzdužnih sila na stupovima 30/30

$$\sigma = \frac{N}{A} = \frac{1187,5}{30 \cdot 30} = 13,19 \text{ MPa} < 13,5 \text{ MPa}$$

10.2. ZIDOVI ZASUTI TLOM

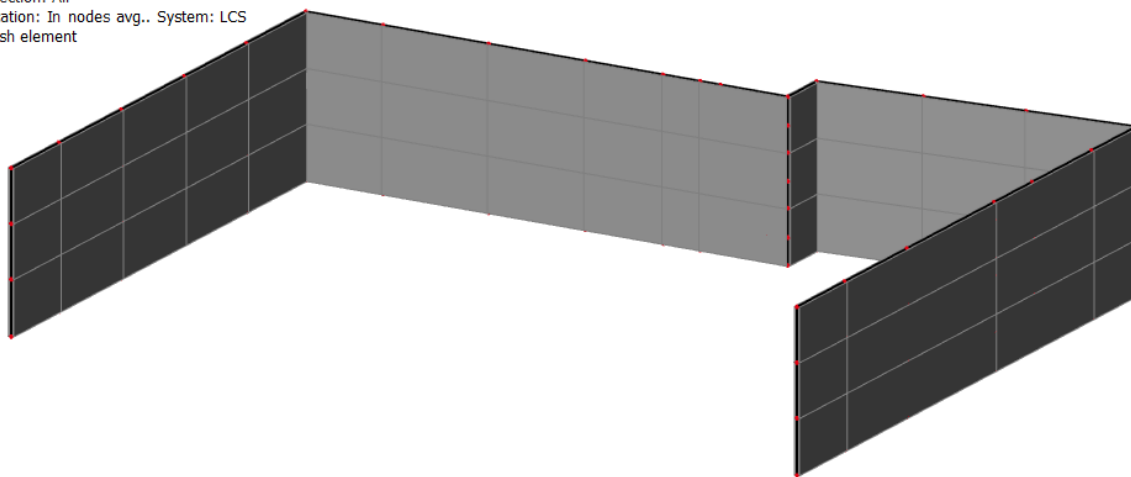
Obodni zidovi garaže (podruma -1,-2,-3) opterećeni su dodatno i aktivnim tlakom tla. Uz svoju nosivu ulogu u konstrukciji imaju i ulogu potpornog zida koji omeđuje cijelu građevinu na podzemnoj etaži. Postoji i mogućnost opterećenja toga zida uslijed dodatnog tlaka od terena u blizini zida na tlu (npr. automobili). Stoga je uzeto dodatno opterećenje u iznosu 5.0 kN/m^2 . Dodatni tlak vode se ne uzima u obzir budući da je nivo podzemne vode niži od kote temeljenja.



10.35 Prikaz opterećenja na obodni zid garaže

2D internal forces

Values: **m_y**
 Linear calculation
 Load case: TLO
 Extreme: Member
 Selection: All
 Location: In nodes avg.. System: LCS
 mesh element



10.36 Prikaz zidova u dodiru s tlom

Horizontalni bočni tlak uslijed opterećenja tlom računamo kao : $\sigma_h = \sigma_v \cdot K_0$

$K_0 = 0.4$ –koeficijent aktivnog tlaka

$\sigma_v = \gamma_{tla} \cdot H$ –vertikalno naprezanje u tlu

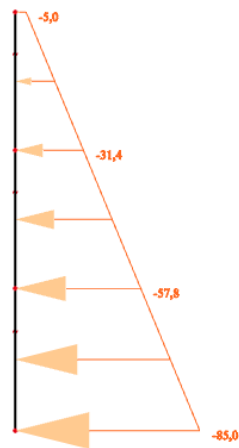
$\gamma_{tla} = 20 \text{ kN/m}^3$ – specifična težina zasipa

$H = 10 \text{ m}$ – visina zida ispod tla

$q_0 = 5.0 \text{ kN/m}^2$

$p_{zasipa} = 20 \cdot 10 \cdot 0.4 = 80 \text{ kN/m}^2$ – horizontalni tlak zasipa

$p_{ukupno} = 85 \text{ kN/m}^2$ – horizontalni tlak na dnu zida



10.37 Raspodjela opterećenja na zidovima

2D internal forces

Values: m_x

Linear calculation

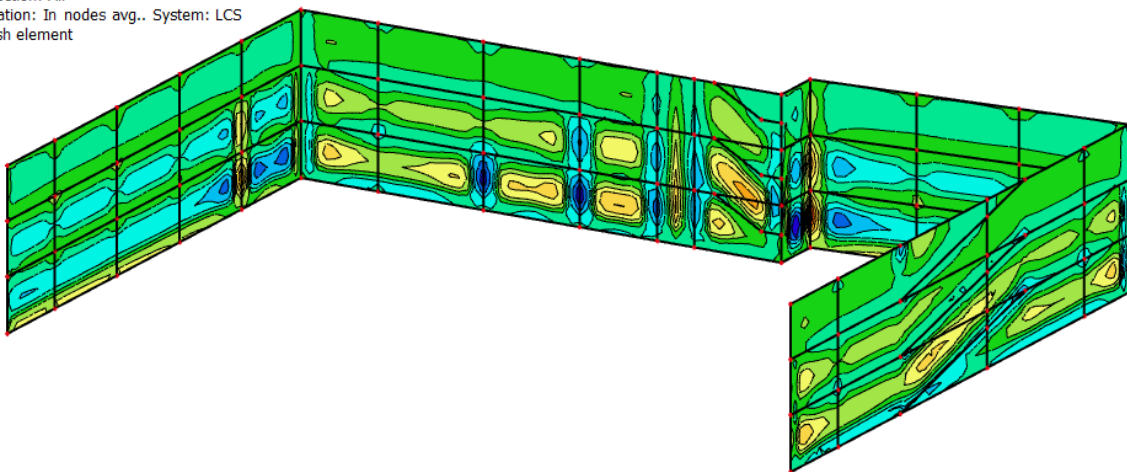
Load case: TLO

Extreme: Member

Selection: All

Location: In nodes avg.. System: LCS

mesh element



10.38 Prikaz momenata savijanja u X smjeru

2D internal forcesValues: m_y

Linear calculation

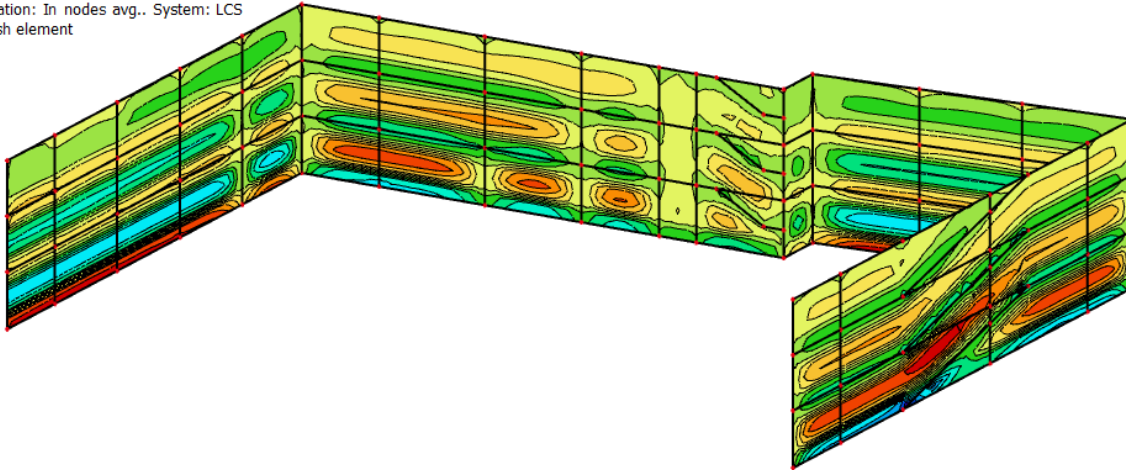
Load case: TLO

Extreme: Member

Selection: All

Location: In nodes avg., System: LCS

mesh element

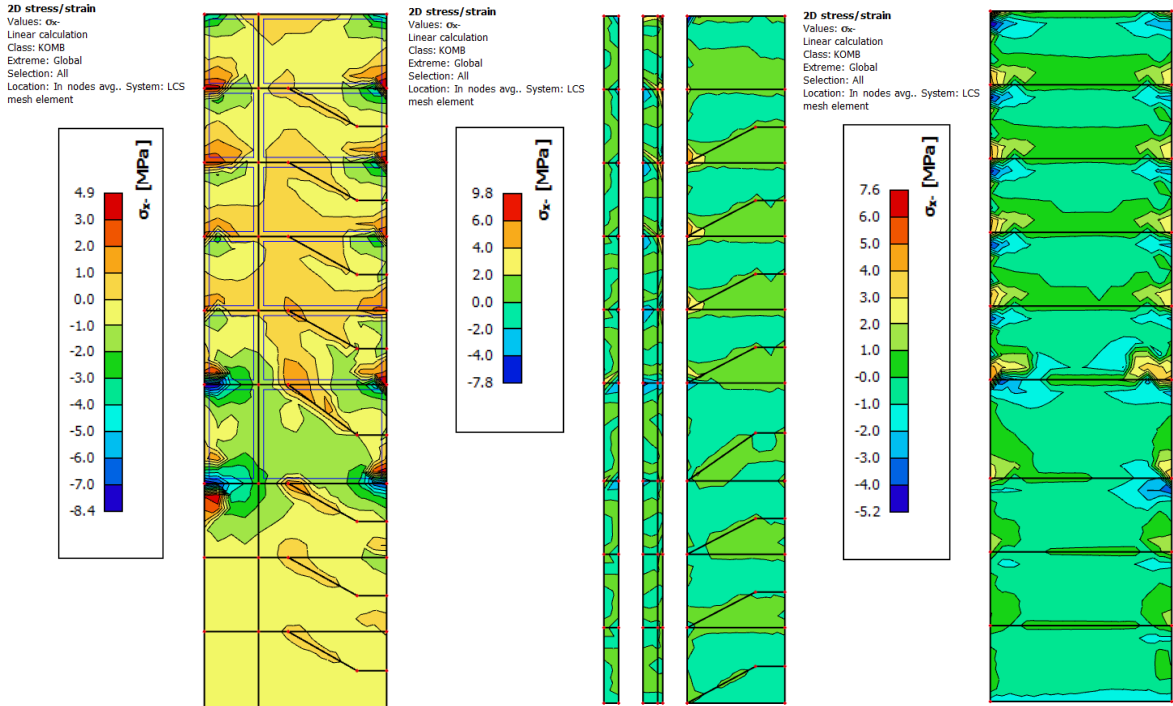


10.39 Prikaz momenata savijanja u Y smjeru

$$A_s = M_{Ed} / (z \cdot f_{yd}) = 38,6 \cdot 100 / (0,9 \cdot 30 \cdot 43,48) = 3,29 \text{ cm}^2/\text{m}'$$

Odabrana armatura za zidove garaže Q385 obostrano.

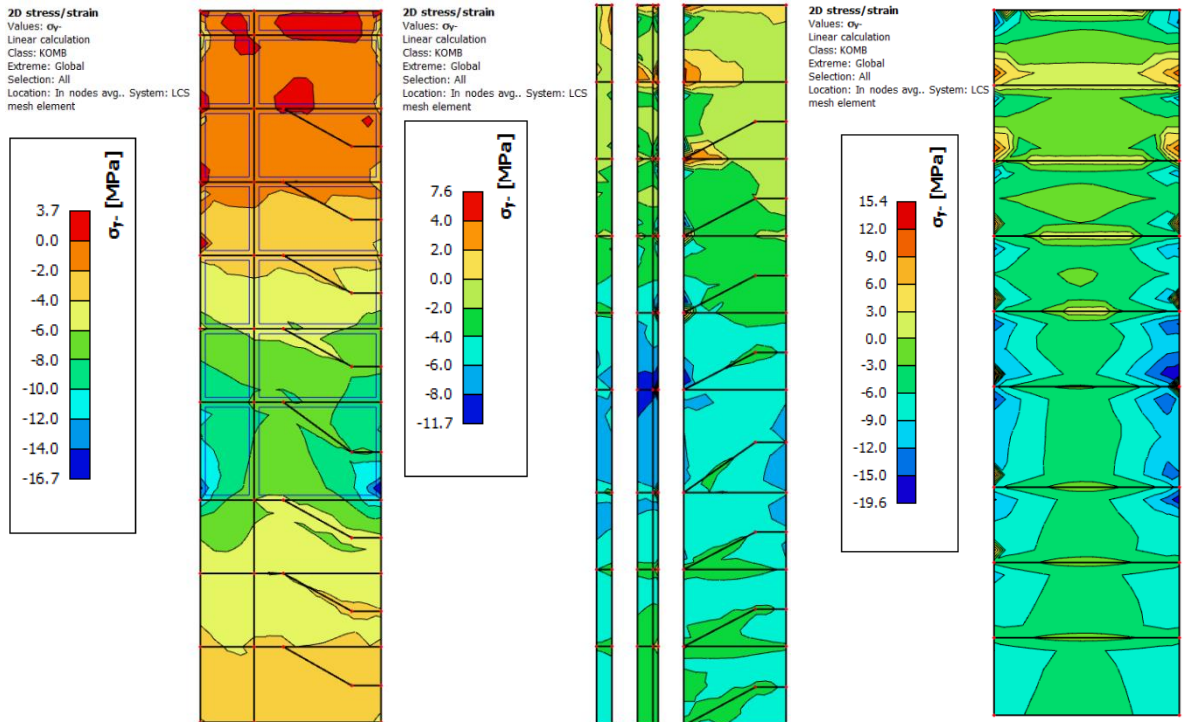
10.3. ZIDOVI KRUTE JEZGRE U X SMJERU



10.40 Naprezanja σ_x za anvelopu opterećenja ($SX+SY+GSN$)

Globalno tlačno naprezanje: $\sigma < 0,4 f_{cd} = 12,0 \text{ MPa}$

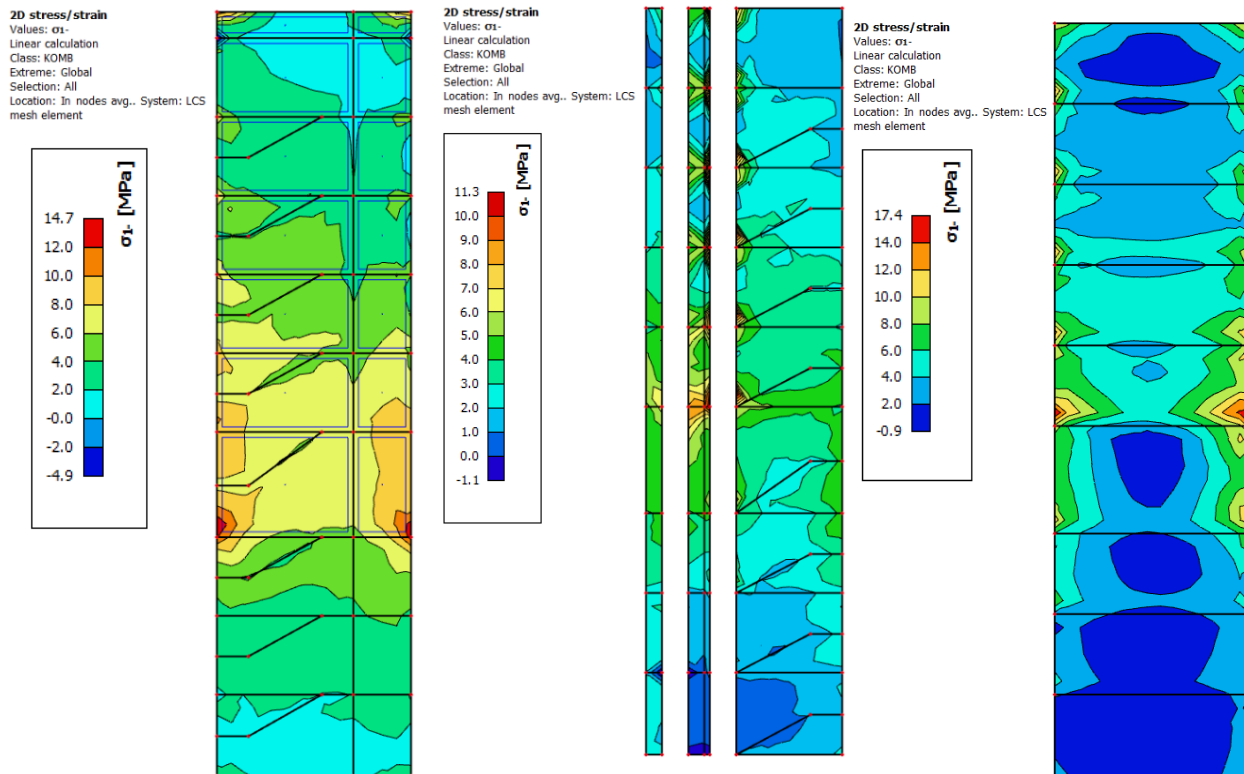
Lokalno tlačno naprezanje: $\sigma < 30/1,5 = 20,0 \text{ MPa}$



10.41 Naprezanja σ_y za anvelopu opterećenja ($SX+SY+GSN$)

Globalno tlačno naprezanje: $\sigma < 0,4 f_{cd} = 12,0 \text{ MPa}$

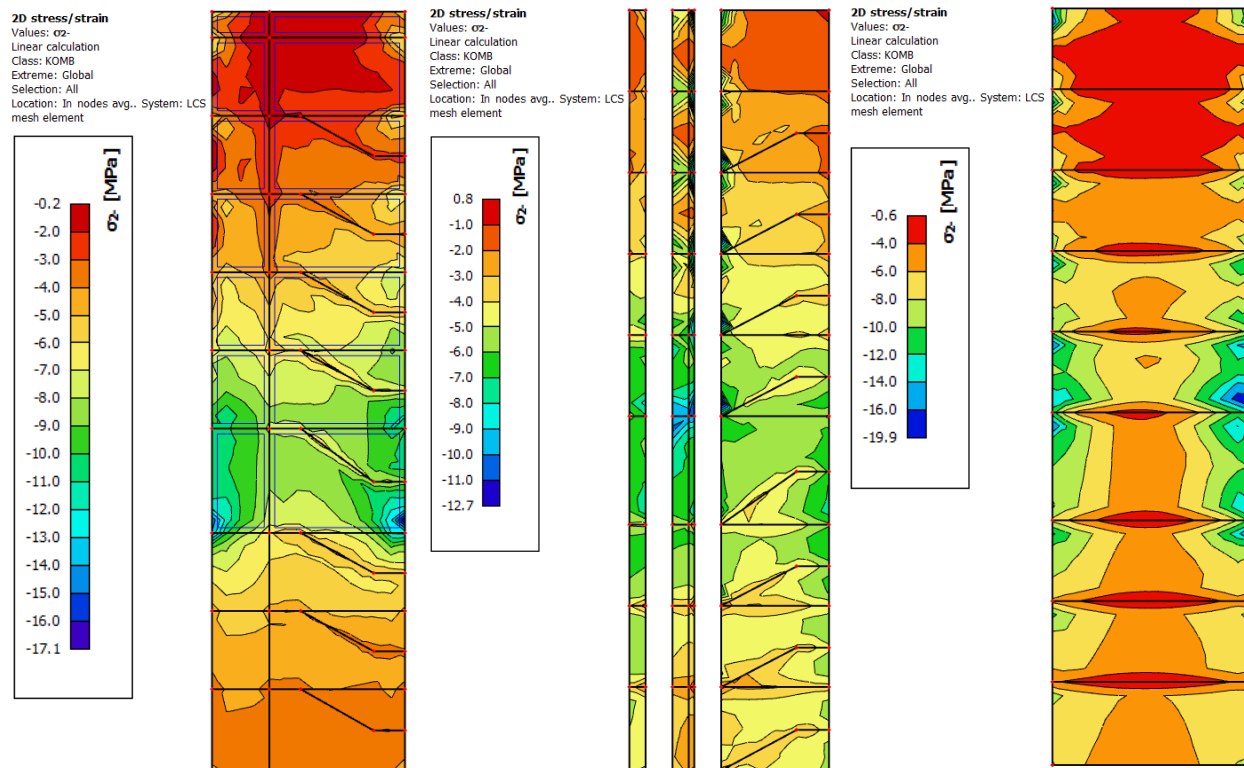
Lokalno tlačno naprezanje: $\sigma < 30/1,5 = 20,0 \text{ MPa}$



10.42 Naprezanja σ_1 za anvelopu opterećenja ($SX+SY+GSN$)

Globalno tlačno naprezanje: $\sigma < 0,4 f_{cd} = 12,0 \text{ MPa}$

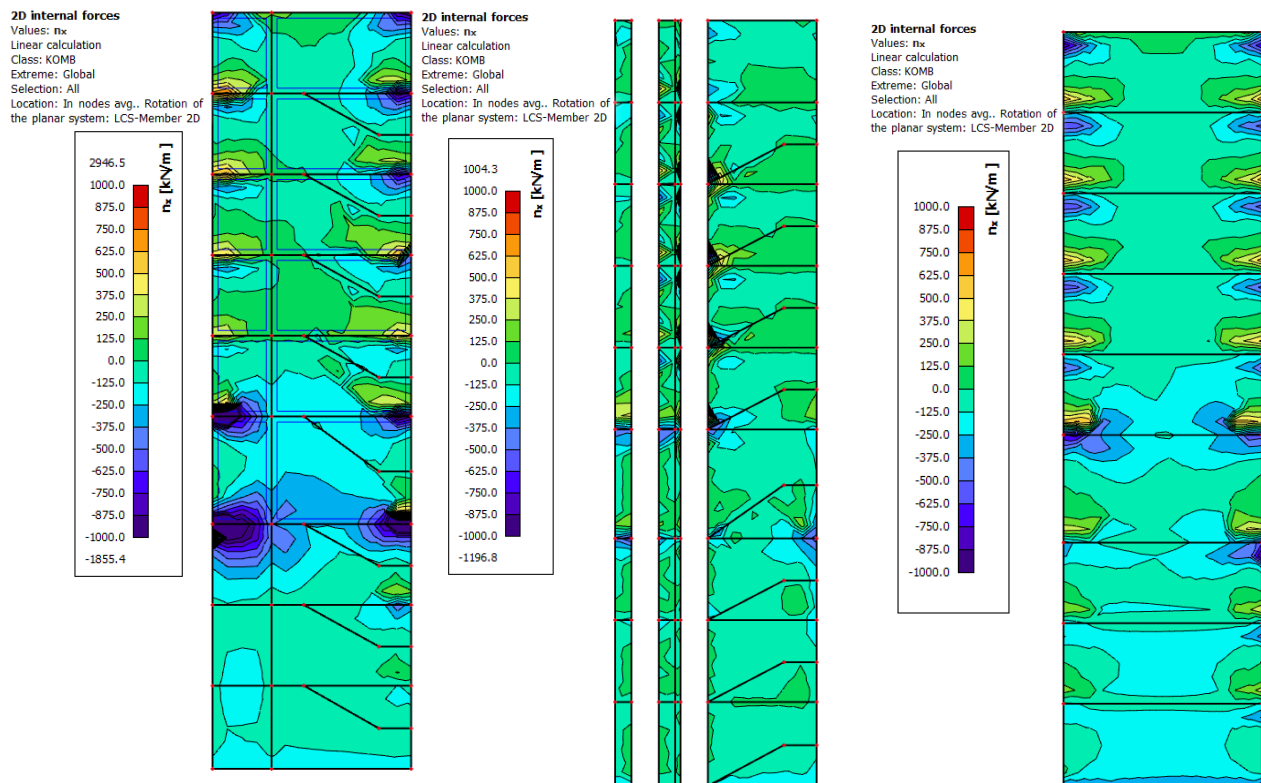
Lokalno tlačno naprezanje: $\sigma < 30/1,5 = 20,0 \text{ MPa}$



10.43 Naprezanja σ_2 za anvelopu opterećenja ($SX+SY+GSN$)

Globalno tlačno naprezanje: $\sigma < 0,4 f_{cd} = 12,0 \text{ MPa}$

Lokalno tlačno naprezanje: $\sigma < 30/1,5 = 20,0 \text{ MPa}$



10.44 Uzdužna sila nx za anvelopu opterećenja (SX+SY+GSN)

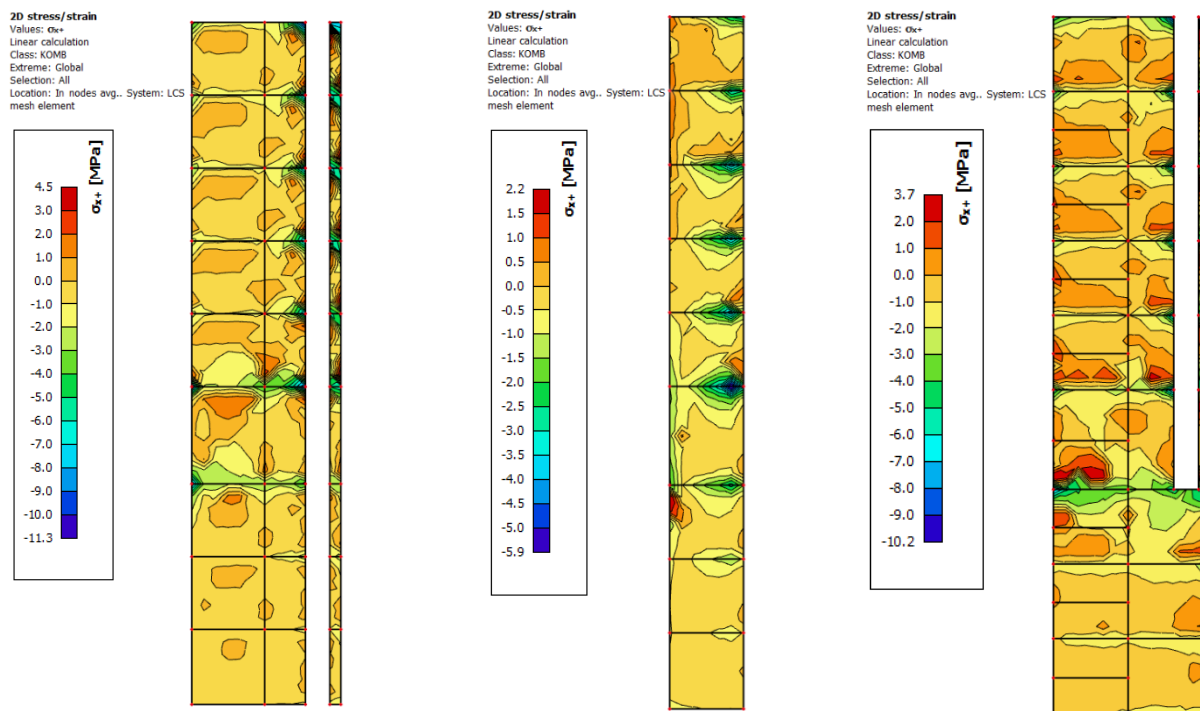
Tablica 10.5 Potrebna i odabrana armatura zidova po etažama

| ETAŽA | Nx,max [kN] | As1 [cm2/m] | As,min [cm2/m] | As,odabrano [cm2] |
|---------|-------------|-------------|----------------|-------------------|
| ETAŽA 0 | 150 | 0,920 | 2,83 | 3,35 |
| ETAŽA 1 | 150 | 0,920 | 2,83 | 3,35 |
| ETAŽA 2 | 150 | 0,920 | 2,83 | 3,35 |
| ETAŽA 3 | 150 | 0,920 | 2,83 | 3,35 |
| ETAŽA 4 | 150 | 0,920 | 2,83 | 3,35 |
| ETAŽA 5 | 150 | 0,920 | 2,83 | 3,35 |

Zidove krute jezgre u x smjeru armirati s Q-335 obostrano od prizemlja do petog kata.

Nadozid armirati s Q-335 obostrano.

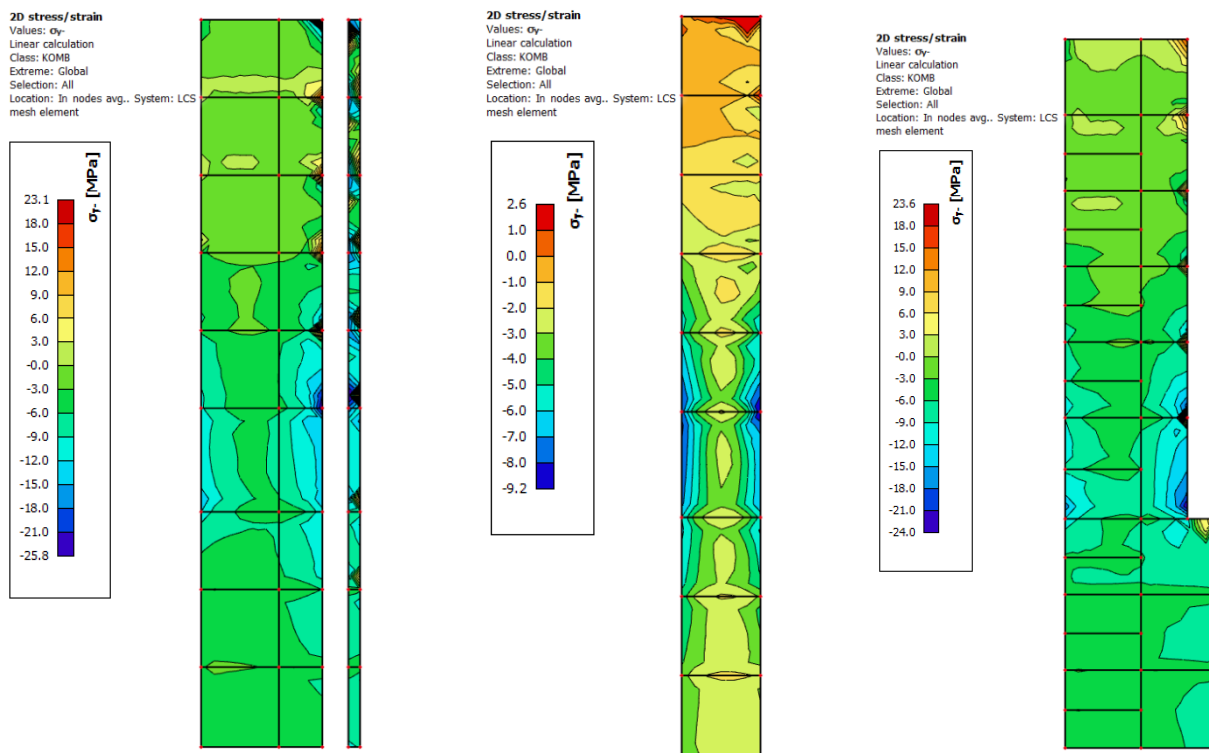
10.4. ZIDOVI KRUTE JEZGRE U Y SMJERU



10.45 Naprezanja σ_x za anvelopu opterećenja ($SX+SY+GSN$)

Globalno tlačno naprezanje: $\sigma < 0,4 f_{cd} = 12,0 \text{ MPa}$

Lokalno tlačno naprezanje: $\sigma < 30/1,5 = 20,0 \text{ MPa}$

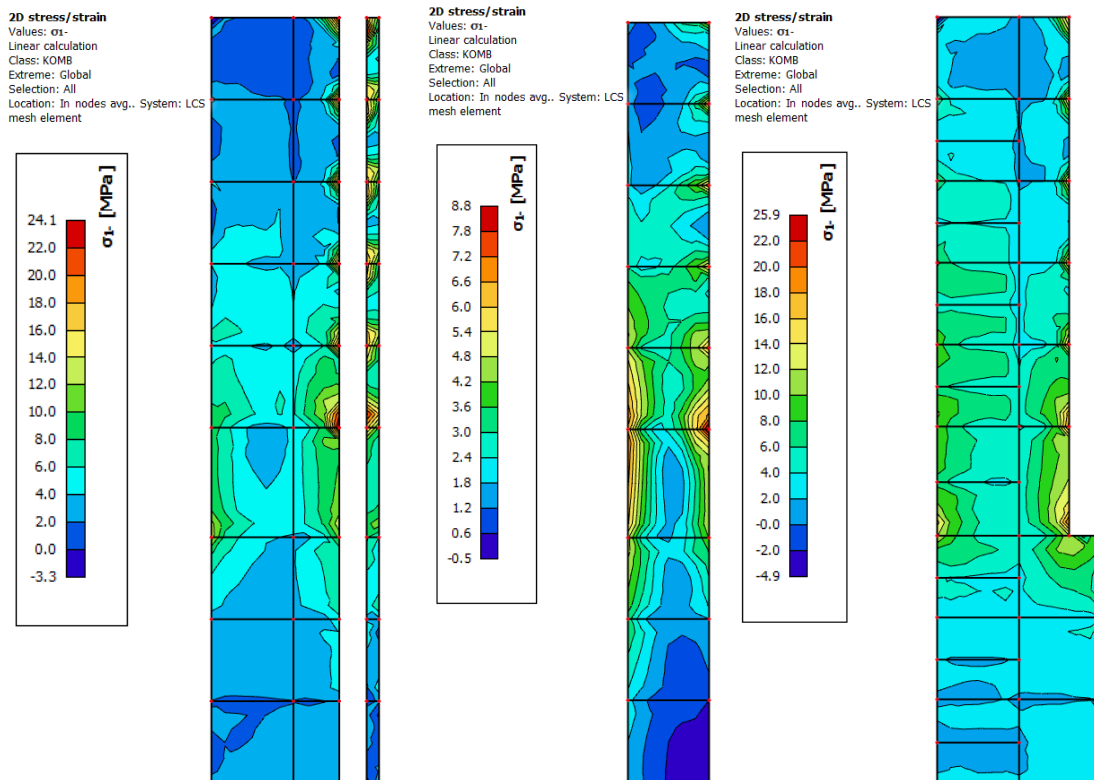


10.46 Naprezanja σ_y za anvelopu opterećenja ($SX+SY+GSN$)

Globalno tlačno naprezanje: $\sigma < 0,4 f_{cd} = 12,0 \text{ MPa}$

Lokalno tlačno naprezanje: $\sigma < 30/1,5 = 20,0 \text{ MPa}$

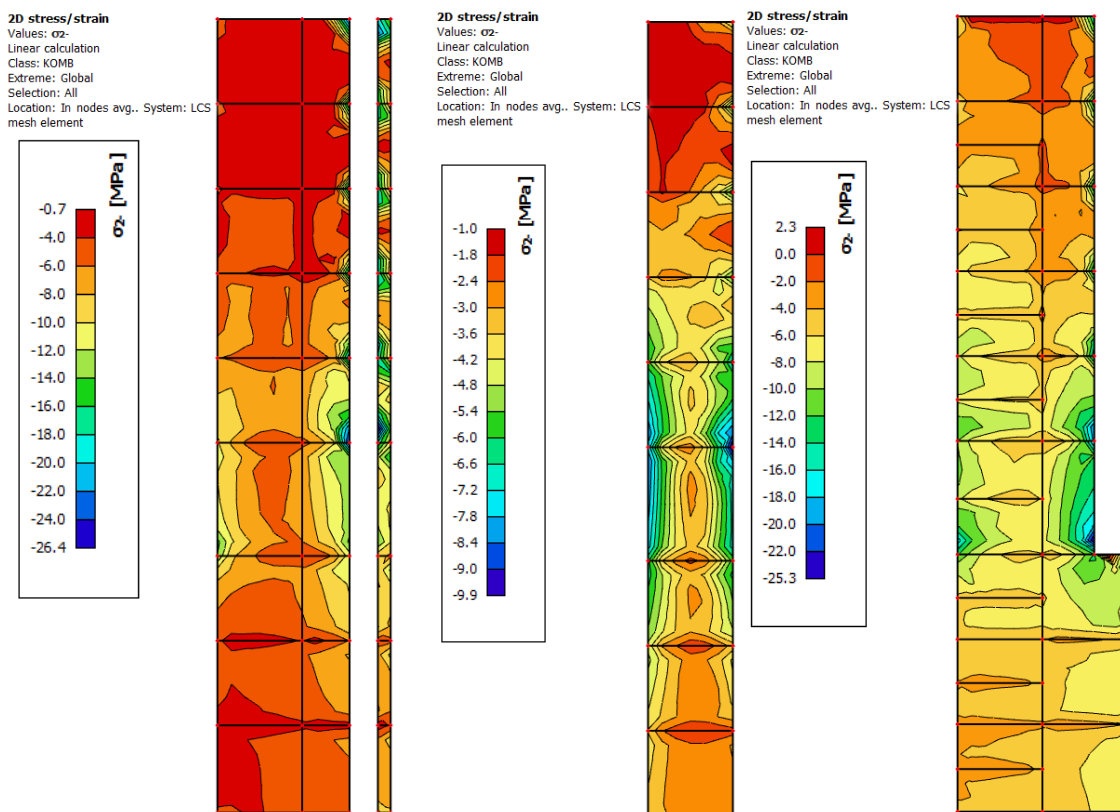
(koncentracije naprezanja u točki su izostavljene iz razmatranja)



10.47 Naprezanja σ_1 za anvelopu opterećenja ($SX+SY+GSN$)

Globalno tlačno naprezanje: $\sigma < 0,4 f_{cd} = 12,0 \text{ MPa}$

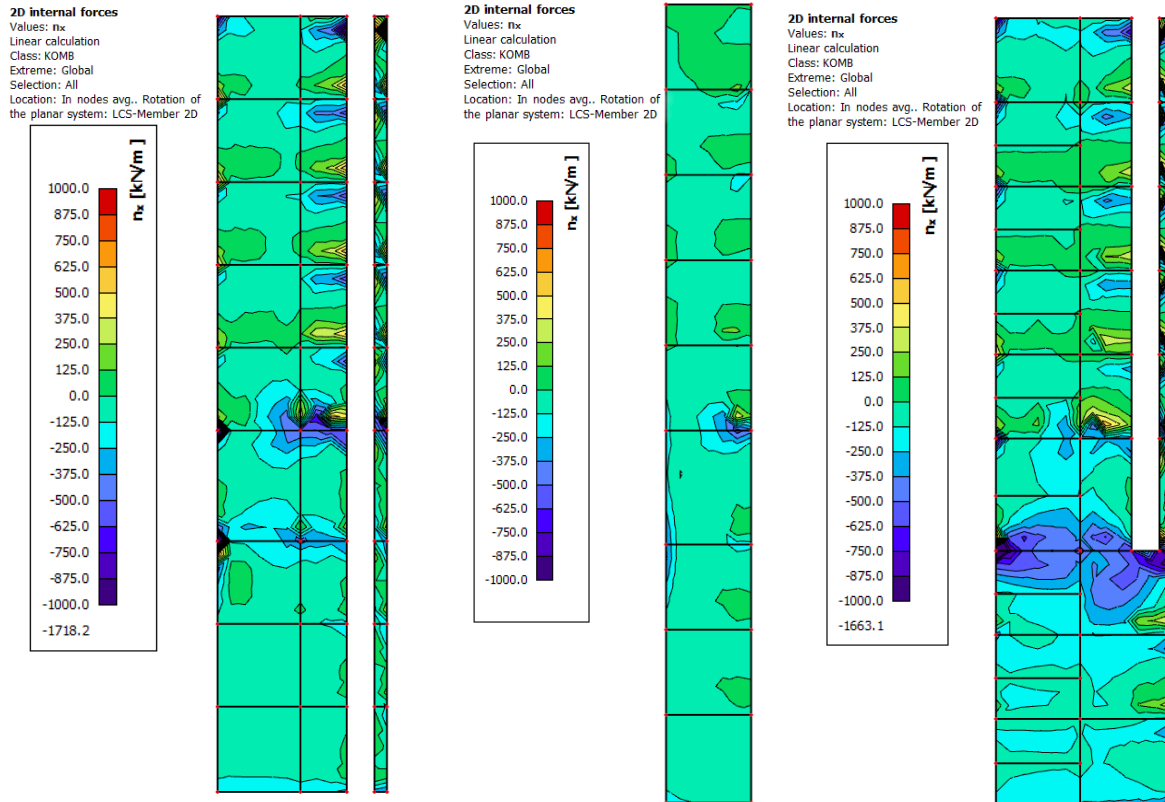
Lokalno tlačno naprezanje: $\sigma < 30/1,5 = 20,0 \text{ MPa}$



10.48 Naprezanja σ_2 za anvelopu opterećenja ($SX+SY+GSN$)

Globalno tlačno naprezanje: $\sigma < 0,4 f_{cd} = 12,0 \text{ MPa}$

Lokalno tlačno naprezanje: $\sigma < 30/1,5 = 20,0 \text{ MPa}$



10.49 Uzdužna sila n_x za anvelopu opterećenja ($SX+SY+GSN$)

Tablica 10.6 Potrebna i odabrana armatura zidova po etažama

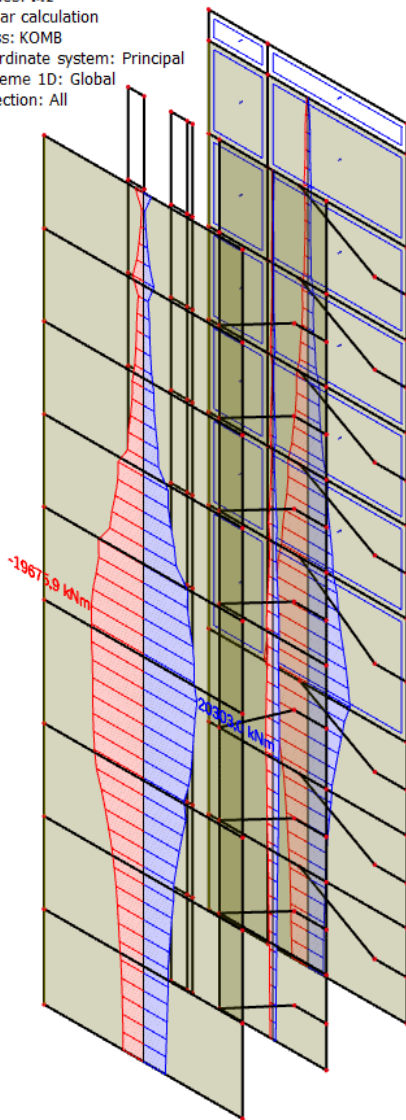
| ETAŽA | $N_{x,max}$ [kN] | A_{s1} [cm ² /m] | $A_{s,min}$ [cm ² /m] | $A_{s,odabrano}$ [cm ²] |
|---------|------------------|-------------------------------|----------------------------------|-------------------------------------|
| ETAŽA 0 | 150 | 0,920 | 2,83 | 3,35 |
| ETAŽA 1 | 150 | 0,920 | 2,83 | 3,35 |
| ETAŽA 2 | 150 | 0,920 | 2,83 | 3,35 |
| ETAŽA 3 | 150 | 0,920 | 2,83 | 3,35 |
| ETAŽA 4 | 150 | 0,920 | 2,83 | 3,35 |
| ETAŽA 5 | 150 | 0,920 | 2,83 | 3,35 |

Zidove krute jezgre u x smjeru armirati s Q-335 obostrano od prizemlja do petog kata. Nadozid armirati s Q-335 obostrano.

10.5. DIMENZIONIRANJE ZIDOVA NA POPREČNU SILU

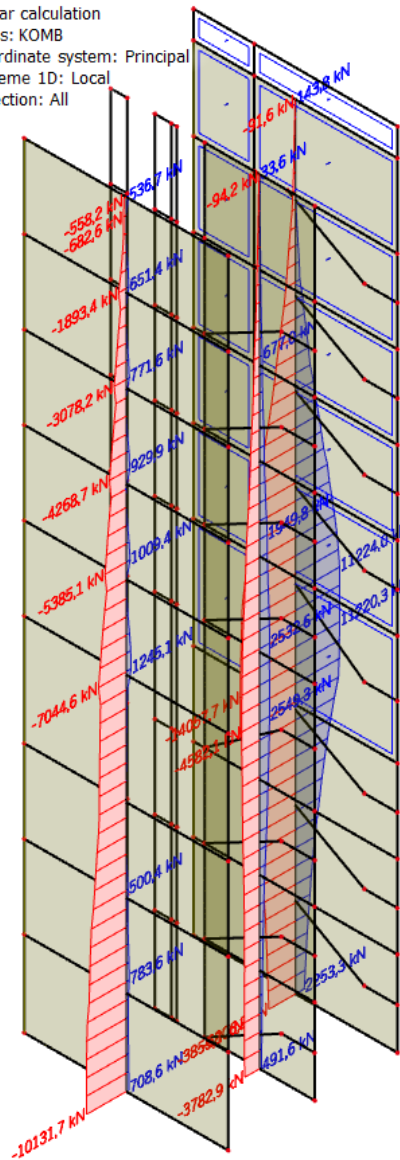
Budući da su zidovi jezgre jedini kontinuirani zidovi po visini objekta, a preostali dio konstrukcije je skelet izrađen od armirano betonskih greda i stupova, u njima se javljaju velike rezne sile u vidu momenata savijanja i poprečnih sila. Stoga je proveden proračun dimenzioniranja zidova za najopterećeniji zid armirano betonske krute jezgre te je ista armatura na licima zida i u ovojnim elementima uzeta za sve zidove.

1D internal forces
 Values: M_z
 Linear calculation
 Class: KOMB
 Coordinate system: Principal
 Extreme 1D: Global
 Selection: All



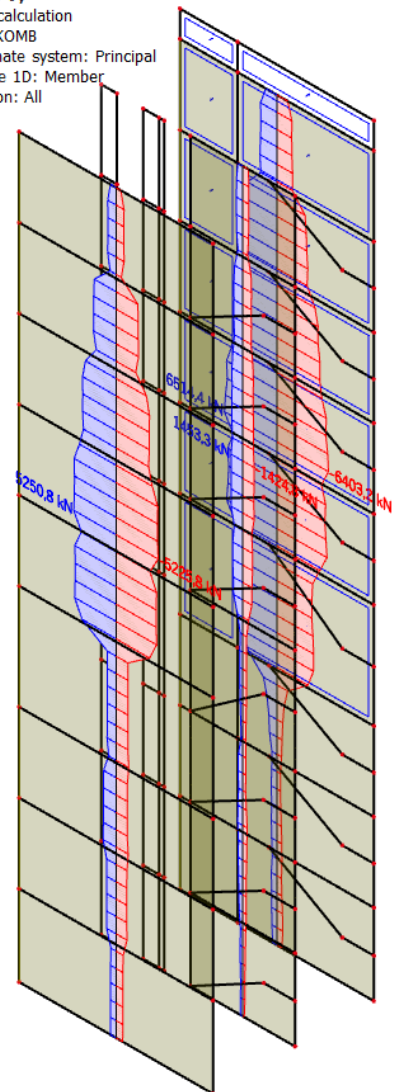
10.51 Prikaz momenata savijanja uslijed ($S_x+S_y+G_{SN}$)

1D internal forces
 Values: N
 Linear calculation
 Class: KOMB
 Coordinate system: Principal
 Extreme 1D: Local
 Selection: All



10.52 Prikaz uzdužnih sila uslijed ($S_x+S_y+G_{SN}$)

1D internal forces
 Values: V_y
 Linear calculation
 Class: KOMB
 Coordinate system: Principal
 Extreme 1D: Member
 Selection: All



10.50 Prikaz poprečnih sila uslijed ($S_x+S_y+G_{SN}$)

Tablica 10.7 Dimenzioniranje zidova

Dijagonalni tlačni slom hrpta zbog posmika:

A_{sw} – ploština presjeka poprečne armature
 s – razmak spona

f_{ywd} – proračunska granica popuštanja poprečne armature

v_1 – koeficijent smanjenja čvrstoće za beton raspucan zbog posmika

α_{cw} – koeficijent kojim se uzima u obzir stanje naprezanja u tlačnom pojasu

$$V_{Rd} = \min \begin{cases} V_{Rd,max} = \frac{\alpha_{cw} \cdot b_w \cdot z \cdot v_1 \cdot f_{cd}}{ctg\theta + tg\theta} & v_1 = 0.6 \cdot \left(1 - \frac{f_{ck}}{250}\right) \\ V_{Rd,s} = \frac{A_{sw}}{s} \cdot z \cdot f_{ywd} \cdot cot\theta & z = 0.8 \cdot l_w \end{cases}$$

$$\alpha_{cw} = 1$$

$$\theta = 45$$

$$v_1 = 0,53$$

$$z = 666 \text{ cm}$$

$$V_{Rd} = 8791,2 \text{ kn} > V_{Ed} = 6563,5 \text{ kn}$$

Minimalna i maksimalna vertikalna armatura u zidu:

$$A_{s,vmin} = 0.002 \cdot A_c \quad A_{s,vmin} = 4 \text{ cm}^2/\text{m}' \quad \text{Za jedno lice zida: } A_{s,vmin} = 2 \text{ cm}^2/\text{m}'$$

$$A_{s,vmax} = 0.04 \cdot A_c \quad A_{s,vmin} = 80 \text{ cm}^2/\text{m}' \quad \text{Za jedno lice zida: } A_{s,vmin} = 40 \text{ cm}^2/\text{m}'$$

Minimalna i maksimalna horizontalna armatura u zidu:

$$A_{s,hmin} = \max \begin{cases} 25\% \cdot A_{s,v} \\ 0.001 \cdot A_c \end{cases} \quad A_{s,hmin} = 2,0 \text{ cm}^2/\text{m}'$$

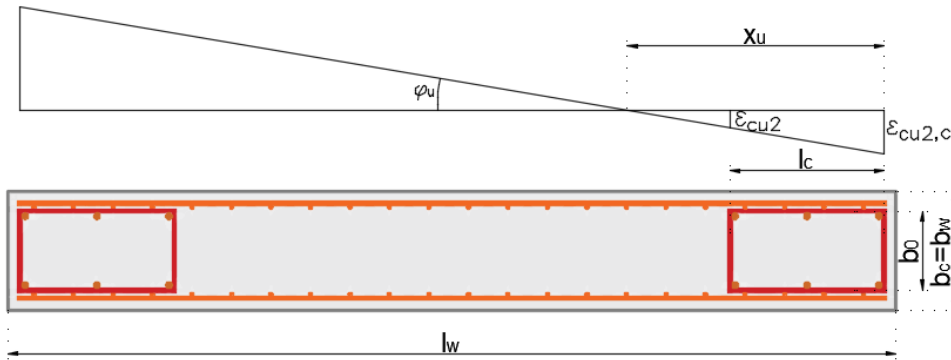
Odabrana armatura u zidu:

| | Vertikalna armatura | Horizontalna armatura |
|-----------------|--------------------------|--------------------------|
| Odabrana mreža | Q-283 | |
| Odabrane šipke | / | / |
| Ukupna armatura | 2,83 cm ² /m' | 2,83 cm ² /m' |

U svako lice zida postaviti mrežu Q 283

Tablica 10.8 Dimenzioniranje zidova

Detaljiranje lokalne duktilnosti



| | | |
|----------------------------------|------|----|
| c= | 3 | cm |
| φ= | 1 | cm |
| φ _v = | 0,6 | cm |
| φ _H = | 0,6 | cm |
| b _c =b _w = | 20 | cm |
| b ₀ = | 13,0 | cm |

c – zaštitni sloj
 φ – promjer spona
 φ_H – promjer horizontalnih šipki
 φ_V – promjer vertikalnih šipki

$$\Phi \geq \max \left\{ \begin{array}{l} 6 \text{ mm} \\ \frac{1}{4} d_{bL} = 4,0 \text{ mm} \end{array} \right.$$

$$b_0 = b_c - 2 \cdot c - 2 \cdot \phi_H - 2 \cdot \phi_V - 2 \cdot \phi/2$$

| | |
|------------------|------|
| q ₀ = | 1,50 |
| T ₁ = | 0,56 |
| T _c = | 0,4 |

q₀ – osnovna vrijednost faktora ponašanja
 T₁ – osnovni period oscilacija zgrade
 T_c – period na gornjoj granici konstantnog dijela spekt

μ_φ – koeficijent duktilnosti obzirom na zakrivljenost

$$\mu_\phi = 1 + 2 \cdot \left(q_0 \cdot \frac{M_{Ed}}{M_{Rd}} - 1 \right) \cdot \frac{T_c}{T_1} \quad \text{ako je } T_1 < T_c$$

$$\mu_\phi = 2 \cdot q_0 \cdot \frac{M_{Ed}}{M_{Rd}} - 1 \quad \text{ako je } T_1 \geq T_c$$

$$T_1 = 0,56 \geq T_c = 0,4 \rightarrow \mu_\phi = 2,00$$

| | |
|---------------------|--------|
| v _d = | 0,152 |
| ρ _v = | 0,0014 |
| ω _v = | 0,028 |
| ε _{s,yd} = | 0,003 |

$$v_d = \frac{N_{Ed}}{A_c \cdot f_{cd}} \quad \rho_v = \frac{A_{sv}}{A_c} \quad \omega_v = \frac{\rho_v \cdot f_{yd,v}}{f_{cd}} \quad \varepsilon_{s,yd} = \frac{f_{s,yd}}{E}$$

ω_v – mehanički omjer vertikalne armature hrpta
 ε_{s,yd} – proračunska vrijednost vlačne deformacije čelika pri popuštanju

$$\alpha \cdot \omega_{wd} \geq 30 \cdot \mu_\phi \cdot (v_d + \omega_v) \cdot \varepsilon_{s,yd} \cdot \frac{b_c}{b_0} - 0,035 \quad \alpha \omega_{vd} \geq 0,007$$

$$x_u = (v_d + \omega_v) \cdot \frac{l_w \cdot b_c}{b_0} \quad x_u = 205,62 \text{ cm} \quad x_u - \text{visina neutralne osi}$$

$$\varepsilon_{cu2,c} = 0,0035 + 0,1 \cdot \alpha \cdot \omega_{wd} \quad \varepsilon_{cu2,c} = 0,0042$$

Tablica 10.9 Dimenzioniranje zidova

$$l_c \geq \max \begin{cases} 0.15 \cdot l_w = & \boxed{111,0} \text{ cm} \\ 1.5 \cdot b_w = & \boxed{30,0} \text{ cm} \\ x_u \cdot \left(1 - \frac{\varepsilon_{cu2}}{\varepsilon_{cu2,c}}\right) = & \boxed{33,0} \text{ cm} \end{cases} \quad l_c - \text{duljina ovijenog rubnog elementa}$$

Najmanja duljina ovijenog rubnog elementa:

$$l_c = \boxed{111,0} \text{ cm}$$

Odabrana duljina ovijenog rubnog elementa:

$$l_c = \boxed{115,0} \text{ cm}$$

Debljina rubnog elementa:

$$b_w \geq 200 \text{ mm} \quad l_c > \begin{cases} 2 \cdot b_w \rightarrow b_w \geq \frac{h_s}{10} \\ 0.2 \cdot l_w \rightarrow b_w \geq \frac{h_s}{15} \end{cases} \quad l_c < \begin{cases} 2 \cdot b_w \rightarrow b_w \geq \frac{h_s}{15} \\ 0.2 \cdot l_w \rightarrow b_w \geq \frac{h_s}{15} \end{cases}$$

$$b_w \geq \boxed{20,00} \text{ cm}$$

Odabrana širina rubnog elementa:

$$b_w = \boxed{20,0} \text{ cm}$$

Minimalna armatura unutar rubnog elementa:

$$A_{s,vmin} = 0.5\% \cdot A_c = 0.5\% \cdot l_c \cdot b_w \quad A_{s,vmin} = \boxed{11,5} \text{ cm}^2$$

Odabrana armatura raspoređena unutar rubnog elementa:

$$\boxed{6} \times \boxed{\varnothing 16} \rightarrow A_{s1} = \boxed{12,06} \text{ cm}^2$$

Odabrana armatura zadovoljava u pogledu nosivosti na savijanje!

Izračun ovojne armature u rubnom elementu

Razmak spona prema EC2:

$$s_w \leq (12 \cdot d_{bl}; b_w; 300 \text{ mm}) \quad s_w \leq \boxed{19,2} \text{ cm}$$

Razmak spona prema EC8:

$$s_w \leq \left(8 \cdot d_{bl}; \frac{b_0}{2}; 175 \text{ mm}\right) \quad s_w \leq \boxed{6,5} \text{ cm}$$

Budući da je vd veći od 0.2 razmak spona odabrat će se prema EC8

Faktor q umanjiti za 15%

Odabrani razmak spona:

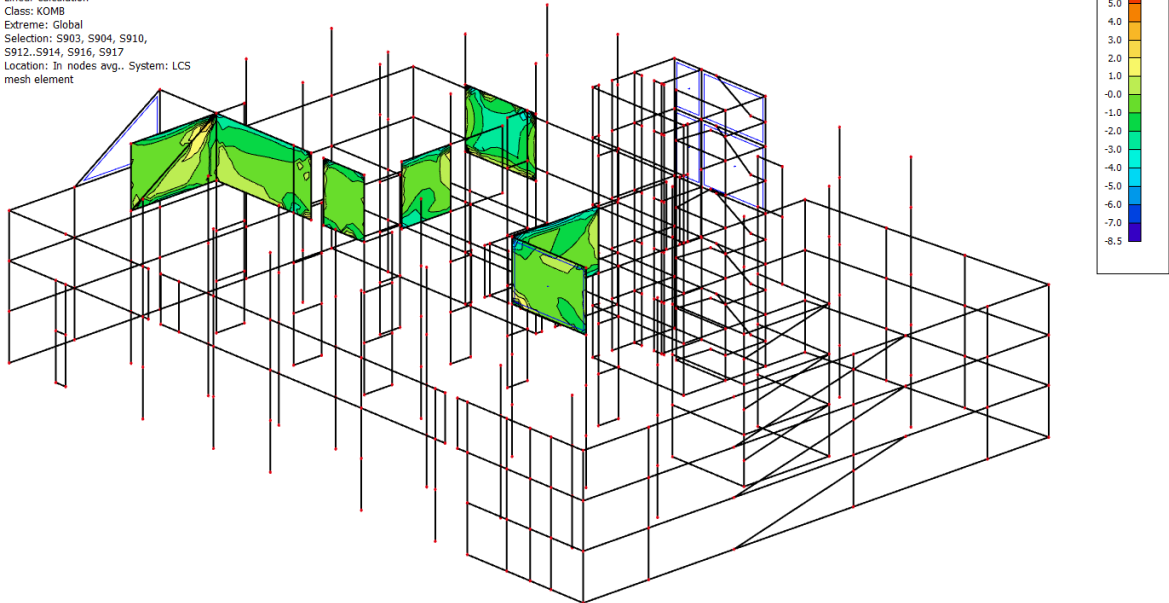
$$s_w = \boxed{5,0} \text{ cm}$$

Rubni element dužine 115 cm armirati na način da se postavi uzdužna armatura 6 $\varnothing 16$ i poprečna $\varnothing 10$ na 5 cm

10.6. DIMENZIONIRANJE VISOKOSTJENIH NOSAČA

2D stress/strain

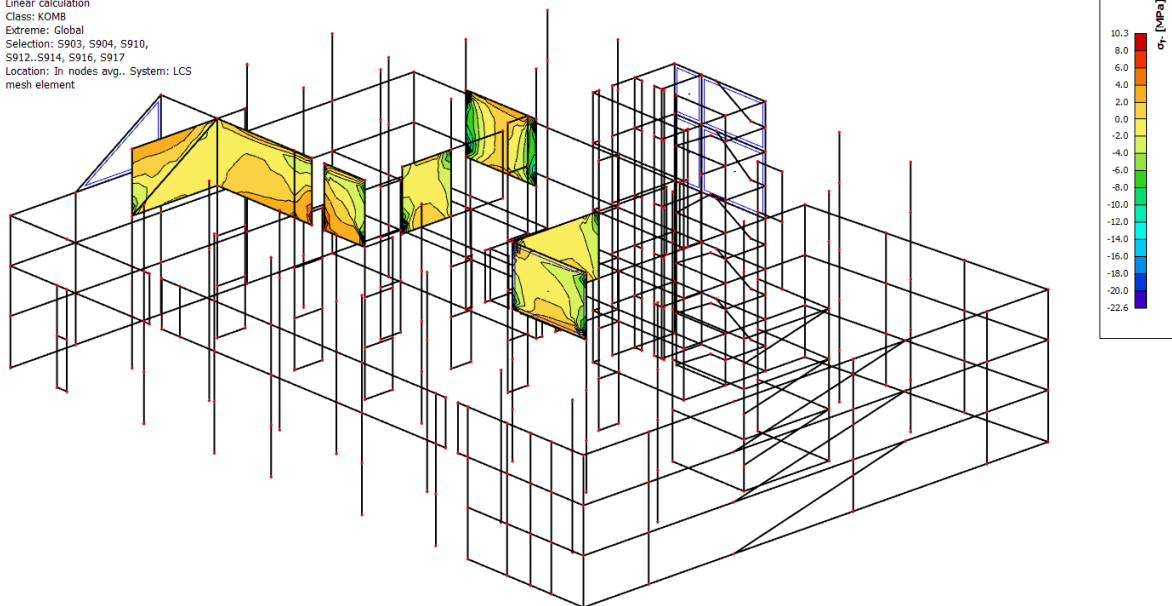
Values: σ_x
 Linear calculation
 Class: KOMB
 Extreme: Global
 Selection: S903, S904, S910,
 S912..S914, S916, S917
 Location: In nodes avg.. System: LCS
 mesh element



10.53 Naprezanja u visokostjenim nosačima

2D stress/strain

Values: σ_y
 Linear calculation
 Class: KOMB
 Extreme: Global
 Selection: S903, S904, S910,
 S912..S914, S916, S917
 Location: In nodes avg.. System: LCS
 mesh element



10.54 Naprezanja u visokostjenim nosačima

Maksimalno vlačno naprezanje na dnu visokostjenih nosača u dodiru s pločom iznosi 2,8 MPa.

$$F_{sd} = (2,8 \cdot 1000) \cdot 0,25 \cdot 1,0 = 700 \text{ kN}$$

$$A_{s1} = \frac{F_{sd}}{F_{yd}} = \frac{700}{43,48} = 16,1 \text{ cm}^2 \rightarrow 4\emptyset 25 \text{ (19,63 cm}^2\text{)}$$

Zbog pojave vlačnih naprezanja rubove zidova i područja oko otvora potrebno je armirati sa armaturom **4Ø25** i zatvorenim sponama **Ø10/20**.

11. PRORAČUN ŠIRINE PUKOTINA

Proračunska (karakteristična) širina pukotine određuje se prema izrazu:

$$w_k = s_{r,max} \cdot (\varepsilon_{sm} - \varepsilon_{cm})$$

$s_{r,max}$ - maksimalni razmak pukotina

ε_{sm} - srednja deformacija armature pod relevantnom kombinacijom opterećenja, s uključenim efektom od prinudnih deformacija

ε_{cm} - srednja deformacija betona između pukotina

Vrijednost ($\varepsilon_{sm}-\varepsilon_{cm}$) određuje se prema izrazu:

$$\varepsilon_{sm} - \varepsilon_{cm} = \frac{\sigma_s - k_t \cdot \frac{f_{ct,eff}}{\rho_{p,eff}} \cdot (1 + \alpha_e \cdot \rho_{p,eff})}{E_s} \geq 0,6 \cdot \frac{\sigma_s}{E_s}$$

$\alpha_e = \frac{E_s}{E_{cm}}$ – odnos modula elastičnosti betona i čelika

$\sigma_s = \frac{M_{ed}}{z \cdot A_s}$ – naprezanje vlačne armature u potpuno raspucanom betonskom presjeku

$\rho_{p,eff}$ - efektivni koeficijent armiranja vlačne zone betona ($A_s/A_{c,eff}$)

k_t – faktor trajanja opterećenja

0,4 (dugotrajno opterećenje)

0,6 (kratkotrajno opterećenje)

Najveći razmak pukotina:

$$s_{r,max} = k_3 \cdot c + k_1 \cdot k_2 \cdot k_4 \cdot \frac{\phi}{\rho_{p,eff}} [mm]$$

ϕ – promjer najdeblje šipke

c – zaštitni sloj uzdužne armature

$k_1=0,8$ – rebrasta armatura

$k_2=0,5$ – savijanje

$k_3=3,4$

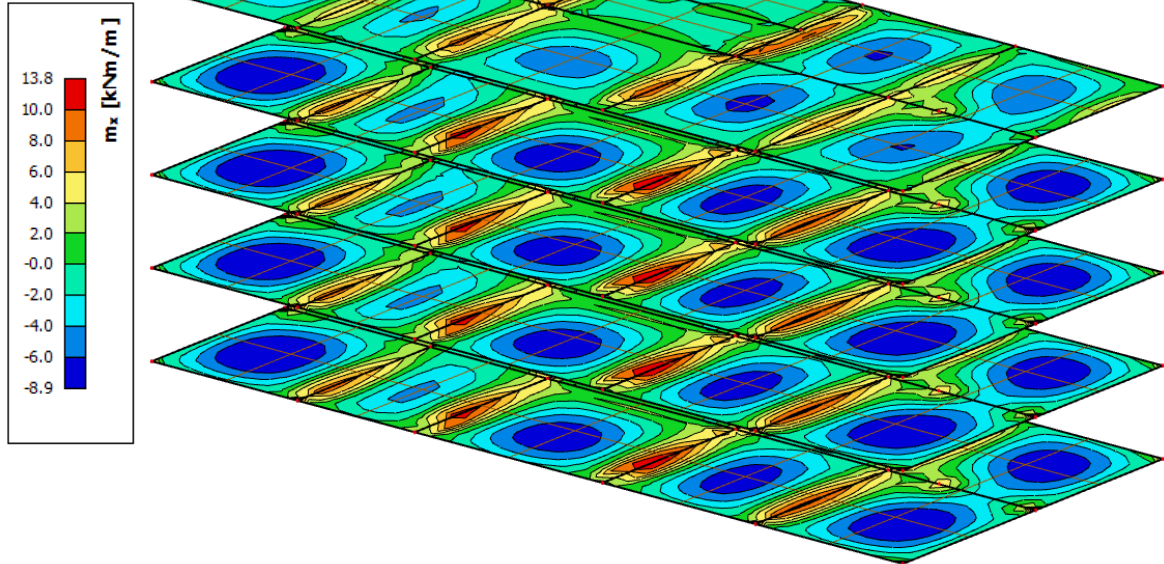
$k_4=0,425$

Granična vrijednost širine pukotine: $w_g = 0,3$ mm (EC-2 – uobičajena sredina)

11.1. KONTROLA PUKOTINA NA PLOČAMA

2D internal forces

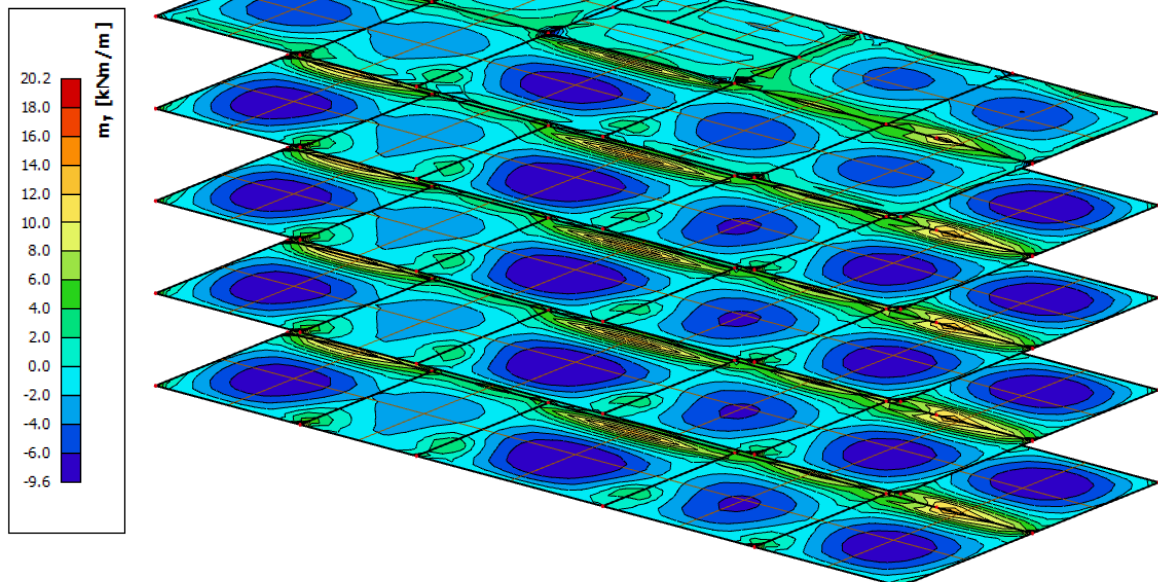
Values: m_x
 Linear calculation
 Combination: GSU_2
 Extreme: Member
 Selection: All
 Location: In nodes avg., System: LCS
 mesh element



11.1 Prikaz momenata savijanja m_x za kombinaciju GSU_2 (etaže 500-900)

2D internal forces

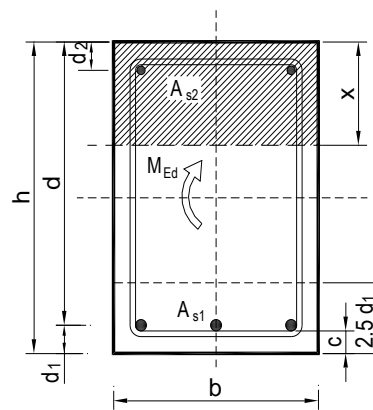
Values: m_y
 Linear calculation
 Combination: GSU_2
 Extreme: Member
 Selection: All
 Location: In nodes avg., System: LCS
 mesh element



11.2 Prikaz momenata savijanja m_y za kombinaciju GSU_2 (etaže 500-900)

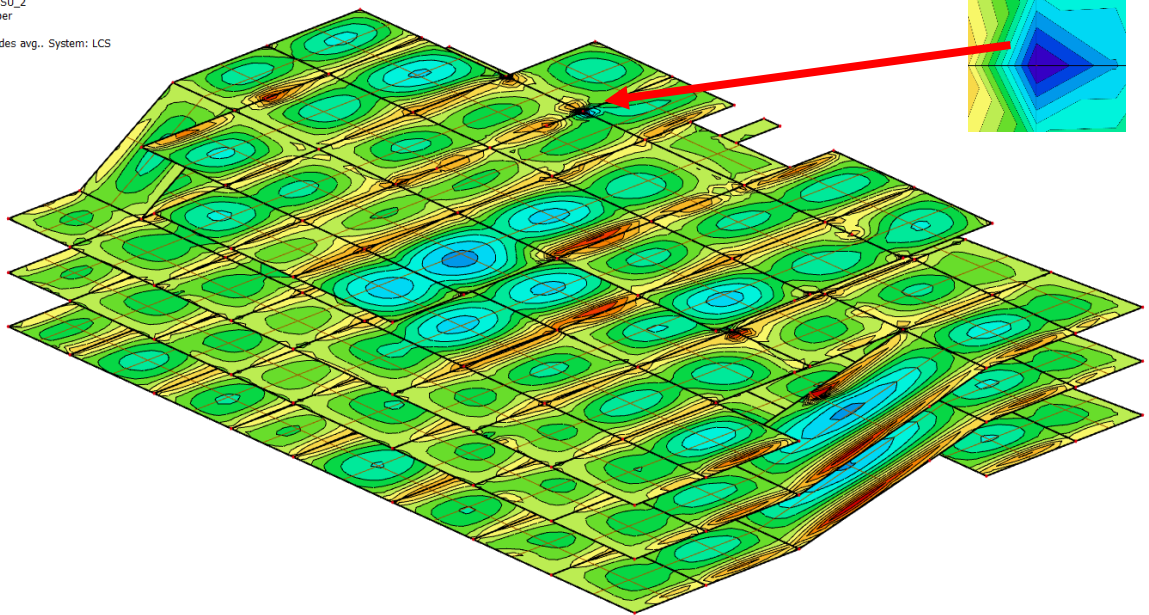
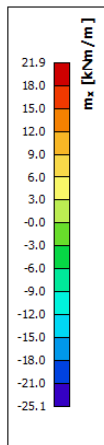
Tablica 11.1 Provjera širine pukotina

| | | | | | |
|---|--------------------------|------------------------------|-------------------------|---------------------------|---------|
| $b =$ | 100,0 cm | $d =$ | 12,0 cm | $h =$ | 15,0 cm |
| $f_{ck} =$ | 30,0 MN/m ² | $f_{ctm} =$ | 2,90 MN/m ² | $w_g =$ | 0,30 mm |
| $A_{s1} =$ | 5,03 cm ² | $A_{s2} =$ | 0,00 cm ² | $d_1 = d_2 =$ | 3,0 cm |
| $E_s =$ | 200,00 GN/m ² | $E_{cm} =$ | 32,80 GN/m ² | $\alpha_e = E_s/E_{cm} =$ | 6,10 |
| $M_{Ed} =$ | 9,6 kNm | $k_t =$ | 0,60 | | |
| $\sigma_s =$ | 170,53 MN/m ² | | | | |
| $x =$ | 2,42 cm | $\rho_{p,eff} =$ | 0,0067 | | |
| $(\varepsilon_{sm} - \varepsilon_{cm}) =$ | -0,000496 | $< 0,6 \cdot \sigma_s/E_s =$ | 0,000512 | | |
| $\varnothing =$ | 8,0 mm | $c =$ | 3,00 cm | | |
| $k_1 =$ | 0,8 | $k_2 =$ | 0,50 | | |
| $k_3 =$ | 3,4 | $k_4 =$ | 0,43 | | |
| $s_{r,max} =$ | 304,78 mm | | | | |
| $w_k = s_{r,max} \cdot (\varepsilon_{sm} - \varepsilon_{cm}) =$ | 0,156 mm | $<$ | w_g | | |



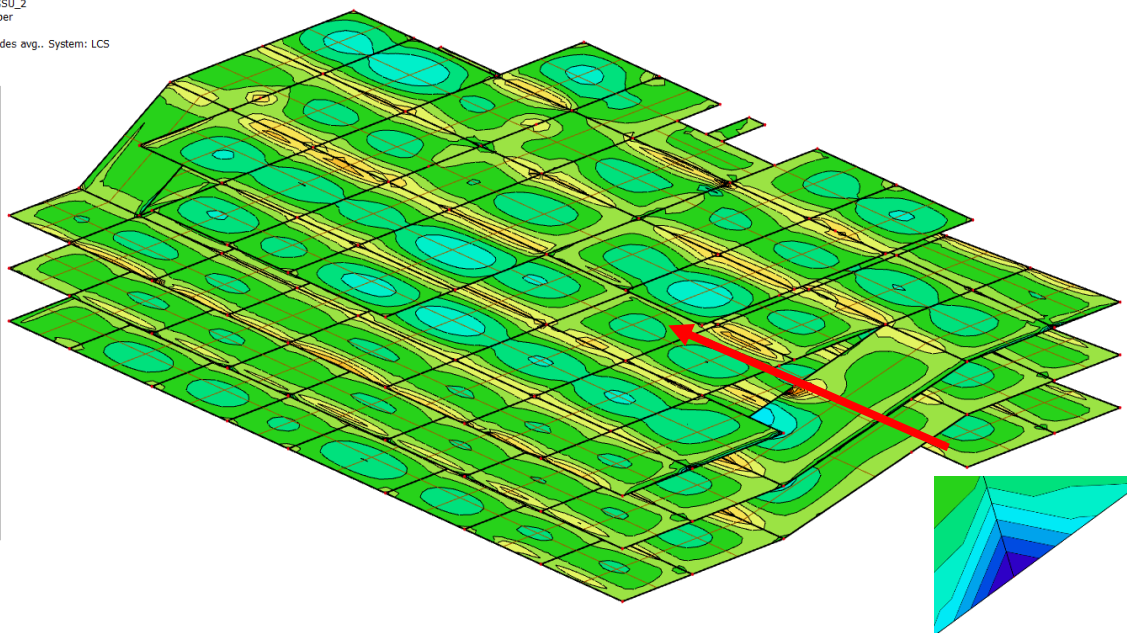
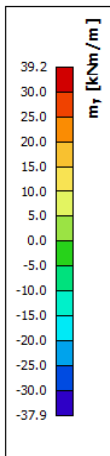
Ploča debljine 15 cm na svim etažama zadovoljava granično stanje pukotina.

2D internal forces
 Values: m_x
 Linear calculation
 Combination: GSU_2
 Extreme: Member
 Selection: All
 Location: In nodes avg., System: LCS
 mesh element



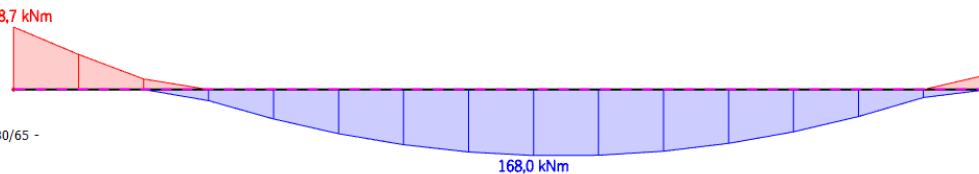
11.3 Prikaz momenata savijanja m_x za kombinaciju GSU_2 (etaže 100-400)

2D internal forces
 Values: m_y
 Linear calculation
 Combination: GSU_2
 Extreme: Member
 Selection: All
 Location: In nodes avg., System: LCS
 mesh element



11.4 Prikaz momenata savijanja m_y za kombinaciju GSU_2 (etaže 100-400)

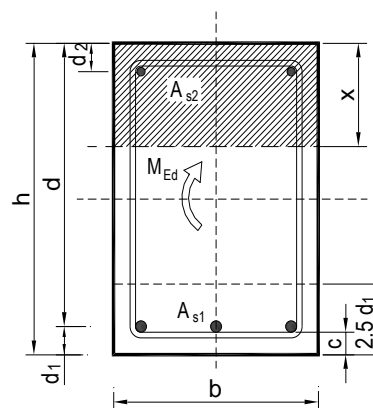
1D internal forces -158,7 kNm
 Values: M_y
 Linear calculation
 Combination: GSU_2
 Coordinate system: Principal
 Extreme 1D: Global
 Selection: All
 Filter: Cross-section = GRX 30/65 -
 Rectangle (650; 300)



11.6 Prikaz momenata savijanja na gredama 30/65

Tablica 11.4 Provjera širine pukotina

| | | | | | |
|---|--------------------------|--------------------------------|-------------------------|---------------------------|---------|
| $b =$ | 30,0 cm | $d =$ | 55,0 cm | $h =$ | 65,0 cm |
| $f_{ck} =$ | 30,0 MN/m ² | $f_{ctm} =$ | 2,90 MN/m ² | $w_g =$ | 0,30 mm |
| $A_{s1} =$ | 15,71 cm ² | $A_{s2} =$ | 0,00 cm ² | $d_1 = d_2 =$ | 10,0 cm |
| $E_s =$ | 200,00 GN/m ² | $E_{cm} =$ | 32,80 GN/m ² | $\alpha_e = E_s/E_{cm} =$ | 6,10 |
| $M_{Ed} =$ | 168,0 kNm | $k_t =$ | 0,60 | | |
| $\sigma_s =$ | 215,05 MN/m ² | | | | |
| $x =$ | 15,82 cm | $\rho_{p,eff} =$ | 0,0209 | | |
| $(\varepsilon_{sm} - \varepsilon_{cm}) =$ | 0,000607 | $< 0,6 \cdot \sigma_s / E_s =$ | 0,000645 | | |
| $\varnothing =$ | 20,0 mm | $c =$ | 3,00 cm | | |
| $k_1 =$ | 0,8 | $k_2 =$ | 0,50 | | |
| $k_3 =$ | 3,4 | $k_4 =$ | 0,43 | | |
| $s_{r,max} =$ | 264,32 mm | | | | |
| $w_k = s_{r,max} \cdot (\varepsilon_{sm} - \varepsilon_{cm}) =$ | 0,171 mm | $<$ | w_g | | |

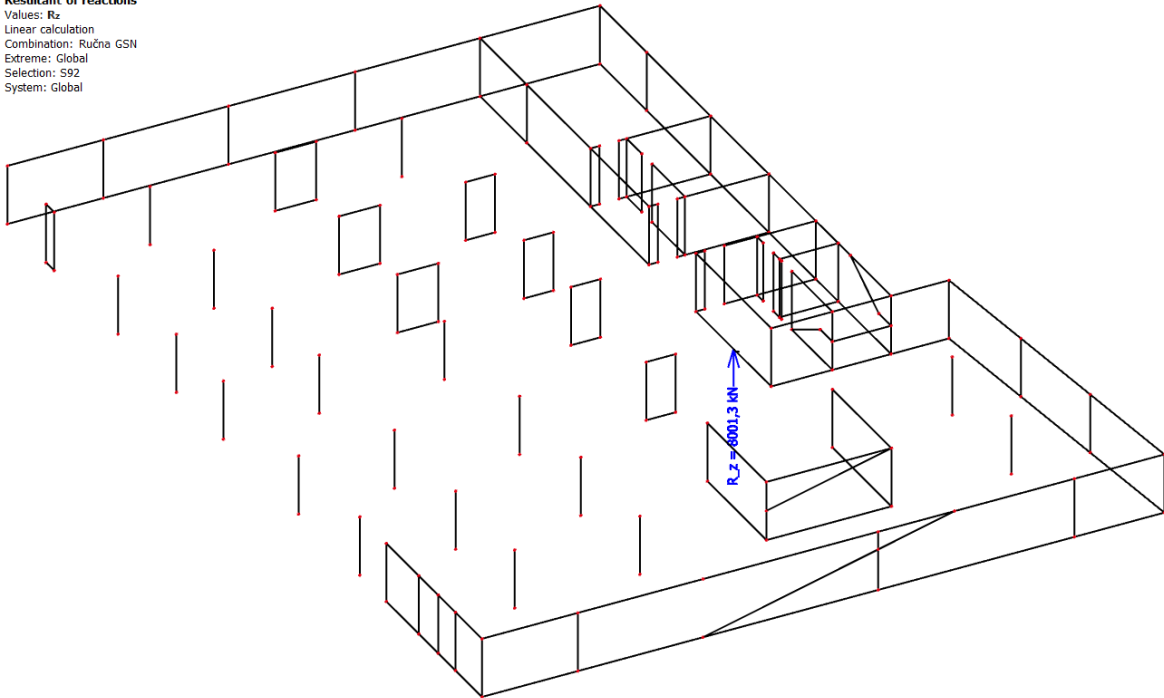


Greda poprečnog presjeka 30/65 na svim etažama zadovoljava granično stanje pukotina.

12. PRORAČUN TEMELJA

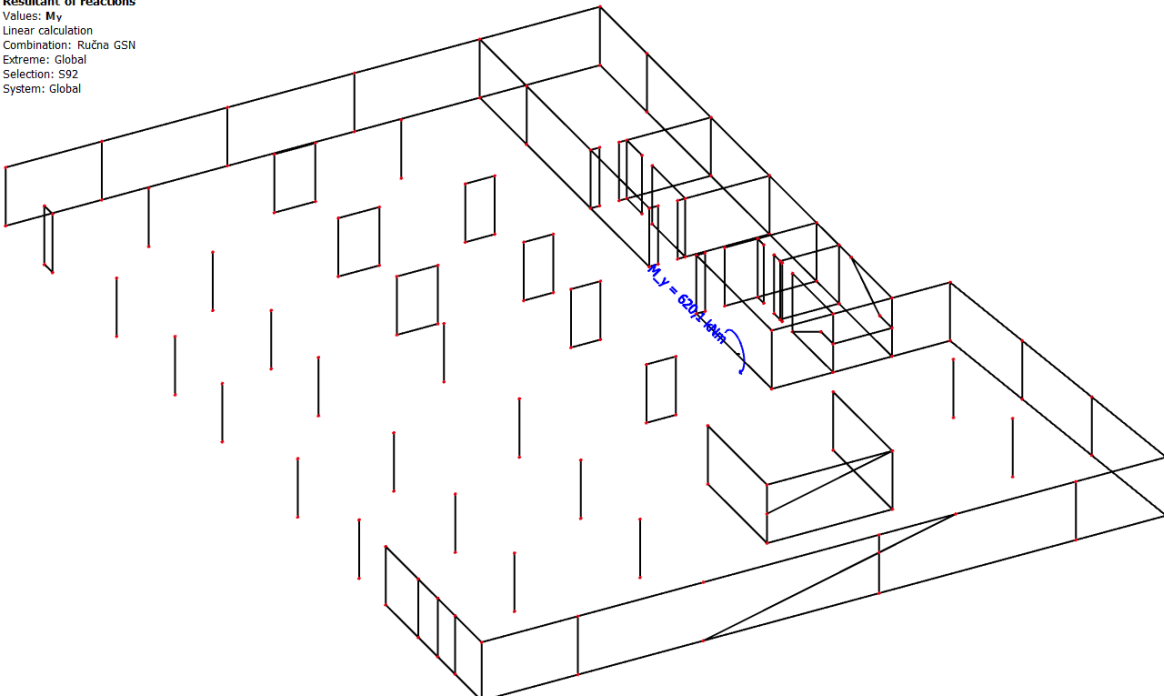
12.1. PRORAČUN TEMELJNIH TRAKA

Resultant of reactions
 Values: R_z
 Linear calculation
 Combination: Ručna GSN
 Extreme: Global
 Selection: S92
 System: Global



12.1 Rezultantna reakcija R_z na zidu uslijed $(S_x + S_y + GSN)$

Resultant of reactions
 Values: M_y
 Linear calculation
 Combination: Ručna GSN
 Extreme: Global
 Selection: S92
 System: Global



12.2 Rezultantna reakcija M_z na zidu uslijed $(S_x + S_y + GSN)$

Tablica 12.1 Dimenzioniranje temeljnih traka

| | | | |
|--|---|--|-----------|
| $N_{ed,max} =$ | 8001,3 kN | Naprezanja ispod temelja $\sigma_{1,2} \leq \sigma_{dop,tra}$ | |
| $M_{ed} =$ | 620,1 kNm | | |
| $h_{tem} =$ | 0,8 m | $\sigma_{1-1} = \frac{N_{Ed}}{A} \pm \frac{M_{Ed}}{W} = 357,89 \pm 21,23$ | |
| $\sigma_{dop,tra} =$ | 400 kN/m ² | | |
| busvojeno | 3,2 m | $\sigma_1 = 379,1252 \text{ kN/m}^2 < \sigma_{dop,tra}$ ZADOVOLJAVA | |
| l-duljina temelja | 7,4 m | | |
| γ_b težina betona | 25 kN/m ³ | $\sigma_2 = 336,6603 \text{ kN/m}^2 < \sigma_{dop,tra}$ ZADOVOLJAVA | |
| debljina zida | 0,25 m | | |
| $b_1 =$ | 1,475 m | Naprezanja u presjeku 1-1: | |
| Težina temelja: | | $\sigma_{1-1} = \sigma_1 - \frac{b_1}{b}(\sigma_1 - \sigma_2) = 359,55 \text{ kN/m}^2$ ZADOVOLJAVA | |
| $N_t = b \cdot l \cdot h \cdot \gamma_B =$ | 473,6 kN | Moment u presjeku 1-1: | |
| $N_{Ed} = N_{Ed,max} + N_t =$ | 8474,9 kN | $M_{1-1} = (2 \cdot \sigma_1 + \sigma_{1-1}) \cdot \frac{b_1^2}{6} = 405,32 \text{ kNm/m}'$ | |
| Površina: $A =$ | 23,68 m ² | Proračun armature | |
| moment otpora: $W = \frac{b \cdot l}{6}$ | 29,20533 m ³ | $A_{1-1} = \frac{M_{Ed}}{0,9 \cdot d \cdot f_{yd}} = 13,81 \text{ cm}^2/\text{m}'$ | |
| BETON: C30/37 | | ARMATURA: B 500B | |
| $f_{ck} =$ | 30 MPa | $f_{yk} =$ | 500 MPa |
| $f_{cd} =$ | 20 MPa | $f_{yd} =$ | 434,8 MPa |
| Minimalna armatura: | $A_{s,min} = 0,022 \cdot \frac{f_{ck}}{f_{yk}} \cdot b \cdot d =$ | 31,68 cm ² | |
| | $A_{s,min} = 0,6 \cdot b \cdot \frac{d}{f_{yk}} =$ | 28,8 cm ² | |
| Maksimalna armatura | $A_{s,max} = 0,4 \cdot \frac{f_{ck}}{f_{yk}} \cdot b \cdot d =$ | 576 cm ² | |
| | $A_{s,max} = 0,310 \cdot \frac{f_{cd}}{f_{yd}} \cdot b \cdot d =$ | 342,24 cm ² | |

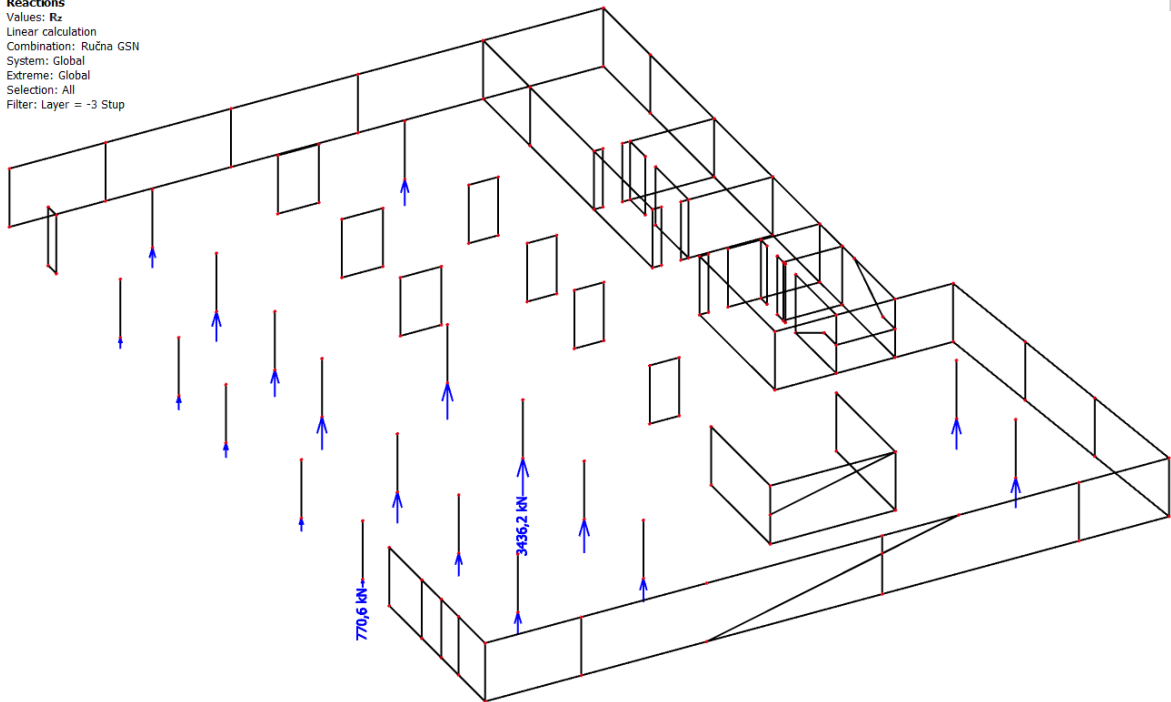
ODABRANO: visina temeljnih traka h=0,8 m i širina 3,2 m

Temeljne trake armirati s Q785+Ø14/25.

Napomena: Sve stupove temeljnima trakama povezati sa zidovima.

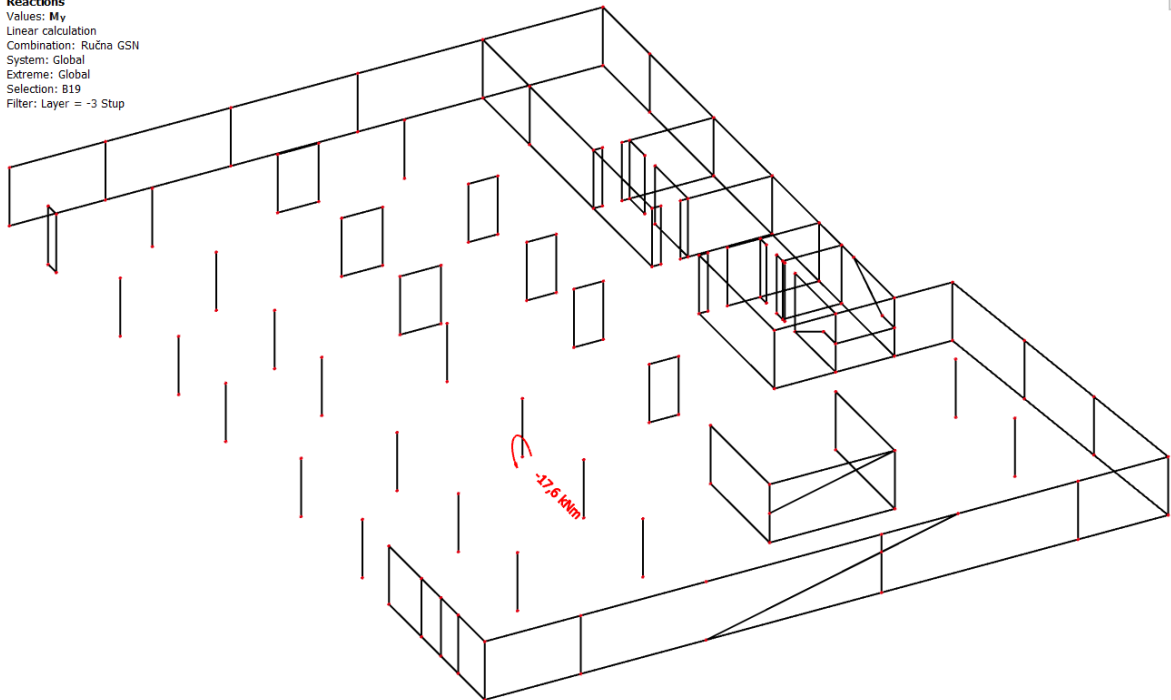
12.2. PRORAČUN TEMELJA SAMCA

Reactions
 Values: R_z
 Linear calculation
 Combination: Ručna GSN
 System: Global
 Extreme: Global
 Selection: All
 Filter: Layer = -3 Stup



12.3 Rezultantna reakcija R_z na stupu uslijed ($S_x + S_y + GSN$)

Reactions
 Values: M_y
 Linear calculation
 Combination: Ručna GSN
 System: Global
 Extreme: Global
 Selection: B19
 Filter: Layer = -3 Stup



12.4 Rezultantna reakcija M_y na stupu uslijed ($S_x + S_y + GSN$)

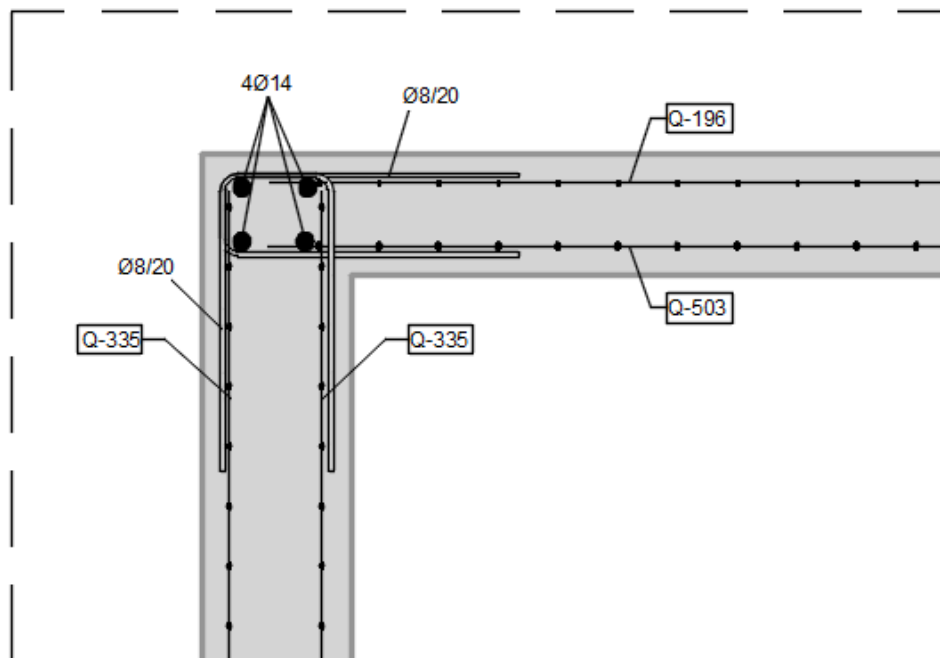
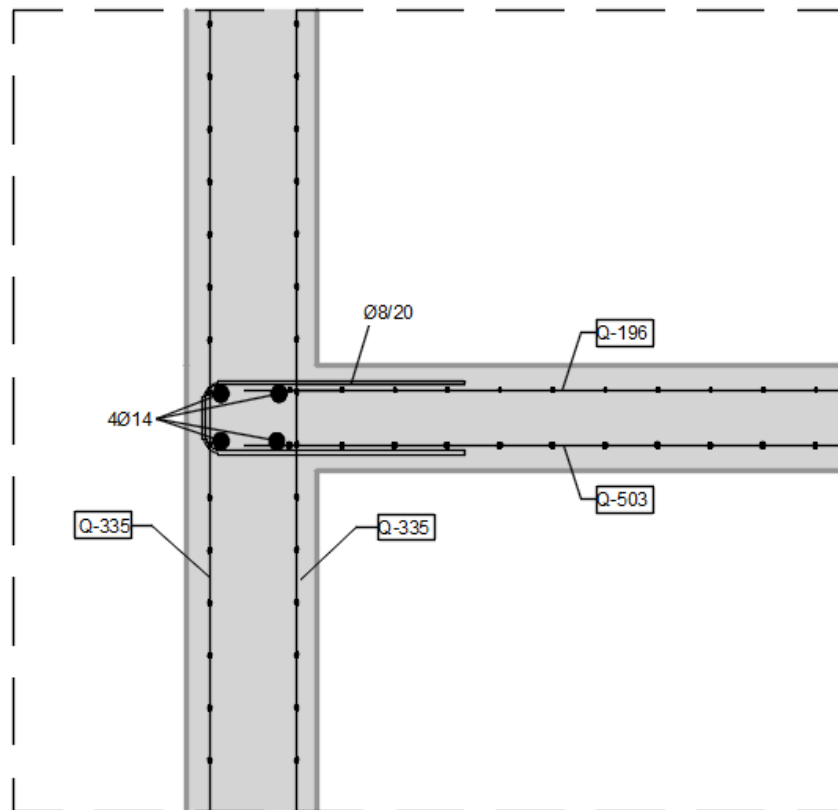
Tablica 12.2 Dimenzioniranje temelja samca

| | | | |
|---|---|--|--|
| $N_{ed,max} =$ | $3436,2 \text{ kN}$ | Naprezanja ispod temelja | $\sigma_{1,2} \leq \sigma_{dop,tla}$ |
| $M_{ed} =$ | $17,6 \text{ kNm}$ | $\sigma_{1,2} = \frac{N_{Ed}}{A} \pm \frac{M_{Ed}}{W} =$ | $377,565 \pm 3,544695$ |
| $h_{tem} =$ | $0,8 \text{ m}$ | $\sigma_1 =$ | $381,1097 \text{ kN/m}^2 < \sigma_{dop,tla} \text{ ZADOVOLJAVA}$ |
| $\sigma_{dop,tla} =$ | 400 kN/m^2 | $\sigma_2 =$ | $374,0203 \text{ kN/m}^2 < \sigma_{dop,tla} \text{ ZADOVOLJAVA}$ |
| širina temelja $a = \sqrt{\frac{N_{Ed,max}}{\sigma_{dop,tla}}} =$ | $2,93 \text{ m}$ | Naprezanja u presjeku 1-1: | |
| a zida = | $0,25 \text{ m}$ | $\sigma_{1-1} = \sigma_1 - \frac{y}{b}(\sigma_1 - \sigma_2) =$ | $380,195 \text{ kN/m}^2 \text{ ZADOVOLJAVA}$ |
| busvojevo | $3,1 \text{ m}$ | Moment u presjeku 1-1: | |
| l-duljina temelja | $3,1 \text{ m}$ | $M_{1-1} = \sigma_1 \cdot y \cdot b \cdot \frac{y}{b} + (\sigma_1 - \sigma_{1-1}) \cdot \frac{y \cdot b}{2} \cdot \frac{2}{3} \cdot y =$ | $61,12955 \text{ kNm}$ |
| γ_b težina betona | 25 kN/m^3 | Proračun armature | |
| debljina zida $b_1 =$ | $0,4 \text{ m}$ | $A_{1-1} = \frac{M_{Ed}}{0,9 \cdot d \cdot f_{yd}} =$ | $2,0829 \text{ cm}^2$ |
| Težina temelja | | | |
| $N_t = b \cdot l \cdot h \cdot \gamma_B =$ | $192,2 \text{ kN}$ | | |
| $N_{Ed} = N_{Ed,max} + N_t =$ | $3628,4 \text{ kN}$ | | |
| Površina $A =$ | $9,61 \text{ m}^2$ | | |
| moment otpora: $W = \frac{b \cdot l}{6}$ | $4,965167 \text{ m}^3$ | | |
| BETON: C30/37 | | ARMATURA: B 500B | |
| $f_{ck} =$ | 30 MPa | $f_{yk} =$ | 500 MPa |
| $f_{cd} =$ | 20 MPa | $f_{yd} =$ | $434,8 \text{ MPa}$ |
| Minimalna armatura: | $A_{s,min} = 0,022 \cdot \frac{f_{ck}}{f_{yk}} \cdot b \cdot d =$ | $30,69 \text{ cm}^2$ | |
| | $A_{s,min} = 0,6 \cdot b \cdot \frac{d}{f_{yk}} =$ | $27,90 \text{ cm}^2$ | |
| Maksimalna armatura | $A_{s,max} = 0,4 \cdot \frac{f_{ck}}{f_{yk}} \cdot b \cdot d =$ | 558 cm^2 | |
| | $A_{s,max} = 0,310 \cdot \frac{f_{cd}}{f_{yd}} \cdot b \cdot d =$ | $331,545 \text{ cm}^2$ | |
| As,odabrano: | $\emptyset 12 / 10$ | As= | $12,00 \text{ cm}^2/\text{m}$ |

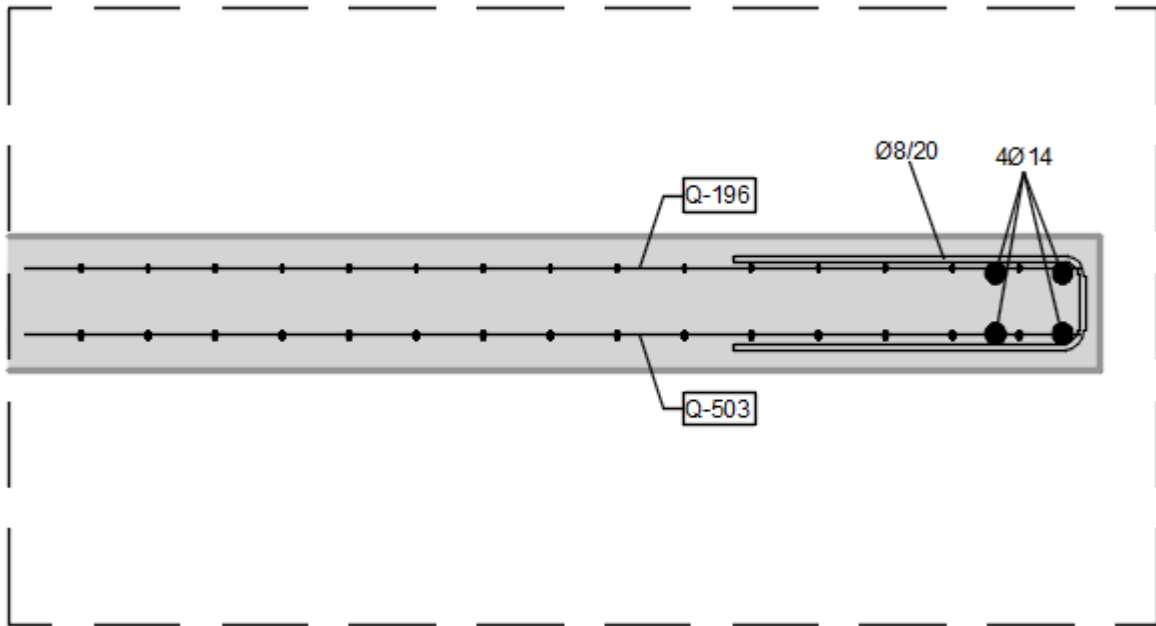
ODABRANO: visina temelja samca $h=0,8 \text{ m}$ i širina $3,1 \text{ m}$

Temelj samac armirati s $\emptyset 12/10$.

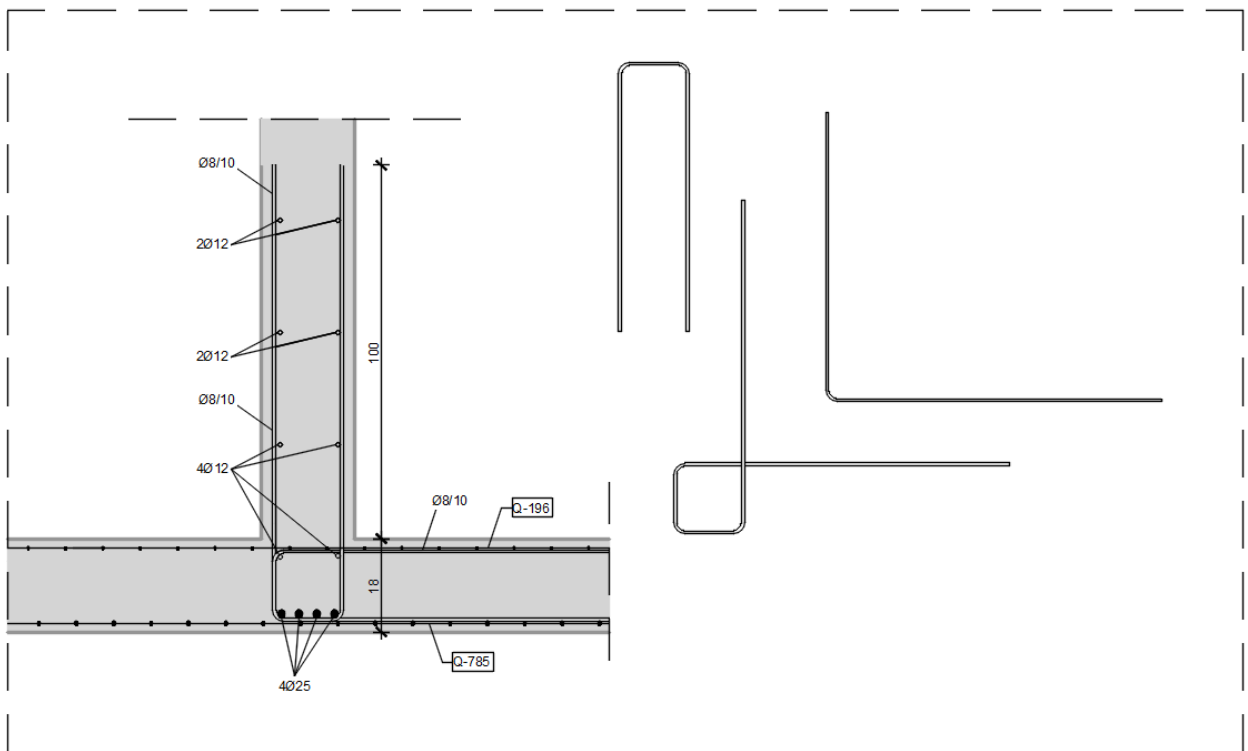
Napomena: Sve stupove temeljnim trakama povezati sa zidovima.

13. DETALJI

13.1 Detalj armiranja spoja ploče i vanjskog zida



13.2 Detalj armiranja ruba ploče



13.3 Detalj armiranja mjesta oslanjanja visokostjenog nosača na ploču

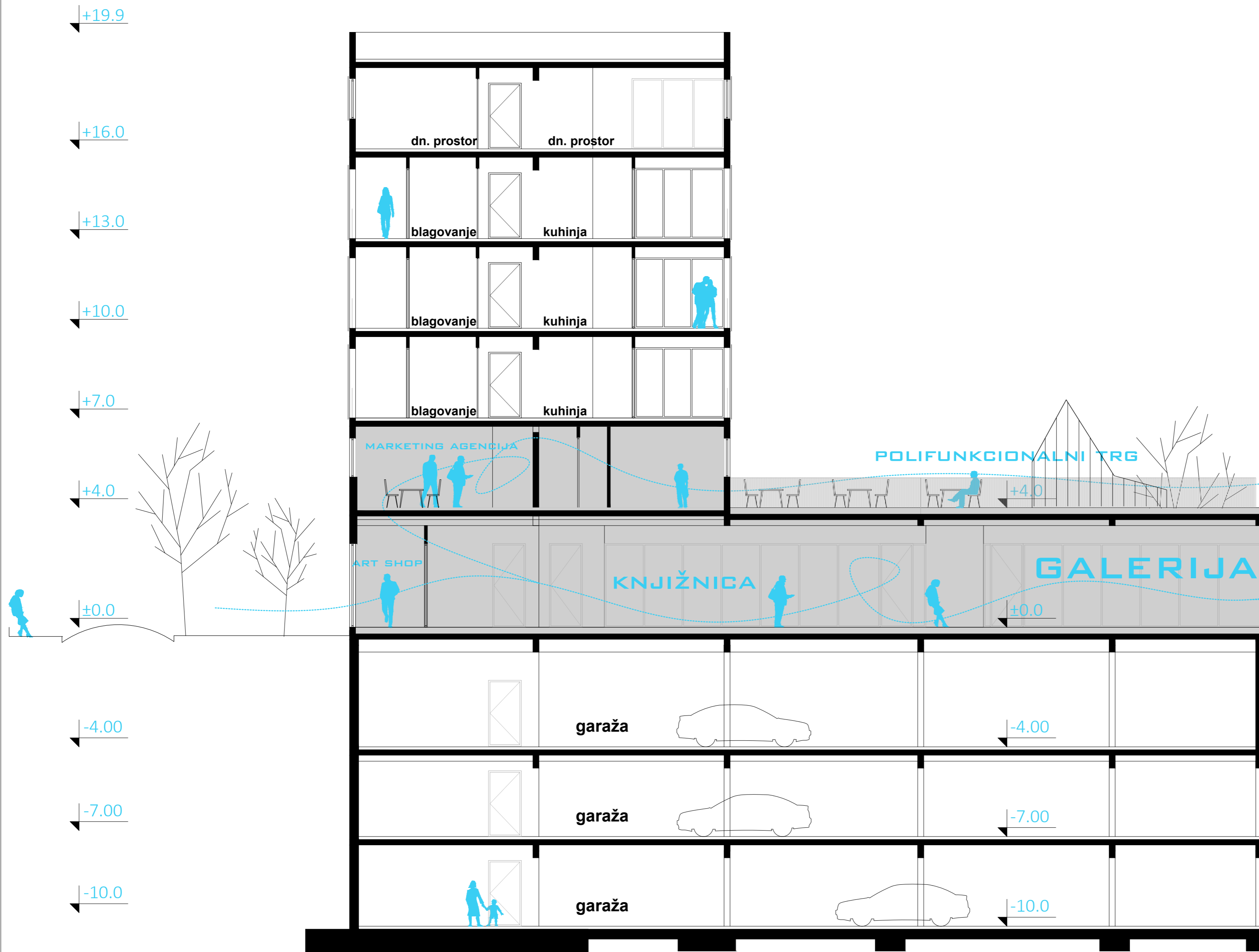
14. LITERATURA

- 1) Harapin, J.Radnić: Osnove betonskih konstrukcija, interna skripta- zapisi s predavanja; Fakultet građevinarstva, arhitekture i geodezije Split
- 2) EN 1990:2008 Eurokod- osnove projektiranja konstrukcija (EN 1990:2008+A1:2005+AC:2008)
- 3) EN 1991: Eurokod 1 – Djelovanja na konstrukciju
- 4) EN 1992-1-1:2008 Eurokod 2 – Projektiranje betonskih konstrukcija –Dio 1-1 :Opća pravila i pravila za zgrade
- 5) EN 1998:2008 Eurokod 8 –Projektiranje konstrukcija otpornih na potres-1.dio

Korišteni računalni programi:

- AutoCad 2022.
- Scia Engineer 22.0
- Microsoft Word
- Microsoft Excel

15. GRAFIČKI PRILOZI



FAKULTET GRAĐEVINARSTVA,
ARHITEKTURE I GEODEZIJE
MATICE HRVATSKE 15, 21000 SPLIT

Diplomski sveučilišni studij
građevinarstva, smjer Kontrukcije

Katedra za betonske konstrukcije i
mostove

PREDMET: Diplomski rad

MENTOR: prof. dr. sc. Alen Harapin

STUDENT: Mario Žigo

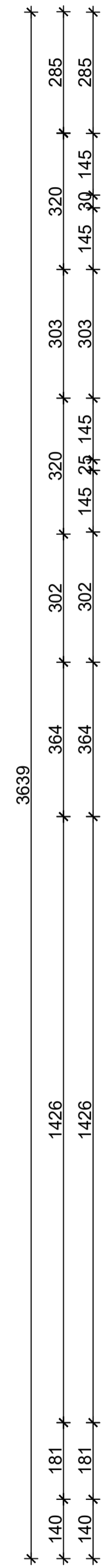
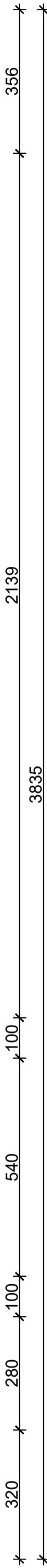
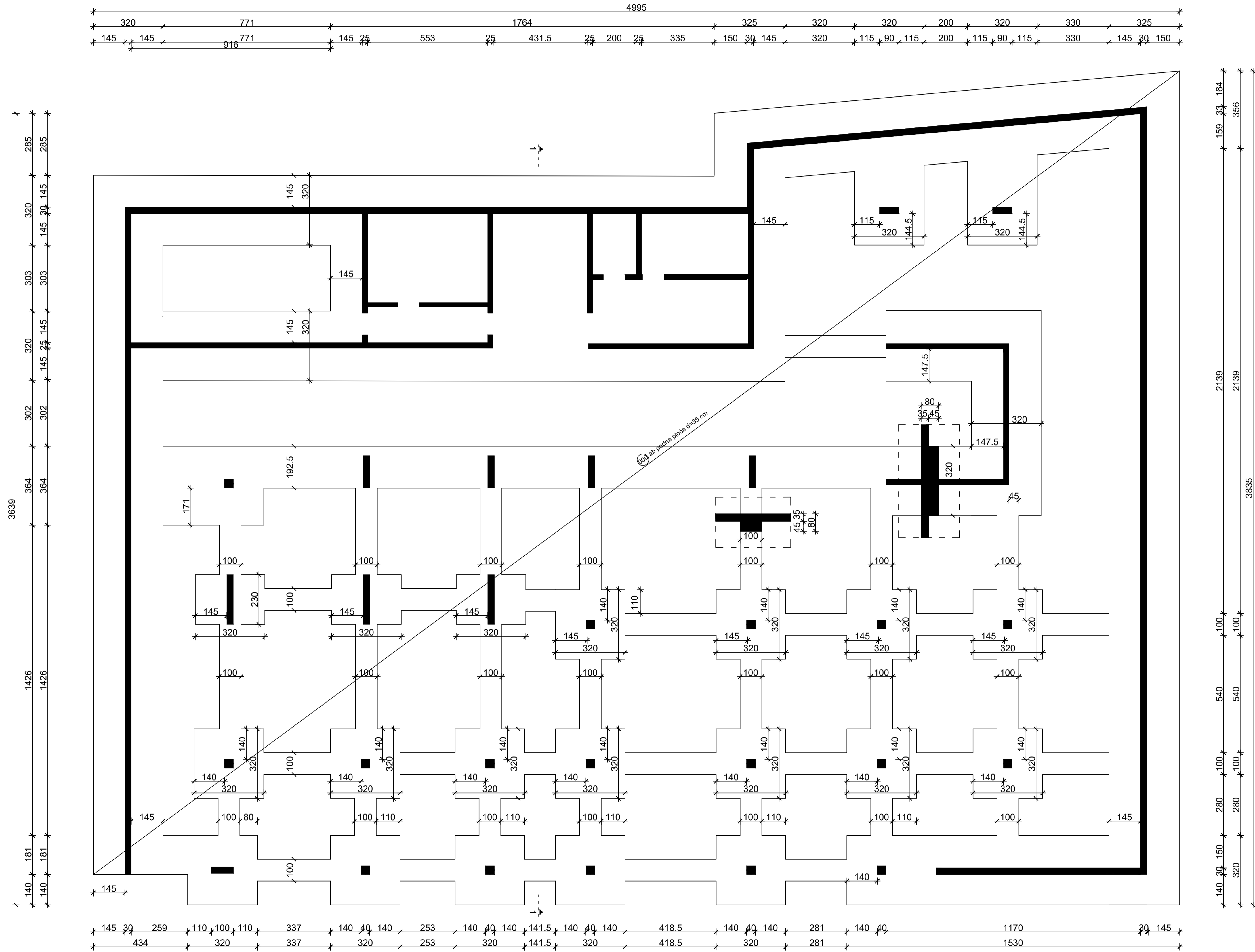
FAZA: GLAVNI PROJEKT
VRSTA: GRAĐEVINSKI PROJEKT-
PROJEKT KONSTRUKCIJE

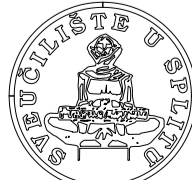
GRAĐEVINA: Centar urbane kulture
Sinokoša - dilatacija A

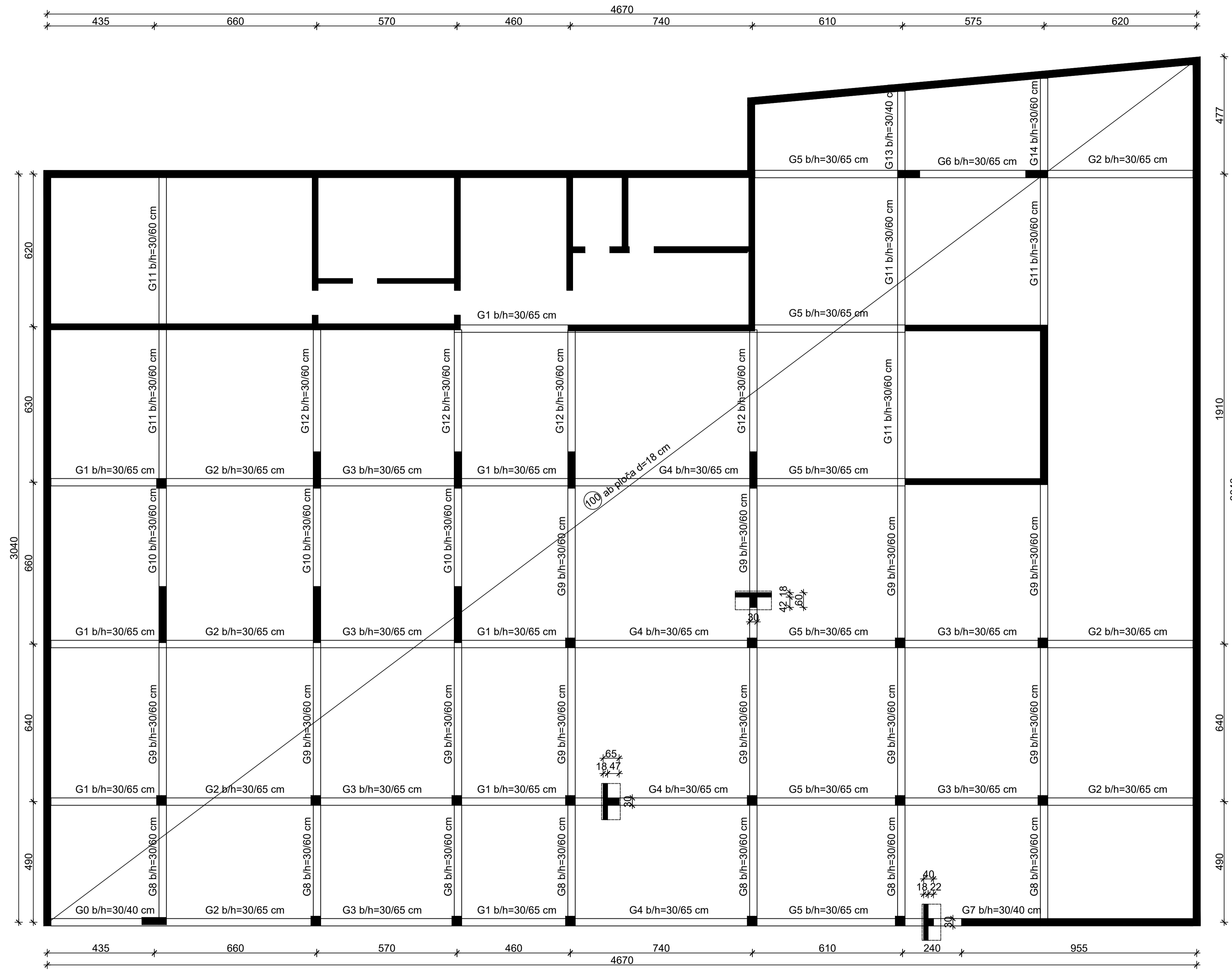
datum: srpanj, 2023.


SADRŽAJ:
PRESJEK 1-1

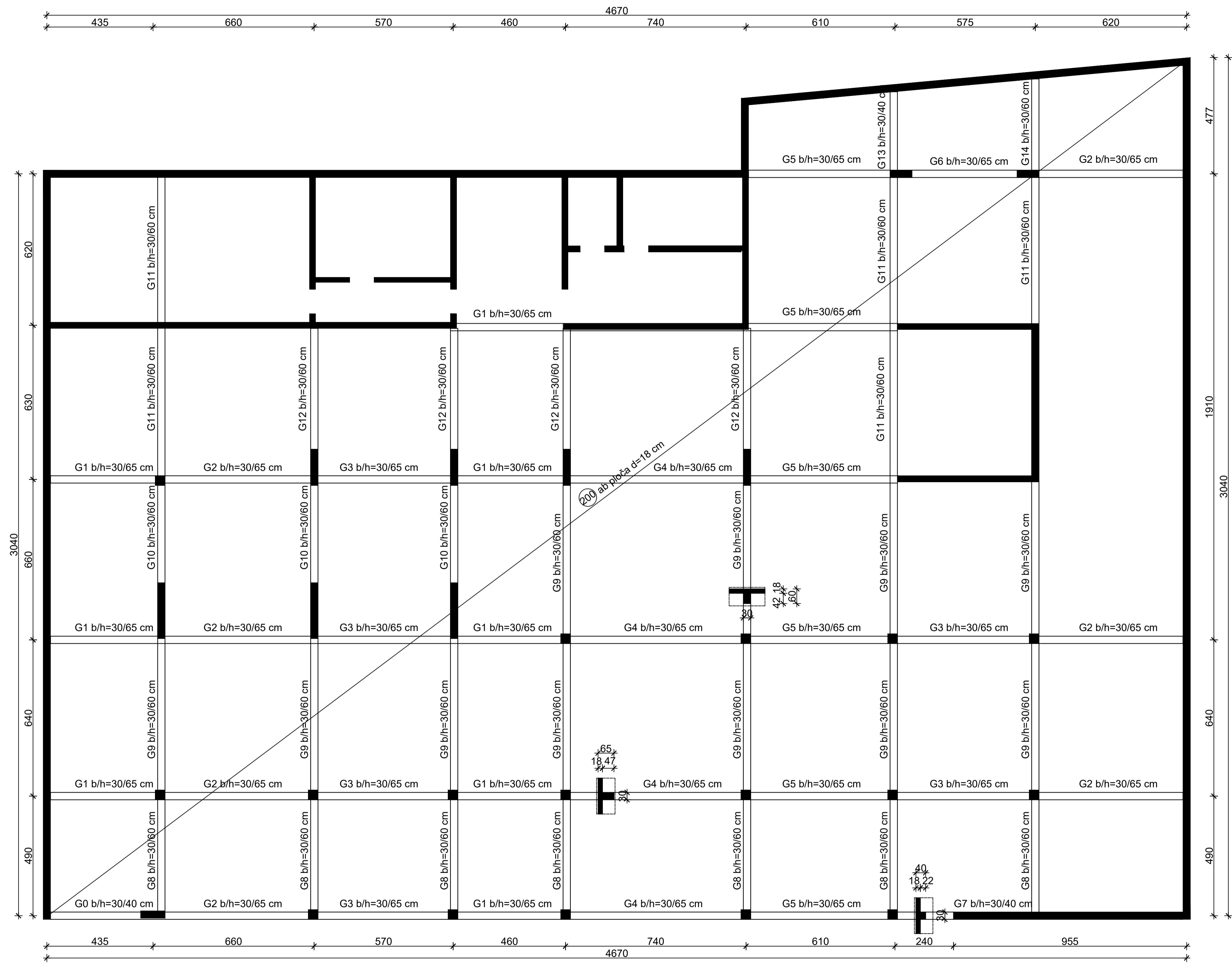
MJERILO:
M= 1:100

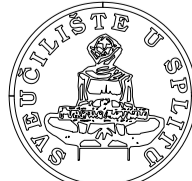


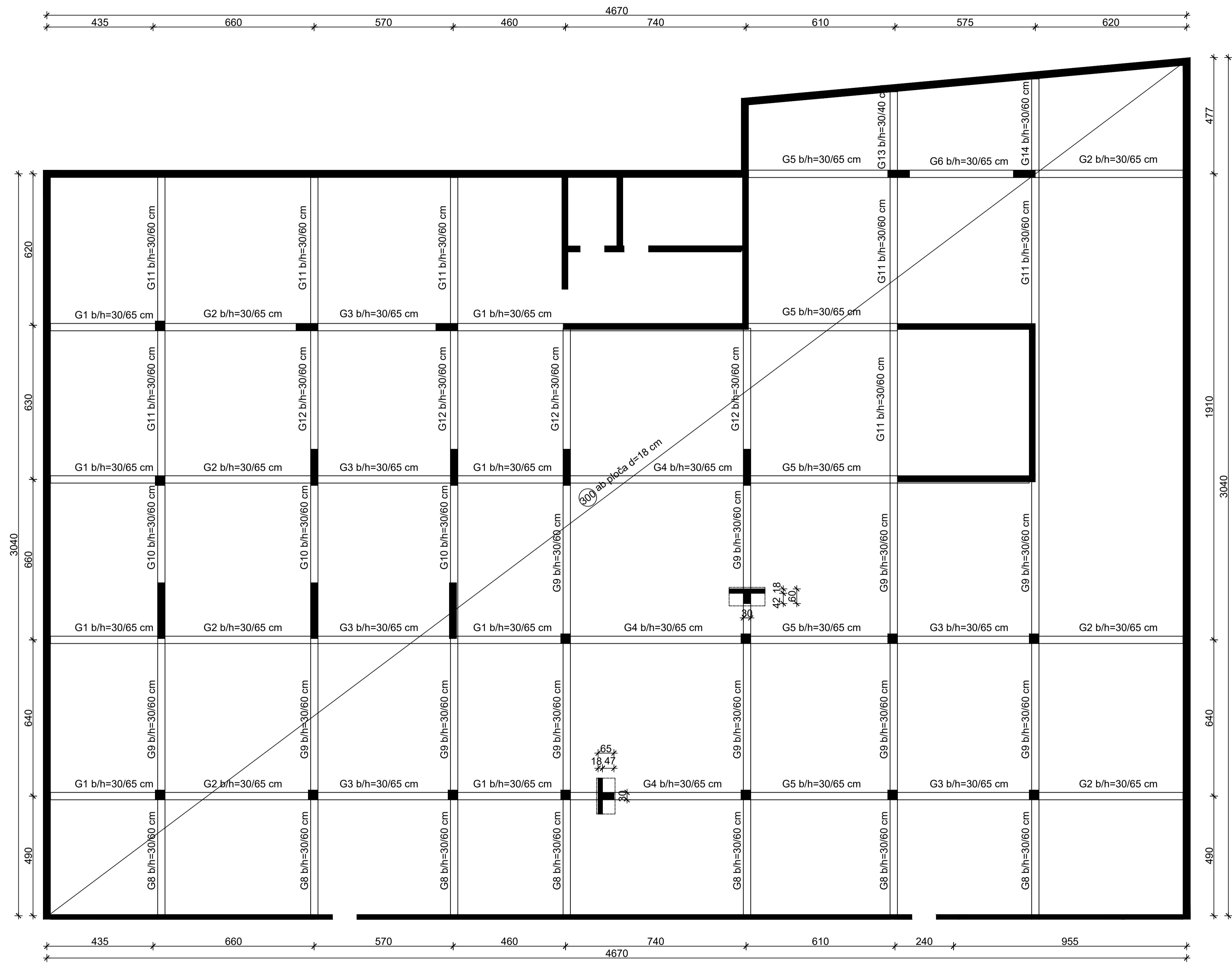
| | | | |
|---|--|---|---|
|  <p>FAKULTET GRAĐEVINARSTVA, ARHITEKTURE I GEODEZIJE MATICE HRVATSKE 15, 21000 SPLIT</p> | <p>Diplomski sveučilišni studij građevinarstva, smjer Konstrukcije</p> <p>Katedra za betonske konstrukcije i mostove</p> | <p>FAZA: GLAVNI PROJEKT</p> <p>VRSTA: GRAĐEVINSKI PROJEKT- PROJEKT KONSTRUKCIJE</p> | <p>SADRŽAJ: PLAN POZICIJA TEMELJNIH TRAKA - POZ 000</p> |
| | <p>PREDMET: Diplomski rad</p> <p>MENTOR: prof. dr. sc. Alen Harapin</p> <p>STUDENT: Mario Žigo</p> | <p>GRAĐEVINA: Centar urbane kulture Sinokola - distrikt A</p> <p>MJERILLO: M= 1:100</p> <p>datum: srpanj, 2023.</p> | <p>list 2</p> |

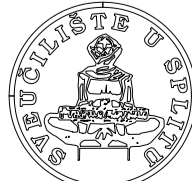


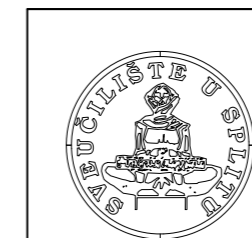
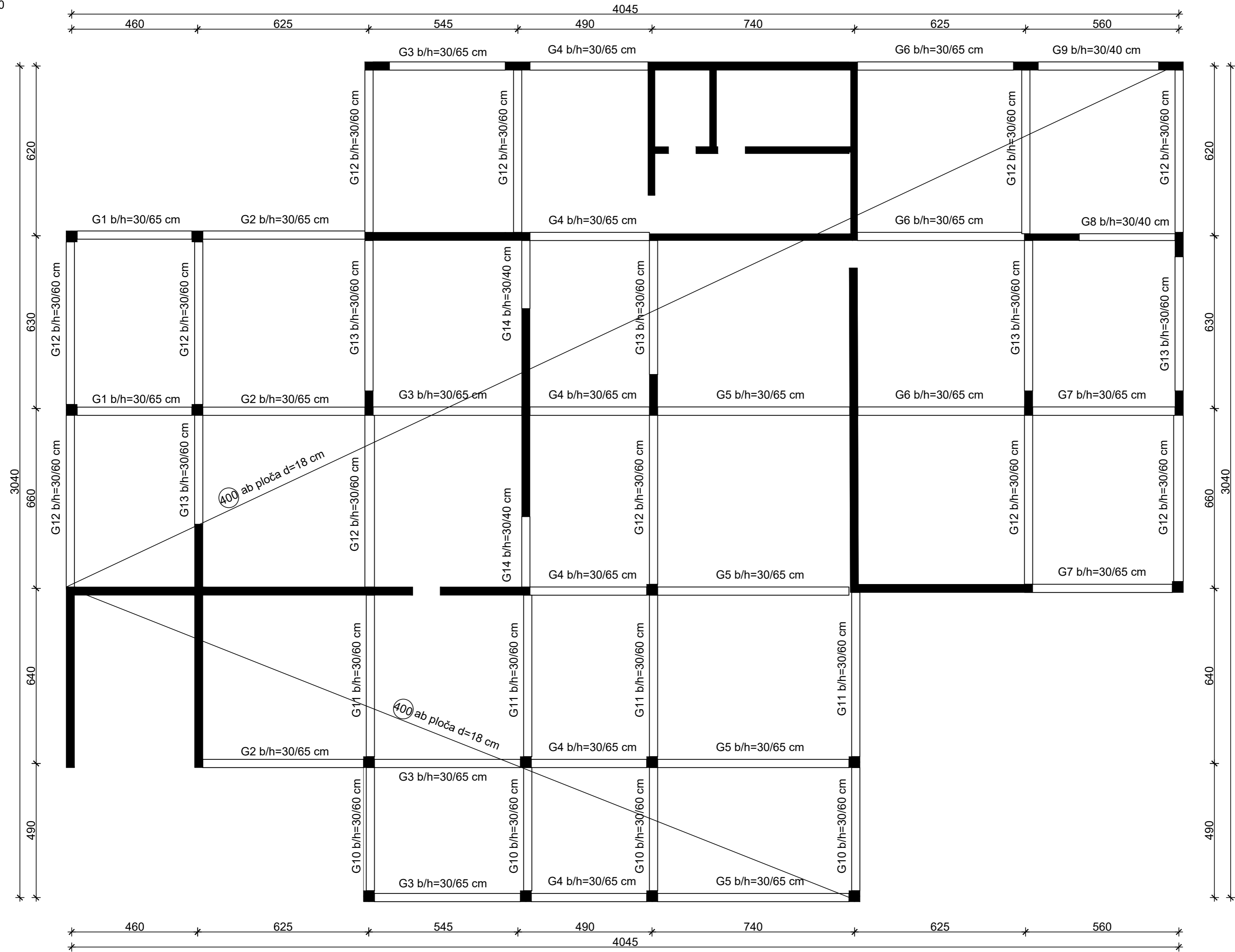
| | | | |
|--|--|---|-----------------------------------|
|  <p>FAKULTET GRAĐEVINARSTVA ARHITEKTURE I GEODEZIJE MATICE HRVATSKE 15, 21000 SPLIT</p> | Diplomski sveučilišni studij građevinarstva, smjer Konstrukcije | FAZA: GLAVNI PROJEKT | SADRŽAJ: |
| | Katedra za betonske konstrukcije i mostove | VRSTA: GRAĐEVINSKI PROJEKT- PROJEKT KONSTRUKCIJE | PLAN POZICIJA GARAŽA - POZ 100 |
| | PREDMET: Diplomski rad | GRAĐEVINA: Centar urbane kulture Sinokola - dilatacija A | MJERILLO: |
| | MENTOR: prof. dr. sc. Alen Harapin | STUDENT: Mario Žigo | M 1:100 |
| | | datum: srpanj, 2023. | list 3 |



| | | | |
|---|--|---|-----------------------------------|
|  <p>FAKULTET GRAĐEVINARSTVA, ARHITEKTURE I GEODEZIJE MATICE HRVATSKE 15, 21000 SPLIT</p> | Diplomski sveučilišni studij građevinarstva, smjer Konstrukcije | FAZA: GLAVNI PROJEKT | SADRŽAJ: |
| | Katedra za betonske konstrukcije i mostove | VRSTA: GRAĐEVINSKI PROJEKT- PROJEKT KONSTRUKCIJE | PLAN POZICIJA GARAŽE - POZ 200 |
| | PREDMET: Diplomski rad | GRAĐEVINA: Centar urbane kulture Sinokola - dilatacija A | MJERILLO: |
| | MENTOR: prof. dr. sc. Alen Harapin | STUDENT: Mario Žigo | M 1:100 |
| | | datum: srpanj, 2023. | list 4 |




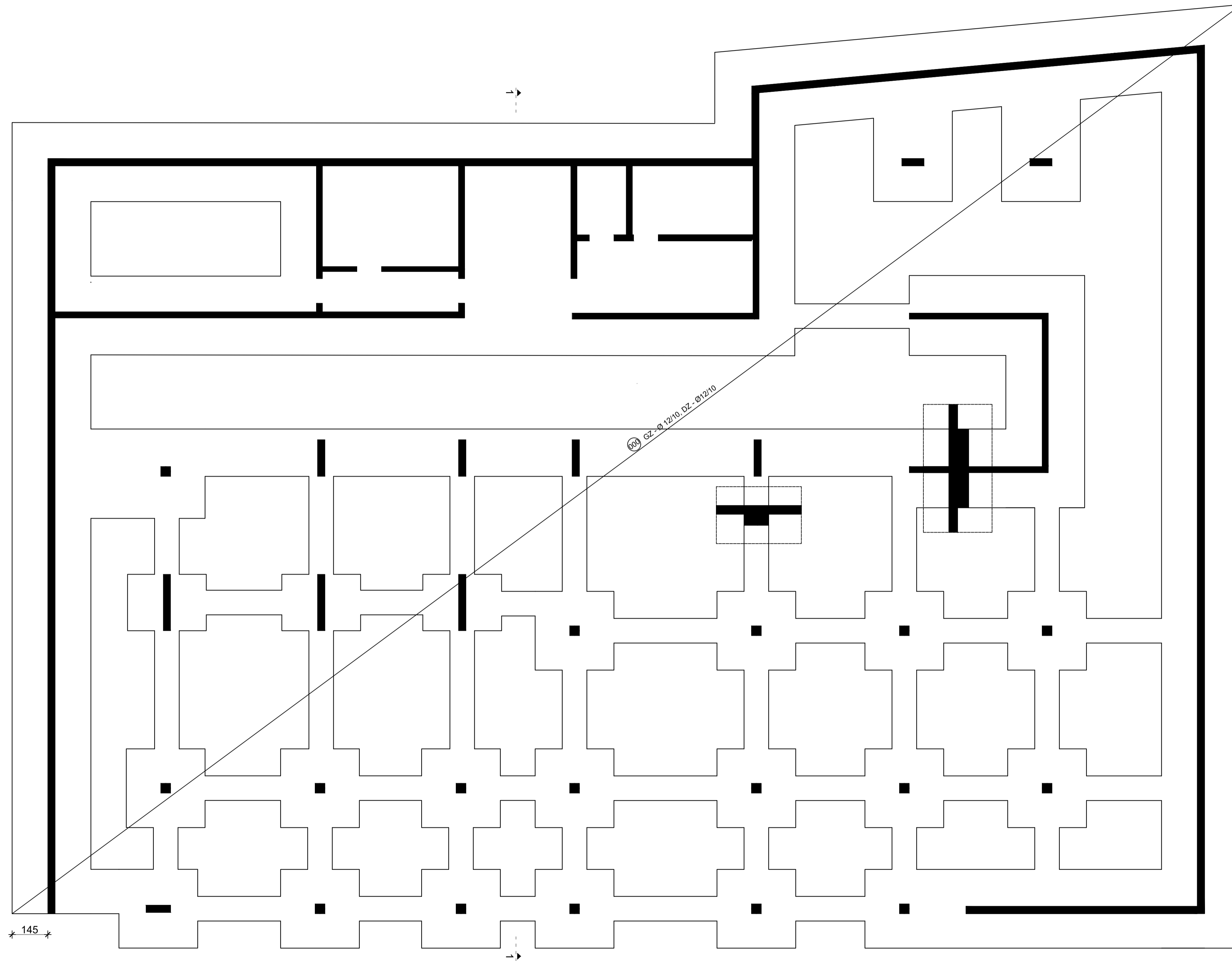
| | | | |
|---|--|---|-----------------------------------|
|  <p>FAKULTET GRAĐEVINARSTVA, ARHITEKTURE I GEODEZIJE MATICE HRVATSKE 15, 21000 SPLIT</p> | Diplomski sveučilišni studij građevinarstva, smjer Konstrukcije | FAZA: GLAVNI PROJEKT | SADRŽAJ: |
| | Katedra za betonske konstrukcije i mostove | VRSTA: GRAĐEVINSKI PROJEKT- PROJEKT KONSTRUKCIJE | PLAN POZICIJA GARAŽE - POZ 300 |
| | PREDMET: Diplomski rad | GRAĐEVINA: Centar urbane kulture Sinokola - dilatacija A | MJERILLO: |
| | MENTOR: prof. dr. sc. Alen Harapin | STUDENT: Mario Žigo | M 1:100 |
| | | datum: srpanj, 2023. | list 5 |

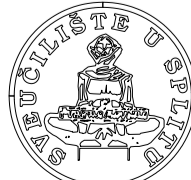


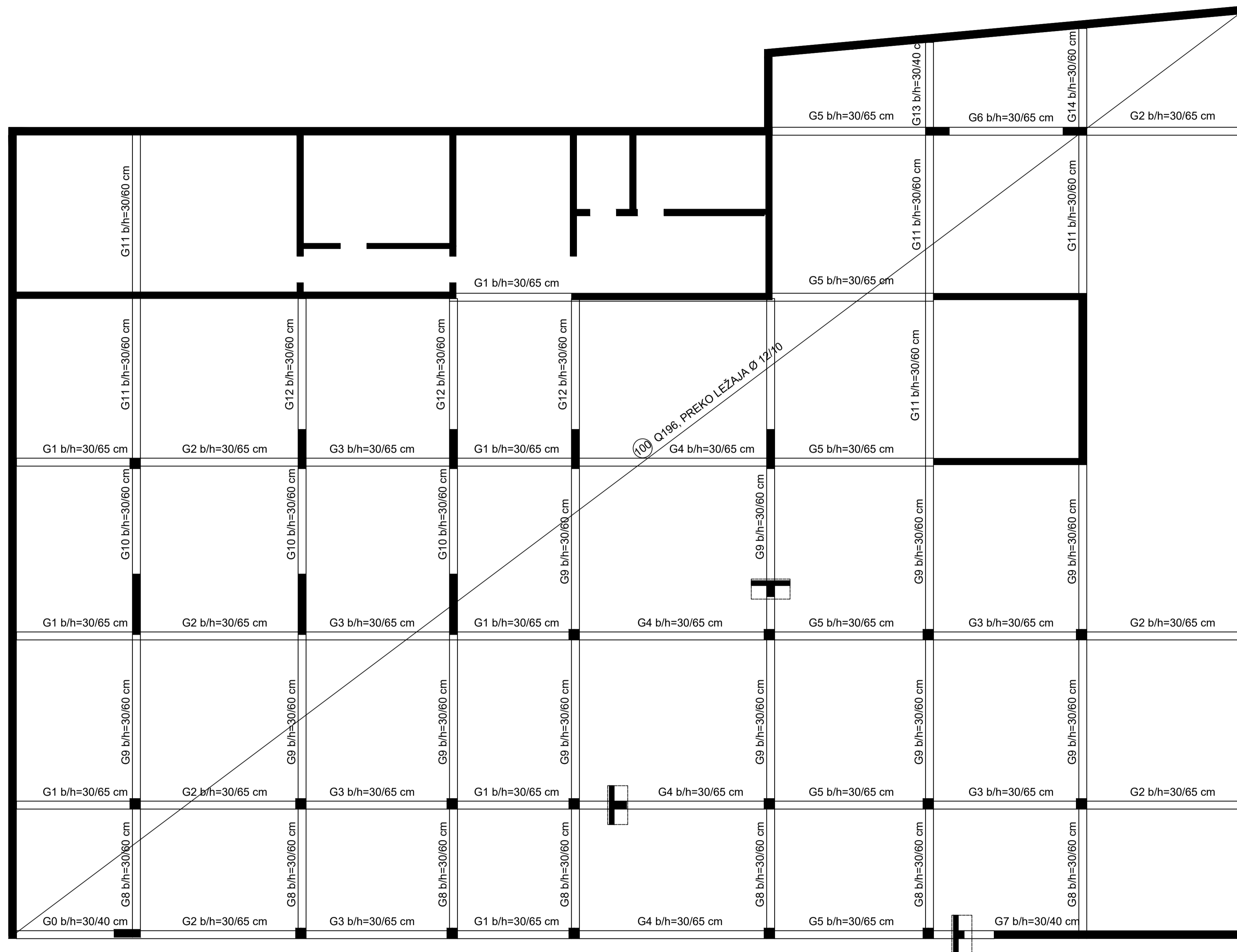
PLAN POZICIJA GARAŽE - POZ 500,600,700,800,900
M 1:100

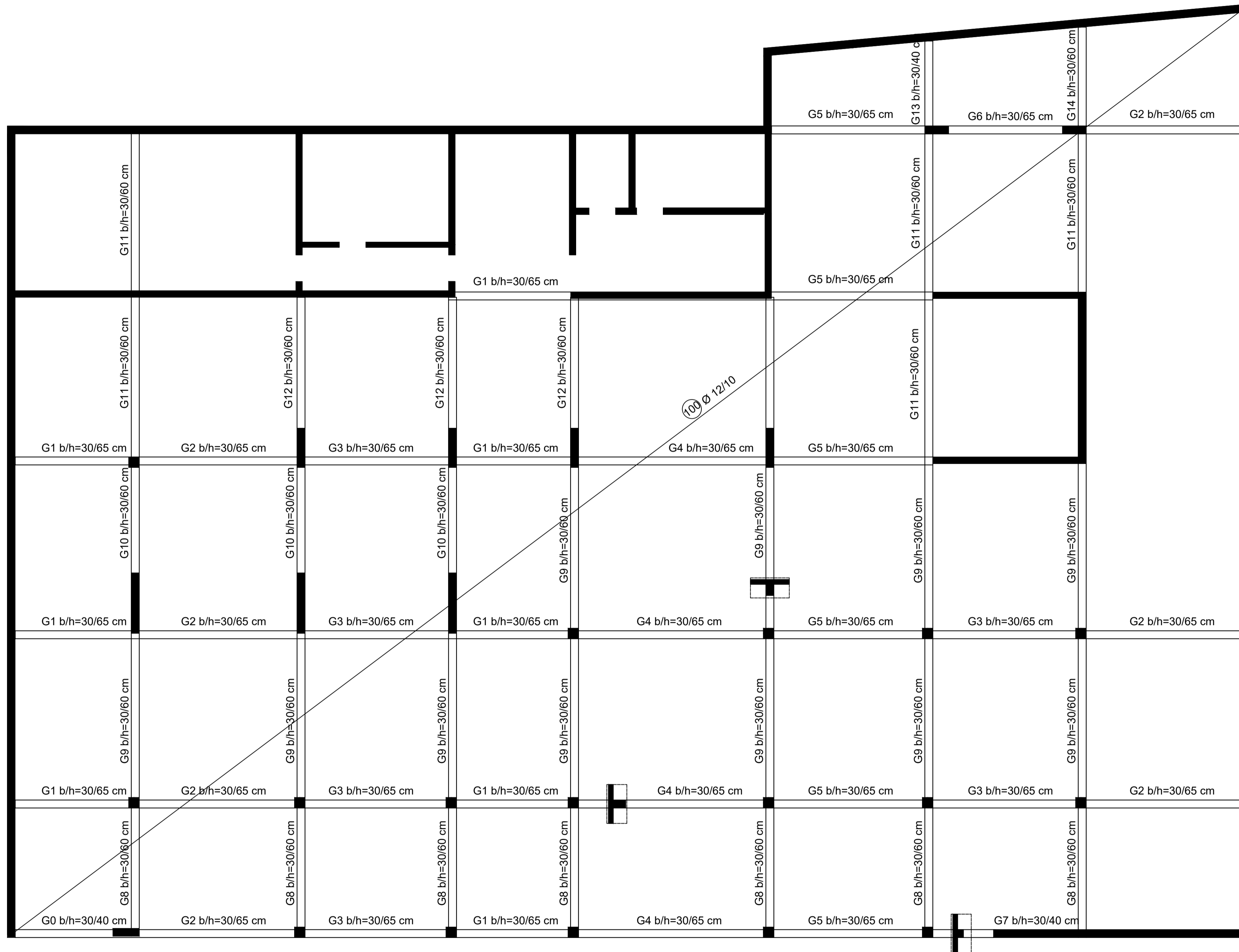


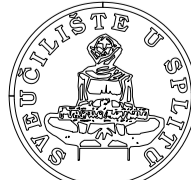
| | | | |
|---|---|--|--|
|  FAKULTET GRAĐEVINARSTVA, ARHITEKTURE I GEODEZIJE MATICE HRVATSKE 15, 21000 SPLIT | Diplomski sveučilišni studij građevinarstva, smjer Konstrukcije | FAZA: GLAVNI PROJEKT | SADRŽAJ: PLAN POZICIJA GARAŽE - POZ 500,600,700,800,900 |
| | Katedra za betonske konstrukcije i mostove | VRSTA: GRAĐEVINSKI PROJEKT-PROJEKT KONSTRUKCIJE | |
| | PREDMET: Diplomski rad | GRAĐEVINA: Centar urbane kulture Sinokoša - dilatacija A | MJERILO: M= 1:100 |
| | MENTOR: prof. dr. sc. Alen Harapin | STUDENT: Mario Žigo | datum: srpanj, 2023. |

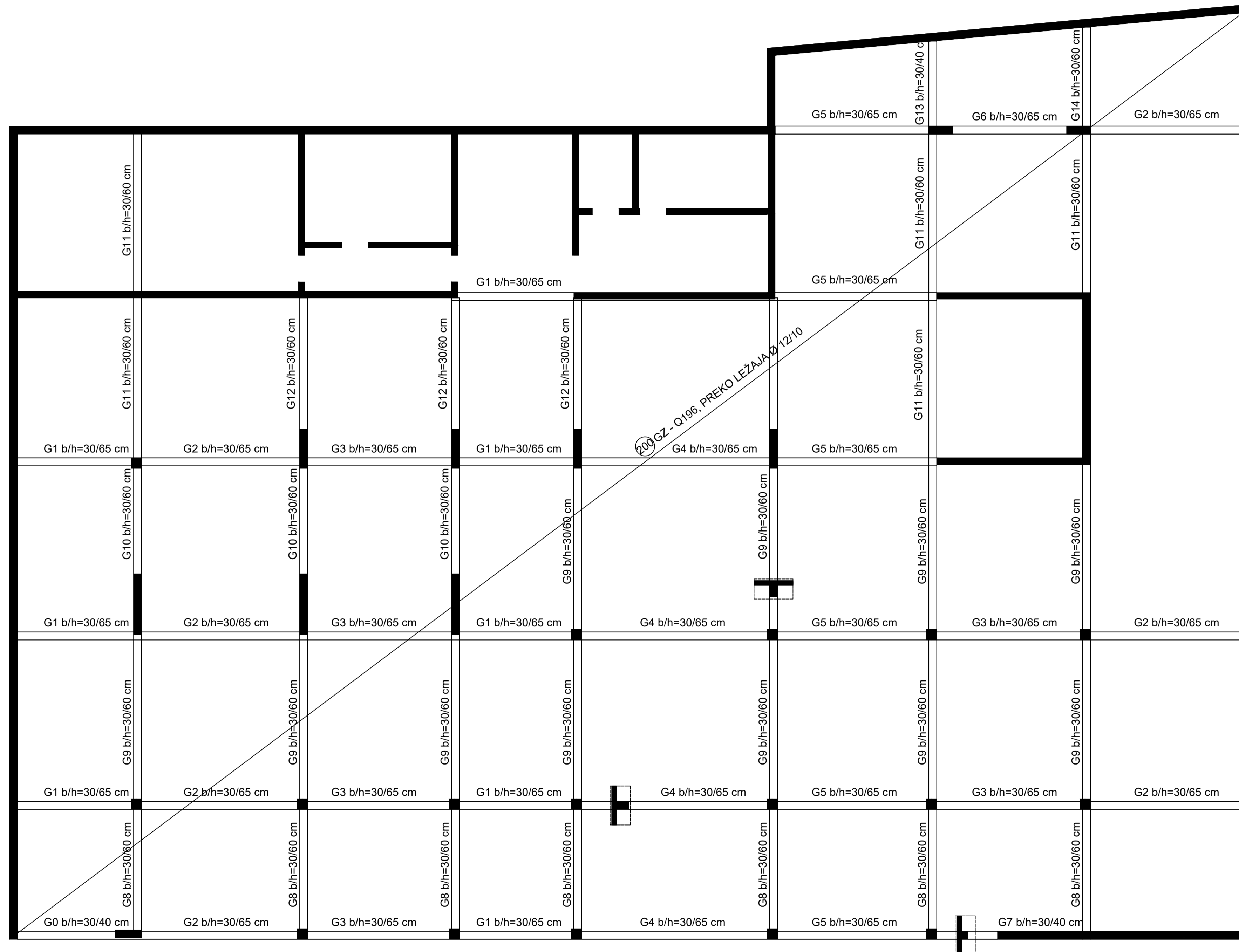


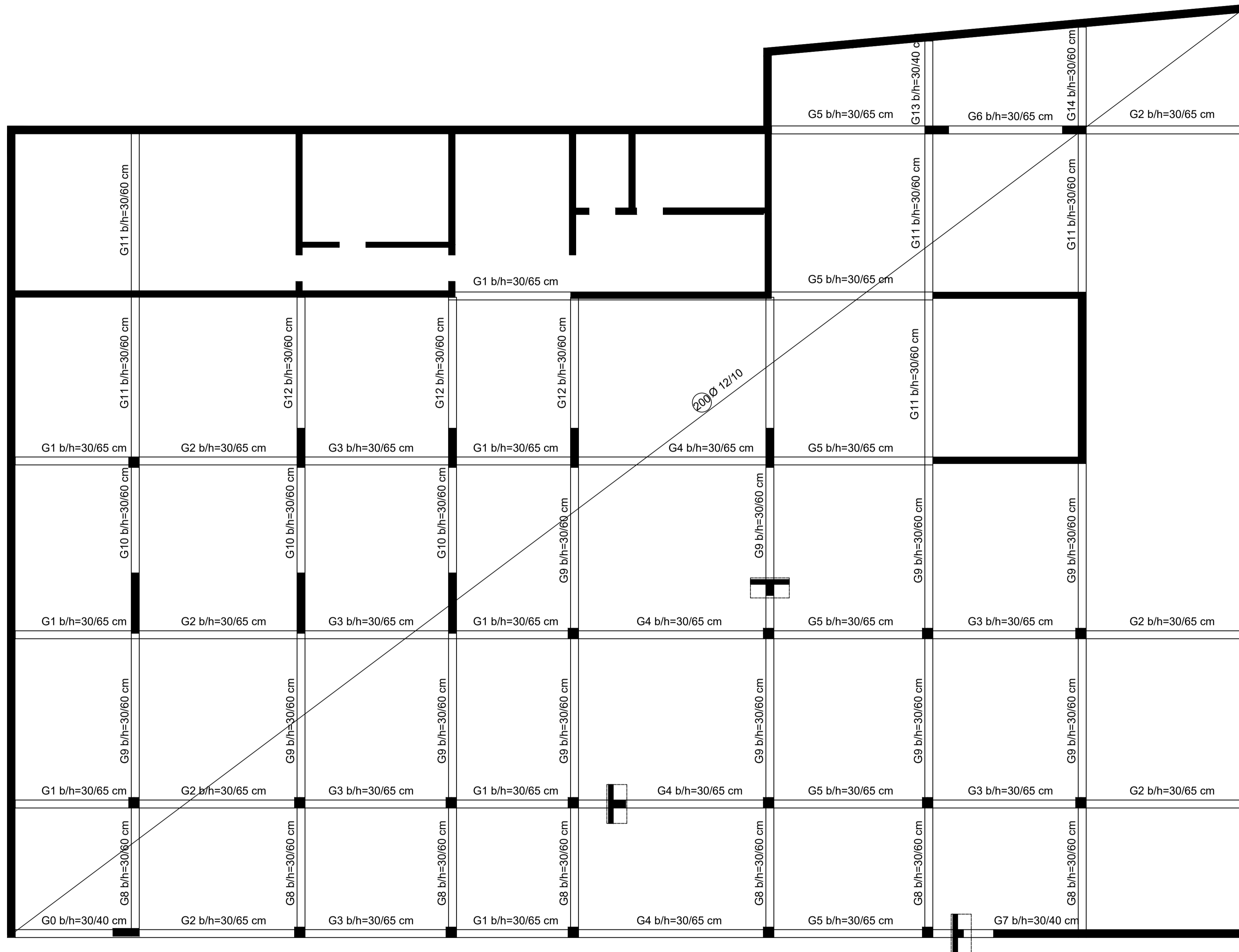
| | | | |
|---|--|---|-------------------------|
|  FAKULTET GRAĐEVINARSTVA, ARHITEKTURE I GEODEZIJE MATICE HRVATSKE 15, 21000 SPLIT | Diplomski sveučilišni studij građevinarstva, smjer Konstrukcije | FAZA: GLAVNI PROJEKT | SADRŽAJ: |
| | Katedra za betonske konstrukcije i mostove | VRSTA: GRAĐEVINSKI PROJEKT- PROJEKT KONSTRUKCIJE | SKICA ARMATURE- POZ 000 |
| | PREDMET: Diplomski rad | GRAĐEVINA: Centar urbane kulture Sinokola - dilatacija A | MJERILO: |
| | MENTOR: prof. dr. sc. Alen Harapin | STUDENT: Mario Žigo | M 1:100 |
| datum: srpanj, 2023. | | list 8 | |



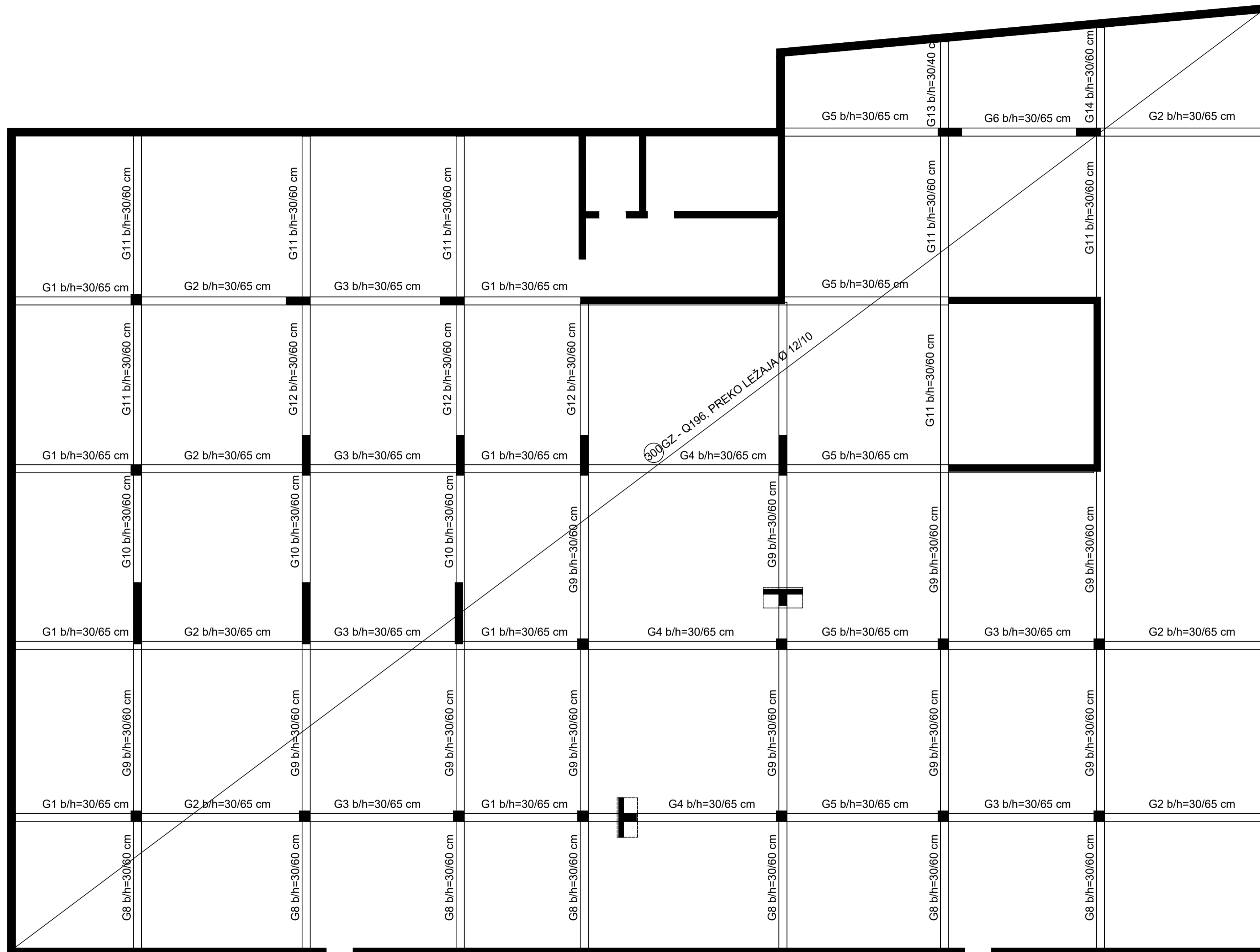


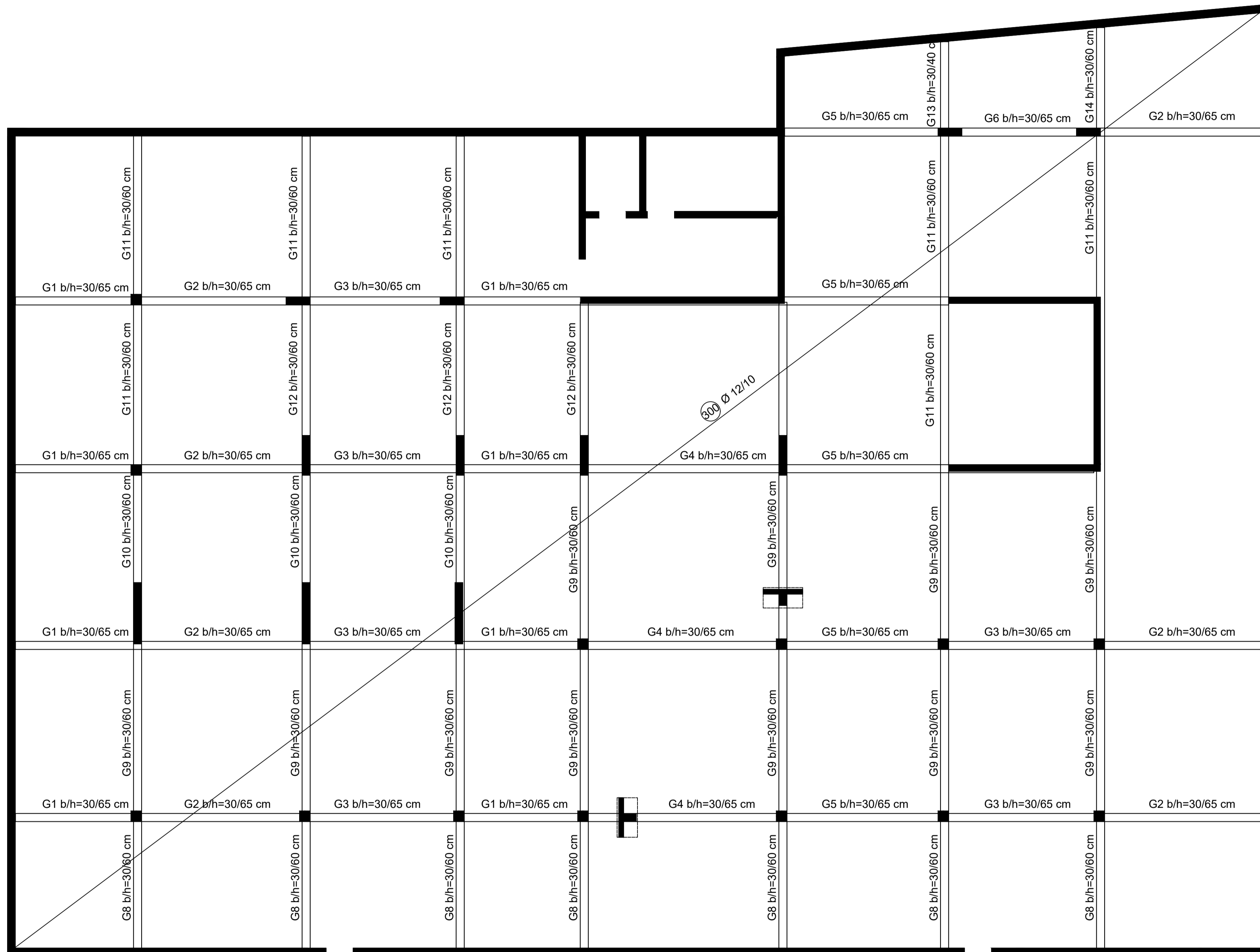
| | | | |
|---|--|---|---------------------------------------|
|  <p>FAKULTET GRAĐEVINARSTVA, ARHITEKTURE I GEODEZIJE MATICE HRVATSKE 15, 21000 SPLIT</p> | Diplomski sveučilišni studij građevinarstva, smjer Konstrukcije | FAZA: GLAVNI PROJEKT | SADRŽAJ: |
| | Katedra za betonske konstrukcije i mostove | VRSTA: GRAĐEVINSKI PROJEKT- PROJEKT KONSTRUKCIJE | SKICA ARMATURE- POZ 100 DONJA ZONA |
| | PREDMET: Diplomski rad | GRAĐEVINA: Centar urbane kulture Sinokola - dilatacija A | MJERILLO: |
| | MENTOR: prof. dr. sc. Alen Harapin | STUDENT: Mario Žigo | M 1:100 |
| | | datum: srpanj, 2023. | list 10 |

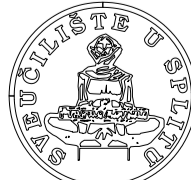


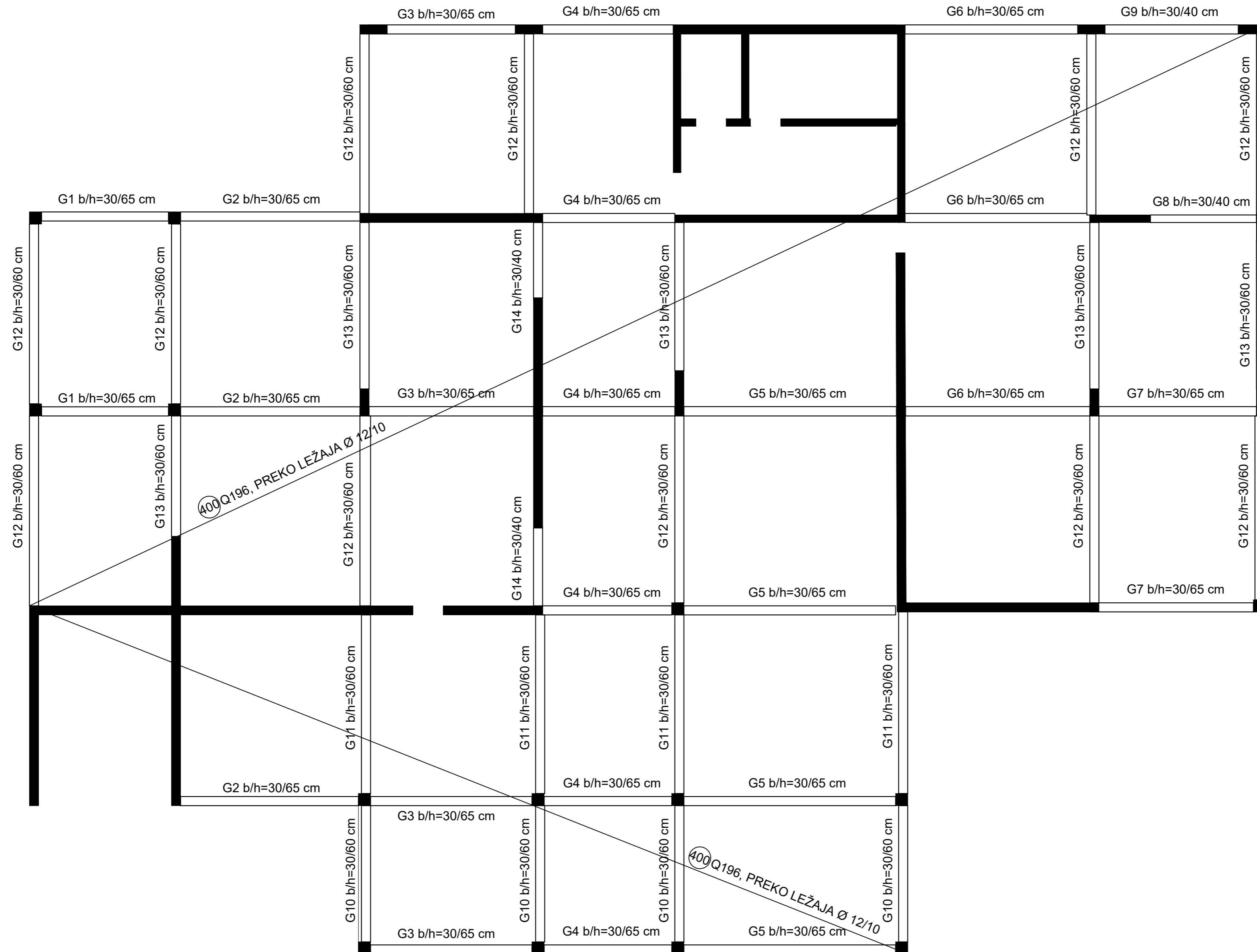



| | | | |
|---|--|---|---------------------------------------|
|  <p>FAKULTET GRAĐEVINARSTVA, ARHITEKTURE I GEODEZIJE MATICE HRVATSKE 15, 21000 SPLIT</p> | Diplomski sveučilišni studij građevinarstva, smjer Konstrukcije | FAZA: GLAVNI PROJEKT | SADRŽAJ: |
| | Katedra za betonske konstrukcije i mostove | VRSTA: GRAĐEVINSKI PROJEKT- PROJEKT KONSTRUKCIJE | SKICA ARMATURE- POZ 200 DONJA ZONA |
| | PREDMET: Diplomski rad | GRAĐEVINA: Centar urbane kulture Sinokola - dilatacija A | MJERILLO: |
| | MENTOR: prof. dr. sc. Alen Harapin | STUDENT: Mario Žigo | M 1:100 |
| | | datum: srpanj, 2023. | list 12 |

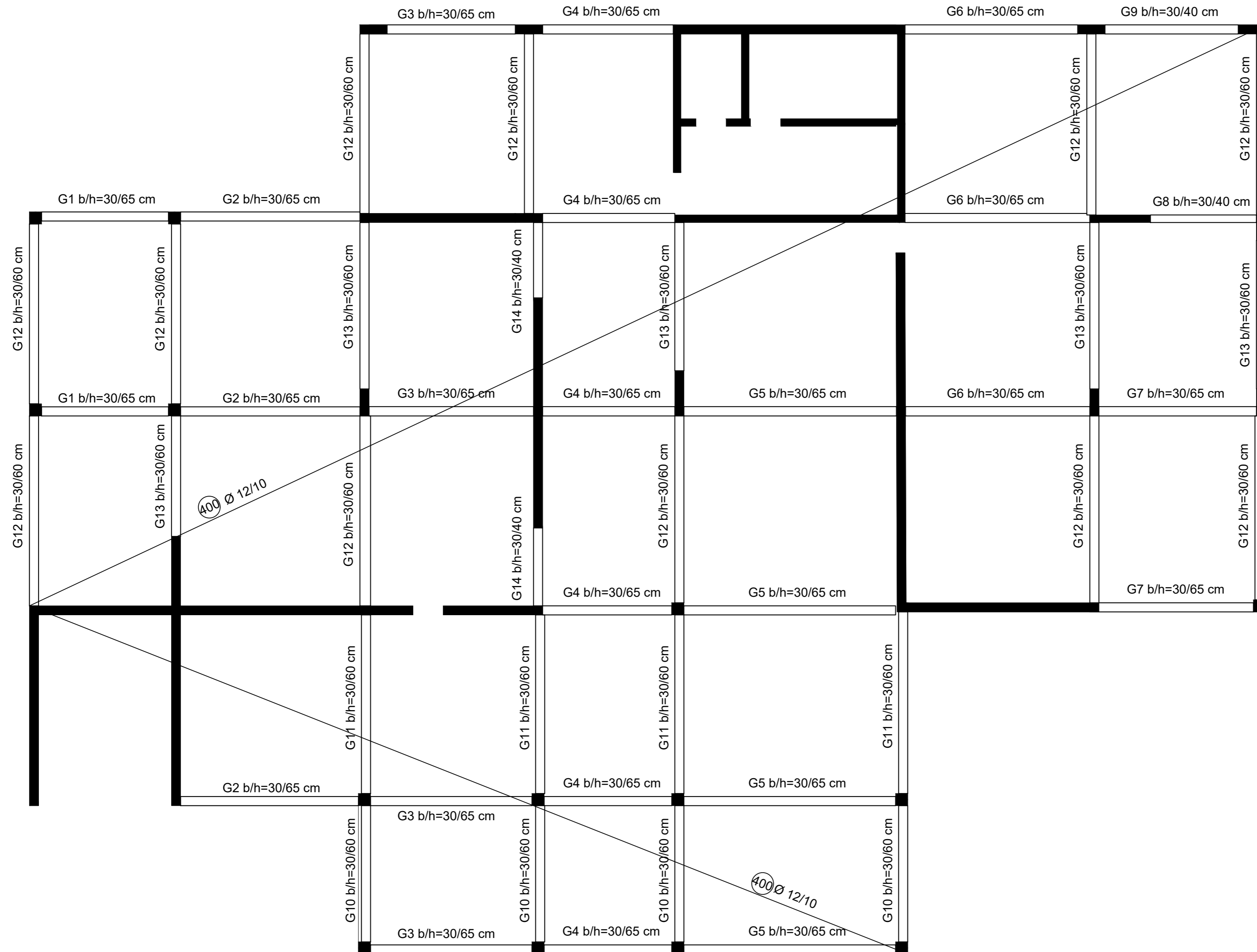





| | | | |
|---|--|---|---------------------------------------|
|  <p>FAKULTET GRAĐEVINARSTVA, ARHITEKTURE I GEODEZIJE MATICE HRVATSKE 15, 21000 SPLIT</p> | Diplomski sveučilišni studij građevinarstva, smjer Konstrukcije | FAZA: GLAVNI PROJEKT | SADRŽAJ: |
| | Katedra za betonske konstrukcije i mostove | VRSTA: GRAĐEVINSKI PROJEKT- PROJEKT KONSTRUKCIJE | SKICA ARMATURE- POZ 300 DONJA ZONA |
| | PREDMET: Diplomski rad | GRAĐEVINA: Centar urbane kulture Sinokola - dilatacija A | MJERILLO: |
| | MENTOR: prof. dr. sc. Alen Harapin | STUDENT: Mario Žigo | M 1:100 |
| | | datum: srpanj, 2023. | list 14 |

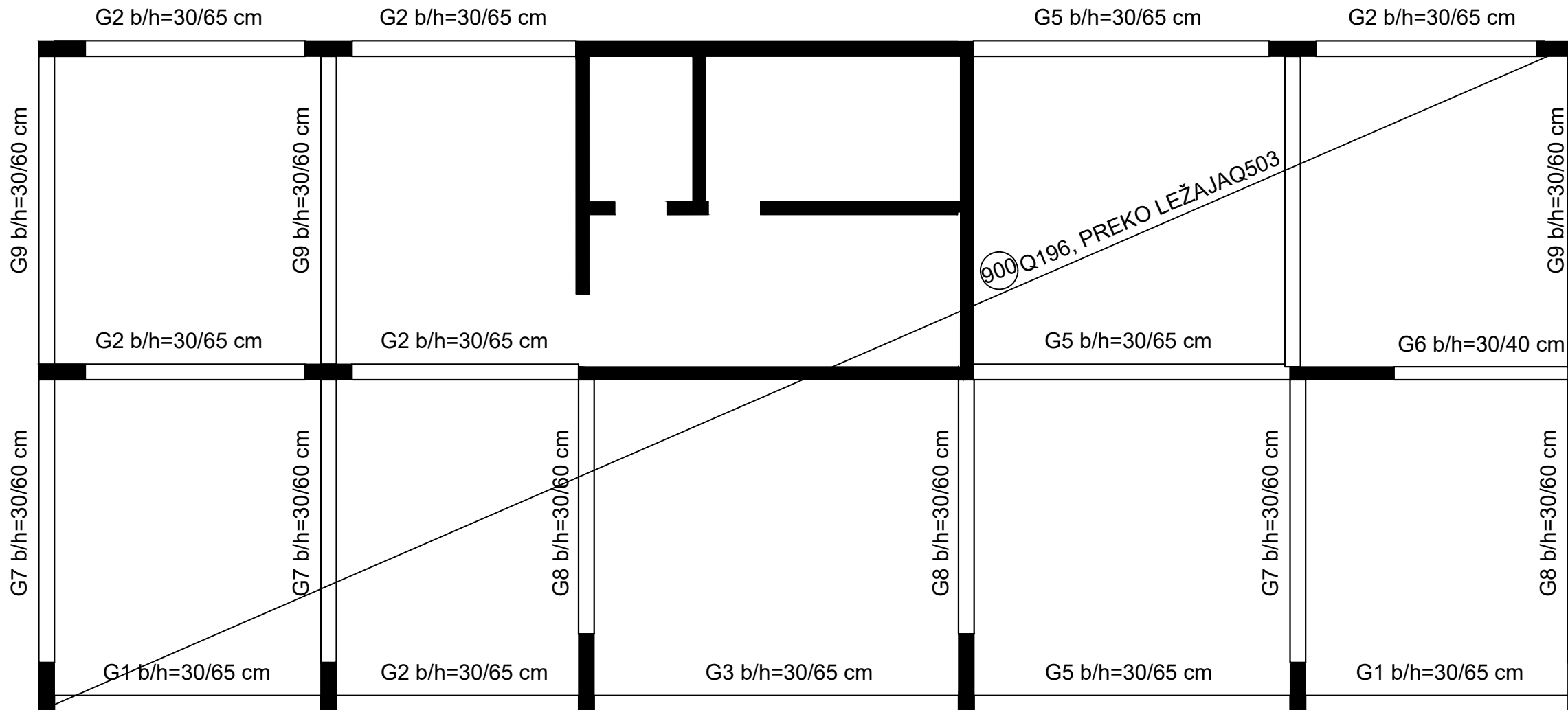


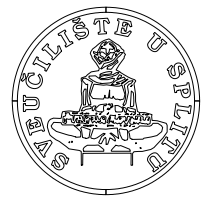
| | | | |
|---|---|--|--|
|  <p>FAKULTET GRAĐEVINARSTVA, ARHITEKTURE I GEODEZIJE MATICE HRVATSKE 15, 21000 SPLIT</p> | <p>Diplomski sveučilišni studij građevinarstva, smjer Kontrukcije</p> <p>Katedra za betonske konstrukcije i mostove</p> | <p>FAZA: GLAVNI PROJEKT</p> <p>VRSTA: GRAĐEVINSKI PROJEKT- PROJEKT KONSTRUKCIJE</p> | <p>SADRŽAJ:</p> <p>SKICA ARMATURE- POZ 400 GORNJA ZONA</p> |
| | <p>PREDMET: Diplomski rad</p> <p>MENTOR: prof. dr. sc. Alen Harapin</p> <p>STUDENT: Mario Žigo</p> | <p>GRADEVINA: Centar urbane kulture Sinokoša - dilatacija A</p> <p>MJERILO: M= 1:100</p> <p>datum: srpanj, 2023.</p> | <p>list 15.</p> |



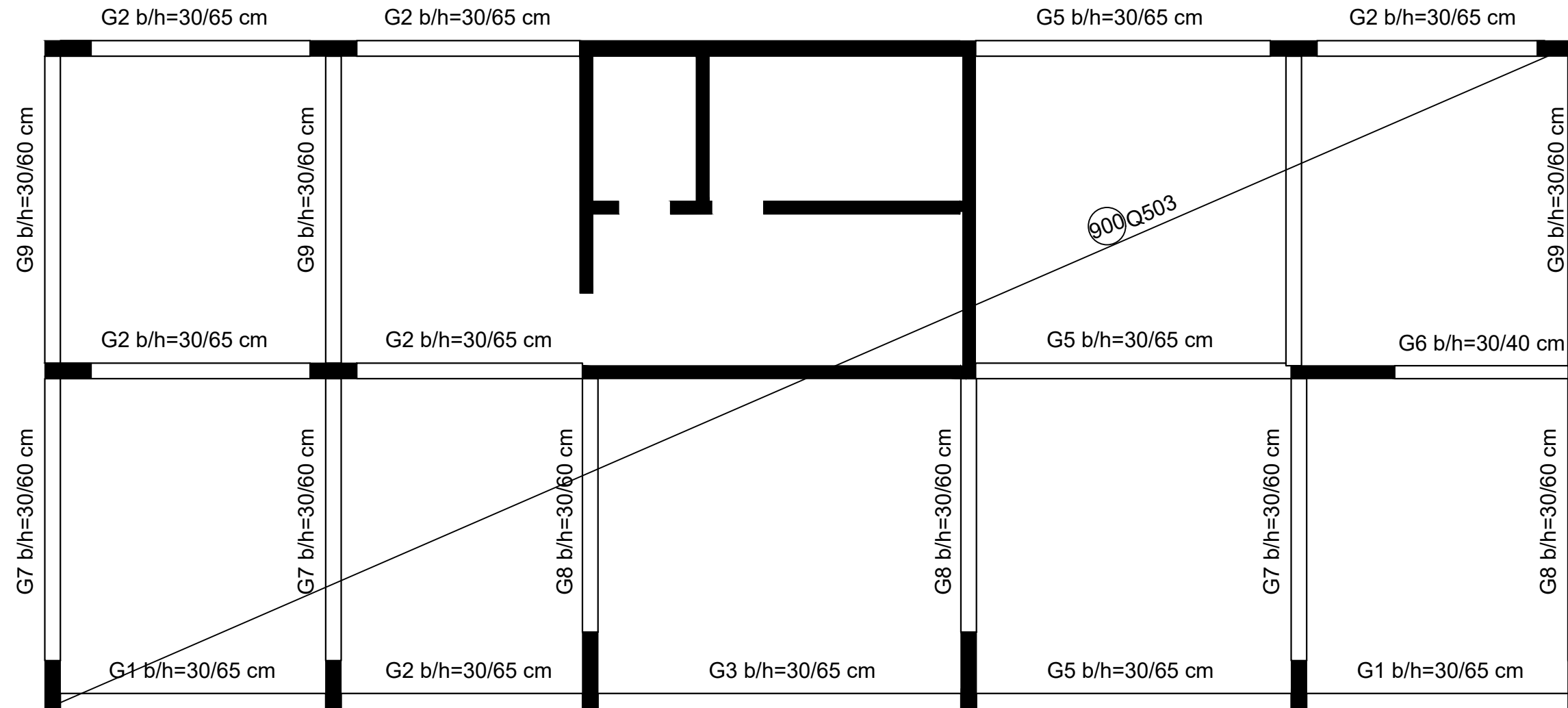
| | | | |
|---|--|---|---------------------------------------|
|  <p>FAKULTET GRAĐEVINARSTVA, ARHITEKTURE I GEODEZIJE MATICE HRVATSKE 15, 21000 SPLIT</p> | Diplomski sveučilišni studij građevinarstva, smjer Konstrukcije | FAZA: GLAVNI PROJEKT | SADRŽAJ: |
| | Katedra za betonske konstrukcije i mostove | VRSTA: GRAĐEVINSKI PROJEKT- PROJEKT KONSTRUKCIJE | SKICA ARMATURE- POZ 400 DONJA ZONA |
| | PREDMET: Diplomski rad | GRAĐEVINA: Centar urbane kulture Sinokoša - dilatacija A | MJERILO: |
| | MENTOR: prof. dr. sc. Alen Harapin | STUDENT: Mario Žigo | M= 1:100 |
| | | datum: srpanj, 2023. | list 16. |

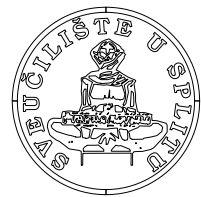
SKICA ARMATURE- POZ 500,600,700,800,900
 GORNJA ZONA
 M 1:100



| | | | |
|---|--|--|---|
|  <p>FAKULTET GRAĐEVINARSTVA, ARHITEKTURE I GEODEZIJE MATICE HRVATSKE 15, 21000 SPLIT</p> | Diplomski sveučilišni studij građevinarstva, smjer Konstrukcije | FAZA: GLAVNI PROJEKT | SADRŽAJ: SKICA ARMATURE- POZ 500,600,700,800,900 GORNJA ZONA |
| | Katedra za betonske konstrukcije i mostove | VRSTA: GRAĐEVINSKI PROJEKT- PROJEKT KONSTRUKCIJE | |
| | PREDMET: Diplomski rad MENTOR: prof. dr. sc. Alen Harapin | GRAĐEVINA: Centar urbane kulture Sinokoša - dilatacija A | MJERILO: M= 1:100 |
| | STUDENT: Mario Žigo | datum: srpanj, 2023. | list 17. |

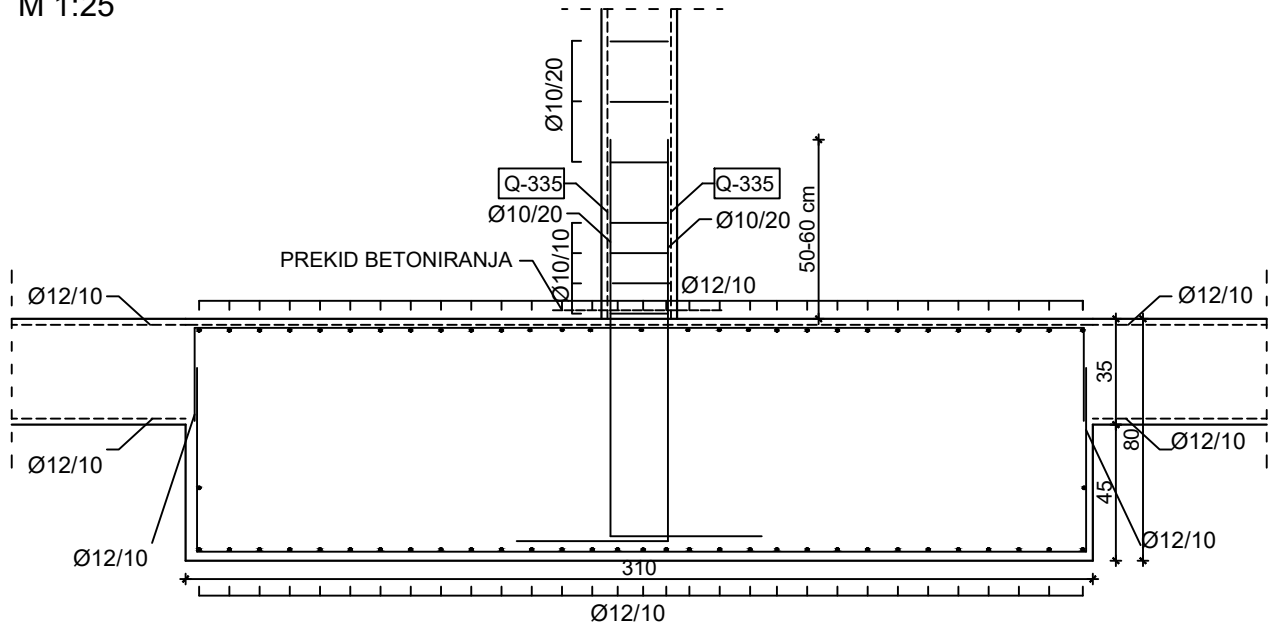
SKICA ARMATURE- POZ 500,600,700,800,900
 DONJA ZONA
 M 1:100



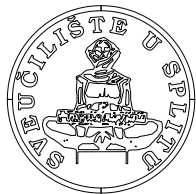
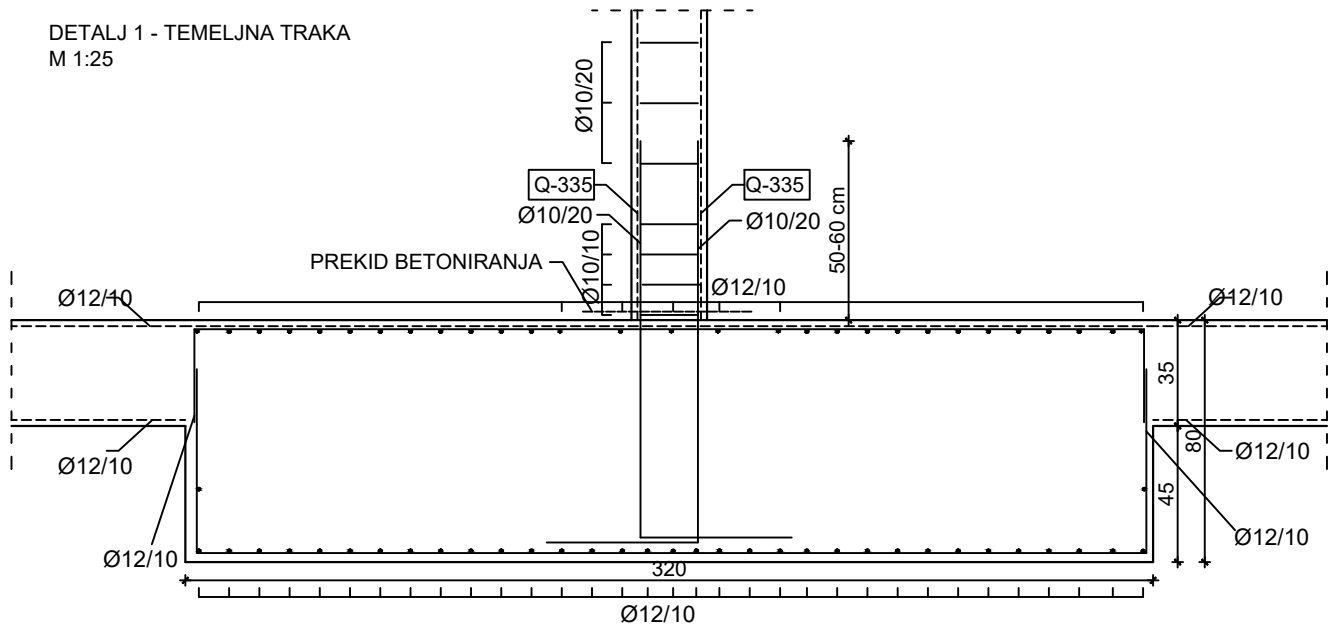
| | | | |
|---|--|--|--|
|  <p>FAKULTET GRAĐEVINARSTVA, ARHITEKTURE I GEODEZIJE MATICE HRVATSKE 15, 21000 SPLIT</p> | Diplomski sveučilišni studij građevinarstva, smjer Konstrukcije | FAZA: GLAVNI PROJEKT | SADRŽAJ: SKICA ARMATURE- POZ 500,600,700,800,900 DONJA ZONA |
| | Katedra za betonske konstrukcije i mostove | VRSTA: GRAĐEVINSKI PROJEKT- PROJEKT KONSTRUKCIJE | |
| | PREDMET: Diplomski rad MENTOR: prof. dr. sc. Alen Harapin | GRAĐEVINA: Centar urbane kulture Sinokoša - dilatacija A | MJERILO: M= 1:100 |
| | STUDENT: Mario Žigo | datum: srpanj, 2023. | list 18. |

DETALJ ARMIRANJA TEMELJA SAMACA I TEMELJNIH TRAKA

M 1:25



DETALJ 1 - TEMELJNA TRAKA
M 1:25



FAKULTET GRAĐEVINARSTVA,
ARHITEKTURE I GEODEZIJE
MATICE HRVATSKE 15, 21000 SPLIT

Diplomski sveučilišni studij
građevinarstva, smjer Kontrukcije

Katedra za betonske konstrukcije i
mostove

PREDMET: Diplomski rad

MENTOR: prof. dr. sc. Alen Harapin

STUDENT: Mario Žigo

FAZA: GLAVNI PROJEKT

VRSTA: GRAĐEVINSKI PROJEKT-
PROJEKT KONSTRUKCIJE

GRAĐEVINA: Centar urbane kulture
Sinokoša - dilatacija A

datum: srpanj, 2023.

SADRŽAJ:

DETALJ ARMIRANJA TEMELJA
SAMACA I TEMELJNIH TRAKA

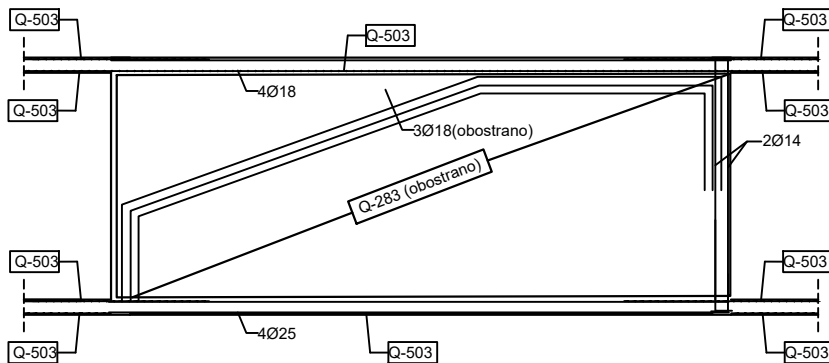
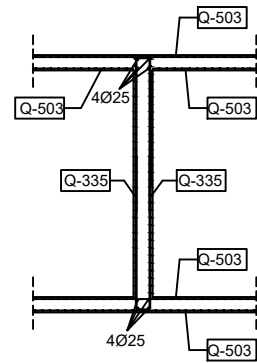
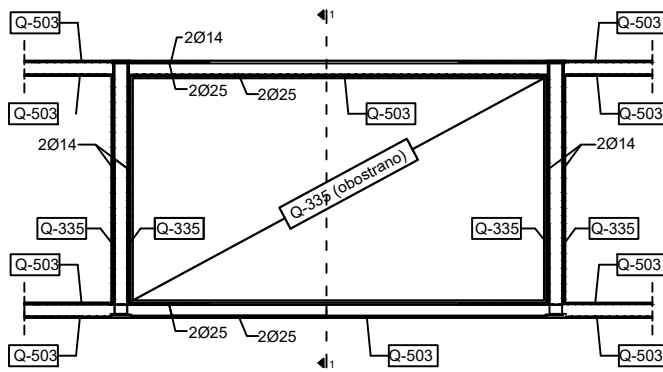
MJERILO:

M= 1:100

SKICA ARMATURE VISOKOSTIJIENOG NOSAČA

M 1:100

PRESJEK 1-1



FAKULTET GRAĐEVINARSTVA,
ARHITEKTURE I GEODEZIJE
MATICE HRVATSKE 15, 21000 SPLIT

Diplomski sveučilišni studij
građevinarstva, smjer Konstrukcije

Katedra za betonske konstrukcije i
mostove

PREDMET: Diplomski rad

MENTOR: prof. dr. sc. Alen Harapin

STUDENT: Mario Žigo

FAZA: GLAVNI PROJEKT

VRSTA: GRAĐEVINSKI PROJEKT-
PROJEKT KONSTRUKCIJE

GRAĐEVINA: Centar urbane kulture
Sinokoša - dilatacija A

datum: srpanj, 2023.

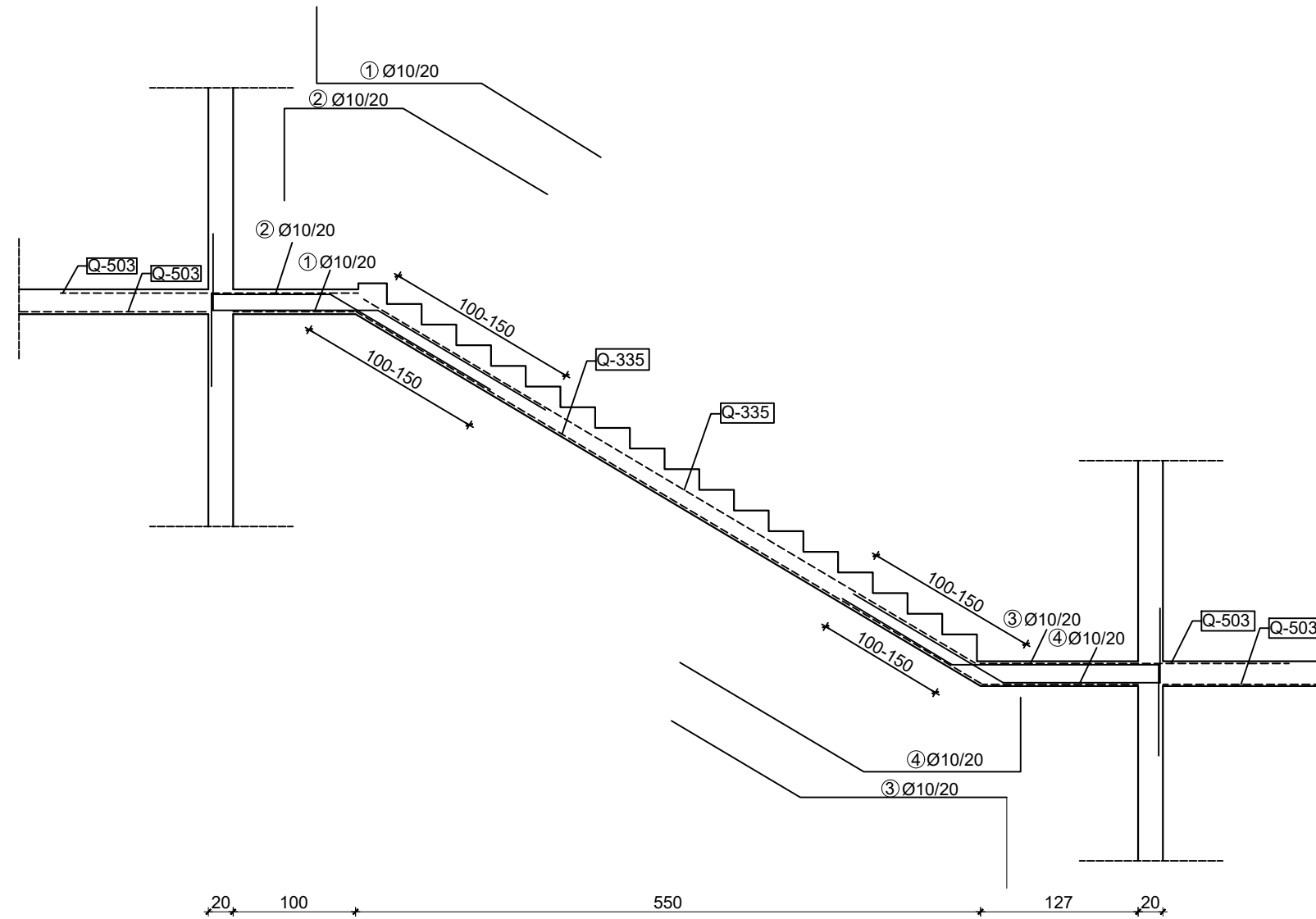
SADRŽAJ:

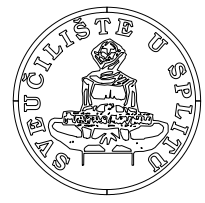
SKICA ARMATURE
VISKOSTIJIENOG NOSAČA

MJERILO:

M= 1:100

SKICA ARMATURE STUBIŠTA
M 1:50



| | | | | |
|---|---|--|--|--|
|  <p>FAKULTET GRAĐEVINARSTVA, ARHITEKTURE I GEODEZIJE MATICE HRVATSKE 15, 21000 SPLIT</p> | <p>Diplomski sveučilišni studij građevinarstva, smjer Kontrukcije</p> | <p>FAZA: GLAVNI PROJEKT</p> | <p>SADRŽAJ:</p> <p>SKICA ARMATURE STUBIŠTA</p> | |
| | <p>Katedra za betonske konstrukcije i mostove</p> | <p>VRSTA: GRAĐEVINSKI PROJEKT- PROJEKT KONSTRUKCIJE</p> | | |
| | <p>PREDMET: Diplomski rad</p> | <p>MENTOR: prof. dr. sc. Alen Harapin</p> | <p>GRAĐEVINA: Centar urbane kulture Sinokoša - dilatacija A</p> | <p>MJERILO:</p> <p>M= 1:100</p> |
| | <p>STUDENT: Mario Žigo</p> | <p>datum: srpanj, 2023.</p> | <p>list 21.</p> | |